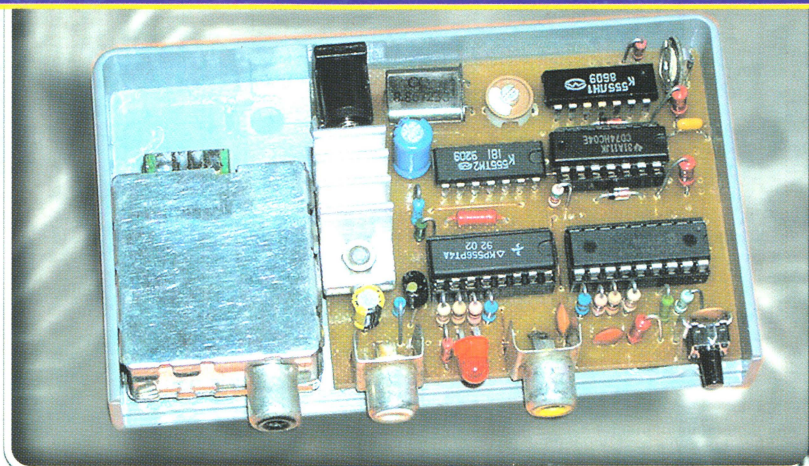


6•2005

www.radio.ru

РАДИО

АУДИО • ВИДЕО • СВЯЗЬ • ЭЛЕКТРОНИКА • КОМПЬЮТЕРЫ



ГИТС на микроконтроллере



Полосы PAL



Полосы SECAM



- Быстрое изготовление TV антенны
- Работа в Интернете под MS-DOS 6.22
- Настольный сверлильный станок
- Термостат для улья
- Простой трансивер для походов

...и еще 22 конструкции

6
2005



Послевоенные батарейные...

Очередная публикация исторической серии посвящается ламповым батарейным радиоприемникам полувекковой давности, десятилетия 1950-х г. Предназначенные для эксплуатации в сельских местностях, не имевших осветительных сетей, эти компактные аппараты в своем классе разнообразны. Объединяет их простота конструкции и доступная для всех групп населения цена. Масса для стационарных моделей указана без источников питания, комплект батарей весил несколько килограммов. Среди батарейных приемников, выполненных на радиолампах, в середине десятилетия появились и полностью портативные модели. В начале 1960-х г. они были вытеснены более легкими, компактными и экономичными транзисторными радиоприемниками.



Двухламповый регенеративный радиоприемник прямого усиления для приема местных станций вблизи больших городов. Диапазоны — ДВ и СВ, шкалы настройки приемник не имеет. Настройка — индуктивная, перемещением магнитопровода входного контура. Переход на другой диапазон — переключением антенны в соответствующее гнездо. Имеются гнезда для подключения трансляционной сети с целью использования приемника в качестве абонентского громкоговорителя. Набор ламп: 1Б1П и 2П1П. Питание — анодно-накальная батарея "Тула" ("Заря") 65-АНМЦ-1,3п. Корпус деревянный, размеры — 250×250×100 мм, масса — 2,2 кг. Московский завод "Красный октябрь", модель 1950 г.

«ЗАРЯ»

«ТАЛЛИН Б-2»

Четырехламповый двухдиапазонный (ДВ и СВ) супергетеродинный радиоприемник. Приспособлен для питания от различных типов анодных и накальных батарей, для чего в комплект входят соответствующие разъемы, а в накальной цепи имеется балластное сопротивление, включаемое при питании накальных цепей от кислотного аккумулятора. Предусмотрен переход на экономичный режим выходной лампы. Деревянный корпус большого объема и громкоговоритель повышенной мощности выделяют этот приемник среди других лучшим качеством звучания. Набор ламп: 1А1П, 1К1П, 1Б1П, 2П1П. Размеры приемника — 420×275×200 мм, масса — 7 кг. Таллинский завод "Пунане РЕТ" ("Punane RET"), модель 1950 г.



Четырехламповый двухдиапазонный супергетеродин. Набор ламп: 1А1П, 1К1П, 1Б1П, 2П1П. Питание — две анодно-сеточных батареи "Энергия" (54АСМЦ-5п) и накальная "Экран" (1,28НВМЦ-525п). Предусмотрено использование приемника в качестве трансляционного абонентского громкоговорителя. Корпус — карболитовый, размеры — 214×260×148 мм, масса — 4,3 кг. Александровский радиозавод, модель 1953 г.

«ИСКРА-53»

Четырехламповый двухдиапазонный супергетеродин. Набор ламп: 1А2П, 1К2П, 1Б2П, 2П1П. Использование более экономичных радиоламп увеличило время работы приемника от одного комплекта батарей. Питание — две анодно-сеточных батареи "Энергия" (54АСМЦ-5п) и накальная "Экран" (1,28НВМЦ-525п), одного комплекта хватало на 1000 часов работы. Стационарный приемник в компактном карболитовом корпусе. Размеры — 250×210×115 мм, масса — 2,7 кг. Воронежский радиозавод, модель 1957 г.



«НОВЫ»



Пятиламповый двухдиапазонный супергетеродин. Приемник обладал чувствительностью, достаточной для приема отдаленных мощных станций на комнатную антенну. Особенность аппарата, реализованная с использованием купроксного вентиля, — "плавающая" рабочая точка оконечного каскада УЗЧ. Она позволяла уменьшить шум при приеме слабых сигналов и экономить энергию батарей. Питание — анодно-сеточная батарея "Анод-Воронеж" (123-АСМЦГ-60ч) и накальная "Накал-Воронеж" (1,46-НМЦ-60ч). Набор ламп: 1К2П, 1А2П, 1К2П, 1Б2П, 2П1П. Компактный карболитовый корпус традиционного дизайна. Габариты приемника — 270×210×160 мм, масса — 4 кг. Воронежский завод "Электросигнал", модель 1957 г.

«ВОРОНЕЖ»

«ТУРИСТ»

Первый крупносерийный портативный радиоприемник — пятиламповый двухдиапазонный супергетеродин. Применение в нем каскада усиления радиочастоты обеспечивало прием мощных отдаленных станций на внутреннюю ферритовую антенну. Питание — анодная батарея "Радуга" (75АМЦГ-22ч) и два накальных элемента "Сатурн" (1,6ФМЦ-У-3,2). Для работы в стационарных условиях приемник комплектовался сетевым выпрямителем, оформленным в виде подставки, при установке на нее приемник автоматически переходил на питание от сети. Набор ламп: 1К2П, 1А2П, 1К2П, 1Б2П, 2П2П. Приемник выпускался в полистироловом корпусе различных расцветок. Габариты приемника — 270×180×90 мм, масса с батареями — 2,9 кг. Рижский завод "ВЭФ" ("VEF"), модель 1956 г.



ВИДЕОТЕХНИКА 7

ЗВУКОТЕХНИКА 15

РАДИОПРИЕМ 21

ИЗМЕРЕНИЯ 23

ИСТОЧНИКИ ПИТАНИЯ 25

КОМПЬЮТЕРЫ 28

МИКРОПРОЦЕССОРНАЯ ТЕХНИКА 30

РАДИОЛЮБИТЕЛЬСКАЯ ТЕХНОЛОГИЯ 33

РАДИОЛЮБИТЕЛЮ-КОНСТРУКТОРУ 36

ПРИКЛАДНАЯ ЭЛЕКТРОНИКА 38

ЭЛЕКТРОНИКА ЗА РУЛЕМ 48

СПРАВОЧНЫЙ ЛИСТОК 51

"РАДИО" — НАЧИНАЮЩИМ 53

"РАДИО" — О СВЯЗИ 61

ЛУЧШИЕ ПУБЛИКАЦИИ 2004 ГОДА	4
С. Мицин. ПЕРВАЯ ВСЕСОЮЗНАЯ РАДИОВЫСТАВКА	5
В. Меркулов. МОБИЛЬНЫЕ ПЕРСОНАЛЬНЫЕ МЕДИАЦЕНТРЫ	7
В. Солонин. СПОСОБ БЫСТРОГО ИЗГОТОВЛЕНИЯ ТЕЛЕВИЗИОННОЙ АНТЕННЫ ...	9
Г. Накаряков. ГЕНЕРАТОР ТЕЛЕВИЗИОННЫХ СИГНАЛОВ НА МИКРОКОНТРОЛЛЕРЕ	10
М. Сапожников. ПОДКЛЮЧЕНИЕ ДИСКОВОГО ПЛЕЙЕРА К АВТОМОБИЛЬНОЙ МАГНИТОЛЕ	15
К. Филатов. ИЗМЕРЕНИЕ ЭЛЕКТРОАКУСТИЧЕСКИХ ХАРАКТЕРИСТИК ГРОМКОГОВОРИТЕЛЕЙ	16
Э. Кузнецов. АВТОНОМНЫЙ БЛОК ЗВУКОУСИЛЕНИЯ НА ОСНОВЕ ВХОДНОГО МОДУЛЯ МИКШЕРНОГО ПУЛЬТА	20
П. Михайлов. НОВОСТИ ЭФИРА	21
В. Гаврилов. О ДЕЙСТВУЮЩЕМ ОБЪЕМЕ АНТЕННЫ	22
А. Кавыев. ИМПУЛЬСНЫЙ БП С АКУСТИЧЕСКИМ ВЫКЛЮЧАТЕЛЕМ ДЛЯ МУЛЬТИМЕТРА	23
И. Нечаев. ЭЛЕКТРОННЫЙ ПРЕДОХРАНИТЕЛЬ	25
Е. Москатов. ИМПУЛЬСНЫЙ ИП В СПИЧЕЧНОЙ КОРОБКЕ	26
Д. Панкратьев. РАБОТА В ИНТЕРНЕТЕ ПОД MS DOS 6.22	28
А. Максимов. МОДЕЛИРОВАНИЕ УСТРОЙСТВ НА МИКРОКОНТРОЛЛЕРАХ С ПОМОЩЬЮ ПРОГРАММЫ ISIS ИЗ ПАКЕТА PROTEUS VSM	30
В. Медведев. НАСТОЛЬНЫЙ СВЕРЛИЛЬНЫЙ СТАНОК	33
М. Стрыгин. ПРИМЕНЕНИЕ ДРАЙВЕРНЫХ МИКРОСХЕМ ДЛЯ УПРАВЛЕНИЯ МОЩНЫМИ ПОЛЕВЫМИ ТРАНЗИСТОРАМИ	36
Ю. Виноградов. РАДИОПЕЛЕНГАТОР	38
В. Кустиков. ТЕРМОСТАТ ДЛЯ УЛЬЯ	40
И. Нечаев. "МАГНИТОФОН" ДЛЯ ТЕЛЕФОНА	41
С. Кудряшов. ОХРАННАЯ СИСТЕМА С ОПОВЕЩЕНИЕМ ПО СОТОВОМУ КАНАЛУ	42
В. Нарыжный. ТРИНИСТОРНЫЙ ПУСКАТЕЛЬ С РЕВЕРСОМ	46
В. Захаров. О ПИТАНИИ СВЕТИЛЬНИКОВ С ЛАМПАМИ НА 12 В	47
В. Трошкоф. ЦИФРОВОЙ ТАХОМЕТР С КВАЗИАНАЛОГОВОЙ ШКАЛОЙ	48
А. Юшин. ДИОДНЫЕ ОПТОПАРЫ	51
А. Воронцов. ОДНОКРИСТАЛЛЬНЫЙ АМ РАДИОТРАКТ МК484	52
В. Гуревич. ПРОБНИК ДЛЯ ПРОВЕРКИ ЦИФРОВЫХ УСТРОЙСТВ	53
Е. Гайно, Е. Москатов. РАДИОЛЮБИТЕЛЬСКИЕ РАСЧЕТЫ НА КОМПЬЮТЕРЕ ...	55
А. Воронцов. ПРОСТЫЕ РАДИОПРИЕМНИКИ НА МИКРОСХЕМЕ МК484	57
А. Бутов. ДОРАБОТКА ДВУПОЛЯРНОГО БЛОКА ПИТАНИЯ	59
СМЕНА ЛИДЕРОВ	61
М. Хохлов. SAVRILLO: ФОРМАТ ОТЧЕТОВ ЗА СОРЕВНОВАНИЯ	63
А. Зайцев. КОСМИЧЕСКАЯ ПОГОДА ДЛЯ РАДИОЛЮБИТЕЛЕЙ	64
Ю. Куриный. МАЧТА — АНТЕННА ДИАПАЗОНА 160 М	66
И. Нечаев. АВТОМОБИЛЬНЫЙ АВТОМАТИЧЕСКИЙ КСВ-МЕТР	68
Ю. Дайлидов. АВТОМАТИЧЕСКАЯ НАСТРОЙКА П-КОНТУРА ВЫХОДНОГО КАСКАДА	70
А. Голышко. КРАТКАЯ ИСТОРИЯ КОММУТАЦИИ: ПАРАДИГМА КАНАЛОВ	73
ОТЧЕТНО-ВЫБОРНАЯ КОНФЕРЕНЦИЯ СРР	75
ИТОГИ ЗИМНЕГО ДНЯ АКТИВНОСТИ МОЛОДЕЖНЫХ РАДИОСТАНЦИЙ	75
ПРИБОРЫ ИЗМЕРЕНИЯ НОРМ КАЧЕСТВА ЭЛЕКТРОЭНЕРГИИ	76

НАША КОНСУЛЬТАЦИЯ (с. 50).

ДОСКА ОБЪЯВЛЕНИЙ (с. 1, 3, 14, 19, 24, 27, 29, 32, 41, 47, 49, 77—80).

На нашей обложке. Генератор испытательных телевизионных сигналов (см. статью на с. 10)

**ЧИТАЙТЕ
В СЛЕДУЮЩЕМ
НОМЕРЕ:**

**РЕМОНТ И ДОРАБОТКА ТЕЛЕВИЗОРОВ
СТАБИЛИЗИРОВАННЫЙ ПРЕОБРАЗОВАТЕЛЬ 12/220 В
ПРОГРАММИРУЕМЫЙ РЕЧЕВОЙ ИНФОРМАТОР
ПРОСТОЙ ТРАНСИВЕР
МАЛОГАБАРИТНЫЙ КОНВЕРТЕР 2400/145 МГц**



Издается с 1924 года

РАДИО®

"Радиолубитель" — "Радиопрофит" — "Радио"

6•2005

МАССОВЫЙ
ЕЖЕМЕСЯЧНЫЙ
НАУЧНО-ТЕХНИЧЕСКИЙ
ЖУРНАЛ

"Radio" is monthly publication on audio, video, computers, home electronics and telecommunication

УЧРЕДИТЕЛЬ И ИЗДАТЕЛЬ: РЕДАКЦИЯ ЖУРНАЛА «РАДИО»

Зарегистрирован Комитетом РФ по печати 21 марта 1995 г.

Регистрационный № 01331

Главный редактор Ю. И. КРЫЛОВ

Редакционная коллегия:

В. В. АЛЕКСАНДРОВ, В. И. ВЕРЮТИН, А. В. ГОЛЫШКО, А. С. ЖУРАВЛЕВ,
Б. С. ИВАНОВ, Е. А. КАРНАУХОВ (отв. секретарь), С. Н. КОМАРОВ,
А. Н. КОРОТКОШКО, В. Г. МАКОВЕЕВ, С. Л. МИШЕНКОВ, А. Л. МСТИСЛАВСКИЙ,
В. Т. ПОЛЯКОВ, А. Н. ПОПОВ, Б. Г. СТЕПАНОВ (первый зам. гл. редактора),
Р. Р. ТОМАС, В. В. ФРОЛОВ, В. К. ЧУДНОВ (зам. гл. редактора)

Выпускающие редакторы: А. А. МИХАЙЛОВ, А. К. СОКОЛОВ

Обложка: С. В. ЛАЗАРЕНКО

Верстка: Е. А. ГЕРАСИМОВА, В. П. ОБЪЕДКОВ

Корректор: Т. А. ВАСИЛЬЕВА

Адрес редакции:

107045, Москва, Селиверстов пер., 10

Тел.: (095) 207-31-18. Факс: (095) 208-77-13

E-mail: ref@radio.ru

Группа работы с письмами — (095) 207-08-48

Отдел рекламы — (095) 208-99-45, e-mail: advert@radio.ru

Распространение — (095) 208-81-79; e-mail: sale@radio.ru

Подписка и продажа — (095) 207-77-28

Бухгалтерия — (095) 207-87-39

Наши платежные реквизиты:

получатель — ЗАО "Журнал "Радио", ИНН 7708023424,

р/сч. 40702810438090103159 в Мещанском ОСБ № 7811, г. Москва

Банк получателя — Сбербанк России, г. Москва

корр. счет 30101810400000000225 БИК 044525225

Подписано к печати 17.05.2005 г. Формат 84×108/16. Печать офсетная.

Объем 10 физ. печ. л., 5 бум. л., 13,5 уч.-изд. л.

В розницу — цена договорная

Подписной индекс:

по каталогу «Роспечати» — 70772;

по каталогу Управления федеральной почтовой связью — 89032.

За содержание рекламного объявления ответственность несет рекламодатель.

За оригинальность и содержание статьи ответственность несет автор.

Редакция не несет ответственности за возможные негативные последствия использования опубликованных материалов, но принимает меры по исключению ошибок и опечаток.

В случае приема рукописи к публикации редакция ставит об этом в известность автора. При этом редакция получает исключительное право на распространение принятого произведения, включая его публикации в журнале «Радио», на интернет-страницах журнала, CD или иным образом.

Авторское вознаграждение (гонорар) выплачивается в течение одного месяца после первой публикации в размере, определяемом внутренним справочником тарифов.

По истечении одного года с момента первой публикации автор имеет право опубликовать авторский вариант своего произведения в другом месте без предварительного письменного согласия редакции.

© Радио, 1924—2005. Воспроизведение материалов журнала «Радио», их коммерческое использование в любом виде, полностью или частично, допускается только с письменного разрешения редакции.

Отпечатано в ОИД «Медиа-Пресса», 125993, ГСП-3, Москва, А-40, ул. «Правды», 24. Зак. 51211.



Компьютерная сеть редакции журнала «Радио» находится под защитой антивирусной программы Dr.Web И. Данилова. Техническая поддержка ООО «СалД» (Санкт-Петербургская антивирусная лаборатория И. Данилова) <http://www.drweb.ru> Тел.: (812) 294-6408

Лучшие публикации 2004 года

В начале мая, к Дню радио, редакция подвела итоги ставшего традиционным ежегодного конкурса на лучшую публикацию минувшего года. В полученных от читателей письмах в этом году были названы 85 статей из различных разделов журнала. Жюри проанализировало все предложения и приняло решение.

Победителями стали:

ДОЛГИЙ А. (г. Москва) — *первое место и денежная премия 5000 руб.*, статья "Программаторы и программирование микроконтроллеров" (№ 1—12).

ПЕСКИН А. (г. Москва) — *второе место и денежная премия 3000 руб.*, статья "Плазменные панели" (№ 8—12).

КЛЯРОВСКИЙ В. (г. Великие Луки) — *третье место и денежная премия 2000 руб.*, статья "Современный усилитель мощности КВ диапазона" (№ 3, 4).

Авторы пяти публикаций отмечены поощрительными премиями по 1000 руб.:

МИТЮРЕВ С. (г. Новомосковск Тульской обл.), статья "Импульсный блок питания на базе БП ПК" (№ 10).

КИЧИГИН А. (г. Подольск Московской обл.), статья "Малогобаритный двухлучевой осциллограф-мультиметр" (№ 6).

ВОЛОДИН В. (г. Одесса, Украина), статья "Электронный регулятор сварочного тока" (№ 8—10).

ЛИТАВРИН А. (г. Березовский Кемеровской обл.), статья "Многоканальное усиление в УМЗЧ с крайне глубокой ООС" (№ 3, 4).

ХЛЮПИН Н. (г. Киров), статья "Измеритель LC" (№ 7).

Дипломами редакции журнала "Радио" отмечены следующие авторы:

МУСАТОВ К. (г. Москва), **ПЕТРОПАВЛОВСКИЙ Ю.** (г. Таганрог Ростовской обл.), **ШАТУН А.** (г. Дергачи, Украина), **ДЕНИСОВ А.** (г. Москва), **КОСЕНКО С.** (г. Воронеж), **КАРПОВ Е.** (г. Одесса, Украина), **НАЙДЕНКО А.** (г. Одесса, Украина), **ВЕНДЕРЕВСКИЙ П.** (г. Новосибирск), **МАЦКО П.** (г. Сморгонь, Белоруссия), **ТЕМЕРЕВ А.** (г. Светловодск, Украина), **ИВАНОВ А.** (г. Иваново), **ДОРОШЕНКОВ С.** (г. Москва), **СТЕПАНОВ Б.** (г. Москва), **ПОЛЯКОВ В.** (г. Москва).

Редакция от имени всего коллектива журнала и всех читателей, принявших активное участие, поздравляет победителей конкурса и желает им дальнейших успехов в творчестве на благо наших многочисленных радиолюбителей!

Читатели, правильно назвавшие фамилии не менее четырех победителей конкурса: Коркунов А. (п. Новый Приморского края) — ему удалось сделать это уже на трех конкурсах подряд, **Салагаев М.** (г. Березовский Кемеровской обл.) — на двух конкурсах подряд, **Скрипай С.** (г. Ельня Смоленской обл.), **Бородин Д.** (п. Московский Тюменской обл.), **Ефремов В.** (г. Ессентуки). Все они получают **бесплатную подписку на журнал "Радио"** на первое полугодие 2006 г.

Уважаемые читатели!

Конкурс на лучшую публикацию 2005 года продолжается. Не ограничивайтесь только пассивным участием в нем, присылайте нам описания своих разработок и помните, что среди имен победителей следующего этапа может оказаться и ваше имя!



КОМПАНИЯ МТУ-ИНФОРМ

Полный комплекс услуг связи

- цифровая телефонная связь -
- аренда цифровых каналов -
- услуги сети передачи данных -
- подключение к сети Интернет -
- услуги Интеллектуальной платформы -

119121, Москва, Смоленская-Сенная пл., 27-29, стр.2

тел. (095) 258 78 78, факс (095) 258-78-70

<http://www.mtu.ru>, e-mail: office@mtu.ru

Первая Всесоюзная радиовыставка

С. МИЦИН, г. Дубна Московской обл.

Радиовыставки уже давно стали специфическим праздником для тех людей, чья работа или увлечение связаны с радиоэлектроникой. Первой российской радиовыставкой можно считать выставку приборов А. С. Попова, состоявшуюся 11 апреля 1906 года. Экспозиция была размещена в физическом кабинете Минных офицерских классов в Кронштадте.

После нее в мае 1925 года в Ленинградском электротехническом институте (ЛЭТИ) с большим успехом прошла юбилейная радиовыставка, посвященная 30-летию изобретения радио. Наиболее представительным был исторический раздел — значительную часть его экспозиции занимали приборы А. С. Попова как из самого ЛЭТИ, так и привезенные из Кронштадтской электроминной школы. После выставки экспонаты были переданы в Музей связи в Ленинграде.

Но прообразом всех современных российских радиовыставок стала Всесоюзная радиовыставка, прошедшая в 1925 году в Москве.

В первых числах июня этого года исполняется 80 лет со дня открытия первой Всесоюзной радиовыставки, ставшей смотра достижений отечественной радиотехники за 30 лет развития радио.

К середине двадцатых годов прошлого века завершился значительный этап формирования общих идей и принципов, лежащих в основе радиотехники. Начиналось быстрое накопление схемотехнического фонда приемопередающей аппаратуры.

Одной из главных радиотехнических задач того времени было обеспечение радиосвязи центра с отдаленными районами страны и связи с крупнейшими зарубежными странами. Не менее важной задачей было обеспечение радиовещанием населения. Для решения этих задач требовалось разработать и соорудить мощные КВ радиостанции и радиовещательные станции средних и длинных волн возможно большей мощности. Быстрый рост сети радиовещательных станций, возникновение промышленного производства бытовых радиоприемников и массовое радиолюбительское движение становились мощными стимулами развития радио.

Идея о проведении специализированной выставки возникла в 1924 г., когда Совнаркомом СССР было принято решение широко отметить тридцатилетие радио и был создан Оргкомитет по празднованию юбилея. Событие, положенное в основу торжеств, связано с деятельностью выдающегося российского физика и изобретателя Александра Степановича Попова. Значение его открытия было оценено потомками лишь по прошествии многих лет, и предыдущие круглые даты прошли незамеченными: двадцатилетие радио совпало с разгаром Первой мировой войны, во время двадцатипятилетия в стране бушевала гражданская война.

Необходимо отметить, что радиовыставка 1925 г., как таковая, не была первой в России. Очевидно, исторически первой радиовыставкой следует считать выставку приборов А. С. Попова, располагавшуюся в физическом кабинете Минного офицерского класса в Кронштадте, где

он провел большую часть своей научной и педагогической деятельности. Открытие выставки состоялось 11 апреля 1906 г. на вечере памяти А. С. Попова.

Вот так о предстоящей выставке написал журнал "Радиолюбитель" (май 1925 г.):

Всесоюзная радиовыставка в Москве открывается 1 июня 1925 года. Выставка помещается в здании Госуд. Политехнического Музея (Китайский проезд). Цели выставки: 1) широкое взаимное ознакомление ведомств, учреждений и лиц, работающих в различных областях радиотехники как практической, так и научной, с результатами своих работ; 2) широкая популяризация достижений радиопромышленности. На выставке участвуют и иностранные фирмы. Имеется радиолюбительский отдел.

Согласно предположениям, выставка продлится 100 дней.

Официальное открытие первой Всесоюзной радиовыставки состоялось 6 июня 1925 г. в Большой аудитории Политехнического музея. На открытии присутствовали делегаты Девятого Всесоюзного съезда работников связи, с приветственной речью выступил Народный Комиссар почт и телеграфов СССР И. Н. Смирнов.

В номере 9 журнала "Радиолюбитель" за 1925 г. открытие выставки описано так:

"Наша первая выставка, по сравнению с заграничными грандиозными радиовыставками (напр., в Англии и Германии), кажется скромной: пока она занимает всего три залы. Но и этот первый скромный опыт является в жизни нашей радиотехники, нашего радиодела, большим событием. Это — первый смотр нашей радиопромышленности, которая в недалеком будущем должна завоевать нашу страну, помочь ей в завоевании новых культурных позиций..."

В выставке приняли участие ряд государственных и частных (НЭП в 1925 г. еще не был отменен) предприятий и общественных объединений: Электротехнический трест заводов слабого тока, Центральная радиолaborатория, Ниже-



Здание Политехнического музея, в котором помещалась Всесоюзная радиовыставка.

городская радиолaborатория, ОДР и др. Несколько позже на выставке открылась экспозиция зарубежных фирм, где демонстрировалось радиооборудование европейского и американского производства. Радиопередающая и радиоприемная аппаратура занимала на выставке ведущее место как по числу экспонатов, так и по уровню технического исполнения и разнообразию схемных решений.

Наиболее обширную экспозицию представили Электротехнический трест заводов слабого тока, созданный по решению правительства в 1922 г., и Центральная радиолaborатория, образованная в составе треста в 1923 г. в Ленинграде. Центральным экспонатом являлся ламповый телефонно-телеграфный радиопередатчик мощностью 20 кВт, изготовленный для радиостанции в Тифлисе. Также были представлены телеграфный передатчик мощностью 4 кВт, изготовленный по заказу персидского правительства, радиопередатчики на 1 и 2 кВт, радиотелефонный передатчик профессора Д. А. Рожанского для работы на коротких волнах, аппаратура для дистанционного управления по радиоканалу конструкции А. Ф. Шорина, различные радиоприемные устройства, усилители звуковых частот, громкоговорители, измерительные приборы.

На выставке широко представляли новую по тому времени элементную базу



приемно-усилительные и генераторные лампы, детекторы и другие радиокомпоненты. Впервые в практике отечественных радиовыставок была организована торговля радиоаппаратурой и радиодетальными, что не замедлило сказаться на посещаемости выставки радиолюбителями.

Огромное внимание посетителей и специалистов привлекала экспозиция Нижегородской радиолaborатории. Центральное место здесь занимала радиопередающая аппаратура: ламповый коротковолновый радиотелеграфный передатчик мощностью 25 кВт, испытанный на радиовещательной станции им. Коминтерна, радиотелефонный передатчик "Малый Коминтерн" мощностью 1,2 кВт, ламповые телефонно-телеграфные радиопередатчики на 1 и 4 кВт, коротковолновые радиопередатчики облегченного типа и любительские передатчики на 10 Вт. Некоторые образцы аппаратуры демонстрировались в работе. Так, успехом пользовались радиоприемники "Микродин" и показываемый в работе знаменитый "Кристаллин" конструкции О. В. Лосева, работавший от трех-четырех батарей для карманного фонаря. Демонстрировались радиолампы конструкции М. А. Бонч-Бруевича, от миниатюрных до мощных генераторных на 25 и 100 кВт, не имевших в то время аналогов в мире.

"Общество друзей радио" (ОДР) представило любительские радиоприемники, усилители звуковых частот, громкоговорители. Экспонировался первый отечественный коротковолновый любительский радиопередатчик конструкции Ф. А. Лбова. Позднее этот передатчик, опубликованный в радиолюбительских журналах, послужил основой для других любительских конструкций. ОДР также организовало продажу радиолюбительской периодики и литературы. В сентябре в дополнение к экспозиции ОДР открылся раздел Московского городского совета профессиональных союзов, демонстрировавший радиоаппаратуру, созданную в радиокружках профсоюзных организаций.

Вот так описывает ход выставки журнал "Радиолюбитель" (1925 г.):

На всесоюзной радиовыставке



Наверху: типовой любительский передатчик на короткие волны изготовления Нижегородской Радиолaborатории.
Внизу: Все типы ламп, разработанные Нижегородской Радиолaborаторией; в середине: гвоздь выставки — 100-квт. лампа им. Ленина; по бокам четыре 25-квт. лампы.

"Выбравшись из толпы, осаждающей трамваи на Лубянской площади, пролавирав между многочисленными торговцами, избравшими для своей деятельности прилегающий к бойкой площади Китайский проезд, сразу попадаем из шума, гама и толкотни в тихий Политехнический проезд. Подъезды главного фасада Политехнического Музея стильно декорированы моделями радиобашен, между верхушками которых протянулось алое полотнище с белой, далеко видной надписью "Всесоюзная Радиовыставка".

Пройдя вестибюль, поднимаемся выше, к самой выставке, поместившейся в фойе и прилегающих к нему двух, так называемых, малых аудиториях. Уже на лестнице слышим разногласный шум от громкоговорителей. Идем налево. Левая зала занята экспонатами Наркомпочтеля, в большинстве Нижегородской Радиолaborатории.

Нижегородская Радиолaborатория

Нижегородцы не только хорошо работают, но и умеют показать лицом свою работу: художественно исполненные плакаты, рисунки, диаграммы, красиво размещенные экспонаты — все это имеет привлекательный вид и довольно хорошо знакомит с достижениями лабораторий.

Первое, что бросается в глаза при входе, — это мощный передатчик на короткие волны, работавший на радиостанции им. Коминтерна и впервые в СССР установивший связь с Америкой. Такими же видными экспонатами, сразу же привлекающими к себе внимание, являются установленные вдоль двух стен ламповые телеграфные и телефонные радиопередатчики. Их всего четыре: два телеграфных — в 4 и 1 кВт и два телефон-

ных — в 1,2 ("Малый Коминтерн") и легкого типа — на 150 Вт. Передатчики представляют собой вполне законченный стандартный тип и имеют изящный и конструктивный вид; ознакомление с ними много поможет любителю в смысле выработки технического вкуса. Обращает на себя внимание компактность установок, малое место, занимаемое ими, особенно теми, которые предназначены для питания от сети переменного тока (одна однокиловаттная телеграфная станция снабжена мотор-генератором, остальные прямо включаются в сеть). ...

...Затем идут в два ряда столы с различными приборами: здесь имеется маломощная установка на короткие волны в 2,4 метра, дающая направленное в одну сторону излучение, разнообразные приемники и усилители (многие из них старых типов). Особое внимание обращают на себя столы с приемниками любительского типа, представленными как в целом, так и в деталях, и в особенности, любительские типы приемника и 20-ваттного передатчика на короткие волны; последний — с питанием от осветительной сети. Здесь же — микродин и кристаллин.

Время от времени, демонстрируемый экскурсиям, запускается передатчик "Малый Коминтерн".

Любительство

Переходим во вторую залу, где прилегающая к первой зале сторона отведена любителям и любительству и носит флаг ОДР. Радиолобительской аппаратуры почти нет, достижения радиолюбительства почти не выявлены, нет сколько-нибудьстройной картины нашего радиолюбительства, имеющего уже годичный стаж. Обращают на себя внимание только отдельные экспонаты (как, например, передатчик Ф. А. Лбова — R1FL), а также наглядные таблицы и аппаратура известной лосиноостровской школы II ступени. Не видна и несистематизированно представлена литература; выделяется киоск ОДР с журналами "Радио-Бюллетень" и "Друг Радио". "Радиолюбитель" помещен у самого пола, в невидном месте (едва ли по заслугам!), под старой иностранной литературой.

Трест Слабых Токов

Дальше, в этом же зале, сосредоточена аппаратура производства всесоюзного Треста Слабых Токов, — аппаратура, главным образом, предназначенная для радиофикации приемными устройствами; здесь даны все выпущенные трестом и хорошо всем известные типы детекторных приемников, усилителей и громкоговорителей; из последних, как новинку, можно отметить небольшой комнатный громкоговоритель с рупором, а не с большой конической мембраной-диффузором, каковой тип был до последнего времени единственным. Время от времени громкоговорители пускаются в ход, наполняя помещение выставки характерными звуками. Интересно витрина с десятками типов различных катодных ламп. Кроме того, показаны различные

(Окончание см. на с. 35)

Июнь • 2005 год

Для участия в лотерее
надо собрать любые пять
из шести купонов полугодия.

Фамилия И. О. _____

Город _____

Мобильные персональные медиацентры

В. МЕРКУЛОВ, г. Москва

В публикуемой ниже статье представлен краткий обзор серийно выпускаемой портативной универсальной аппаратуры нового поколения, включающей в себя телевизор, радиоприемник, диктофон, аудио- и видеомagneтофон.

Более 25 лет назад в Европе и Америке появился необычный для того времени малогабаритный портативный аппарат (рис. 1), выпущенный фирмой SONY, — персональный стереофонический проигрыватель компакт-кассет (по-английски — walkman), которые предложила для разработок бытовой радиоаппаратуры голландская фирма PHILIPS еще в 1965 г. Новый плеер более всего пришелся по душе любителям оперативного ("на ходу" и "в поле") слушания музыки.



Рис. 1

В фирме SONY изобретателем "уокмена" называют* собственного сотрудника японца Шу Уейама (Shu Ueyama). Ознакомившись с работой устройства, основатель и руководитель SONY Акио Морита (Akio Morita) 24 марта 1979 г. на совете директоров предложил его для выпуска на потребительский рынок, но не встретил понимания. Члены совета не поверили в надобность аудиоплеера пользователям. Однако фирма начала его производство, а последовавшая затем активная продажа в Японии показала правильность выбора новинки для се-

рийного производства. Тогда же портативный кассетный магнитофон впервые увидели и приезжие туристы. За прошедшие годы разными фирмами и предприятиями многих стран было выпущено примерно 300 моделей "уокменов" общей численностью несколько сотен миллионов.

Благодаря достижениям микроэлектроники и цифровизации аппаратуры, для современного мобильного развлекательного центра исполнение обязанностей "уокмена" представляется детской забавой. Устройство может еще служить и телевизором, и радиоприемником, и диктофоном, а также аудио- и видеомagneтофоном с памятью на тысячи музыкальных композиций и десятки видеофильмов. При этом он обходится без кассет и оптических дисков, а по габаритам сравним с первыми образцами "уокменов". В новом поколении устройств носителем служит встроенный жесткий магнитный диск, за рубежом называемый HDD — Hard Discs Drive, и сменная карта памяти (КП) или заменяющий карту миниатюрный HDD Microdrive, по габаритам и контактам совпадающий с КП CF [1]. О начале внедрения HDD в бытовую технику журнал "Радио" сообщил еще в 2002 г. в [2], а о дальнейших разработках — в [3].

Плотность (число активных элементов на единицу площади) и сложность электронной "начинки", расширенная коммутация, множество заданных функций, а также мобильное (карманное) родство с "уокменом" позволяют называть новые устройства персональными портативными медиацентрами. Так их называют и за рубежом — Portable Media Center (PMC), но встречаются схожие названия —

Personal Video Recorder (PVR) — персональный видеорекордер или Portable Media Player (PMP) — портативный медиаплеер. Наибольшую активность по продвижению таких комбинированных аппаратов к потребителю проявляют американские (США) и японские компании.

Рассмотрим некоторые из новых устройств.

Digital Video Recorder & Player AV400 — универсальный цифровой рекордер и плеер (рис. 2), разработан американской (США) фирмой ARCHOS. Заявлено, что это — один из первых серийных карманных магнитофонов, позволяющий записывать и просматривать телевизионные (наземные, кабельные, спутниковые) передачи, а также воспроизводить радио-, аудио-, фото- и текстовую информацию. Управление обеспечи-



Рис. 2

вается последней версией программы Windows Media Digital Rights Management.

Устройство содержит две части: съемный (носимый, портативный) блок с экраном TFT LCD размером 3,8" (9,6 см) по диагонали и встроенным HDD жестким диском (винчестером) с объемом памяти 100 Гб (предусмотрены модификации с объемом 80, 60, 40 и 20 Гб), а также стационарную подставку, в популярной литературе называемую док-станцией, или, иногда, крэдл (от англ. cradle — колыбель). Подставку размещают вблизи неподвижных аппаратов (телевизора, тюнера, плеера DVD, магнитофона VHS и др.) и соединяют с ними шнурами и кабелями.

На магнитном диске можно разместить: 1) 400 ч видеозаписей программ с качеством VHS на пониженной скорости (что вполне достаточно, например, для досуга в пути Москва—Владивосток — 149,5 ч и обратно) или 200 ч лучшего качества, сравнимого с форматом VHS на стандартной скорости (при сжатии по алгоритму MPEG-4); 2) 1500 ч аудиозаписей музыкальных и речевых передач (с качественными характеристиками форматов MP3, WMA — Window Media Audio, WAV — Wave form); 3) тысячи фотографий (в формате сжатия

* Следует заметить, что хотя биография Акио Мориты еще приписывает и ему идею создания портативного стереоплеера, действительным его изобретателем справедливо назвать обладателя нескольких патентов, относящихся к такому устройству под названием Stereobelt, Андреаса Павела из Германии. Еще в 1977 г. Павел, живший в то время в Италии, запатентовал свои идеи в нескольких странах. Выпущенный затем фирмой SONY знаменитый Walkman за первые два года разошелся тиражом в 200 млн.

В 1980 г. Павел, используя свое право на патент, начал переговоры с SONY о выплате разумного вознаграждения по лицензионному соглашению. И хотя фирма выплатила его в 1986 г., она не признала Павела изобретателем устройства. В 1989 г., отстаивая свои права, он обратился в суд Великобритании, который через семь с лишним лет отклонил иск Павела, отнеся судебные издержки (около 3 млн евро) на его счет.

Однако изобретатель не успокоился, оказавшись на пороге банкротства, и продолжил борьбу в других странах, где действовал его патент. Наконец в 2001 г. фирма изменила позицию и начала новые переговоры с Павелом. Они завершились летом прошлого года подписанием мирового соглашения (условия не разглашаются), по которому SONY выплачивает крупную сумму (очевидно, миллионы евро), а он прекращает все судебные иски, возбужденные против компании.

JPEG), а также множество видеороликов и слайдов; 4) тысячи печатных страниц.

Аппарат оснащен интерфейсом USB для получения всех видов информации из ПК, а также специальным слотом для считывания с КП SD, MMC, Smart Media, Memory Stick. Используемая программа позволяет редактировать материалы, помещенные на жесткий диск. Габариты носимого блока — 127×82×31 мм, масса — около 300 г.

ARCHOS PVP/PDA AV-500 — мультимедиа-центр с экраном (рис. 3), аналогичным предыдущей модели, совмещен с карманным персональным компьютером (КПК). Базовым носителем памяти у него служит винчестер на 40 или 20 ГБ. Для соединения с другими ПК



Рис. 3

и КПК, GSM телефоном в дополнение к интерфейсу USB предусмотрены беспроводные радиосоединители СВЧ Wi-Fi и Bluetooth. Управление обеспечивается посредством графической клавиатуры на экране.

MPM-200 Series PMP (рис. 4) — портативный медиаплеер, серийно выпускаемый японской корпорацией NHJ. Носителями в аппарате использованы диск HDD с объемом 60 или 30 ГБ и КП SD, MMC, CF. Возможны 65 ч видеозаписи (с HDD на 60 ГБ) качества QVGA (Quarter videographics array) и 33 ч информации с качеством VGA (разрешение — 640×480 пкс). Имеет размер экрана TFT LCD по диагонали 3,5" (8,9 см). Применена новая версия алгоритма компрессии информации MPEG4+IMA ADPCM



Рис. 4

(AVI). Устройство отличается стереозвуковым сопровождением транслируемых и воспроизводимых после записи телевизионных фильмов и возможностью фиксации изображений в популярном формате DivX.

Время автономной работы съемной части медиаплеера (как и аппаратов фирмы ARCHOS) равно примерно 3 ч при проигрывании видеозаписей и 6 ч звуковых. Габариты носимого блока — 140×80×30,5, а крэдла — 164×80×30,5 мм. Масса — 290 г (включая аксессуары).

High-end media controller ISYS i/O TPMC-10 — многофункциональный портативный медиацентр (рис. 5), серийно выпускаемый американской (США) фирмой CRESTRON. Широкой публике впервые был представлен в сентябре прошлого года в Индианаполисе (США) на очередной выставке Ассоциации производства и дизайна электронной техники (CEDIA). Центр содержит процессор, работающий с тактовой частотой 400 МГц и управляемый операционной системой Windows CE.Net 4.2. Память — 64 МБ Flash и 128 МБ SDRAM с возможностью расширения при подключении внешней КП через слот PCMCIA. Центр подсоединяют к ПК через встроенный двуправленный (IEEE 802.11b/802.11g) адаптер WLAN (Wi-Fi) для считывания видео-, фото-, аудиоинформации из памяти, а через ПК — к Интернету для приема раз-



Рис. 5

личных Streamium-медиапотоковых [4, 5] и текстовых сведений и, если необходимо, для архивирования их во встроенной памяти или на внешней КП.

Устройство оснащено: дисплеем TFT LCD с диагональю экрана 10,4" (26 см), разрешением SVGA (800×600 пкс) и соотношением сторон 4:3; стереофоническим усилителем (10 Вт×2) с двумя громкоговорятелями, микрофоном для диктофона, а также разъемами и гнездами для проводных соединений с внешней радиоаппаратурой и оргтехникой. В автономном пользовании и установленный на подставку центр исполняет обязанности КПК, а благодаря предусмотренному программированию, — еще и пульта дистанционного контроля

(оперативного и с задержкой по времени) за всей техникой в доме. Управление обеспечивается прямо с экрана посредством графической клавиатуры.

Параллельно с представленной моделью фирма CRESTRON серийно выпускает еще две большеэкранные (и более дорогие) модели LCD с размерами по диагонали 17" (43 см) и 15" (38 см) и разрешающей способностью HDTV 1280×768 и 1024×768 пкс соответственно. Предусмотрена дополнительная возможность подключения к Интернету напрямую через быстроразъемный Ethernet-кабельный вход 10/100BaseT.

О жестком магнитном диске. Записывать на нем и хранить импульсные сигналы двоичного кода было предложено американской фирмой IBM в начале 50-х годов прошлого века. Реализована идея была в 1956 г. в виде громоздкой конструкции, рассчитанной на общий объем памяти 5 МБ и содержащей 50 магнитных кругов диаметром 24" (61 см). В очередной разработке, выполненной IBM в 1973 г., в хранилище цифровой информации вращались уже только два круга диаметром 14" (35,6 см) с объемом памяти 30 ГБ каждый.

С того времени дисковые носители стали еще называть винчестерами, поскольку обозначение суммарного объема памяти накопителя "30 ГБ—30 ГБ" совпало с известной маркировкой ".30—30", означающей калибр (7,62 мм) и массу (30 г) пороха боеприпаса популярного спортивного оружия американской фирмы WINCHESTER. Термин "жесткий" или "твердый" (hard) к новому носителю пристал в противоположность прототипу — гибкому (флоппи) магнитному диску.

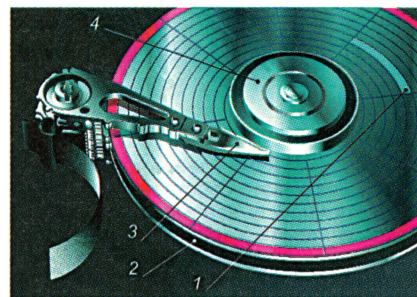


Рис. 6

Современный жесткий магнитный диск HDD (рис. 6) диаметром 0,85" (2,16...15,24 см) изготавливают с малыми допусками из прочного термоустойчивого и немагнитизируемого материала — алюминия, реже — из стекла или керамики. Он служит основой 2 диска. Поверх его с одной или обеих сторон наносят тонкий слой ферромагнетика, подобного применяемому в флорпи-пластинах или магнитных лентах аудио- и видеомагнитофонов. Диск может быть один или несколько, устанавливаемых на одной оси. Лучшие диски HDD вращаются на осях в жидкостных (гидродинамических) подшипниках 4 в обе стороны со скоростью несколько тысяч оборотов в минуту.

Как и в видеомагнитофонах, запись на диск и считывание с него импульсных сигналов обеспечиваются крошечной головкой, размещенной на конце управляемого позиционного держателя (рычага) 3. Расстояние между головкой и магнитной поверхностью поддерживается равным долям микрометра. Каждому магнитному слою соответствует своя головка. Перемещение рычага от центра до края диска, и наоборот, происходит до 50 раз в секунду. Во многих конструкциях рычагом управляет электромагнитное устройство.

Информация на диске распределена на спиральных дорожках по секторам 1 в виде файлов, представляющих собой набор байтов, т. е. стандартизированных кодов ASCII (American Standard Code for Information Interchange), характеризую-

щих программные приложения, текстовый материал, аудиосигналы, пиксели цвета и яркости постоянных и движущихся картинок изобразительного жанра. Число байтов в секторе может быть равно, например, 56 или 128 кБ. Порядок индексации однажды сделанной записи поддерживается операционной системой. При полном заполнении магнитного диска вновь поступающие кодовые значения постепенно замещают ранее записанные цифровые сведения.

Наиболее важными параметрами, характеризующими устройства HDD, применяемые в стационарной, переносной и портативной бытовой аппаратуре, следует назвать:

- 1) общий объем памяти, который может быть в пределах от 1 до 600 ГБ;
- 2) плотность укладки, при высоком значении которой на один диск диаметром 3,5" (8,9 см) часто можно записать, например, 130, а иногда и 200 ГБ цифровой информации;
- 3) скорость передачи (битрейт) информации в центральный процессор (CPU — Central Processing Unit), которая считается приемлемой при значениях 5...40 Мб/с;
- 4) время доступа (позиционирование) по команде CPU, которое характеризуется нормальным, если находится в пределах 10...20 мс;
- 5) срок жизни (суммарно в рабочем и выключенном состоянии), который изготовителями анонсируется равным 0,5...1 млн ч, т. е. более 50...100 лет.

Обычно устройство HDD представляет собой конструктивно отдельное изделие, закрытое в негерметичном корпусе, но обеспечивающем в нем относительную однородность очищенного воздуха. Разбирают и собирают устройство на специализированной установке, поддерживающей чистоту окружающего воздушного пространства [6]. Внутри корпуса, с противоположной от магнитных дисков стороны, размещены контроллер, управляющий прохождением импульсных сигналов при записи и воспроизведении, и электродвигатель.

Для безопасной и долговременной работы устройство HDD желательно не подвергать сильным ударам и сотрясениям, не перегревать, не эксплуатировать в помещениях с загрязненным воздухом, предотвращать прохождение электростатических разрядов, не демонтировать и не регулировать без наличия определенных навыков и опыта [6] в подобных работах.

ЛИТЕРАТУРА

1. Меркулов В. Лас-Вегас — 2003. — Радио, 2003, № 6, с. 34—36.
2. Меркулов В. Выставка CES-2002 в Лас-Вегасе. — Радио, 2002, № 4, с. 40, 41.
3. Меркулов В. Выставка IFA-2003 в Берлине. — Радио, 2004, № 5, с. 6—8.
4. <<http://www.streamium.com>>.
5. <<http://www.streamiumforums.com>>.
6. <<http://www.epos.kiev.ua/pubs/uk/Vpm.htm>>.

Редактор — А. Михайлов, фото — автора

Способ быстрого изготовления телевизионной антенны

В. СОЛОНИН, г. Конотоп, Украина

Построение высокоэффективной телевизионной антенны по точным размерам связано с довольно большими затратами труда и времени, требует наличия необходимых материалов, инструментов и приспособлений. Для того чтобы упростить этот процесс, автор предлагает оригинальный способ изготовления антенны "рамочный волновой канал" для приема сигналов ДМВ, который и рассмотрен в публикуемой статье.

Радиолюбители изготовили и испытали бы значительно больше разнообразных конструкций антенн, если бы их трудоемкость была низкой. И делать интересно, если конечный результат близок и малыми усилиями достигается значительный эффект. А если какую-нибудь очень нужную в определенный момент конструкцию можно выполнить в полевых условиях из подручных материалов и почти без инструментов, то ценность такой разработки еще выше.

Нередко возникают ситуации, когда, приехав на отдых с ночевкой в палатке в лес или на берег реки, обнаруживается непредвиденная неприятность, что взятый переносной телевизор, работающий от аккумулятора, плохо показывает на имеющуюся в его комплекте антенну из-за слабого сигнала, особенно на ДМВ. Тогда и начинаются эксперименты с антенной. Найденный провод размещают в различных местах, изгибают, как угодно, разными петлями, но это

почти ничего не дает. Сигнал ДМВ принимается плохо на кусок провода.

Обычно антенну "волновой канал" никто не делает из подручных материалов в полевых условиях, потому что традиционным путем это сделать довольно сложно: нужно и пилить, и сверлить, и паять, и нарезать резьбу, требуются инструменты, материалы, крепежные детали. Да и желания нет мастерить, так как приехали отдохнуть, а не заниматься изготовлением антенны.

Так вот, если бы высокоэффективный "рамочный волновой канал" можно было сделать относительно быстро, тогда другое дело, можно и попробовать. Для этого необходимо решить задачу простого крепления рамок без инструментов и крепежных деталей. Традиционно их крепят с применением пайки, сварки или винтов в середине верхних сторон к металлической или диэлектрической траверсе. Иногда их закрепляют в середине нижних сторон,

где также имеется нулевое напряжение наведенного в антенне сигнала. А почему бы не попробовать сделать крепление рамок поочередно с разных сторон, т. е. одну сверху, другую снизу и т. д.?

Возникшая идея оказалась довольно целесообразной при дальнейшем конструктивном исполнении. Она позволила выполнить всю антенну "рамочный волновой канал" из одного отрезка проволоки необходимой длины (о ней дальше) без каких-нибудь промежуточных креплений способом скрутки. На рис. 1 показана развертка антенны в плоскости, а вид изготовленной антенны сбоку представлен на рис. 2.

Для оптимального приема, конечно, необходимо использовать провод с минимальным сопротивлением, а все размеры антенны должны быть такими, как указано в справочнике. Но так как на месте отдыха, скорее всего, не окажется толстой медной проволоки и, тем более, справочника радиолюбителя, то следует ограничиться не оптимальным приемом, а лишь бы более лучшим, чем есть. С этой целью подойдет любая найденная проволока, даже железная, любого диаметра, лишь бы можно было ее скрутить, а изготовленная конструкция должна быть относительно жесткой и не гнуться под собственной тяжестью или от ветра.

Например, антенну (см. рис. 1), состоящую из четырех одинаковых рамок с длинной стороны примерно 10...20 см, вполне можно сделать из железной проволоки диаметром 0,6 мм и более. Используемый отрезок проволоки необходимой длины сначала изгибают пополам, а затем в месте изгиба формируют рамку-квадрат 1

с длиной стороны, равной четверти или половине длины волны принимаемого сигнала. В середине стороны рамки 1, ближней к концам проволоки, делают скрутку 2 длиной, равной одной шестой длины принимаемой волны. Далее формируют следующую рамку 3, заканчивающуюся скруткой 4, и т. д.

После выполнения всех рамок 1, 3, 5, 7 и скруток 2, 4, 6 завершается изготовление развертки антенны выгибанием концов проволоки в виде прямоугольника 8 четверть-волновой длины и шириной, равной четверти стороны рамок. Так получается трансформатор, согласующий антенну с телевизором. Он будет подключен в середине стороны последнего квадрата 7 напротив скрутки 6. Должны оставаться еще концы проволоки для выполнения круглой петли 12 диаметром 8 мм (такой диаметр кольцевого контакта антенного гнезда телевизора), отделенной от трансформатора 8 короткой скруткой 13 в два оборота. Петля 12 завершается еще одной такой же скруткой 11. Лишний провод нужно отломать, оставив концы 10 длиной примерно 2 см, используемые для крепления антенны у гнезда телевизора.

Если расположить плоскости рамок одну напротив другой на расстоянии примерно одной восьмой длины волны (с некоторым запасом), изогнув для этого скрутки 2, 4, 6 дугой так, как показано на рис. 2 сбоку, то и получится антенна "рамочный волновой канал".

Для подключения антенны к телевизору необходима трубка диаметром 8 мм, скрученная из жести от консервной банки, зачищенной от эмали. Трубку вставляют в антенное гнездо, в его кольцевой наружный контакт. Длина трубки должна быть такой, чтобы ее конец выступал из гнезда настолько, чтобы на конец можно было надеть изготовленную антенну контактной петлей 12. Концы 10 проволоки должны упираться в корпус телевизора, его неровности, например, в стенки щелей для охлаждения. Благодаря этому и тугой посадке петли на трубку антенна будет прикреплена к телевизору. Длина концов 10 должна быть достаточной для такого крепления на конкретном телевизоре.

В центральный контакт антенного гнезда телевизора вставляют зачищенный от изоляции конец провода 9, накрученного распределенными двумя витками на одном из плеч трансформатора 8, т. е. на стороне проволочного прямоугольника 8, что имитирует кабель. Другой конец провода 9, очищенный от изоляции, прикручен к другому плечу трансформатора 8 в точке 14 его перехода в сторону рамки 7.

Если частота принимаемого сигнала, а следовательно, и длина волны неизвестны, их можно приблизительно определить по расположению на телевизоре стрелки устройства плавной подстройки

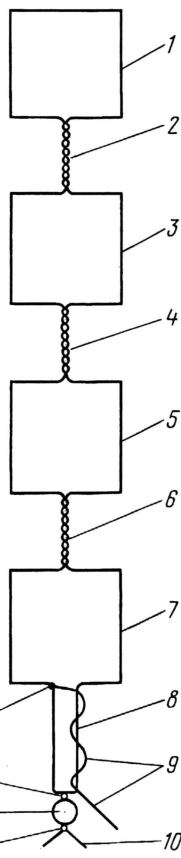


Рис. 1

частоты принимаемого сигнала. Следует помнить, что используемый в странах бывшего союза дециметровый диапазон начинается с 21-го телевизионного канала, а точнее — с частоты 470 МГц (длина волны — 64 см), а заканчивается 60-м каналом, более точно — частотой 790 МГц (длина волны — 38 см).

Некоторый запас по длине скруток 2, 4, 6, скрепляющих рамки одну с другой, необходим для подбора размеров рамок с целью улучшения приема сигнала. Например, можно раскрутить крайние участки скруток и за счет освободившейся проволоки увеличить размеры рамок. И наоборот, увеличив длину скруток (а следовательно, и размер дуг, согнутых из них), можно уменьшить размер рамок.

Если антенное гнездо в телевизоре расположено вертикально или под углом, то можно соответственно согнуть скрутку 13, а если этого окажется недостаточно, то — и трансформатор 8. Можно обойтись и без трубки, введя вместо нее в антенное гнездо телевизора концы 10.

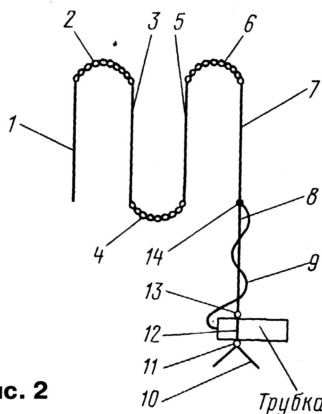


Рис. 2

Описанную конструкцию можно использовать и как комнатную антенну, но тогда ее необходимо изготовить из толстой медной проволоки с соблюдением оптимальных размеров, взятых из справочника, а трубку припаять к петле 12. Чем больше число рамок, тем лучше, но больше десяти делать не рекомендуется.

Примечание редакции. Так как найти кусок проволоки необходимой длины в местах отдыха не всегда возможно, антенну целесообразно сделать заранее дома по нужным размерам и с высоким качеством. Для транспортировки ее можно сложить или свернуть, а на месте приема расправить и установить в требуемом направлении.

Редактор — А. Михайлов, графика — Ю. Андреев

На страницах журнала были неоднократно рассмотрены радиолюбительские генераторы испытательных телевизионных сигналов (ГИТС) и приставки к ним [1—5]. Их эволюционирование прошло от устройств на дискретных элементах до использования микросхем, в частности программируемых постоянных запоминающих устройств (ППЗУ). Применение ППЗУ позволило сравнительно просто получать различные испытательные изображения без изменения схемного построения генераторов. Очевидно, что следующим этапом должно стать внедрение в ГИТС микроконтроллеров. В этом много преимуществ: уменьшение числа применяемых микросхем и, как следствие, снижение потребляемой мощности и габаритов, упрощение сборки и регулировки. Устройство становится доступным для повторения многими радиолюбителями. Кроме того, появляется возможность модернизации и расширения сервисных функций прибора относительно простой сменой управляющей программы без изменения конструкции прибора. Подобный подход был принят в [6].

Основой предлагаемого прибора стал микроконтроллер PIC16F84-04/P фирмы Microchip Technology [7]. Этот контроллер RISC-архитектуры не зря завоевал большую популярность среди радиолюбителей. Он характеризуется минимальным числом простых команд (от 33), высокой производительностью, малым энергопотреблением и относительно низкой стоимостью. Контроллер имеет восьмибитный таймер-счетчик с высокоскоростным восьмибитным предварительным делителем, 13 линий двунаправленного ввода—вывода, ОЗУ с объемом памяти 68 байт, ЭППЗУ данных на 64 байт и встроенный ЭППЗУ программ на 1 Кбайт, что предоставляет возможность применить его с частой заменой программного обеспечения.

Целью конструирования было создание очень простого, доступного в повторении даже начинающему радиолюбителю, устройства, удовлетворяющего потребности в большинстве любительских применений. Тестовые сигналы используют для проверки и регулировки баланса белого, динамического и статического сведения лучей, уровня гашения, чистоты цвета, центровки, фокусировки, геометрических искажений раstra, устойчивости синхронизации, опознавания цвета, цветовой синхронизации, частотных дискриминаторов, устройства матрицирования, качества цветопередачи и других характеристик в телевизорах.

В отличие от других подобных конструкций, прибор, внешний вид которого показан на 1-й с. обложки, вырабатывает цветные тестовые видеосигналы как системы PAL, так и системы SECAM. Генератор формирует восемь испытательных телевизионных сигналов (некоторые из них изображены и на 1-й с. обложки): вертикальные цветные полосы SECAM (рис. 1,а), горизонтальные (в одной из версий программы) цветные полосы PAL (рис. 1,б), центральный крест (рис. 1,в), шахматное (рис. 1,г), сетчатое, зеленое, красное

Генератор телевизионных сигналов на микроконтроллере

Г. НАКАРЯКОВ, г. Екатеринбург

Для повторения радиолюбителям предлагается еще одна конструкция на PIC-контроллере — генератор телевизионных сигналов. Он формирует испытательные изображения для проверки и настройки видеоаппаратуры, работающей как по системе SECAM, так и по системе PAL.

и синее поля. После включения устройства на экране телевизора появляется одно из тестовых изображений. Испытательные сигналы поочередно по коль-

Принципиальная схема прибора представлена на рис. 2. В устройстве имеется задающий генератор на элементах DD1.1—DD1.3, стабилизирован-

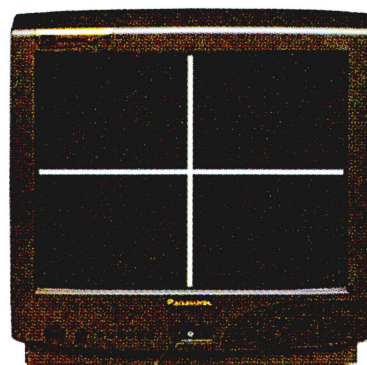


Рис. 1, в



Рис. 1, а



Рис. 1, б

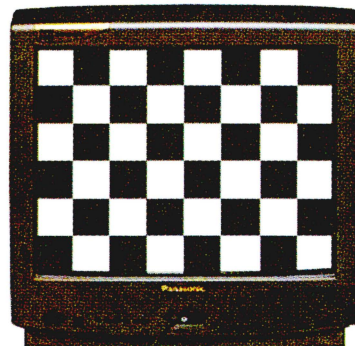


Рис. 1, г

цу сменяют один другой после каждого нажатия на кнопку на передней панели. При выключении питания прибор запоминает тот тест-сигнал, который использовали последним, и при следующем включении появится именно он.

Прибор имеет выходы (на передней панели) низкочастотных видео-, звукового и модулированного высокочастотного сигналов, а также гнездо для выносного блока питания (на задней стенке). Габариты устройства без блока питания — 105×60×32 мм.

Сигналы, формируемые контроллером на выводах 10—13 порта В, проходят через ЦАП на резисторах R17—R20, ный кварцевым резонатором ZQ1 на частоту 8,86 МГц. Сигналы генератора поступают на D-триггеры DD2.1 и DD2.2. С них сигналы A0 и A1 с вдвое меньшей частотой поданы на ППЗУ DD4, а сигнал A0 — еще и на вывод 16 микроконтроллера DD3. Частота 4,43 МГц, конечно, повышена для прибора PIC16F84-04/P, но процессор работает с ней вполне устойчиво.

Сигналы, формируемые контроллером на выводах 10—13 порта В, проходят через ЦАП на резисторах R17—R20,

в результате чего создаются цветоразностные сигналы SECAM. Через цепь НЧ предуслаживаний C3R4R5 они приходят на генератор поднесущих системы SECAM, собранный на элементах DD1.4—DD1.6. Через диод VD1 образована цепь SEC для выключения этого генератора. Через выход RA3 процессора DD3 и цепь R3C4R6 обеспечивается автоподстройка частоты генератора поднесущих SECAM.

С выхода (вывод 8) элемента DD1.6 частотно-модулированные поднесущие

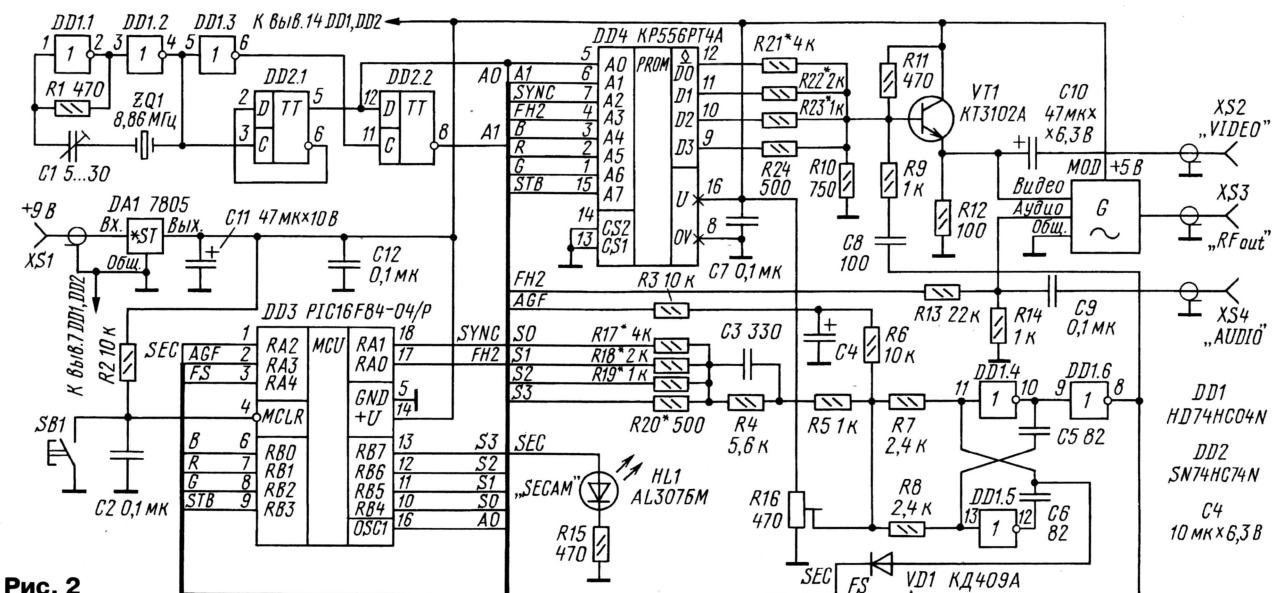


Рис. 2


```

:020000040000FA
:040000000000628CE
:08000800000009003120090885
:10001000013A031D102801301D20013E073923201D
:1000200001301D200739820757289528CD2805293A
:100030003D29CB29112A0F2A0628890083160814A5
:100040008312080808008800831608150812553026
:100050008900AA3089008814081E2C2808118312F0
:1000600008008316FF381001030850000000000000EA
:100070008312B801853084008501860108008E0083
:10008000030145208E0B402808008F0000008F0BD5
:1000900046280800000000000000000000000000EA
:1000A000080000000009700970B542808008510F6
:1000B0000502085148601123051200530900085149F
:1000C0000000851008305320900B5F280000851435
:1000D00006305220303093009400043091000330F9
:1000E00092001430900085100130850600000000059
:1000F0008514860112305120900B73280000851062
:1001000001308506000000008514000086150000FF
:10011000861073086000000000000000060B8A28C8
:100120000000000086014D205728851050208514BE
:100130008601123051200530900085140000851092
:1001400008305320900B9D28000085140630522063
:10015000303093009400043091000330920014304A
:10016000900085100130850600000000851486018E
:1001700012305120900BB128000085100130850607
:100180000000000085140000861500008611043070
:100190008600113053208601BD288510502085141B
:1001A008601123051200530900085140000851022
:1001B00008305320900BD5280000851406305220BB
:1001C00030309300940004309100033092001430DA
:1001D000900085100130850600000000851486011E
:1001E00012305120900BE92800008510013085065F
:1001F0000000000085140000861500008611023002
:10020008600113053208601F52885105020851472
:1002100086011230512005309000851400008510B1
:1002200008305320900BD29000085140630522011
:100230003030930094000430910003309200143069
:1002400090008510013085060000000085148601AD
:1002500012305120900B821290000851001308506B5
:10026000000000000085140000861500008611013092
:1002700086001130532086012D29851050208514C9
:100280008601123051200530900085140000851041
:1002900008305320900B8452900085140630522069
:1002A00030309300940004309100033092001430F9
:1002B0009000851050208514860112305120900B3B
:1002C0005929000085105020851404309100000049
:1002D0003030940086034E208601910B67294F2011
:1002E000930B622900008510502085140430910082
:1002F00000003030930086014E208603910B782950
:100300050208601940B732900008510502085141D
:100310000430910000003030940086034E208601AE
:10032000910B8A294F20930B8529000085105020BE
:100330008514043091000003030930086014E2077
:100340008603910B9B2950208601940B962900006F
:10035008510502085140430910000003030940046
:1003600086034E208601910BAD294F20930BA829BF
:1003700000008510502085140430910000003030BA
:10038000930086014E208603910BB22950208601E2
:10039000940BB9293D29851050208514860112300F

```

Таблица 1

```

:1003A000512005309000851400008510083053203E
:1003B000900BD32900008514073053208D30930013
:1003C000940006309100143092008510502085145E
:1003D000860112305120920BE52900008510502033
:1003E0008514093053208603860107305120930B72
:1003F000EE2900008510502085144F208603103010
:1004000051208601910BFA29000085105020851497
:1004100093053208603860107305120940B052AA
:10042000CB298510502085148601123051200530CB
:10043000900085140000851008305320900B192A75
:100440000008514063052202A30930094000730B3
:1004500091000630920014309000851050208514D1
:10046000860112305120900B2D2A00008510063095
:10047000900007309100851486014C200000000098
:1004800086038601910B5E2A4F20930B362A0000EB
:100490008510502085144F2086032A309300103099
:1004A00053208601900B482A0000851006309000EA
:1004B00007309100851486014C200000000086035F
:1004C0008601910B5D2A4F20930B552A0000851061
:1004D000502085144F2086032A309300103053207B
:1004E0008601900B672A00008510063090000730C7
:1004F0009100851486014C200000000086038601CF
:100500009100063092001430900085105020F9
:1005100085144F2086032A30930010305320860123
:10052000900B862A0000851006309000073091005D
:10053000851486014C200000000086038601910B83
:100540009B2A4F20930B932A00008510502085147E
:100550004F2086032A309300103053208601900BE1
:10056000A52A000085100630900007309100851400
:1005900086032A309300103053208601900BC42A22
:1005A0000000851006309000073091008514860108
:1005B0004C200000000086038601910BD92A4F20B1
:1005C000930BD12A00008510502085144F208603FC
:1005D0002A309300103053208601900BE32A112A11
:1005E00085105020851486011230512005309000E6
:1005F00085140000851008305320900BF82A000065
:1006000085140630522090309300940005309100FC
:100610008309200023090008510603086000000A3
:100620000000851405155020051111305120000DF
:1006300085108030860000000000851405155020CC
:10064000051113051200008510603086000000007
:1006500000008514051550202030860011305320ED
:100660000511000085108030860000000000851410
:1006700005105020D0308600103052200511130B06
:10068000242B0000851060308600000000008514D7
:100690000515502005111305120000085108030C3
:1006A0008600000000000085140515502005111304A
:1006B0005320920B422B0000851060308600000012
:1006C00000008514051550206F30860050203F3003
:1006D0008600860350207E308600860350204D30F1
:1006E0008600860350208C308600860350205B30C5
:1006F0008600860350209A30860086034F206030A3
:1007000086004D2005110000851080308600000015
:1007100000008514051550208F30860050207F3052
:100720008600860350205C30860086035020BD30E0
:100730008600860350205C308600860350204B30B4
:100740008600860350209A30860086034F20803032
:0C07500086004F200511930B5C2BF02A53
:02400E00F13F80
:00000001FF

```

онного изображения. Кроме того, ничто не препятствует устранению и этих недостатков. Необходимо только соответственно дополнить программу. О принципах формирования цветного изображения в разных системах кодирования можно почитать в [9]. При необходимости можно создать практически любое изображение на экране телевизора, что зависит только от настойчивости и терпения программиста, а также мощности микроконтроллера.

Микросхема KP556PT4A (DDA) программируют в соответствии с табл. 2. За основу взято описание конструкции в [10]. В столбцах 0—3 и 8—В записано значение 0 во всех строках, что соответствует уровню синхросигнала. В столбцах 4—7 и С—F числа в строках 10—60 определяют амплитуды фаз поднесущей PAL разных цветов (синего, красного, пурпурного, зеленого, голубого и желтого соответственно). При этом столбцы 4—7 относятся к четным телевизионным строкам, а столбцы С—F — к нечетным. Строка 00 задает уровень черного, строка 70 — уровень белого. Строка 80 содержит амплитуды фаз стробирующей вспышки PAL. В строках 90—F0 записаны уровни серого для черно-белого изображения и цветных полос SECAM. При правильном подобранном резисторах R21—R24 видеосигнал градиент яркости на эмиттере транзистора VT1 будет такой, как показано на рис. 3.

Как уже было указано, ЦАП на резисторах R17—R20 (см. рис. 2) формиру-

Таблица 2

Адрес строки	Значение ячейки в столбце							
	0	1	2	3	4	5	6	7
00	0000	4444	0000	4444	0000	4444	0000	4444
10	0000	8956	0000	8956	0000	8956	0000	8956
20	0000	A6B7	0000	A6B7	0000	A6B7	0000	A6B7
30	0000	C9A7	0000	C9A7	0000	C9A7	0000	C9A7
40	0000	8CAE	0000	8CAE	0000	8CAE	0000	8CAE
50	0000	AE9D	0000	AE9D	0000	AE9D	0000	AE9D
60	0000	CBFE	0000	CBFE	0000	CBFE	0000	CBFE
70	0000	EEEE	0000	EEEE	0000	EEEE	0000	EEEE
80	0000	4264	0000	4264	0000	4264	0000	4264
90	0000	6666	0000	6666	0000	6666	0000	6666
A0	0000	8888	0000	8888	0000	8888	0000	8888
B0	0000	9999	0000	9999	0000	9999	0000	9999
C0	0000	AAAA	0000	AAAA	0000	AAAA	0000	AAAA
D0	0000	BBBB	0000	BBBB	0000	BBBB	0000	BBBB
E0	0000	CCCC	0000	CCCC	0000	CCCC	0000	CCCC
F0	0000	EEEE	0000	EEEE	0000	EEEE	0000	EEEE

падают на вход RA4 микроконтроллера DD3 для измерения, а через конденсатор C8 и резистор R9 — на формирователь полного видеосигнала на транзисторе VT1.

Кроме управления генератором поднесущих SECAM, микропроцессор DD3 совместно с ППЗУ DD4 и ЦАП на резисторах R21—R24 формируют яркий видеосигнал SECAM и сигналы PAL. Для этого микросхемы соединены между собой цепями SYNC, FH2, R, G, B и STB.

В качестве звукового сигнала используются импульсы полустроичной частоты, снимаемые с выхода RA0, которые проходят на выход устройства через делитель R13R14 и конденсатор C9. Звуковой (аудио) и видеосигналы по-

ступают на ВЧ модулятор MOD, который взят готовый от видеоприставки "SEGA". При желании его можно сделать самим по описанию в [8].

Формирование всех сигналов и временные соотношения обеспечиваются микроконтроллером DD3. Коды программирования процессора в HEX-файле с одной из версий программы (вертикальные полосы) представлены в табл. 1. Для сокращения программы допущен ряд упрощений: длительность кадра принята равной 312-ти строкам, длительность кадрового гасящего импульса — 24-м строкам, уравнивающие импульсы присутствуют только в кадровом синхросигнале и др.

Большинство указанных упрощений никак не влияют на качество телевизи-

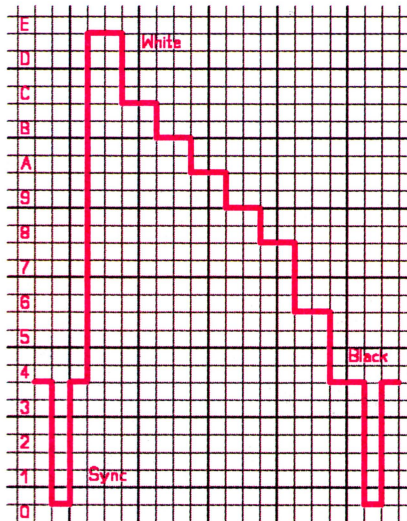


Рис. 3

Таблица 3

Сигнал		Значение кода для системы (строки)		
		PAL	SECAM (B)	SECAM (R)
Строб.	STB	x8h	—	—
Опозн. цвета	0	—	20h	D0h
Черный	0	x0h	60h	80h
Синий	B	x1h	99h	99h
Красный	R	x2h	5Ah	4Ah
Пурпурный	RB	x3h	8Bh	5Bh
Зеленый	G	x4h	4Ch	BCCh
Голубой	GB	x5h	7Dh	CDh
Желтый	GR	x6h	3Eh	7Eh
Белый	GRB	x7h	6Fh	8Fh

ет цветоразностные сигналы для генератора поднесущих SECAM. В табл. 3 представлены шестнадцатичные коды, которые должны появиться на выходах порта В микроконтроллера DD3 для получения необходимых сигналов. Причем младший полубайт порта В определяет яркость, а старший — цвет в системе SECAM, что учитывается для обеспечения задержки между яркостным и цветоразностными сигналами. Поочередно через строку прибор формирует то синюю В, то красную R строки. При точно подобранных резисторах R17—R20 в точке их соединения с цепью C3R4 осциллограмма цветных полос SECAM будет соответствовать рис. 4. После регулировки генератора (элементы DD1.4—DD1.6 на рис. 2) на выходе элемента DD1.6 должны присутствовать частоты, указанные на рис. 4. Частоты 3,9 и 4,76 МГц соответствуют сигналам опознавания цвета во время кадрового гасящего импульса.

Питается прибор от выносного нестабилизированного блока питания, обеспечивающего ток не менее 200 мА при напряжении 9 В, например, от видеоприставки "DENDY". В самом приборе применен интегральный стабилизатор DA1 (см. рис. 2) напряжения +5 В (микросхема серии 7805 или ее отечественный аналог KP142EH5A). Стабилизатор

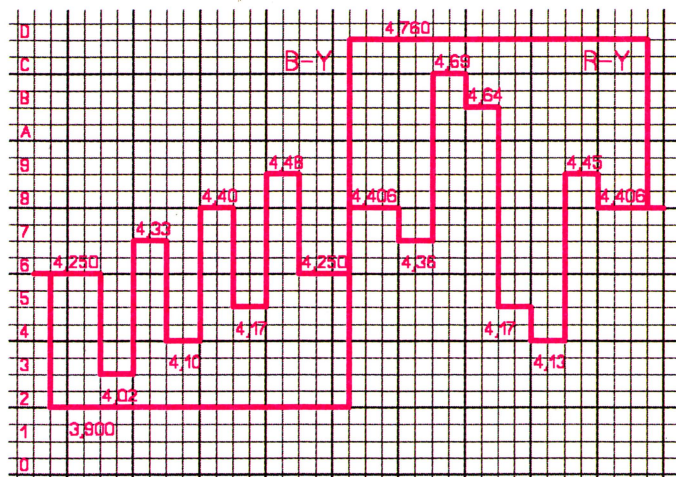


Рис. 4

тор обязательно необходимо снабдить теплоотводом, так как его нагрев довольно ощутим.

Максимальный вклад в потребление тока вносит микросхема KP556PT4A (DD4). К сожалению, заменить ее другой непросто. Если радиолюбители столкнутся со сложностью приобретения и программирования этой микросхемы, то ее можно исключить, конечно, потеряв при этом формирование сигналов PAL, но уменьшив потребление тока. Вместо микросхемы вплавляют перемычки между отверстиями подключения выводов 1 и 12, 2 и 11, 3 и 10, 7 и 9, а также изменив сопротивление резисторов R21—R24 на 240, 470, 1 300 и 360 Ом соответственно. Возможно, придется подобрать резистор R10 для правильного формирования видеосигнала.

В устройстве вместо микросхемы HD74HC04N (DD1) можно применить отечественный аналог KP1564ЛН1. Микросхемы других серий работают хуже, хотя в крайнем случае можно применить и их, подобрав при этом резисторы R3—R8 в сторону уменьшения сопротивления и конденсатор C3. В позиции DD2 можно применить аналогичную микросхему из серий K555, KP1533, K155, 74LS74 и др. Вместо диода КД409А (VD1) более распространенные диоды серии КД522 также работают хуже. Кнопка SB1 — SWT-20. Подстроечный резистор R16 — СПЗ-38а, но лучше использовать многооборотный СП5-3.

Устройство собрано на печатной плате, изображенной с двух сторон на рис. 5, из односторонне фольгированного стеклотекстолита, чтобы упростить повторение прибора. Вид на один из вариантов его конструкции (применены отдельные микросхемы в генераторах тактовой частоты и поднесущих SECAM) представлен на 1-й с. обложки. На печатной плате предусмотрены места для установки двух гнезд типа "тюльпан", светодиода, кнопки, разъема для подключения выносно-

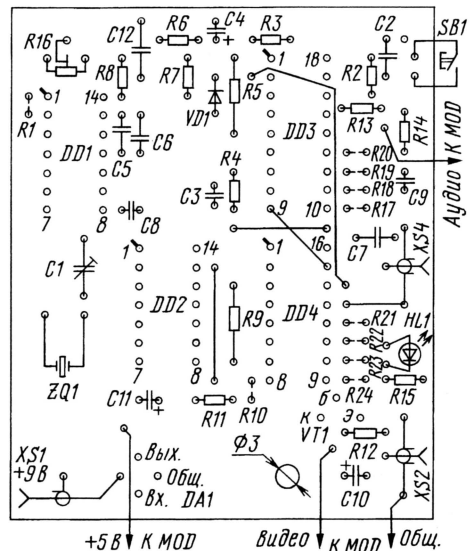
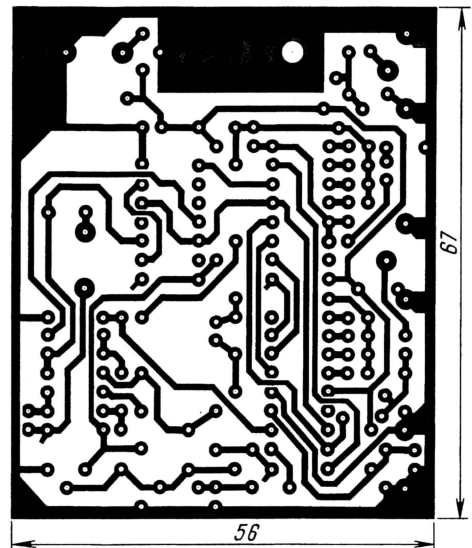


Рис. 5

го блока питания и интегрального стабилизатора напряжения 7805 с теплоотводом.

Качество работы прибора очень существенно зависит от точности подбора резисторов ЦАП R17—R20 и R21—R24. Их номиналы должны отличаться точно в два раза.

Налаживание генератора PAL заключается в подстройке конденсатором C1 частоты 8867238 Гц. Генератор поднесущих SECAM подстраивают резистором R16 до получения правильного чередования цветов на экране телевизора в сигнале цветных полос SECAM. Необходимых НЧ предсказаний добиваются до устранения "тянучек" цвета подбором конденсатора C3 и резистора R5, а насыщенности цветов — подбором резистора R4. Амплитуду видеосигнала можно изменять подбором резистора R10.

С целью улучшения потребительских качеств прибора можно заменить микроконтроллер на более мощный и быстродействующий. Например, не меняя разводку проводников печатной платы, допустимо использование процессоров как импортных PIC16F84-20P, PIC16F628, так и отечественного КР1878ВЕ1. При этом сигналом тактовой частоты можно использовать те же колебания 8,86 МГц с генератора на элементах DD1.1—DD1.3 или применить собственный кварцевый резонатор до 20 МГц, подключаемый к выводам 15, 16 микроконтроллера. Для формирования цветowych поднесущих SECAM можно установить микросхему КР531ГГ1 (74LS124), содержащую два мультивибратора-автогенератора, как это сделано в компьютерах "Кворум" и "АТМ-турбо", или микросхему 74НС4046.

Дополнительные материалы по программированию микросхем (HEX-файл для МК и bin-файл для ППЗУ) можно найти на FTP-сервере редакции журнала "Радио" по адресу: <<ftp://ftp.radio.ru/pub/2005/06/NakGTS.zip>>.

ЛИТЕРАТУРА

1. **Дергачев В.** Генератор испытательных сигналов. — Радио, 1985, № 6, с. 30—32.
2. **Отрошко В.** Приставка к генератору испытательных сигналов. — Радио, 1988, № 4, с. 30—32, 48.
3. **Шкуропат В.** Устройство формирования цветных полос для приставки к ГИС. — Радио, 1992, № 1, с. 40—43, 56.
4. **Суетин В.** Видеотест. — Радио, 1994, № 9, с. 4—7; № 10, с. 5—7; № 11, с. 5—8.
5. **Зорин С.** Цифровой телетест. — Радио, 1997, № 4, с. 6, 7; № 5, с. 11, 12.
6. **Рюмик С.** "DENDY" — генератор испытательных телевизионных сигналов. Новая версия. — Радио, 2002, № 10, с. 29—32.
7. <<http://www.microchip.ru>>.
8. **Рюмик С.** Особенности схемотехники 16-битных видеоприставок. — Радио, 1998, № 4, с. 29—32; № 5, с. 27—29; № 7, с. 23—26; № 8, с. 32—35.
9. **Самойлов В. Ф.** Основы цветного телевидения. — М.: Радио и связь, 1982.
10. **Яблонский О.** Кодер ПАЛ. — Радио, 1992, № 8, с. 37—39.

Редактор — А. Михайлов,
графика — Ю. Андреев и автор, фото — автора

Подключение дискового плейера к автомобильной магнитоле

М. САПОЖНИКОВ, г. Ганей-Авив, Израиль

В статье рассмотрена практика подключения носимых дисковых плейеров к автомобильной магнитоле с внешним разъемом входа линейного уровня. Автор рекомендует использовать стабилизатор напряжения питания и гальваническую развязку сигнальных цепей, обеспечивающих высокую помехозащищенность.

В последнее десятилетие получили распространение носимые плейеры для воспроизведения фонограмм с компакт- и мини-дисков. Достаточно большой объем памяти буфера считывания — до двух-трех минут — позволяет использовать эти компактные аппараты и в автомобиле, чтобы слушать музыку в поездке, подключив аппарат к автомагнитоле.

Автомобилисты, у которых накопилось и используется большое число магнитофонных компакт-кассет, предпочитают именно эти аппараты, потому что компакт-кассета еще не скоро выйдет из обихода, а завоевывающий популярность формат компакт-диска с компрессицией MP-3 читается пока не каждым проигрывателем "головного" устройства.

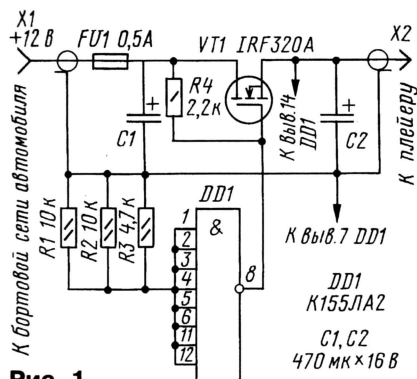


Рис. 1

В продаже имеется выбор адаптеров для питания разного рода плейеров, но как оказывается, стабильность напряжения на выходе этих блоков недостаточна для надежной работы плейера в автомобиле. В автомобильной сети периодически возникают броски и провалы напряжения, связанные с изменением режима работы двигателя, включением осветительных приборов автомобиля (фар и указателей поворота) и звукового сигнала. Из-за этого могут возникать сбои в работе плейера. И как оказывается, внутри малогабаритных плейеров в цепи питания часто отсутствуют стабилизаторы напряжения, вместо которых можно обнаружить резистивный делитель напряжения, нагруженный на эмиттерный повторитель, в роли регулирующего элемента. Или же внутри такого устройства находится стабилизатор на микросхеме серий 78xx или LM317 (что гораздо лучше).

В настоящее время в широкой продаже доступны мощные полевые транзис-

торы с изолированным затвором. Они подходят для изготовления стабилизаторов напряжения более высокого качества, в том числе и для питания носимого дискового плейера в автомобиле. Сама конструкция при этом получается очень простой и надежной. Схема одного из таких устройств приведена на рис. 1.

Регулирующий элемент — транзистор VT1, включенный по схеме истокового повторителя с использованием логического элемента ТТЛ (DD1) [1] в качестве стабилизатора. Как показала практика, такие стабилизаторы обеспечивают стабилизацию высокого качества и в разное время были использованы радиолюбителями в своих конструкциях.

Все устройство собрано в корпусе неисправного блока питания (рис. 2), включаемого в гнездо "прикуривателя". В торце этого корпуса размещен подходящий теплоотвод площадью 50 см²,

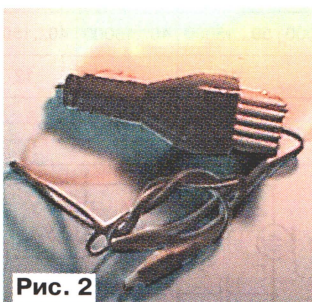


Рис. 2

на котором установлен транзистор VT1. Монтаж элементов стабилизатора — навесной на выводах микросхемы DD1 (K155ЛА2); после подбора напряжения стабилизации узел залит эпоксидным компаундом.

Напряжение на выходе 4,5 В устанавливают подбором одного из резисторов R1—R3. При этом выход устройства необходимо нагрузить на эквивалент нагрузки. Как правило, большинство плейеров потребляют ток 100...150 мА, поэтому следует взять нагрузочный резистор сопротивлением 30...50 Ом.

Кроме проблем стабильности питания, иногда возникают сложности с подачей сигнала с линейного выхода плейера на усилитель автомагнитолы. Проще всего это сделать, используя специальную кассету, которую устанавливают в ЛПМ магнитолы, и сигнал с плейера через кабель и магнитную петлю поступает в блок магнитных головок. Но такой способ передачи сигнала имеет недостатки: частотные искажения из-за маг-

нитных головок и нелинейные искажения в тракте воспроизведения. Более качественная передача сигнала возможна через радиотракт посредством специального конвертера, включаемого между антенной и антенным входом.

Для подключения плейера посредством кабеля наиболее пригодны аппараты, которые имеют линейный вход в виде гнезда для разъема "миниджек" диаметром 3,5 мм на передней панели или "тюльпана"; в некоторых аппаратах они не связаны с системой управления чейнджера компакт- или мини-дисков (аппарата для хранения и автоматического проигрывания определенного числа дисков). К таким аппаратам можно подключиться непосредственно через кабель, но в некоторых случаях при этом прослушиваются помехи от цепей управления плейера или коллектора его электродвигателя, а также слышны помехи от электрических систем самого автомобиля. Причиной тому — замкнутый контур общего провода, так как питание на автомагнитолу поступает еще и через общий провод сигнального кабеля с плейера.

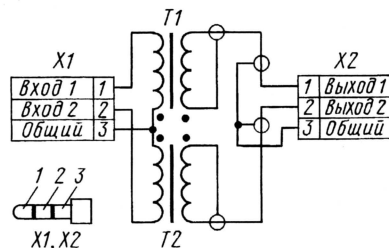


Рис. 3

Эту проблему возможно решить гальванической развязкой либо по цепям питания (питать плейер от отдельной или собственной батареи), либо применить трансформаторы, гальванически разделяющие по сигналу плейер и автомагнитолу. В разрыв сигнального кабеля, соединяющего эти два аппарата, включают разделительное устройство из двух низкочастотных трансформаторов, имеющих близкий к единице коэффициент трансформации (например, из серии TOT [2]). На рис. 3 изображена схема такого согласующего устройства для автомагнитолы со входом на лицевой панели с гнездом типа "миниджек".

В одном случае использованы трансформаторы ЗЧ для обеспечения балансного гальванически независимого выхода, а в другом — были взяты два магнитопровода от сетевых трансформаторов сечением 2 см² и в два провода были намотаны обмотки до заполнения каркаса (без счета витков). Внутри разделительного устройства трансформаторы следует поместить в жестяные экраны для защиты от внешних электромагнитных помех.

ЛИТЕРАТУРА

1. Мисюнас Г. Стабилизатор напряжения на логическом элементе TTL. — Радио, 1980, № 9, с. 50.
2. Сидоров И. Н. и др. Малогабаритные трансформаторы и дроссели. Справочник. — М.: Радио и связь, 1985, с. 315—338.

Редактор — А. Соколов, графика — Ю. Андреев

Измерение электроакустических характеристик громкоговорителей

К. ФИЛАТОВ, г. Таганрог

Автором предложена методика измерений основных электроакустических характеристик громкоговорителя, применимая в радиолюбительской практике, на основе программных средств персонального компьютера и конденсаторного микрофона с усилителями.

Громкоговорителем называют электроакустический преобразователь в конструктивном оформлении для эффективного излучения звука в воздушной среде. В нем могут быть размещены электрические фильтры, трансформаторы и др. [1]. Наибольшее распространение получили электродинамические и электростатические преобразователи. Многополосные или размещаемые в нескольких корпусах громкоговорители нередко называют акустической системой (АС).

Громкоговорители имеют ряд электроакустических и технических характеристик: эффективный рабочий диапазон частот, неравномерность амплитудно-частотной характеристики (АЧХ), уровень характеристической чувствительности, номинальное среднее звуковое давление, номинальное электрическое сопротивление, частота основного резонанса, полный коэффициент гармонических искажений. Использо-

отражений можно попытаться получить на открытом воздухе, например, на крыше здания, положив громкоговоритель излучающей стороной вверх, или выставив его в открытое окно, как это часто делают любители громкой музыки (метод открытого полупространства).

Специализированная аппаратура для акустических измерений практически недоступна для радиолюбителей из-за высокой стоимости. В настоящее время широкое распространение получили персональные компьютеры (ПК), поэтому целесообразно использовать в качестве источника и регистратора сигналов ПК, создав на его основе виртуальный прибор (ВП) для акустических измерений.

Измерительный микрофон используют, как правило, конденсаторный ненаправленный. Помимо капсулы (преобразователя звукового давления в напряжение) в измерительный комплект входят источник поляризующего напря-

пределенными результаты измерений.

ЧХЧ отдельных экземпляров микрофонов серийного производства значительно отличаются от типовой ЧХЧ, приводимой в справочниках, — не более чем на $\pm 2...3$ дБ. В таблице представлены типы микрофонов, выпущенных отечественной промышленностью за последние 40 лет и обладающих широким номинальным диапазоном частот и малой неравномерностью ЧХЧ.

В брошюре [5] приведены экспериментальные измеренные и усредненные по нескольким экземплярам микрофонов ЧХЧ 105 моделей популярных микрофонов, производимых известными фирмами. Особо следует отметить конденсаторные микрофоны отечественного производства, выпускаемые в настоящее время ОАО "Октава": МК-012, МК-219 и МК-319. Из них в качестве измерительного можно рекомендовать микрофон МК-012 со сменными капсулами, имеющий бестрансформаторный выход. С капсулем, обеспечивающим круговую характеристику направленности, этот микрофон обладает малой неравномерностью ЧХЧ в диапазоне 20...20000 Гц и низким уровнем собственного шума.

По самому принципу действия электростатические (конденсаторные) микрофоны — приемники давления обладают весьма равномерной ЧХЧ от единиц герц до 5...20 кГц. Нижняя граница этого диапазона определяется входным сопротивлением микрофонного усилителя (0,5...5 ГОм) и емкостью капсулы (6...60 пФ), а верхняя — конструктивными особенностями капсулы. Так, широко распространенный миниатюрный конденсаторный электретный микрофон МКЭ-3 (не-

Тип микрофона	МД-38	МД-59	МК-5А	МКЭ-3	МКЭ-5Б	МКЭ-19	МК-120	КМК-51
Номинальный диапазон частот, Гц	50...15000	50...15000	20...20000	50...15000	40...16000	40...15000	40...16000	20...20000
Неравномерность ЧХЧ, дБ	8	8	4	10	12	12	6	10
Чувствительность на 1 кГц, мВ/Па	0,63	0,63	1,1	4	2,5	1,5...3	10	10

ется также несколько определений мощности громкоговорителя: характеристическая, предельная максимальная шумовая (паспортная), предельная максимальная синусоидальная, предельная максимальная долговременная и предельная максимальная кратковременная [2, 3].

В статье предложена методика измерений основных электроакустических характеристик и параметров громкоговорителей, применимая в радиолюбительской практике. Для этого разработан виртуальный прибор на базе персонального компьютера, а также технические и программные средства проведения измерений параметров акустических систем и громкоговорителей высокой верности воспроизведения (категории Hi-Fi).

Для проведения акустических измерений необходимо иметь заглушенное (безэховое) помещение, источник и регистратор тестовых сигналов, аттестованный измерительный микрофон [3]. Наиболее сложно выполнить первое условие.

В промышленности и в исследовательских учреждениях для получения условий свободного поля используют специальные заглушенные звукомерные камеры. В бытовых условиях отсутствие

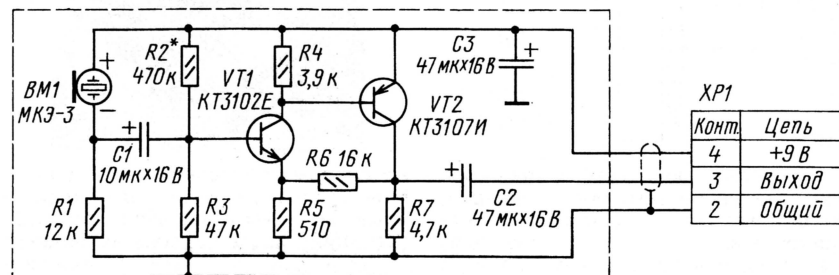


Рис. 1

жения и предусилитель. Аттестованный микрофон — дорогостоящий прибор, как и многие измерительные приборы. В радиолюбительской практике для этих целей можно использовать ненаправленные широкополосные микрофоны (приемники давления) с известными чувствительностью и частотной характеристикой чувствительности (ЧХЧ). У направленных микрофонов (приемников градиента давления — двунаправленных и кардиоидных — однопольных) проявляется "эффект близости", выраженный в подъеме ЧХЧ в области низких частот (ниже 500...1000 Гц) по мере приближения к источнику звука [4], что делает нео-

направленный) имеет неравномерность ЧХЧ не более 10 дБ в номинальном диапазоне частот 50...15000 Гц, чувствительность 4...20 мВ/Па и уровень эквивалентного звукового давления шума 35 дБА [1]. Его недостаточная чувствительность (у профессиональных измерительных конденсаторных однодюймовых микрофонов чувствительность составляет 50 мВ/Па) и относительно высокое полное электрическое сопротивление (4 КОм) легко корректируются дополнением несложного микрофонного усилителя. Если откалибровать такой микрофон совместно с этим усилителем, то его вполне можно использовать как средство измерений.

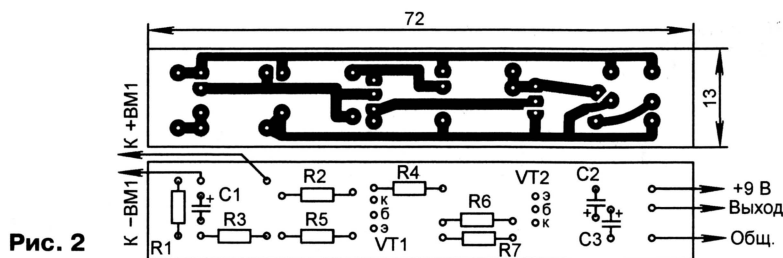


Рис. 2

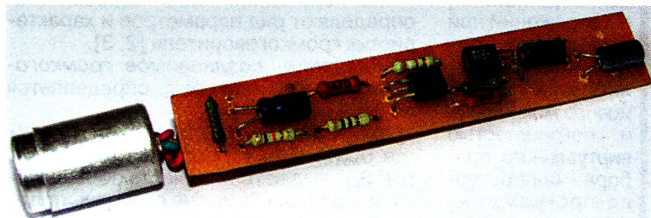


Рис. 3

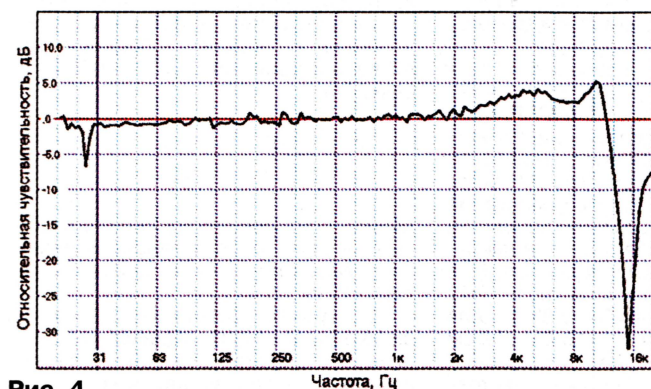


Рис. 4

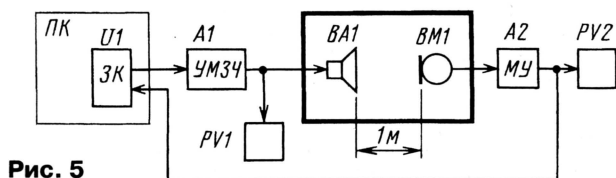


Рис. 5

На рис. 1 показана электрическая схема микрофонного усилителя, предназначенного для совместной работы с электретным миниатюрным микрофоном МКЭ-3.

Неинвертирующий усилитель выполнен на двух биполярных транзисторах разной структуры проводимости по схеме Дарлингтона. Его коэффициент усиления определяется формулой $K_v = 1 + R_6/R_5 = 32$ (около 30 дБ) и постоянен в диапазоне частот 20...20000 Гц. Для уменьшения наводок и фона усилитель питается от гальванической батареи (аккумуляторов). Выход микрофонного усилителя соединяют с линейным входом звуковой карты ПК экранированным проводом, оканчивающимся штекером типа mini jack (на схеме не показан).

Печатная плата этого усилителя изображена на рис. 2, она помещена в металлическую трубку (экран) с внутренним диаметром 13...14 мм, которую соединяют с общим проводом. С одной стороны трубки в нее вставляют микрофон МКЭ-3 (необходима изолирующая прокладка между корпусом микрофона

и трубкой), а соединительный кабель длиной около 2 м выводят с другого конца трубки.

Микрофон МКЭ-3 подключают к усилителю двумя проводниками — плюсовой (по схеме) вывод имеет синий (черный, зеленый) цвет, а минусовый — белый (желтый, оранжевый).

Настройка усилителя заключается в подборе резистора R2, обеспечивающего напряжение на коллекторе транзистора VT2, равное половине напряжения питания.

Изготовлен макет описанного узла, на рис. 3 приведена его фотография с подключенным микрофоном МКЭ-3.

Измеренная в условиях свободного поля на частоте 1 кГц чувствительность использованного эк-

земпляра микрофона МКЭ-3 (с предусилителем) равна $S_{ом} = 240 \pm 30$ мВ/Па, а частотная характеристика чувствительности показана на рис. 4.

Неравномерность ЧХЧ в диапазоне 20...12000 Гц соответствует паспортной для микрофона МКЭ-3 и не превышает ± 5 дБ, что позволяет использовать этот преобразователь звукового давления в напряжение для акустических измерений.

В работе [5] описан измерительный аппаратно-программный комплекс на основе ПК и дана методика измерений применительно к измерению ЧХЧ микрофонов. Функциональная схема комплекса, модифицированного для измерения характеристик громкоговорителей, представлена на рис. 5. Комплекс состоит из ПК со звуковой картой и необходимого программным обеспечением, усилителя мощности А1, милливольтметров переменного тока PV1 и PV2. Испытуемый громкоговоритель BA1, образцовый микрофон BM1, микрофонный усилитель А2 (МУ) размещены в пространстве (помещении), обеспечивающем условия свободного поля.

Звуковая карта U1 должна допускать дуплексный режим работы, т. е. одновременное воспроизведение тестового сигнала и запись сигнала с выхода микрофонного усилителя. Милливольтметр PV1 контролирует напряжение на громкоговорителе, обеспечивающее подводимую к нему мощность 1 Вт. Милливольтметр PV2 служит для измерения напряжения на выходе микрофонного усилителя при определении характеристической мощности громкоговорителя на частоте 1000 Гц.

Персональный компьютер должен иметь следующие минимальные характеристики: Celeron 333, 128 Мб RAM, 20 Мб свободного места на жестком диске, дуплексная звуковая карта 16 бит, ОС Windows 95/98, Me, XP.

В качестве милливольтметров переменного напряжения можно использовать мультиметр BP-11 или подходящий цифровой авометр, в качестве измерительного микрофона — описанный выше преобразователь акустического давления в напряжение.

Автор также использовал звуковую карту Creative SB128, ламповый стереоусилитель мощности "Прибой УМ-50" (один канал), милливольтметры В3-38А и громкоговоритель "Кливер" 150АС-009. В качестве датчика звукового давления применен аттестованный капсюль микрофона М101 (ООО "Измеритель", г. Таганрог, Россия) с микрофонным усилителем модели 2627 и двухканальным источником питания модели 2807 фирмы Brüel&Kjear (Дания).

Генерирование тестовых сигналов, регистрация сигналов с выхода микрофонного усилителя и последующая обработка полученных файлов данных выполняются с помощью ПК в специально разработанной для этого программе.

Тестовый сигнал состоит из трех частей: первые две части — тональные сигналы длительностью по 1,5 с частотой 1 кГц и уровнями 0 и -5 дБ соответственно. Они предназначены для калибровки программы визуализации итоговых АЧХ. Третья часть — синусоидальный сигнал длительностью 30 с и с изменяющейся по экспоненциальному закону частотой в диапазоне 20...20000 Гц (10 октав).

Для установок программного обеспечения необходимо скопировать файл setup.exe (файл setup.exe можно загрузить с сайта редакции журнала "Радио" по адресу <[ftp://ftp.radio.ru/pub/2005/06/izmeritel.zip](http://ftp.radio.ru/pub/2005/06/izmeritel.zip)>) в любую желаемую директорию и запустить его. После установки в выбранной директории появится исполняемый файл sound.exe. Для проведения измерений АЧХ необходимо запускать файл sound.exe. Интерфейс программы показан на рис. 6. Кнопки "Калибровка" и "Измерение" управляют режимами работы "Измерителя АЧХ", кнопка "1 кГц" включает/выключает формирование синусоидального сигнала частотой 1 кГц на выходе звуковой карты. Частоту дискретизации выбирают равной 44,1 или 48 кГц. Индикатор уровня имеет диапазон измерения сигнала, поступающего на вход АЦП звуковой карты, в интервале 0...35 дБ. Файл графика итоговой АЧХ громкоговорителя может быть сохранен в формате bmp.

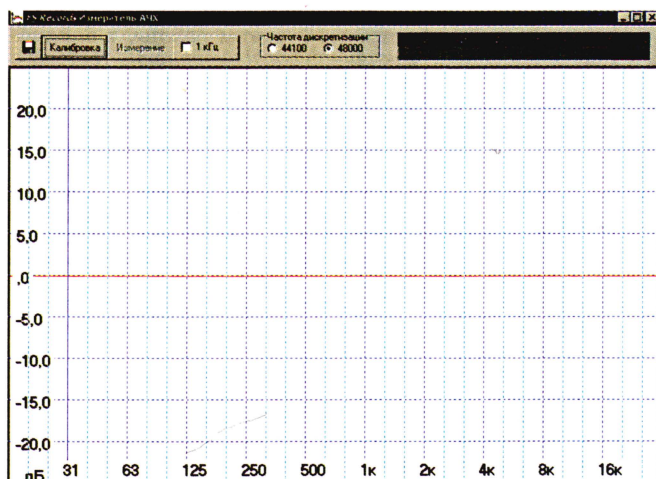


Рис. 6

Дополнительная информация о программе предоставляется при нажатии кнопки F1.

Методика измерений

Собирают измерительную установку в соответствии со схемой и подготавливают ее к работе. Для определения частотной характеристики громкоговорителя образцовый микрофон помещают в точку звукового поля, расположенную на расстоянии 1 м от центра громкоговорителя по нормали. При исследовании многополосных громкоговорителей образцовый микрофон целесообразно размещать напротив ВЧ головки ввиду обострения характеристик на повышенности на высоких частотах.

Нормированная АЧХ звукового давления громкоговорителя $K_{AC}(f)$ при отсутствии частотных искажений в звеньях измерительного тракта определяется в виде [3]:

$$K_{AC}(f) = 20 \lg \left(\frac{U_{MY}(f)}{U_{MY}(1000)} \right) \text{ (дБ)}, \quad (1)$$

где $U_{MY}(f)$ — напряжение на выходе микрофонного усилителя. К сожалению, не существует аппаратуры, в которой бы отсутствовали искажения (в данном случае частотные) — сквозная АЧХ звуковой карты компьютера имеет спад как на низких, так и на высоких частотах. То же самое относится к усилителю мощности и частотной характеристике образцового микрофона — преобразователя звукового давления в напряжение (см. рис. 4).

Поэтому в методику измерений введена процедура калибровки, чтобы компенсировать частотные искажения, вносимые звеньями измерительного тракта. Для проверки сквозной АЧХ звуковой карты и АЧХ усилителя мощности к его выходу подключают звуковую карту через резистивный делитель напряжения. Для корректной оценки погрешности АЧХ амплитуда сигнала на выходе делителя должна быть примерно равна амплитуде сигнала с выхода микрофонного предусилителя. Так как характеристическая чувствительность громкоговорителя обычно находится в интервале 0,3...0,6 Па/√Вт, то среднеквадратическое значение напряжения на выходе предусилителя примерно равно $(0,3...0,6)S_{OM} = 72...144$ мВ. По-

этому коэффициент деления напряжения выбирают в интервале от 15 до 55, в зависимости от номинального сопротивления громкоговорителя.

Погрешность измерений определяется наличием отражений при измерениях, погрешностью калибровки образцового микрофона и погрешностью виртуального прибора. Аппаратурно-программная погрешность "Измерителя АЧХ" не превышает ± 1 дБ.

Методика измерения АЧХ громкоговорителя состоит в следующем.

1. Запустить файл sound.exe на персональном компьютере. На виртуальном приборе нажать кнопку "1 кГц". Регуляторами уровня выходного сигнала в микшере Windows и в усилителе мощности с помощью милливольтметра PV1 установить на клеммах громкоговорителя с номинальным сопротивлением R_n среднеквадратическое значение напряжения, соответствующее мощности 1 Вт, определяемое из равенства $U_n = \sqrt{PR_n}$. Оно равно 2 В для $R_n = 4$ Ом; 2,83 В — для $R_n = 8$ Ом; 4 В — для $R_n = 16$ Ом. Затем нужно измерить на выходе микрофонного усилителя напряжение U_{MY} (на частоте 1000 Гц) и записать показания. Время усреднения — не менее 1 с. Регулятором чувствительности линейного входа звуковой карты компьютера установить такой уровень записываемого в компьютер сигнала, при котором индикатор уровня входного сигнала виртуального прибора (ВП) "Измеритель АЧХ" не превысит показание -5 дБ. Выключить УМЗЧ, показания индикатора уровня ВП, обусловленные внешними шумами, не должны превышать уровня -30 дБ. Выключить сигнал "1 кГц". Включить УМЗЧ.

2. Подключить вход звуковой карты к выходу резистивного делителя, нажать кнопку ВП "Калибровка" и произвести запись в ПК тестового сигнала. По формуле (1) в ПК вычисляется АЧХ $K_1(f)$ сквозного измерительного тракта без образцового микрофона и отображается в окне программы.

3. На вход звуковой карты подключить выход усилителя образцового микрофона. Нажать кнопку ВП "Измерение" и произвести запись в ПК сигнала с образцового микрофона. В процессе цикла "Измерение" необходимо следить за показаниями индикатора уровня ВП. Если на некоторых частотах показания превысят -5 дБ, необходимо дождаться конца этого цикла, затем уменьшить чувствительность линейного входа звуковой карты компьютера и повторить п. 2, 3. По формуле (1) в ПК вычисляется АЧХ $K_2(f)$ всего тракта, включая испытуемый громкоговоритель и образцовый микрофон, а затем разность $K_2(f) - K_1(f)$, которая и отображается в окне программы.

4. Рассчитать АЧХ исследуемого громкоговорителя по формуле

$$K_{AC}(f) = K_2(f) - K_1(f) + K_{OM}(f), \quad (2)$$

где $K_{OM}(f)$ — частотная характеристика чувствительности образцового микрофона в дБ (см., например, рис. 4). Этот расчет придется выполнить вручную, так как АЧХ образцового микрофона может иметь существенные отклонения от линейной.

По полученной таким образом АЧХ определяют ряд параметров и характеристик громкоговорителя [2, 3].

Давление, создаваемое громкоговорителем на частоте f_n , определяется по формуле

$$p = U_{MY}(f_n) / S_{OM} \text{ (Па)}, \quad (3)$$

где $U_{MY}(f_n)$ — выходное напряжение МУ, мВ; S_{OM} — чувствительность образцового микрофона (вместе с предусилителем) на частоте 1000 Гц, для описанного макета преобразователя звукового давления в напряжение $S_{OM} = 240$ мВ/Па.

Среднее звуковое давление p_{cp} , измеряемое в паскалях, определяют для АС в диапазоне частот 100...4000 Гц по формуле

$$p_{cp} = \sqrt{\frac{\sum_{i=1}^n p_i^2}{n}}, \quad (4)$$

где p_i — звуковое давление на i -й частоте; n — число частот в заданном диапазоне, выбранных с интервалом в $1/3$ октавы (19 частот).

Для громкоговорителей усреднение следует производить в диапазоне, ограниченном частотами: на одну октаву выше нижней и одну октаву ниже верхней граничных частот заданного диапазона.

Уровень среднего звукового давления в дБ вычисляется как

$$p_{cp}(\text{дБ}) = 20 \lg(p_{cp}/p_0), \quad (5)$$

где $p_0 = 2 \cdot 10^{-5}$ Па — нулевой уровень звукового давления.

Характеристическая чувствительность — среднее звуковое давление, развиваемое громкоговорителем в заданном диапазоне частот (обычно 100...8000 Гц) на рабочей оси на расстоянии 1 м при подводимой электрической мощности 1 Вт.

Эффективный рабочий диапазон частот определяется граничными частотами, на которых частотная характеристика спадает на 8 дБ по сравнению с уровнем среднего звукового давления.

Номинальное звуковое давление, развиваемое громкоговорителем, равно 1 Па (94 дБ) на расстоянии 1 м.

Характеристическая мощность — электрическая мощность возбуждения, создающая номинальное звуковое давление. Рассчитывается в ваттах по формуле

$$P_{\text{реб}} = U_{AC}^2 / Z_{AC}, \quad (6)$$

где U_{AC} — среднеквадратическое значение напряжения на зажимах громкоговорителя, обеспечивающее номинальное звуковое давление; Z_{AC} — модуль его полного сопротивления (Ом).

С помощью описанного виртуального прибора можно также измерить частотную зависимость модуля полного сопротивления $Z_{AC}(f)$ громкоговорителя. Для этого устройству по схеме рис. 5 дополняют переключателем SA1, пере-

менным проволочным резистором R1 и прецизионным резистором R2 (мощностью 1...2 Вт), как показано на рис. 7.

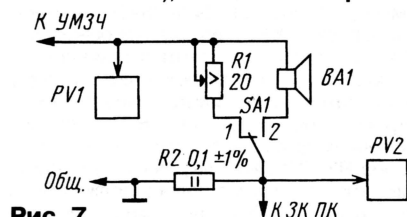


Рис. 7

Методика измерения $Z_{ac}(f)$ следующая.

1. Переключатель SA1 установить в положение 2 (АС). Включить на ВП сигнал "1 кГц". Регулировкой УМЗЧ установить напряжение на милливольтметре PV1 равным 2 В.

Измерить милливольтметром PV2 напряжение на резисторе R2 и записать показания.

2. Переключатель SA1 установить в положение 1 (к резистору R1). Регулировкой R1 добиться такого же показания милливольтметра PV2, как в предыдущем пункте.

3. Включить на ВП кнопку "Калибровка" и получить АЧХ $K_1(f)$.

4. Переключатель SA1 установить в положение 2 (к громкоговорителю). Включить на ВП кнопку "Измерение" и получить АЧХ $K_2(f)$, а затем $K_2(f) - K_1(f)$, которая отображается в окне программы. В процессе цикла "Измерение" необходимо следить за показаниями индикатора уровня ВП. Если на некоторых частотах показания превысят уровень -5 дБ, необходимо дождаться конца

этого цикла, затем уменьшить чувствительность линейного входа звуковой карты компьютера и повторить п. 3, 4.

5. Измерить омметром установленное значение сопротивления резистора $R1_{уст}$. Искомую зависимость модуля $Z_{ac}(f)$ рассчитывают (вручную) по формуле

$$Z_{ac}(f) = R1_{уст} 10^{\frac{(K_2(f) - K_1(f))}{20}}. \quad (7)$$

После проведения измерений и обработки полученных данных их можно сравнить с паспортными (если таковые имеются) и сделать заключение о соответствии характеристик громкоговорителя требуемым и его исправности.

Направленные свойства громкоговорителя можно оценить по предложенной в статье методике, сняв семейство АЧХ, измеренных под различными углами между рабочей осью и направлением на измерительный микрофон [1].

В соответствии с ГОСТ 16122-88 и IEC268-5 интервалы изменения углов выбирают кратными 15° в горизонтальной плоскости и 10° — в вертикальной. Для аппаратуры класса Hi-Fi установлено, что при изменении угла на 30° в горизонтальной плоскости и на 10° в вертикальной плоскости отклонение от АЧХ, измеренной на оси прямого излучения АС, не должно превышать 4 дБ.

Методика таких измерений состоит в следующем. АС устанавливают так, чтобы угол между ее рабочей осью и направлением на измерительный микрофон в горизонтальной плоскости был равен 30°. Угол измеряют, например, транспортиром. Записывают АЧХ АС. При неизменном положении измерительного мик-

рофона громкоговоритель поворачивают на 15° и опять записывают АЧХ. Так получается семейство АЧХ, записанных при различных углах установки АС: -30°, -15°, 0°, +15° и +30° в горизонтальной плоскости. Затем АС кладут на бок и процедуру повторяют для вертикальной плоскости. При желании из полученных данных можно построить полярные диаграммы для сектора углов ±30° на стандартных частотах: 500, 1000, 2000, 4000 и 8000 Гц.

Применение ветрозащиты измерительного микрофона нежелательно ввиду существенного влияния ветрозащитных экранов (колпаков) как на АЧХ микрофона, так и на его характеристику направленности. Радиолюбителям не нужно заботиться о выполнении производственного плана и всегда можно выбрать тихий день для проведения измерений.

ЛИТЕРАТУРА

1. Бытовая электроакустическая аппаратура: Справочник. /И. А. Алдошина и др./ — М.: Радио и связь, 1992.
2. Алдошина И. А. Акустическая метрология. Часть 1. Электроакустические параметры излучателей. — Install Pro, 2001, № 5.
3. ГОСТ 16122-87. Громкоговорители. Методы измерений электроакустических параметров.
4. Алдошина И. А. Акустическая метрология. Часть 5. Электроакустические параметры микрофонов. — Install Pro, 2002, № 3, с. 82—89.
5. Филатов К. В., Филатов А. К. Частотные характеристики чувствительности популярных микрофонов конца XX века. — Тагнрог: ТГРТУ, 2003, 51 с., 172 илл. (Деп. в ВИНТИ № 1334-B2003).

Редактор — А. Соколов, графика — автор, Ю. Андреев, фото — автора

Автономный блок звукоусиления на основе входного модуля микшерного пульта

Э. КУЗНЕЦОВ, г. Москва

При налаживании входного модуля порог срабатывания компрессора выставляют подстроечным резистором R33 так, чтобы не допустить перегрузки УМЗЧ. При большом уровне входного сигнала на экране осциллографа хорошо видно двустороннее ограничение сигнала на выходе усилителя. Нужно снизить порог срабатывания АРУР, чтобы это не происходило. Для микросхемы TDA1516BQ номинальное входное напряжение оказывается примерно равным 0,5 В. Если в УМЗЧ будет применена иная микросхема с другим усилением, то соответственно изменится и номинальное вход-

МКМЭ-400 (в этом случае на плате точки а и б соединены перемычкой) и к линейному входу одновременно подключен приемник радиомикрофона. Акустическая система из двух громкоговорителей типа 103П с большим запасом по звуковому давлению обеспечивала звукоусиление в помещении площадью более 250 м². Компрессор легко справляется с регулировкой уровня сигнала при значительных изменениях громкости звука перед микрофоном. Нужно только правильно выставить начальное усиление, поскольку микрофон МКМЭ-400 имеет очень высокую чувствительность и при

ночными подстроечными резисторами. Схема узла фильтров показана на рис. 6.

За основу взяты простые перестраиваемые узкополосные фильтры [9], включаемые в цепь ООС усилителя на основе ОУ. При регулировании центральной частоты изменяется и полоса режекции, поэтому приходится ограничивать диапазон перестройки каждого фильтра. В крайних положениях движков подстроечных резисторов R3, R10, R17 вырезаемая каждым фильтром частотная полоса должна быть достаточно узкой, но настройка не должна быть затруднена. Величину вносимого затухания на центральной частоте для каждого фильтра можно выбрать подбором сопротивления резисторов R5, R12, R19. Хотя и возможно добиться очень большого затухания, но в этом нет необходимости; практически достаточно 8...10 дБ. Схемы фильтров одинаковы и отличаются только номиналами конденсаторов. На рис. 7 показаны частотные характеристики режекции для крайних значений частот перестройки: сплошной линией — минимальные значения, штриховой — максимальные. При указанных на схеме значениях резисторов и конденсаторов для фильтра НЧ (C2, C3) центральная частота F₁ можно перестраивать от 78 до 480 Гц (экстремумы 1 и 1*), добротность при этом возрастает с 2,8 до 13,7. Затухание на частоте настройки почти не меняется — 14...15 дБ. Для фильтра ВЧ (C7, C8) частоту F₂ возможно перестраивать от 520 Гц до 5,2 кГц (экстремумы 3 и 3*) при изменении добротности от 3,2 до 14,3 и затухании от 16 до 9 дБ. Для фильтра СЧ (C12, C13) частота F₂ перестраивается от 168 Гц до 1,05 кГц (экстремумы 2 и 2*), при этом его добротность изменяется от 2,7 до 11, а затухание сохраняется в пределах 10...14 дБ.

Плату фильтров подключают после каскада на ОУ DA3.4 (см. рис. 1). Тумблер обхода каскадов режекции, полезный в эквалайзере [4], здесь не нужен, так как на речевых сигналах действие фильтров практически не заметно на слух.

На фото рис. 5 видно размещение регуляторов платы фильтров, установленной на внутренней стороне съемной боковой панели блока. По мнению автора, для перестройки фильтров переменные резисторы СП4-1 следует использовать с выводом осей под шлиц, чтобы избежать неквалифицированного изменения настройки. Ведь для исключения акустической "завязки" нужно заранее, до начала проведения мероприятия, точно настроить фильтры на критические частотные области, обусловленные неравномерностью АЧХ микрофона и акустической системы. Чаще всего достаточно настраивать одно СЧ звено. Если взаимное расположение микрофона и громкоговорителей не будет изменяться, то какого-либо вмешательства не потребуются. Точная настройка, обеспечивающая заданный уровень звукового давления без возникновения акустической обратной связи, нередко сопровождается неприятными звуками, поэтому ее нежелательно проводить в процессе проведения мероприятия.

ЛИТЕРАТУРА

9. Горюшков Б. И. Радиотехнические устройства. Справочник. — М.: Радио и связь, 1984.
Редактор — А. Соколов, графика — Ю. Андреев

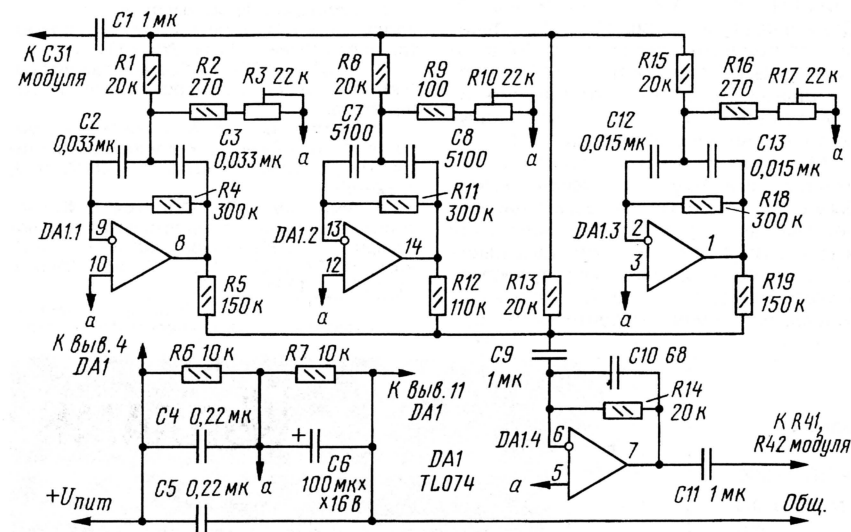


Рис. 6

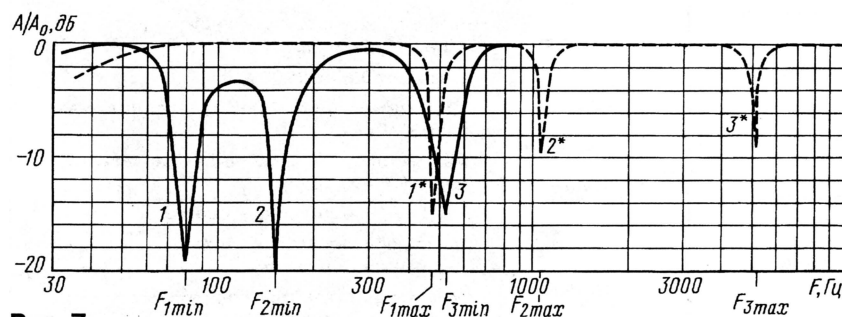


Рис. 7

ное напряжение. Линейный выход служит дополнительным и не имеет никаких регулировок, поэтому напряжение на нем будет соответствовать выставленному порогу срабатывания компрессора.

При испытании автономного варианта блока в реальных условиях озвучивания помещения он с успехом заменил простой микшерный пульт и усилитель мощности. В качестве источника сигнала был применен конденсаторный микрофон

максимальном усилении превышает допустимый запас по перегрузке (26 дБ).

Но испытания автономного блока с АРУР показали необходимость принятия мер по борьбе с акустической "завязкой". Встроить фильтры, подобные описанным в [3], не позволяют габариты блока, прежде всего, из-за сдвоенных переменных резисторов. Поэтому была разработана дополнительная плата (см. рис. 4), установленная вдоль левой стенки блока. На ней размещены три режекционных фильтра, перестраиваемых оди-

Окончание.

Начало см. в "Радио", 2005, № 5

РОССИЯ

МОСКВА. По просьбам читателей приводим полный перечень частот радиостанций, вещающих в столице.

ДИАПАЗОНЫ ДВ, СВ (частота указана в килогерцах): 153 — "Юность"; 198 — "Маяк" (традиционный формат); 261 — Радио России; 549 — "Маяк" (традиционный формат); 612 — "Голос России", "Алеф", "Ассирийская Волна", "Народное радио", "Радонеж", "Содружество"; 693 — "Немецкая Волна" (Германия, на немецком и русском языках); 810 — "Голос Америки" (США, на английском и русском языках); 846 — "Подмосковье", "Радонеж" (поочередно); 873 — Радио России (не используется); 963 — "Радиощерков"; 990 — "Славянка" (Минобороны, нерегулярно); 1044 — "Свобода"; 1116 — Христианский церковно-общественный радиоканал; 1134 — "Теос" (из Санкт-Петербурга, нерегулярно); 1152 — "Орфей"; 1260 — "Би-би-си" (Великобритания, на английском и русском языках); 1305 — "Дружба" (музыка народов СНГ); 1440 — "Radio France International" (Франция, на французском и русском языках); 1503 — "Центр" (ретрансляция зарубежных религиозных и этнических радиостанций на английском и русском языках).

ДИАПАЗОН УКВ-1 (частота указана в мегагерцах): 66,02 — "Любовь" ("Love Radio"); 66,44 — Радио России/"Подмосковье"; 66,86 — "Максимум"; 67,22 — "Маяк" (традиционный формат); 68,00 — "Авторadio"; 68,30 — "Радио-1" (на реконструкции, временно не работает); 68,84 — "Юность" ("Молодежный канал"); 69,26 — "Русское Радио-2"; 69,80 — "Европа Плюс" (Москва); 70,19 — "Best" (не используется); 71,30 — "Русское радио" (Москва); 72,14 — "Орфей"; 72,92 — "Ретро-FM" (не используется); 73,40 — "Радио-7 На семи холмах"; 73,82 — "Эхо Москвы" (Москва).

ДИАПАЗОН УКВ-2 (частота указана в мегагерцах): 87,5 — "Арсенал"; 88,0 — "ДО-радио"; 88,3 — "Ретро-FM"; 88,7 — "Диско"; 89,1 — "Джаз"; 89,5 — "Мегаполис-FM"; 89,9 — "Куранты"; 90,3 — "Авторadio"; 90,8 — "Тройка"; 91,2 — "Эхо Москвы"; 91,6 — "Культура"; 100,1 — "Серебряный дождь"; 100,5 — "Best FM"; 100,9 — "Классик"; 101,2 — "Динамит-FM"; 101,7 — "Наше Радио"; 102,1 — "Монте-Карло"; 102,5 — "Попса"; 103,0 — "Шансон"; 103,4 — "Маяк-24"; 103,7 — "Максимум"; 104,2 — "Энергия"; 104,7 — "Радио-7 На семи холмах"; 105,2 — "Next"; 105,7 — "Русское радио" (Москва); 106,2 — "Европа Плюс" (Москва); 106,6 — "Любовь" ("Love Radio"); 107,0 — "Русское радио-2"; 107,4 — "Хит-FM"; 107,8 — "Наше время" на "Милицейской волне".

МОСКВА. Радиоконпания "Голос России", вещательная служба "Содружество" в текущем сезоне передают (указаны интервалы времени вещания и частоты в килогерцах)

Время всюду — UTC.

ДЛЯ УКРАИНЫ И МОЛДАВИИ:

02.00—03.00, 08.00—09.00 и 10.00—15.00 — 1170; 08.00—12.00 и 13.00—15.00 — 936, 972; 13.00—15.00 — 999, 1548; 13.00—16.00 — 1431; 13.00—19.00 — 7370; 15.00—17.00 — 936.

ДЛЯ БЕЛОРУССИИ: 02.00—03.00, 08.00—09.00 и 10.00—15.00 — 1170; 14.00—19.00 — 9820.

ДЛЯ СРЕДНЕЙ АЗИИ: 02.00—03.00 — 648, 972; 02.00—03.00 и 12.00—19.00 — 1503; 12.00—15.00 — 9875; 13.00—14.00 — 1143; 13.00—15.00 — 9920; 14.00—18.00 — 9800; 15.15—17.00 — 9865; 16.00—18.00 — 972; 16.00—19.00 — 1026; 17.00—19.00 — 648.

ДЛЯ КAVKAZA: 02.00—03.00, 04.00—06.00, 15.00—16.00 и 21.00—22.00 — 1089; 14.00—17.00 — 11830; 16.00—19.00 — 234; 17.00—19.00 — 12055; 21.00—22.00 — 1314.

ДЛЯ СТРАН БАЛТИИ: 02.00—03.00, 08.00—09.00 и 10.00—15.00 — 1170; 13.00—19.00 — 7370; 14.00—19.00 — 9820; 18.00—19.00 — 1494.

ДЛЯ ЕВРОПЫ: 02.00—03.00, 08.00—09.00, 10.00—15.00 — 1170; 13.00—15.00 — 1548; 18.00—19.00 — 1494; 21.00—22.00 — 603, 693, 1323 кГц (последняя частота — во все дни, кроме среды и четверга).

ДЛЯ СТРАН БAЛТИИ И МОСКОВСКОЙ ОБЛАСТИ: 21.00—22.00 — 612.

МОСКВА. "Русское международное радио" на волнах "Голоса России" работает по следующему расписанию (указаны интервалы времени вещания и частоты в килогерцах)

ДЛЯ ЕВРОПЫ: 03.00—04.00, 06.00—08.00, 23.00—02.00 — 1170; 04.00—08.00 — 1548; 09.00—10.00 — 1215; 12.00—15.00 и 19.00—21.00 — 603, 693; 12.00—15.00 и 20.00—21.00 — 1323; 15.00—17.00 — 1494; 21.00—23.00 — 999, 1215; 23.00—05.00 — 7125.

ДЛЯ СЕВЕРНОЙ И ЦЕНТРАЛЬНОЙ АМЕРИКИ: 23.00—5.00 — 7125.

ДЛЯ БЛИЖНЕГО ВОСТОКА: 03.00—05.00 и 21.00—22.00 — 1170; 10.00—11.00 — 864; 10.00—12.00 — 1323; 11.00—12.00 и 14.00—17.30 — 801; 14.00—15.00 — 15430; 14.00—17.00 — 13850; 16.00—20.00 — 1089; 17.00—18.00 — 9835; 19.00—21.00 — 1314, 5985, 9825; 20.00—21.00 — 7260.

ДЛЯ УКРАИНЫ И МОЛДАВИИ: 06.00—08.00 и 23.00—04.00 — 1170; 04.00—08.00 — 1548; 15.00—19.00 — 972; 17.00—20.00 — 936; 21.00—23.00 — 999.

ДЛЯ БЕЛОРУССИИ: 06.00—08.00 и 23.00—04.00 — 1170; 12.00—17.00 и 18.00—21.00 — 1143.

ДЛЯ СРЕДНЕЙ АЗИИ: 02.00—04.00, 08.00—09.00, 11.00—12.00 и 14.00—17.30 — 801; 10.00—12.00 — 1323, 11750; 16.00—18.00 — 5925; 18.00—19.00 — 1323; 18.00—22.00 — 1143; 23.00—02.00 — 1026.

ДЛЯ KAVKAZA: 03.00—05.00 и 21.00—22.00 — 1170; 03.00—04.00 — 1089; 10.00—11.00 — 864; 14.00—17.00 — 13855; 19.00—21.00 — 1314.

ДЛЯ СТРАН БАЛТИИ: 03.00—04.00, 06.00—08.00 и 23.00—2.00 — 1170; 12.00—17.00 и 18.00—21.00 — 1143; 15.00—17.00 — 1494.

ЗАРУБЕЖНЫЕ СТРАНЫ

ГЕРМАНИЯ. Нижнесаксонское земельное учреждение по делам СМИ 17.03.2005 г. выделило средневолновую частоту 630 кГц для ретрансляции программ российской государственной радиоконпании "Голос России" на русском, немецком и английском языках. Передачи ведут через 100-киловаттный передатчик в Брауншвейге (Кенигслуттере). Лицензия выдана на 2 года. После этого передатчик должен перейти на работу в DRM-режиме (с цифровой модуляцией).

ВЕЛИКОБРИТАНИЯ. Передачи Русской службы "Би-би-си" в этом сезоне транслируются (указаны интервалы времени вещания и частоты в килогерцах):

07.00—07.30 (в будни) — 5875, 9585, 9685, 11845; 07.30—08.00 (в будни) — 9585, 9685, 11845, 13745; 08.00—08.30 (в будни) — 9585, 11845, 13745, 15685; 20.30—21.00 (ежедневно) — 11770, 11845, 12090, 13745, 15225; 21.00—22.00 (ежедневно) — 11770, 11845, 13745, 15225; 22.00—23.00 (ежедневно) — 7325, 11845, 13745, 15215, 15225; 23.00—23.30 (ежедневно) — 5875, 5990, 7325, 9635, 9825; 23.30—24.00 (по воскресеньям) — 5875, 5990, 7325, 9635, 9825.

ВЕЛИКОБРИТАНИЯ/РОССИЯ. С 20 апреля 2005 г. Русская служба "Би-би-си" начала работу с двумя новыми российскими партнерами: радиостанцией "Арсенал" в Москве (87,5 МГц) и радиостанцией "Ленинград" в Санкт-Петербурге (107,4 МГц). Программа "Утро на "Би-би-си" транслируется в Москве с 03.00 до 04.30, а в Санкт-Петербурге — с 03.00 до 05.00.

ИТАЛИЯ. Радиостанции "RAI International" вещают на русском языке (указаны интервалы времени вещания и частоты в килогерцах): 03.45—04.05 — 5970, 9670, 11830; 06.00—06.20 — 9670; 11795; 16.05—16.25 — 9555, 11700; 20.00—20.20 — 6185, 9615, 11805.

США. Радиостанции "Голоса Америки" в настоящее время вещают на русском языке (указаны интервалы времени вещания и частоты в килогерцах): 13.00—14.00 — 11725, 15130, 15205, 15215, 17720, 17730; 17.00—18.00 — 6105, 7220, 9520, 9615, 11935, 15370; 18.00—19.00 — 6105, 7220, 9520, 9615, 11885, 11935; на украинском языке: 04.00—05.00 — 7265, 9680, 12015; 20.00—20.30 — 6010, 9715, 11840.

ФИНЛЯДИЯ. "Радио Финляндия" вещает на русском языке (указаны интервалы времени вещания и частоты в килогерцах): 02.00—02.45 — 558; 08.15—08.55 — 558, 17695; 09.00—11.00 — 9600 (только по субботам); 12.15—12.55 — 9595; 19.00—19.45 — 558 (передачи на частоте 558 кГц рассчитаны на прием в Финляндии и соседних с ней странах).

Хорошего приема и 73!

Редактор — В. Поляков

О действующем объеме антенны

В. ГАВРИЛОВ, г. Красноярск

На публикации в журнале об эквивалентности электрических и магнитных антенн откликнулся автор предлагаемой статьи, который еще в 1993 г. пришел к аналогичным выводам, использовал их в своей диссертации и в практической работе, связанной с геофизикой и электроразведкой. Весьма интересны выводы автора относительно связи принимаемой антенной мощности и полосы пропускаемых частот.

Теория. В развитие идей, изложенных в [1], введем новую характеристику электрически малой антенны — действующий объем. Для увеличения отношения сигнал/помеха необходимо, чтобы отдаваемая антенной приемнику активная мощность P была максимальной. Зависимость ее от входного сопротивления R приемника, ЭДС антенны U_E , активной r и реактивной X составляющих импеданса антенны такова:

$$P = R I^2 = U_E^2 R / [(R+r)^2 + X^2].$$

Взяв производную по R от этого равенства и приравняв ее нулю, найдем оптимальное значение $R = \sqrt{X^2 + r^2}$, при этом мощность, отдаваемая антенной приемнику, будет

$$P_{\max} = U_E^2 / 2(r + \sqrt{X^2 + r^2}). \quad (1)$$

В частности, при $X = 0$ формула дает известное выражение для максимальной мощности, отдаваемой в нагрузку источником с активным внутренним сопротивлением:

$$P_{\max} = U_E^2 / 4r.$$

Введя добротность $Q_0 = |X|/r$, формулу (1) приведем к виду

$$P_{\max} = U_E^2 Q_0 / 2 |X| (1 + \sqrt{1 + Q_0^2}). \quad (2)$$

Здесь множитель, зависящий от Q_0 , характеризует потери энергии и может трактоваться как КПД антенны η :

$$\eta = Q_0 / (1 + \sqrt{1 + Q_0^2}). \quad (3)$$

При $\eta = 1$ из (2) получим формулу для потенциальной мощности P_0 — максимальной мощности, которую ненастроенная антенна может отдать приемнику:

$$P_0 = U_E^2 / 2 |X|. \quad (4)$$

Отметим, что антенна — источник с частотно-зависимым (реактивным) внутренним сопротивлением.

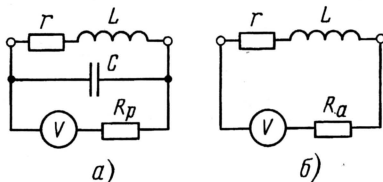


Рис. 1

Варианты подключения антенны к приемнику зависят от спектра сигнала: различают резонансный и апероидический. Резонансное подключение используют в радиосвязи (вещании). Оно обеспечивает существенное (в $Q_0/2$ раз) уве-

личение энергии взаимодействия антенны с внешним полем за счет резонансного накопления энергии принимаемого сигнала в реактивной составляющей импеданса антенны. Апероидическое подключение используют в радиоволновых методах исследований, когда требуется высокая точность передачи форм импульсов, например, в электроразведке методом переходных процессов.

На рис. 1, а показано резонансное, на рис. 1, б — апероидическое подключение рамочной антенны к приемнику. Найдем связь максимальных мощностей, отдаваемых приемнику в этих двух случаях. При резонансном подключении

$$X_p = 0; \quad U_p = Q_0 U_E; \quad P_p = Q_0^2 X;$$

$$P_p = U_p^2 / 4R_p = U_E^2 Q_0^2 / 4X = P_0 Q_0 / 2.$$

При апероидическом подключении:

$$R_A = X; \quad U_A = U_E; \quad P_A = U_E^2 / 2X = P_0.$$

Для отношения максимальных мощностей в нагрузке (приемнике) получим $P_p/P_0 = Q_0/2 = Q_R = f/\Delta f$; или $P_p \Delta f = P_0 f$. (5)

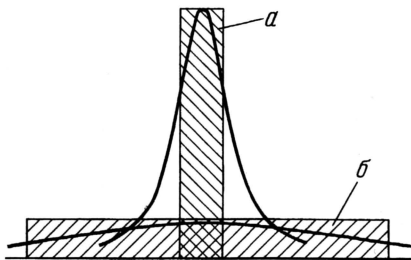


Рис. 2

На рис. 2 показано согласование спектра сигнала (заштрихован) с полосой пропускания антенны при резонансном а) и апероидическом б) подключениях.

Действующий объем антенны определим с использованием (4) как отношение потенциальной энергии сигнала на входе приемника к плотности энергии электрического (для электрической антенны) или магнитного (для магнитной антенны) приходящего поля. Получены формулы

$$V_E = 2\pi Ch_d^2 / \epsilon; \quad (6)$$

$$V_H = 2\pi \mu S_d^2 / L, \quad (7)$$

где ϵ, μ — диэлектрическая и магнитная проницаемости среды; h_d, S — действующая длина и емкость электрической антенны; S_d, L — действующая площадь и индуктивность магнитной антенны.

Принцип обратимости позволяет утверждать, что формулы (6) и (7) справедливы и для передающих антенн. Тогда для двух одинаковых по геометрии антенн, электрической и магнитной, при равенстве реактивных мощностей в антеннах будем иметь

$$P_{XE} = P_{XH}; \quad V_E/V_H = P_{XE}/P_{XH} = 1; \quad V_E = V_H. \quad (8)$$

В случае работы на передачу мощности излучения электрической и магнитной антенн также одинаковы при равных реактивных мощностях P_0 на входе:

$$P_0 = 2\pi V P_0 / 3\lambda^3. \quad (9)$$

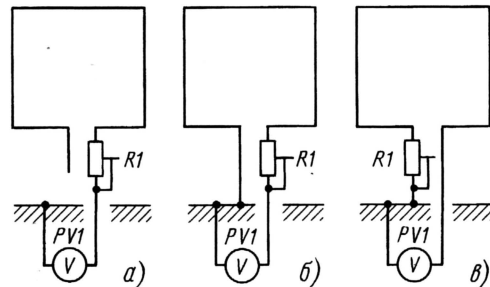


Рис. 3

Эксперимент. Было проверено равенство (8) действующих объемов антенны в электрическом и магнитном полях. Квадратную рамочную антенну из одного витка размерами $0,4 \times 0,4$ м размещали над металлизированным листом площадью 1 м^2 (рис. 3) с целью уменьшения влияния окружающих предметов. Индикатором PV1 служил селективный микровольтметр SMV-6.5. Измерения проводили при приеме радиовещательных станций "Красноярская волна" (218 кГц) и "Маяк" (595 кГц).

При приеме по электрическому полю один вывод рамки оставляли свободным (рис. 3, а). Сопротивления оптимальной нагрузки $R1$ в апероидическом варианте подключения оказались равными 25,4 (218 кГц) и 9,9 кОм (595 кГц). Диаграмма направленности — круговая.

При приеме по магнитному полю (рис. 3, б) сопротивления оптимальной нагрузки $R1$ на тех же частотах оказались равными 3,12 и 9,95 Ом (апероидический вариант); 21 и 105 Ом (резонансный вариант). Диаграмма направленности — "восьмерка".

Потенциальные мощности, отдаваемые антеннами, оказались одинаковыми во всех вариантах на каждой из частот.

Был проведен также эксперимент со включенным в "заземленный" вывод рамки резистором (рис. 3, в). При точной его подстройке (515 Ом на 218 кГц и 580 Ом на 595 кГц) диаграмма направленности имела форму кардиоиды, т. е. становилась однонаправленной [2]. Потенциальных мощностей в этом режиме не определяли.

Следующий эксперимент был поставлен с целью определения действующего объема рамочной антенны по геометрической площади ее контура и индуктивности, а также для подтверж-

Импульсный БП с акустическим выключателем для мультиметра

А. КАВЫЕВ, г. Уфа

Малогабаритный и простой преобразователь напряжения становится действительно хорошей альтернативой галетной батарее "Крона", используемой в мультиметре М-830 и аналогичных ему приборах. Акустический выключатель питания в дополнение к преобразователю представит несомненный интерес для некоторых пользователей, которые проводят кратковременные измерения. В отличие от ранее описанных автоматических таймеров, такое устройство питания не требует установки в прибор каких-либо механических контактных выключателей.

дения независимости действующего объема от числа витков. Была изготовлена круглая экранированная рамка диаметром 0,28 м, содержащая 8 секций по 8 витков провода ПЭЛ 0,7. Секции включали последовательно и параллельно в различных комбинациях, и во всех случаях, при изменении числа витков от 8 до 64, был получен действующий объем $4 \cdot 10^{-2} \text{ м}^3$ (с точностью не хуже $\pm 5,5\%$), соответствующий рассчитанному по формуле (7). Отношение действующего объема по полю к геометрическому объему тела вращения контура антенны — 3,79.

Краткий итог изложенного таков.

1. Потенциальная мощность, отдаваемая антенной приемнику на несущей частоте, не превышает половины реактивной мощности в ненагруженной антенне, формула (4).

2. Произведение максимальной мощности сигнала на полосу пропускания антенны есть величина постоянная, равная произведению потенциальной мощности сигнала в антенне на несущую частоту, формула (5).

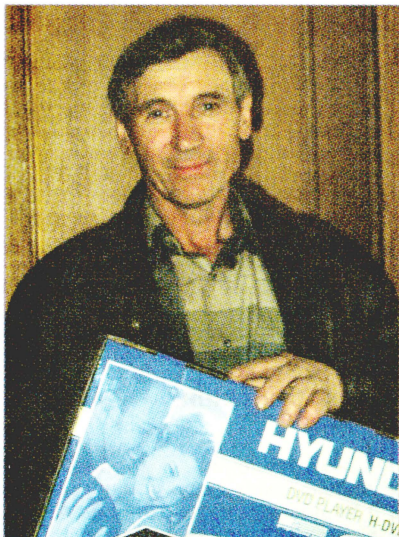
3. Действующий объем — параметр, характеризующий свойство антенны излучать и принимать электромагнитную энергию. Электрическая и магнитная антенны с одинаковыми формой и размерами имеют и одинаковые действующие объемы, формулы (6—8).

4. Электрическая и магнитная антенны с одинаковыми формой и размерами при равенстве реактивных мощностей в них излучают одинаковую мощность.

ЛИТЕРАТУРА

1. Поляков В. Эквивалентность электрических и магнитных антенн. — Радио, 2002, № 11, с. 16, 17; 2003, № 9, с. 19.
2. Направленные приемные антенны низкочастотных диапазонов. — Радио, 2004, № 5, с. 67, 68.

Редактор — В. Поляков, графика — Ю. Андреев



В прошедшей лотерее журнала "Радио" среди его читателей (по итогам второго полугодия прошлого года) обладателем DVD проигрывателя стал Анатолий Васильевич Шовкопляс из г. Людиново Калужской области. Электрик и электросварщик по профессии он уже около 40 лет выписывает журнал.

Акустический выключатель для цифрового мультиметра с временем включения до пяти минут отличается от опубликованных вариантов таймеров тем, что не требует установки кнопки или переключателя, т. е. механических доработок, поскольку сигнал включения вырабатывает акустический датчик пьезоэлектрического типа при любых манипуляциях с прибором или легком постукивании по корпусу. Для предлагаемого импульсного блока питания (ИБП) прибора достаточно одного гальванического элемента питания типоразмера АА, который обходится в 3...4 раза дешевле батареи на 9 В, при этом имеет практически такую же электрическую емкость, но гораздо меньшую саморазрядку. При использовании аккумулятора такого же типоразмера его можно заряжать через установленный разъем питания, не раскрывая корпуса.

Схема устройства питания мультиметра, показанная на рис. 1, состоит из двух частей, которые могут быть использованы в других конструкциях. Источник питания, выделенный штрихпунктирной линией на схеме слева, занимает объем батареи "Крона" и легко устанавливается вместо нее в мультиметре М-830. Этот узел состоит из элемента АА или аккумулятора, повышающего преобразователя напряжения на транзисторах VT1, VT2 и индикатора дежурного и рабочего режимов на светодиоде HL1. Разъем для подзарядки в описываемой конструкции не показан. Преобразователь напряжения собран по схеме с положительной обратной связью по току нагрузки и не имеет отдельного выпрямителя, функции которого выполняют переходы эмиттер—база транзисторов (см. статью А. Чаплыгина "Простой преобразователь напряжения" в "Радио", 2001, № 11, с. 42). Частота генерации — около 50 кГц.

Если нагрузка отсутствует, т. е. мультиметр отключен, а конденсаторы C1 и C2 разряжены, ток через резистор R1 приоткрывает транзисторы, возникает генерация и светодиод HL1 вспыхивает от протекающего через него тока зарядки конденсатора C2. Положительное напряжение на конденсаторе C1, которое вырабатывает преобразователь, закрывает транзисторы VT1, VT2 и светодиод гаснет. Резистором R1 устанавливается частота световых всплесков светодиода. Когда нагрузка подключена, постоянный ток через светодиод де-

лает его свечение непрерывным. Конденсатор C1 также сглаживает пульсации выпрямленного напряжения.

Источник питания можно использовать автономно и в других мультиметрах, при этом для повышения экономичности можно исключить дежурный режим, т. е. элементы HL1, C2 и R1. Выключателя питания в этом случае также не потребуется — устройство без нагрузки практически не потребляет тока. В авторском варианте установлены аккумулятор АА (или ААА) и гнездо питания типа DC в крышке мультиметра. Пригодные для работы аккумуляторы Ni-Cd или Ni-MH можно найти в отслуживших свой срок аккумуляторных батареях сотовых или радиотелефонов.

Собственно акустический выключатель, выделенный на рис. 1 штрихпунктирной линией справа, состоит из усилителя напряжения на транзисторе VT3, выпрямителя напряжения с удвоением на диодах VD1, VD2 и конденсаторах C4, C5, а также токового ключа VT4 на полевом транзисторе с изолированным затвором. Конденсатор C3 совместно с входным сопротивлением усилителя образует фильтр верхних частот и необходим для снижения чувствительности к механическим толчкам, а также для возможности подключения к штатному пьезоизлучателю, если он имеется в приборе. Импульсы напряжения от пьезодатчика BM1, установленного в крышке мультиметра, возникающие от любых механических колебаний достаточной амплитуды, усиливаются, выпрямляются и поступают на затвор VT4. Когда это напряжение превышает пороговое, транзистор VT4 открывается и подключает мультиметр к источнику питания.

Конструкция и детали. Узлы блока питания собраны на двух печатных платах (рис. 2 и 3), которые установлены в корпус мультиметра и приклеены к крышке (фото на рис. 4). Печатные проводники вырезаны резакон на фольгированном стеклотекстолите. Выводы деталей отформованы и установлены со стороны печатных проводников. Плату источника питания устанавливают в батарейный отсек.

В преобразователе напряжения можно применить иные транзисторы: например, кремниевые КТ208, КТ203, КТ209, КТ501, МП104, МП105; германиевые МП20, МП21, МП25, МП26, МП42 (структура p-n-p) с допустимым напря-

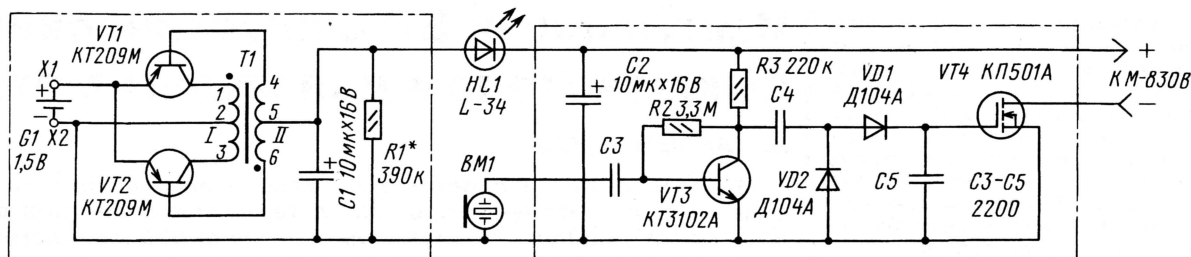


Рис. 1

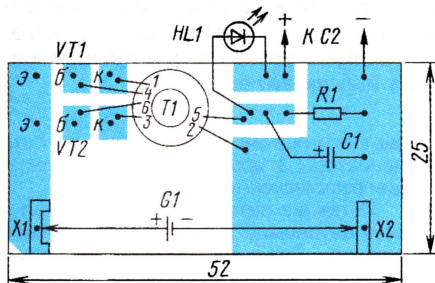


Рис. 2

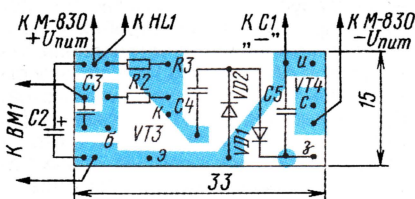


Рис. 3

вают в два провода, соединяя затем конец одной полуобмотки с началом другой полуобмотки. Обмотка I содержит 2×10 витков, а обмотка II — 2×70 витков провода ПЭВ-2 диаметром 0,2 мм. Для удобства налаживания (установка напряжения подбором числа витков) сначала наматывают обмотку II.

Конденсаторы C1 и C2 (который расположен на второй плате) — на рабочее напряжение 16 В и более — оксидные полупроводниковые с малым током утечки, например, К53-1, К53-14, К53-21, возможно использовать импортные оксидные. Резисторы R1—R4 — любые малогабаритные. Токосъемные контакты для элемента АА выполнены из полосок жести, которые напаяны на плату.

В акустическом выключателе транзистор VT3 можно заменить аналогичным, работающим в режиме микротока. В позиции VT4 можно применить другие полевые транзисторы серии КП501 или КР1014 (микросборка применяется в телефонных аппаратах) с любым буквенным индексом. Из распространенных кремниевых диодов лучшими оказались Д104 и Д104А. С ними получается наибольшая выдержка времени до 5 мин. Конденсаторы C3—C5 обязательно должны быть с малым током утечки, например, пленочные К73-9, К73-17, керамические (кроме C3) использовать не рекомендуется.

Общие точки соединений конденсаторов C4 с диодами VD1, VD2 и C5 с диодом VD1 и затвором транзистора VT4 нужно зафиксировать на стеклянных изоляторах или приподнять над платой, чтобы исключить нежелательные утечки тока.

Пьезодатчик BM1 — пьезоизлучатель FML-20Т или серии ЗП.

В мультиметре с возможностью прозвонки цепей, например DT-838, можно использовать встроенный пьезоизлучатель. В последнем случае точку подключения вывода конденсатора C3 к пьезоизлучателю определяют экспериментально по наличию сигнала. Акустический выключатель работает и с миниатюрным электречным микрофоном (с учетом схемы его включения).

Светодиод L-34 (HL1) — малогабаритный, диаметром 3 мм; он выведен в отверстие, просверленное в корпусе мультиметра ниже переключателя режима. Этот элемент, конечно, необязательный, но если его исключить, потребуется корректировка выходного напряжения преобразователя.

Налаживание устройства начинают с усилителя сигнала пьезодатчика. Для этого используют автономный источник питания в виде батареи или сетевой источник питания напряжением 9 В (с малыми пульсациями). На коллекторе транзистора VT3 устанавливают напряжение около 3 В, подобрав резистор R2. При указанных в схеме номиналах конденсаторов мультиметр находится во включенном состоянии 2...5 мин. Индикатор HL1 гаснет в течение 30 с после появления символа "BAT".

При налаживании преобразователя напряжения питания, если генерация не возникает, следует поменять выводы первичной или вторичной обмотки. Напряжение на выходе преобразователя, устанавливаемое равным 11 В, подбирают изменением числа витков обмотки I.

Редактор — А. Соколов, графика — Ю. Андреев, фото — автора



Рис. 4

жением база—эмиттер более 10 В. Желательно подобрать пару с близкими коэффициентами передачи тока.

Трансформатор Т1 намотан на кольцо К10×6×4,5 из феррита 2000НМ, кромки которого притуплены напильником. Дополнительно магнитопровод следует изолировать обмоткой из тонкой ленты. Обе обмотки трансформатора наматывают

Электронный предохранитель

И. НЕЧАЕВ, г. Курск

Эффективное средство защиты от перегрузки по току источников питания, например аккумуляторов, а также нагрузки — электронные предохранители. В большинстве случаев они должны удовлетворять следующим требованиям: простота, экономичность, малые потери и габариты. Для реализации этих параметров подходящие коммутирующие элементы — мощные полевые переключаемые транзисторы [1].

Особенность электронного предохранителя, как уже отмечено выше, — использование сопротивления канала полевого транзистора в качестве датчика тока, что отличает его от аналогичного устройства, описанного в [2]. Основные параметры примененного транзистора: сопротивление канала — 0,027 Ом, максимальный ток стока — 41 А, предельное напряжение сток-исток — 55 В, а максимальная рассеиваемая мощность — 110 Вт. Сопротив-

проволочной перемычкой. Для устойчивого отключения нагрузки при малом токе срабатывания (менее 1...1,5 А) следует увеличить сопротивление датчика тока, включив резистор сопротивлением около 0,1 Ом в цепь стока транзистора VT1 (в разрыв цепи в точке А на рис. 1).

В устройстве можно применить любой ОУ (DA1), работоспособный при нулевом напряжении на обоих входах в условиях однополярного питания. В частности, подойдут отечественные аналоги микросхемы LM358 — KP1040УД1А, K1464УД1Р в корпусе DIP-8 и K1464УД1Т в корпусе SO-8. DA2 — любая микросхема из серии TL431. Транзистор VT1 может быть лю-

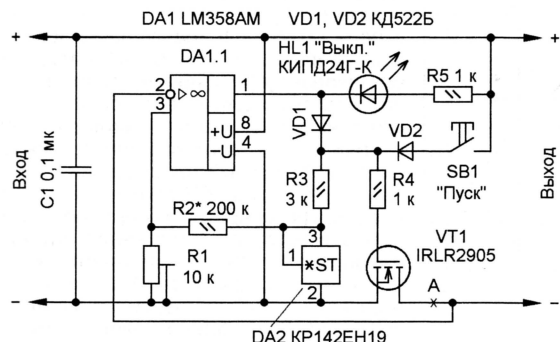


Рис. 1

Схема устройства на основе такого транзистора показана на рис. 1. Предохранитель включают между источником питания (выключателем) и нагрузкой. Устройство работоспособно при напряжении от 5 до 20 В и токе нагрузки до 40 А. Полевой транзистор VT1 выполняет одновременно функции электронного ключа и датчика тока, микросхема ОУ DA1.1 — компаратора напряжения. На микросхеме DA2 собран источник образцового напряжения 2,5 В.

Для запуска устройства служит кнопка SB1, при кратковременном замыкании которой напряжение питания через диод VD2 и резистор R4 поступит на затвор транзистора, вследствие чего он откроется и подключит нагрузку к источнику питания. Выходное напряжение ОУ зависит от соотношения напряжений на его входах. Если ток нагрузки меньше тока срабатывания предохранителя, напряжение на неинвертирующем входе будет больше, чем на инвертирующем, поэтому на выходе ОУ будет напряжение, меньшее напряжения питания примерно на 1,5 В. Транзистор VT1 останется открытым, на неинвертирующем входе ОУ будет стабильное напряжение с резистивного делителя R2R1.

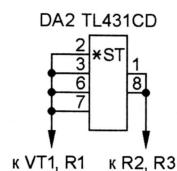


Рис. 2

ление канала открытого транзистора зависит от напряжения на его выводах и температуры корпуса, при напряжении питания более 5...6 В оно изменяется в пределах 20...30 %, что вполне допустимо для таких устройств.

С увеличением потребляемого тока будет расти напряжение и на транзисторе VT1. Когда оно превысит напряжение на резисторе R1, на выходе ОУ напряжение станет уменьшаться, транзистор будет закрываться, а напряжение на нем расти, что приведет к дальнейшему снижению напряжения на выходе ОУ и закрыванию транзистора. Следовательно, когда ток нагрузки достигает определенного значения, устройство скачком закрывает транзистор и обесточивает нагрузку. Светодиод HL1 сигнализирует о том, что устройство выключено. Ток, потребляемый предохранителем в этом состоянии (без учета тока через светодиод), равен несколько миллиампер. Для включения нагрузки необходимо снова кратковременно нажать на кнопку SB1.

Ток срабатывания предохранителя устанавливают подстроечным резистором R1. Если напряжение питания стабильно, микросхему DA2 и резистор R3 можно исключить, заменив последний

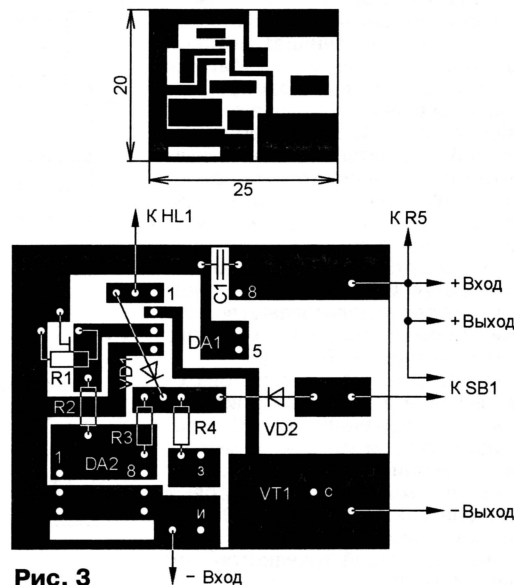


Рис. 3

бым p-канальным из списка, указанного в [1], предпочтительнее выделенный желтым цветом (в этом случае минимальное напряжение питания устройства примерно равно 5 В, иначе оно возрастет до 7 В). Подстроечный резистор — СПЗ-19а, СПЗ-28 или аналогичные импортные. Постоянные резисторы — МЛТ, С2-33, Р1-4, Р1-12. Конденсатор C1 — К10-17В. Кнопка SB1 — любая малогабаритная с самовозвратом. Детали для поверхностного монтажа: DA1 — LM358AM, DA2 — TL431CD (рис. 2), резисторы Р1-12 размещены на печатной плате (рис. 3) из односторонне фольгированного стеклотекстолита.

Налаживание устройства сводится к установке тока срабатывания подстроечным резистором R1. Интервал изменения этого тока можно установить подбором сопротивления резистора R2.

ЛИТЕРАТУРА

1. Мощные полевые переключаемые транзисторы фирмы International Rectifier. — Радио, 2001, № 5, с. 45.
2. Нечаев И. Электронный предохранитель. — Радио, 2004, № 3, с. 37.

Редактор — М. Евсиков, графика — М. Евсиков

Разработано
в лаборатории
журнала "РАДИО"

Импульсный ИП в спичечной коробке

Е. МОСКАТОВ, г. Таганрог Ростовской обл.

Предложенный легкий малогабаритный импульсный источник питания отличается хорошей повторяемостью, устойчивостью к замыканиям в нагрузке и токовым перегрузкам, большой удельной мощностью, отсутствием дорогих и дефицитных деталей.

Устройства, потребляющие мощность не больше нескольких ватт от батареи гальванических или аккумуляторных элементов, обычно бывают легкими и малогабаритными. Таким же должен быть и сетевой источник питания, используемый вместо батареи. Почти всегда необходима гальваническая развязка питаемого устройства от сети, которую обеспечивает сетевой трансформатор. Однако габариты и масса низкочастотного трансформатора слишком велики. Хорошие результаты обеспечивают бестрансформаторный сетевой блок питания с балластным элементом и автогенераторный преобразователь напряжения с импульсным трансформатором, работающим на ультразвуковой частоте. Именно такую структуру имеет самый первый малогабаритный сетевой блок питания, предназначенный для использования вместо батареи "Крона", описание которого опубликовано еще в 1974 г. [1].

На основе анализа преобразователей напряжения в источниках питания аналогичного назначения [2–5] и рекомендаций теории [6] сделан вывод, что для выходной мощности 0,1...10 Вт наиболее оптимален обратноходовой преобразователь напряжения. Он содержит минимум элементов и всего один коммутирующий транзистор, что позволяет создать миниатюрный, легкий и дешевый источник.

Предлагаемый источник предназначен для питания радиоприемников, калькуляторов, часов, измерительных приборов, а также различных устройств управления, например, задающих генераторов мощных ИИП. Его габариты настолько малы, что он помещается в спичечную коробку. Он отличается большей выходной мощностью по сравнению с устройствами, описанными в [1, 2], и значительно меньшим числом деталей по сравнению с [3–5].

Основные технические характеристики

Напряжение питающей сети, В	187...242
Номинальное выходное напряжение, В	9
Максимальный ток нагрузки, мА	70
Максимальная амплитуда пульсаций выходного напряжения, В	0,065
Частота преобразования, кГц	52...56
Масса, г	22
Удельная мощность, Вт/дм ³	19

Нагрузочная характеристика источника показана на **рис. 1**. Ток нагрузки

может превышать максимальный, но при этом уменьшается выходное напряжение. Источник может продолжительное время выдерживать перегрузки вплоть до короткого замыкания. По мере возрастания тока нагрузки снижает-

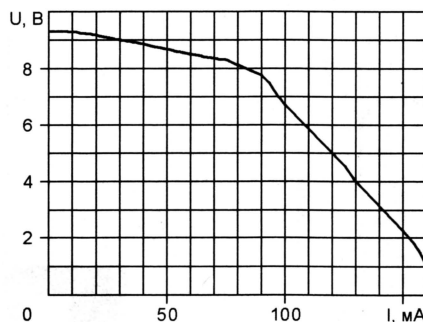


Рис. 1

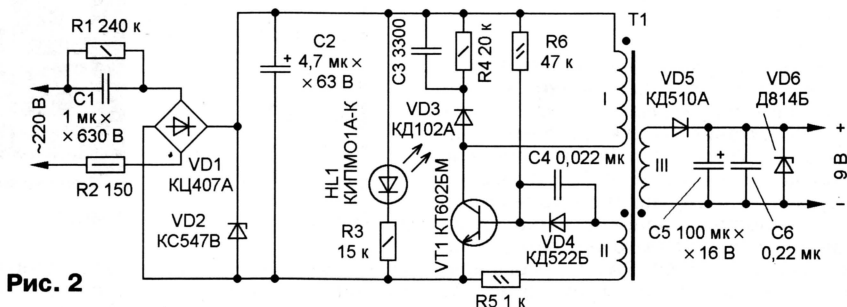


Рис. 2

ся частота преобразования. В режиме замыкания выхода она равна 11 кГц.

Схема ИИП показана на **рис. 2**. Балластный конденсатор C1, выпрямительный мост VD1, стабилитрон VD2 и сглаживающий конденсатор C2 образуют внутренний бестрансформаторный сетевой блок питания с выходным напряжением 47 В. Резистор R2 ограничивает пусковой ток до безопасного уровня при включении в сеть, а резистор R1 разряжает балластный конденсатор C1 после отключения источника. Сетевой фильтр не установлен, поскольку мощность ИИП мала. Светодиод HL1 — индикатор напряжения сети. Резистор R3 задает ток через светодиод около 3 мА. На транзисторе VT1 и трансформаторе T1 собран автогенератор. Трансформатор T1 имеет три обмотки: сетевую I, обратную связи II и выходную III. R4C3VD3 — демфирующая цепь, уменьшающая выброс ЭДС самоиндукции трансформатора T1. Диод VD5 выпрямляет напряжение выходной обмотки трансформатора. Конденсатор C5 сглаживает низкочастотные пульсации выходного напряжения, а C6 — высокочастотные. Стабилитрон VD6 существ-

венно снижает пульсации выходного напряжения и улучшает форму нагрузочной характеристики при малом токе.

Период коммутации транзистора VT1 [6, с. 112–121] складывается из двух этапов: $T = t_n + t_{on}$, где t_n — время накопления энергии в магнитопроводе трансформатора; t_{on} — время передачи накопленной энергии в нагрузку. При включении напряжения питания в базовой цепи транзистора течет ток смещения I_6 :

$$I_6 = (U_c - U_{63}) / R_6,$$

где U_c — напряжение стабилизации VD2; U_{63} — напряжение база—эмиттер открытого транзистора VT1.

Этот ток определяется только сопротивлением резистора R6 и не зависит от нагрузки и емкости конденсаторов C5, C6, поскольку они отключены закрытым диодом VD5. Диод VD4 в базовой цепи исключает отвлечение тока смещения в цепь обмотки II трансформатора T1, а шунтирующий VD4 конденсатор C4 увеличивает коэффициент положительной обратной связи через базовую обмотку на этапе формирования фронтов напряжения и, соответственно, уменьшает необходимый ток смещения. Ключевой транзистор VT1 открывается, развивается регенеративный процесс, в результате которого напряжение питания преобразователя прикладывается к обмотке I трансформатора T1 и начинается этап t_n накопления энергии в магнитопроводе. Потребление мощности от

трансформатора T1 на этапе t_n происходит только входной цепью транзистора через обмотку II трансформатора.

При достижении коллекторным током значения $I_{cm} = h_{213} I_6$ транзистор VT1 выходит из насыщения. Развивается обратный регенеративный процесс, в результате которого транзистор закрывается и начинается передача накопленной энергии в нагрузку. В это время к базе транзистора прикладывается импульс отрицательной полярности. Одновременно начинается перезарядка конденсатора C4 через резистор R6, и напряжение на базе возрастает по экспоненциальному закону до тех пор, пока не откроется транзистор VT1. Ток его базы I_6 снова будет равен указанному выше значению, а ток коллектора I_k будет в h_{213} раз больше. Но несмотря на открытое состояние транзистора, накопление энергии начнется лишь тогда, когда ток обмотки III уменьшится до $I_k w_1 / w_{II}$. Здесь w_1 , w_{II} и w_{III} — числа витков обмоток I, II и III соответственно.

Конструкция и детали. Источник собран на печатной плате из односторонне фольгированного стеклотекстолита толщиной 1...2 мм (**рис. 3**).

Работа в Интернете под MS DOS 6.22

Д. ПАНКРАТЬЕВ, г. Ташкент, Узбекистан

Последовав приведенным в статье рекомендациям, можно, по мнению автора, надежно защитить компьютер от распространяющихся в Интернете вирусов, а хранимую в нем информацию от хакерских атак.

В последнее время обострилась проблема обеспечения безопасности работы в Интернете, что связано с массированными вирусными и хакерскими атаками на платформу Windows NT/2000/XP. Для рядового, пусть и достаточно подготовленного пользователя каждый выход в Интернет сопряжен с риском повреждения системы и утечки конфиденциальной информации. Возникает необходимость поиска альтернативных методов работы, обеспечивающих достаточный уровень безопасности.

Один из возможных путей, по сути своей философский, — перейти к аскетизму и простоте не в ущерб функциональности. Такую возможность предоставляет добрая старая MS-DOS. Сегодня нетрудно заметить очередной всплеск интереса к ней, вызванного, в частности, и упомянутыми проблемами.

Предлагаемый метод безопасной работы в Интернете основан на использовании MS-DOS 6.22 в классическом варианте со специально разработанными для нее интернет-приложениями. Это исключает возможность несанкционированного обращения к основным разделам FAT32 или NTFS жестких дисков.

Полный пакет MS-DOS 6.22, инсталляционные пакеты интернет-браузера, антивирусных и служебных программ, а также основной объем неизменяемых данных имеет смысл разместить на компакт-диске. Загрузка операционной системы с компакт-диска гарантирует целостность системных файлов и невозможность их повреждения извне.

Широкие возможности открывает использование под MS-DOS 6.22 периферийных устройств с интерфейсом USB, особенно съемных накопителей на жестких дисках. Для этого необходимы лишь соответствующие программные драйверы.

На доступном и дешевом съемном USB-диске объемом всего 32 Мбайт можно установить и сконфигурировать браузер с почтовым клиентом, антивирусную программу и полный пакет Norton Commander. При этом останется не менее 20 Мбайт дисковой памяти для хранения оперативной информации, чего вполне достаточно для сеанса работы в Интернете по Dial-Up.

Браузером может служить неплохо зарекомендовавший себя Arachne 1.7 for MS-DOS, доступный по адресу <http://browser.arachne.cz/dos/>. Оттуда же нужно скачать плагины KOI8-R.art и CP-1251.art для поддержки соответствующих символьных кодировок.

Особого внимания заслуживают возможности Arachne, появившиеся после загрузки других плагинов, имеющих на указанной выше странице. Это проигрывание звуковых файлов распространенных форматов (в частности mp3), работа с zip-архивами, файлами PDF, shtml-страницами и многое другое.

Для установки нужного плагина при работе в самом браузере Arachne достаточно щелкнуть на выбранной ссылке. При использовании другого браузера плагин скачивают в любое доступное для Arachne место, откуда и загружают его после запуска последнего (через меню Utilities). Здесь же можно получить информацию об уже установленных плагинах, ресурсах системы и так далее.

Широкие возможности браузера Arachne 1.7 делают его своего рода

Таблица 1

```
DEVICE=a:\himem.sys
device=a:\emm386.exe on noems
dos=high,umb
BUFFERS=60
FILES=40
stacks=9,256
lastdrive=Z
DEVICE=a:\usb\USBASPI4.SYS /R /V
DEVICE=a:\usb\ASPI4DISK.SYS
DEVICEHIGH=a:\atapi\ptsatapi.sys /D:CD-ROM
rem devicehigh=a:\ramdisk.sys /E 4096
shell=a:\ndos.com @a:\ndos.ini /P
```

Таблица 2

```
@ECHO off
path=a:\;a:\util;a:\atapi;c:\;c:\arachne;c:\nc;c:\drweb386;y:\dos
set comspec=a:\ndos.com
lh KSTACK.COM
lh a:\atapi\mscdex.exe /D:CD-ROM /L:Y
lh mouse.com
```

DOS-эквивалентом мультимедийного браузера RealOne Player для Windows.

Графическая оболочка Arachne напоминает Windows, что практически не требует привыкания к новой программе. Возможна работа с подобием рабочего стола Windows. Отпадает необходимость в отдельном файловом менеджере, что важно при работе под DOS, поскольку позволяет сэкономить основную память компьютера.

Требования к ее объему у Arachne довольно высоки (минимум 425 Кбайт, рекомендуется 500 Кбайт без использования встроенного PPP-Dialer'a и 560 Кбайт в полном варианте). Найти столько свободной памяти — само по себе проблема.

Графический режим задают при установке. Впоследствии его можно изменить, запустив setup.exe в рабочем каталоге программы. Рекомендуется

выбирать число цветов не менее 256 и разрешение не менее 800×600 пикс., если, конечно, видеокарта позволяет это сделать.

Инсталляцию и начальное конфигурирование браузера желательно проводить в окне DOS-сеанса Windows, указав для установки папку на съемном диске. По завершении процесса программа предложит внести изменения в файлы конфигурации, от чего следует отказаться, особенно работая под Windows-9x. А вот с предложением создать пакетный файл быстрого запуска a.bat можно согласиться, не забыв исправить вручную абсолютные пути, указанные в этом файле.

Не будет лишним сохранить все настройки браузера в файле профиля *.acf. Это позволит не вводить их заново вручную, если потребуется переустановить программу. Такая возможность доступна через меню Options.

Соединение с Интернетом, особенно первое, удобно производить в открытом окне терминала, что достигается установкой соответствующего флага в настройках PPP-клиента. Установив связь, нажмите на клавиши **F7** для выхода из режима терминала.

Ускорения загрузки страниц, содержащих много графической информации, можно добиться одновременным нажатием на клавиши **SHIFT** и ~.

В состав Arachne входят вполне понятная почтовая программа и FTP-клиент, перед запуском которого следует выгрузить из памяти файловый менеджер, например, Norton Commander, если он используется.

С целью максимальной экономии основной памяти начальную загрузку внешнего менеджера рекомендуется производить с помощью команды LH (loadhigh) в файле autoexec.bat.

В Arachne отсутствует поддержка JavaScript, из-за чего страницы могут иметь несколько непривычный вид, однако в этом есть и положительная сторона — не смогут работать многие "вредоносные" программы.

При необходимости работы под

DOS в сети следует установить соответствующий клиент, например, Microsoft Network Client 3.0 for MS-DOS. Способ его настройки достаточно полно описан в [1].

Образ загрузочного диска MS-DOS 6.22 с поддержкой USB-устройств можно найти на FTP-сервере редакции. Текст файла config.sys приведен в табл. 1, а autoexec.bat — в табл. 2.

В качестве антивирусной программы используется DrWeb32 для DOS/386, размещенный на съемном носителе в каталоге C:\drweb386.

Драйвер USBASPI4.SYS нужен для работы с USB-дисками. Он поддерживает многие типы накопителей на чипсетах Intel, VIA, NVIDIA, Ali и SiS. Так как этот драйвер служит своего рода преобразователем интерфейса USB в SCSI/ASPI, после него необходимо загрузить драйвер SCSI/ASPI, в данном

случае ASPIDISK.SYS. Выбор именно этой пары драйверов обусловлен их минимальными требованиями к ресурсам.

Учтите, для драйверов USB для DOS нельзя использовать команды загрузки в UMB. Во время загрузки драйверов съемные накопители должны быть подключены к USB-разъемам компьютера. Различные версии драйверов USB для DOS можно найти в [2].

Еще одна особенность — использование программ из операционной системы PTS-DOS2000 (ее можно найти на сайте <<http://www.phystechsoft.ru>>) взамен одноименных из MS-DOS. Основная причина — в 3...10 раз меньший объем файлов программ одинакового назначения при иногда большей функциональной насыщенности. Например, драйвер mouse.com объемом всего 5 Кбайт без труда распознает мышь, подключенную к порту PS/2, чего не делает собственный драйвер MS-DOS объемом 50 Кбайт.

К сожалению, полностью использовать PTS-DOS2000 вместо MS-DOS 6.22 нельзя, так как она неспособна работать с разделами FAT16 объемом более 8 Гбайт и не распознает съемные накопители большого объема.

Существует версия PTS-DOS32, которая прекрасно "видит" большие разделы FAT32. Но само наличие таких разделов подрывает безопасность системы в целом.

В качестве командного процессора вместо стандартного command.com применен ndos.com из пакета Norton Utilities 8.0 for DOS. Русский перевод его описания имеется на FTP-сервере редакции.

Для загрузки ndos в качестве первичного командного процессора служат команды

```
shell=a:\ndos.com @a:\ndos.ini /P
в config.sys и
set comspec=a:\ndos.com
lh KSTACK.COM
в autoexec.bat.
```

Из многочисленных преимуществ этого процессора следует отметить способность загружаться в UMB, оставляя в основной памяти резидентную часть объемом менее 500 байт.

Наибольший объем свободной основной памяти DOS, достигнутый без драйвера дополнительной памяти emm386.exe, составил 530 Кбайт, с упомянутым драйвером и процессором NDOS — 563 Кбайт плюс 105 Байт в UMB.

Имеющийся запас свободной памяти позволяет, воспользовавшись драйвером ramdisk.sys из состава PTS-DOS2000, создать виртуальный диск и скопировать в него содержимое рабочего каталога Arachne. Это, конечно, удлинит процесс загрузки, но значительно повысит скорость работы и еще более безопасность системы. Однако сделан-

ные в ходе работы изменения файлов конфигурации браузера не будут сохраняться автоматически, об этом должен позаботиться оператор.

Последняя строка файла autoexec.bat — загрузка распространенного русификатора клавиатуры для DOS.

Готовясь к работе в Интернете по описанному методу, нужно принять во внимание, что используемый модем должен подключаться к одному из портов COM1—COM4 и способен работать под управлением DOS.

Закончив сеанс, целесообразно перезагрузить компьютер системой Windows, произвести полную антивирусную проверку использовавшегося съемного диска и лишь после этого копировать с него файлы. Это не займет много времени, но послужит дополнительной гарантией безопасности.

ЛИТЕРАТУРА

1. Поляк-Брачинский А. А можно без Windows? — Мир ПК, 2002, № 6, с. 106—111.
2. USB-support for DOS. — <<http://newdos.yginfo.net/usbdos.htm>>.

От редакции. Дополнительные материалы к статье находятся на нашем FTP-сервере по адресу <<ftp://ftp.radio.ru/pub/2005/06/dos-inter.zip>>.

Редактор — А. Долгий

Моделирование устройств на микроконтроллерах с помощью программы ISIS из пакета PROTEUS VSM

А. МАКСИМОВ, п. Некрасовское Ярославской обл.

Создадим еще один проект. Для него потребуются всего два компонента: микроконтроллер PIC16F84 и четырехразрядный семисегментный индикатор с общими катодами светодиодов каждого разряда. Последний найдем в категории Optoelectronics под названием 7SEG-MPX4CC-BLUE. Учтите, это всего лишь модель, отображающая на экране состояние образующих индикатор светодиодов в соответствии с логическими уровнями приложенных к его выводам сигналов. Среди реальных светодиодных индикаторов прибора с таким названием не существует. К то-

Поместив компоненты в окно редактирования, начнем соединять выводы порта В микроконтроллера с выводами анодов индикатора, а выводы порта А — с выводами катодов. Быстро выяснится, что образующаяся на экране "паутина" проводов делает схему совершенно нечитаемой. Способ решить эту проблему известен. Нужно объединить провода в шину (жгут). Это можно делать как по функциональному принципу, организуя, например, шины данных или адреса, так и формально объединяя в шину провода, идущие по схеме в одном направлении.

В результате должна получиться схема, показанная на рис. 16,б.

В режим установки меток входят нажатием на экранную кнопку . Затем поочередно щелкая левой кнопкой мыши по проводам, которые необходимо поместить, каждый раз открывают окно, в которое и вводят "имя" провода. При необходимости в том же окне задают горизонтальную или вертикальную ориентацию метки на экране, цвет и размер ее шрифта, а также некоторые другие параметры.

Метки ставят, как правило, у входа проводов в шины, хотя строго соблюдать это правило не требуется. Желательно, однако, чтобы присваиваемые проводам "имена" несли определенную смысловую нагрузку. Но вовсе не обязательно, чтобы они, как в рассматриваемом примере, совпадали с названиями выводов компонентов. Если один из концов провода уже помечен, устанавливая метку на другом его конце, можно не набирать ее значение повторно, а выбрать из списка уже имеющихся, нажав на кнопку со стрелкой у окна ввода.

Закончив рисовать схему, откройте окно свойств микроконтроллера и укажите в нем тактовую частоту 4 МГц. В качестве программного укажите файл MPX.HEX. Содержимое этого файла должно соответствовать табл. 2. Подготовить его нужно заранее с помощью любого текстового редактора.

Таблица 2

```
020000040000FA
020000002228B4
080008008C0003088D008E0A34
1000100083120F0D8F1C13080F1C12088F1D11085F
100020000F1D1408900086018F0D0F080F398500F1
10003000010088600AA3081000B110D0883008C0E79
100040000C0E0900850186018101831606308100AE
1000500000308600E0308500831278010C30840074
10006000001840A041F30288401EE308F0085004F
10007000AA308100A03088003D2873309100F330C2
100080009200783093006B30940000000000452805
02400E00F23F7F
00000001FF
```

Если при запуске симулятора нажатием на кнопку светодиодный индикатор на экране принимает вид, показанный на рис. 16,в, модель микроконтроллерного устройства динамической индикации действует, хотя и умеет выводить всего одно слово. При желании можно исследовать работу модели и программы микроконтроллера описанными ранее методами.

Воспользуемся созданной моделью, чтобы освоить некоторые из имеющихся в программе ISIS средств анализа сигналов. С одним из них, виртуальным двухканальным осциллографом, мы уже работали. Однако для одновременного просмотра большого числа логических сигналов гораздо удобнее многоканальный логический анализатор. Нажмите на экранную кнопку , найдите LOGIC ANALYZER в выведенном на экран списке приборов и поместите условное обозначение анализатора в окно редактирования.

Прибор имеет восемь одиночных логических входов A1—A8 и два восьмиразрядных шинных — B1[0..7] и B2[0..7]. Подключите их, как показано на рис. 17. Обратите внимание на метку RB[0..7] у шины B1[0..7]. Она объединяет восемь проводов RB0—RB7 и говорит о том, что с ними соединены соответствующие линии входной шины анализатора.

Запустите симулятор. Кроме привычных признаков работающей модели, на экране появится окно виртуального

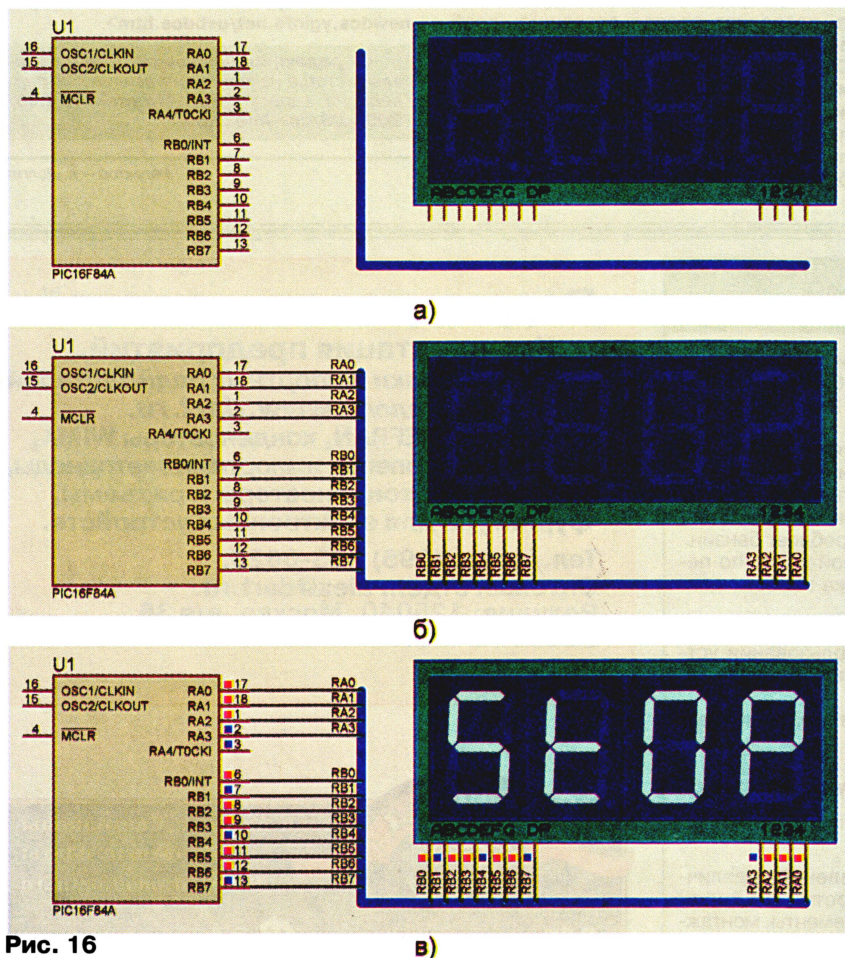


Рис. 16

му же "светодиоды" индикатора-модели не потребляют ток, включать последовательно с ними ограничительные резисторы нет необходимости. Но если будет решено по отработанной на модели схеме собрать действующее устройство, в нем такие резисторы придется установить.

Окончание.

Начало см. в "Радио", 2005, № 4, 5

Итак, удалите все ранее нарисованные одиночные провода, нажмите на экранную кнопку и проведите шину, как показано на рис. 16,а. Соедините с шиной обычными "тонкими" проводами выводы RA0—RA3, RB0—RB7 микроконтроллера и выводы А—Н и 1—4 индикатора. Чтобы различать объединенные в шину провода, их необходимо поме-

логического анализатора, изображенное на рис. 18. В его левой части расположены окна установки условий пуска анализатора — сверху вниз в том же порядке, что и входы на условном обозначении

(см. рис. 17). Условием для одиночного сигнала может быть как его высокий или низкий уровень, так и смена уровня в заданном направлении. Для шины задают шестнадцатиричное число, образован-

ные изменение логических уровней исследуемых сигналов во времени. Если условия пуска не выполняются (например, они заданы некорректно или не заданы вовсе), запустить анализатор можно и вручную, еще раз нажав на верхнюю кнопку Trigger Mode. Повторяют анализ нажатиями на ту же кнопку.

Масштаб изображения по оси времени устанавливают ручками Resolution и Zoom. Вертикальной штриховой линией на экране отмечен момент пуска, слева от нее отображены процессы, предшествовавшие пуску анализатора, справа — происходившие после него. Долю полного времени анализа, отведенную "предыстории" процессов, можно изменить, нажимая на нижнюю кнопку Trigger Mode. Естественно, делают это до пуска анализатора. Если выбрано значение 0 %, прибор зарегистрирует только то, что происходило после пуска, если 100 % — только до него.

Желтая и розовая вертикальные линии — маркеры, которые перемещают по оси времени ручками того же цвета на панели анализатора. На цифровых табло под ручками отображены текущие временные позиции маркеров, причем за начало отсчета принят момент пуска. Табло Delta B—A, расположенное ниже двух первых, показывает длительность промежутка времени, заключенного между маркерами.

Есть и другие средства анализа процессов, происходящих в модели. Например, собранные в группу Graph, позволяют не только наблюдать и анализировать графики происходящих процессов, но и сохранять их для дальнейшей обработки в графических или текстовых файлах. Принципы работы средств этой группы почти одинаковы. Поэтому рассмотрим лишь одно из них.

Удалите из модели введенный в нее ранее логический анализатор. Войдите в режим SIMULATION GRAPH, нажав на кнопку . В появившемся списке выберите строку DIGITAL (цифровой). Щелкните в свободном месте окна редактирования левой кнопкой мыши и, не отпуская ее, выделите прямоугольную область — окно будущих графиков. Пока это лишь шаблон окна, который останется пустым, даже если запустить симуляцию.

Чтобы наблюдать за происходящими процессами, в интересующих точках модели необходимо установить зонды. Они бывают двух видов: напряжения () и тока (). Нажав на экранную кнопку с одной из приведенных пиктограмм, зонды устанавливают щелчками по интересующим проводам. Если провод имеет метку, зонду будет автоматически присвоено совпадающее с ней имя. На рис. 19 показаны зонды напряжения, установленные на всех линиях, соединяющих микроконтроллер с индикатором. Их можно поставить не только на отдельные провода, но и на шину в целом. Как это сделать, показано на рис. 20. Отрезки шины рисуют в любом свободном месте окна редактирования.

Чтобы получить графики происходящих процессов, зонды нужно "подключить" к окну анализа. Сделать это можно несколькими способами. В простейшем случае зонд выделяют и "перетаскивают" мышью в окно, в котором появляется ось времени будущего графика и его название (совпадающее с именем зон-

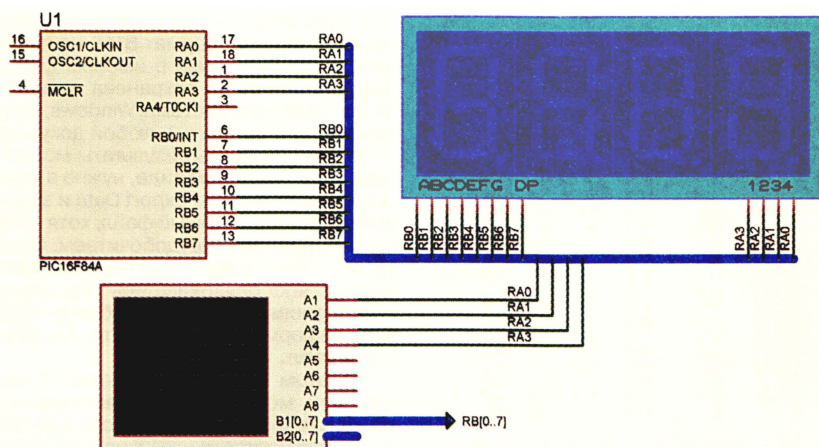


Рис. 17

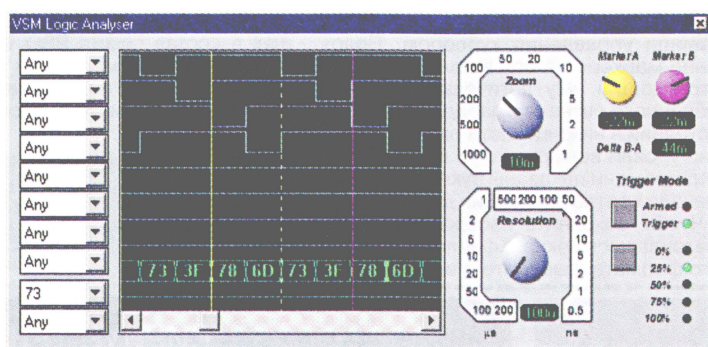


Рис. 18

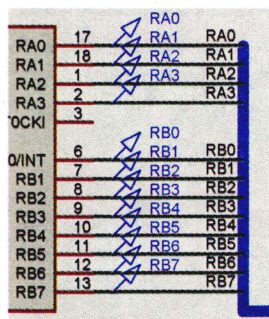


Рис. 19

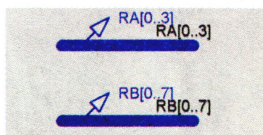


Рис. 20

ное двоичными значениями ее разрядов.

Задав условия пуска, нажмите на верхнюю кнопку Trigger Mode. Рядом с ней на панели анализатора будет включен красный светодиод Armed. Как только в процессе симуляции работы моделируемого устройства будут выполнены одновременно все заданные условия (кроме обозначенных словом any), пуск анализатора произойдет автоматически. Красный светодиод погаснет, зеленый (Trigger) будет включен, а на экран анализатора будут выведены диаграммы, отобража-

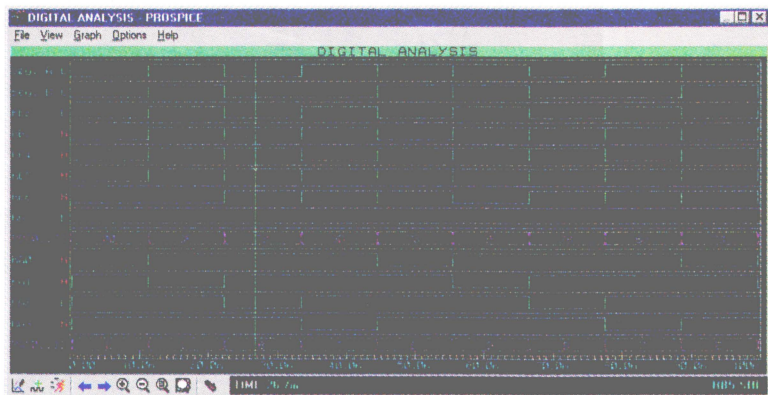
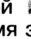


Рис. 21

да). Другой способ — выбрать в меню Graph пункт Add Probe, помеченный пиктограммой , и в открывшемся окне ввести имя зонда. А если один или несколько зондов были предварительно выделены, вместо окна ввода имени на экран будет выведено предложение подключить все выделенные зонды, что при согласии оператора и будет сделано. Чтобы удалить ставший ненужным или ошибочно заданный график, достаточно дважды щелкнуть правой кнопкой мыши по его имени в окне анализа.

В том же меню пункт Edit Graph, помеченный пиктограммой , дает возможность установить временные границы анализа. Задайте их равными 0 с (начало) и 0,1 с (конец). Запустите построение графиков, нажав на клавишу [Пробел], причем сделать это можно как при работающем, так и при остановленном симуляторе. Если окно графиков слишком мало и неудобно для наблюдения, его можно увеличить, щелкнув мышью в верхней светло-зеленой зоне с надписью DIGITAL ANALYSIS. После этого окно графиков приобретет вид, показанный на **рис. 21**. Заметьте, временные диаграммы сигналов двух зондов (PB0 и PB1) переименованы в Seg. A и Seg. B соответственно названиям сегментов светодиодного индикатора, на которые поступают эти сигналы. Чтобы переименовать диаграмму, достаточно щелкнуть по ее имени на графике правой, а затем левой кнопкой мыши и в открывшемся окне внести изменение. Метки проводов и имена зондов на схеме при этом остаются прежними.

После щелчка мышью по одной из диаграмм в окне появится маркер — зе-

TIME	Seg. A	Seg. B	RB2	RB3	RB4	RB5
0	FLT	FLT	FLT	FLT	FLT	FLT
8e-006	WHI	WHI	WHI	WHI	WHI	WHI
1e-005	SLO	SLO	SLO	SLO	SLO	SLO
1.2e-005	SLO	SLO	SLO	SLO	SLO	SLO
0.000279	SLO	SLO	SLO	SLO	SLO	SLO
0.011312	SLO	SLO	SLO	SLO	SLO	SLO
0.011314	SHI	SHI	SHI	SHI	SHI	SHI
0.022343	SLO	SLO	SLO	SLO	SLO	SLO
0.022347	SLO	SLO	SLO	SLO	SLO	SLO
0.022349	SLO	SLO	SLO	SHI	SHI	SHI
0.033378	SLO	SLO	SLO	SLO	SLO	SLO
0.033382	SLO	SLO	SLO	SLO	SLO	SLO
0.033384	SHI	SHI	SHI	SHI	SLO	SHI
0.044413	SLO	SLO	SLO	SLO	SLO	SLO
0.044417	SLO	SLO	SLO	SLO	SLO	SLO
0.044419	SHI	SHI	SLO	SLO	SHI	SHI
0.055448	SLO	SLO	SLO	SLO	SLO	SLO
0.055452	SLO	SLO	SLO	SLO	SLO	SLO
0.055454	SHI	SHI	SHI	SHI	SHI	SHI
0.066483	SLO	SLO	SLO	SLO	SLO	SLO
0.066487	SLO	SLO	SLO	SLO	SLO	SLO
0.066489	SLO	SLO	SLO	SHI	SHI	SHI
0.077518	SLO	SLO	SLO	SLO	SLO	SLO
0.077522	SLO	SLO	SLO	SLO	SLO	SLO
0.077524	SHI	SLO	SHI	SHI	SLO	SHI
0.088553	SLO	SLO	SLO	SLO	SLO	SLO
0.088557	SLO	SLO	SLO	SLO	SLO	SLO
0.088559	SHI	SHI	SLO	SLO	SHI	SHI
0.099588	SLO	SLO	SLO	SLO	SLO	SLO
0.099592	SLO	SLO	SLO	SLO	SLO	SLO
0.099594	SHI	SHI	SHI	SHI	SHI	SHI
0.1	SHI	SHI	SHI	SHI	SHI	SHI

лая вертикальная линия, точка пересечения которой с выбранной диаграммой отмечена крестом. Маркер можно перемещать мышью или нажимая на клавиши управления курсором. Положение маркера на оси времени и соответствующий ему логический уровень выбранного сигнала выведены в строке состояния в нижней части окна. Логические уровни всех сигналов в тот же момент времени показаны буквами H или L у начала соответствующих диаграмм.

Чтобы сохранить изображение рассматриваемого окна в файле графического формата, выберите в его меню File

Таблица 3

пункт Export Graphics. Далее укажите один из предлагаемых графических форматов, разрешение, цветовую гамму и, при необходимости, некоторые другие параметры. Требуется также ввести имя сохраняемого файла или согласиться с предлагаемым по умолчанию. Учтите, если, выбрав формат BMP, не поставить "галочку" рядом с именем файла, информация будет сохранена не в файле, а в Clipboard системы Windows, откуда ее можно вставить в любой документ.

Чтобы сохранить результаты моделирования в текстовом виде, нужно в меню Graph выбрать пункт Export Data и задать имя файла. Полученный файл, хотя и текстовый, довольно неудобочитаем. Однако, открыв его с помощью Microsoft Word, можно, воспользовавшись операцией преобразования текста в таблицу, получить информацию в формате, показанном в **табл. 3**.

На этом первое знакомство с программой моделирования электронных устройств ISIS завершено, хотя о многих ее возможностях мы даже не упомянули. Надеемся, читатели, заинтересовавшиеся программой, продолжат осваивать ее самостоятельно. В этом поможет входящая в состав пакета PROTEUS система оперативной помощи (на английском языке), дающая подробные ответы на многие возникающие в процессе моделирования вопросы.

От редакции. Исходный текст программы MPX находится на FTP-сервере редакции по адресу <<ftp://ftp.radio.ru/pub/2005/06/mpx.zip>>.

Редактор — А. Долгий, скриншоты — автора

Настольный сверлильный станок

В. МЕДВЕДЕВ, г. Петрозаводск

Все радиолюбители что-то изготавливают своими руками, одни больше, другие меньше. Некоторые постарались хорошо оснастить свою домашнюю мастерскую и теперь имеют возможность большинство деталей выполнять самостоятельно.

Печатные платы, корпуса приборов и другие изделия требуют сверления большого числа отверстий диаметром 0,5 мм и более. Эту работу можно, конечно же, проделать и ручной дрелью, но с помощью сверлильного станка будет и быстрее, и удобнее, и точнее, да и сверл потребуется меньше.

При разработке кинематической схемы и собственно конструкции станка была поставлена задача его сборки практически в домашних условиях с заказом "на стороне" лишь некоторых деталей, требующих для их изготовления станочного оборудования. Основной материал, из которого выполнены все детали, — сталь Ст3, исключения оговорены отдельно.

Общий вид и устройство станка показаны на **рис. 1**. Столом—основанием 1 служит стальная пластина толщиной 10 мм, шлифованная с лицевой стороны. На столе на поворотной подставке 21 установлена и двумя барашками с резьбой М6 прикреплена штанга, состоящая из двух стальных шлифованных направляющих 20. Сверху направляющие связаны планкой 14.

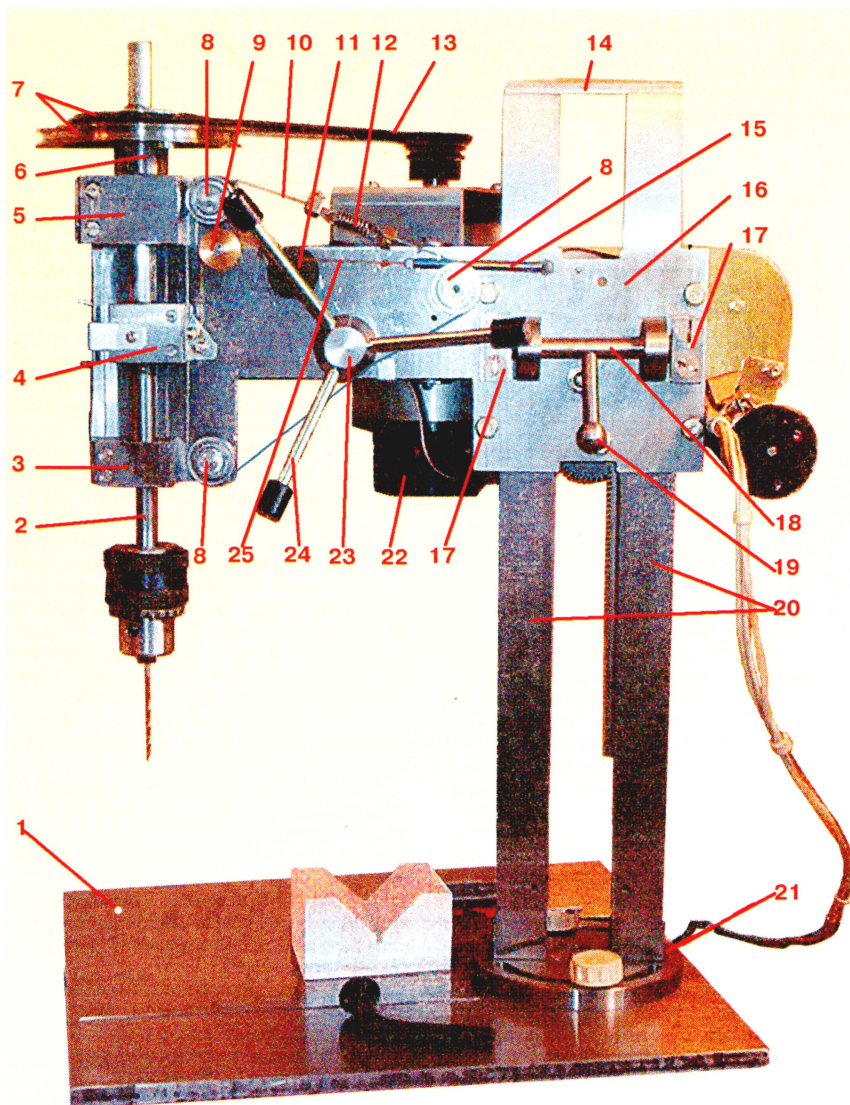


Рис. 1

И подставка, и планка к направляющим притянуты винтами М6. Подставка — стальная, шлифованная с обеих сторон. Два крепежных отверстия в ней имеют снизу зенковку под потайные головки двух винтов.

Суппорт 16 представляет собой стальную пластину, шлифованную с обеих сторон. Он имеет возможность перемещаться вверх—вниз по направляющим. Возвратно поступательное движение суппорта обеспечивают два ограничителя 16.1, каждый из которых прикреплен к суппорту двумя болтами М6. На фото ограничители не видны, поскольку находятся позади суппорта. С помощью стопорного устройства суппорт можно фиксировать на направляющих на различной высоте над столом.

Стопорное устройство состоит из вала 18 с двумя эксцентриковыми галтелями на концах, вращающегося в отверстиях двух стоек 17. При повороте вала 18 рычагом 19 эксцентрики фиксируют суппорт на направляющих. И вал, и рычаг выточены из стали Ст45.

На левом по рисунку краю суппорта смонтирован шпиндель — самый ответственный узел станка. Шпиндель состоит из вала 2, на нижнем конце которого на стандартном конусе Морзе установлен патрон, нижнего 3 и верхнего 5 подшипников, каретки подачи 4 и ведущей втулки 6 с двумя приводными шкивами 7. Вал приводит во вращение электродвигатель 22 посредством резинового пассика 13. Электродвигатель на кронштейне прикреплен к задней плоскости суппорта 16.

Устройство верхнего подшипника показано на **рис. 2**. На нижний хвостовик ведущей втулки 6 напрессованы два шарикоподшипника 5.1 (размерами 30×17×7,5 мм), между которыми вложена распорная втулка 5.2. Наружные обоймы шарикоподшипников

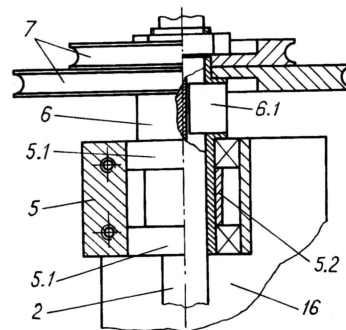


Рис. 2

плотно зажаты двумя винтами М4 в корпусе 5, выполненном в виде хомута. Другими двумя винтами М4, ввинченными в те же отверстия с противоположной стороны корпуса 5, он прикреплен к суппорту 16.

Вал 2 свободно, но без радиального люфта, перемещается вдоль центрального отверстия втулки 6. Вращению вала 2 относительно ведущей втулки 6 препятствует шпонка 6.1, входящая своим внутренним концом в длинный паз, профрезерованный на валу.



КОНКУРС "РАДИО"—80"

Нижний подшипник 3 (см. рис. 1) подобен верхнему, но имеет ряд отличий. Корпус узла отличается только размерами. В корпусе фиксирован один шарикоподшипник (размерами 21×12×5). Снизу и сверху шарикоподшипник закрыт фетровыми шайбами.

Наиболее ответственным местом в нижнем подшипнике является сочленение вала 2 с внутренней обоймой подшипника. Обработкой вала и выбором экземпляра шарикоподшипника необходимо добиться, чтобы вал, вращаясь в подшипнике, имел возможность с минимальным зазором перемещаться вверх и вниз во внутренней его обойме. По способу крепления

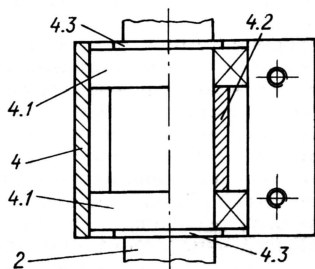


Рис. 3

корпуса к суппорту нижний подшипник не отличается от верхнего.

Каретка 4 предназначена для передачи на сверло, зажатое в патроне, усилия сверления. Каретка перемещается вниз и вверх вместе с вращающимся валом 2. Устройство каретки показано на рис. 3. Корпус каретки конструктивно таков же, как у верхнего и нижнего подшипников. В нем находятся два шарикоподшипника 4.1 (21×12×5 мм). Они плотно посажены на вал 2, между ними вложена распорная втулка 4.2. Весь пакет фиксирован на валу двумя жесткими разрезными шайбами 4.3, установленными в пазы вала.

К точности сборки каретки следует отнестись очень внимательно. Вал 2 должен свободно вращаться в каретке и при этом практически не иметь осевого люфта. Несмотря на то что реальные нагрузки на шарикоподшипники каретки далеки от предельных, желательно вместо радиальных подшипников установить радиально-упорные. Если плотной посадки подшипников на вал получить не удастся, его поверхность между пазами нужно равномерно "прокренить" легкими ударами молотка.

Усилие подачи передается на каретку посредством тонкого стального троса 10 (см. рис. 1), прижимаемого к боковой грани каретки стальной пластиной, при этом он должен быть уложен в узкую канавку глубиной около 0,5 мм, пропиленную на этой грани.

Движение троса, а стало быть перемещение каретки, обеспечено вращением штурвала 23 за один из рычагов

24. Трос огибает три свободно вращающихся ролика 8 и двумя-тремя витками штурвал 23. В натянутом состоянии трос (его диаметр — 1 мм) поддерживает пружина 1. Сила натяжения — около 2 кг. Функции роликов выполняют однорядные радиальные шарикоподшипники с внутренним диаметром 8 мм, установленные каждый на эксцентричной стальной стойке 8.1 (видны их торцы). На внешней обойме шарикоподшипников с помощью отрезного абразивного круга проточена канавка шириной и глубиной около 0,5 мм. Следует отметить, что нижний ролик при сверлении нагружен более остальных, поэтому стойку для него лучше выточить из стали Ст45.

Ось штурвала 23 вращается во втулке 23.1 (на рис. 1 не видна), укрепленной в отверстии суппорта 16 гайкой. Осевое перемещение штурвала ограничено разрезной стопорной шайбой, устанавливаемой в паз его хвостовика. На концы рычагов 24 навинчивают наклею пластиковые наконечники желаемой формы.

Для того чтобы вал 2 вместе с кареткой 4 не опускались самопроизвольно вниз под собственной тяжестью, станок оснащен уравновешивающим механизмом. Он состоит (рис. 4)

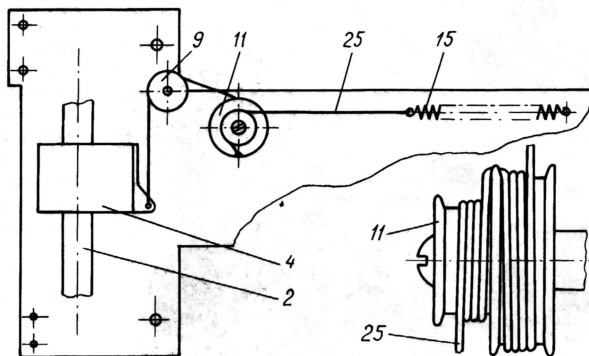


Рис. 4

из длинной жесткой пружины 15, соединенной отрезком троса 25 с двуступенным роликом 11 и через обводной ролик 9 с кареткой 4. Ролик 11 выполнен так, что каждая из его ступеней представляет барабан, на котором уместится 4—5 витков троса.

Когда каретка находится в исходном — верхнем — положении, на большом барабане ролика намотано, предположим, пять витков троса, а на меньшем — один, пружина имеет минимальную длину. При вращении штурвала против часовой стрелки (по рис. 1) каретка опускается, число витков на большем барабане ролика 11 уменьшается, а на меньшем — увеличивается. В конце хода каретки на большем барабане должен остаться один виток троса, на малом — пять витков, пружина растянута до максимума.

Исходя из сказанного и характеристик имеющейся пружины, рассчитывают диаметр барабанов ролика 11, число витков троса на них и его длину. Конец троса фиксируют на той же пласти-

не каретки, которой прижат трос подачи. Окончательно регулируют работу механизма подборкой оптимальной точки крепления к суппорту свободного конца пружины 15. Вместо одной пружины допустима комбинация из двух и более, соединенных последовательно или параллельно.

Механизм отрегулирован правильно, если каретка с валом и патроном, установленные в верхнее положение, не опускаются самопроизвольно вниз. Двуступенный ролик 11 следует выточить из латуни ЛС-59 или жесткого дюралюминия. Ролик 9 может быть таким же, как и 8. Трос 25 — такой же, как трос 10 подачи.

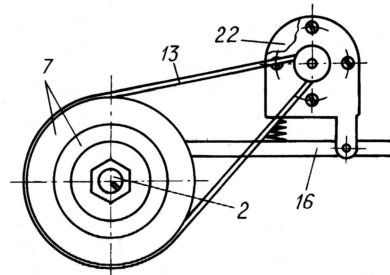


Рис. 5

Шкивы 7 (см. рис. 1) надеты на резьбовой хвостовик ведущей втулки 6 и плотно стянуты гайкой. Рабочий диаметр шкивов указан ориентировочно; он зависит от того, какой конкретно электродвигатель будет работать в станке. От этого же зависит и конструкция кронштейна для монтажа электродвигателя на суппорт. Изложим лишь общие соображения.

Работа станка будет менее шумной и в меньшей степени травмоопасной, если укрепить электродвигатель на суппорте не жестко, а шарнирно, с возможностью проскальзывания пассива при перегрузках шпинделя (рис. 5). Кронштейн электродвигателя 22 может поворачиваться вокруг точек крепления. Пружина (одна или несколько), отжимая кронштейн, поддерживает пассив в натянутом состоянии, но при перегрузке сожмется и уменьшит натяжение пассива.

Как уже было сказано, суппорт 16 (см. рис. 1) удерживается на штанге 20 эксцентриковым зажимом 18 с рычагом 19. Как только зажим будет ослаблен, т. е. поднят рычаг, суппорт устремится вниз, и "поймать" его удастся не всегда. Как ни старайся быть осторожным при работе на станке, но однажды такое произойдет.

Мало того, что при этом неминуемо будет сломано сверло и, вероятнее всего, испорчено обрабатываемое изделие, падение суппорта грозит тяжелой травмой. Причем даже если все обошлось, на первый взгляд, благополучно, от удара будут смещены подшипники шпинделя, что приведет к заклиниванию и искривлению вала или,

говоря иначе, к выходу станка из строя.

Для того чтобы полностью исключить возможность падения суппорта, необходимо оснастить станок подъемным механизмом. В простейшем случае он представляет собой рукоятку, связанную с шестеренчатым редуктором, прикрепленным к суппорту, причем выходная шестерня редуктора катится по зубьям рейки, прикрепленной к штанге. Вращая рукоятку, можно без больших усилий поднимать и опускать суппорт. Редуктор предотвратит падение суппорта.

Намного удобнее будет, если заменить рукоятку не-

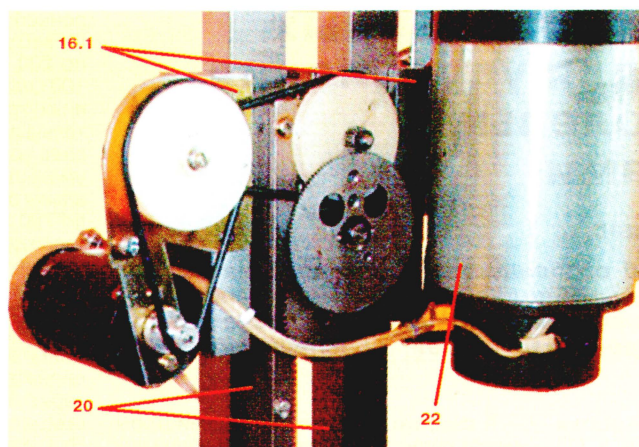


Рис. 6

большим электродвигателем. Именно такой механизм управления перемещения суппортом использован в описываемом станке. Механизм может быть различным конструктивно, редуктор — готовым или самодельным. Все зависит от возможностей радиолюбителя и от того, что есть у него "под рукой". Ясное представление о том, как устроен этот узел на описываемом варианте станка, дает фото на рис. 6.

Редактор — Л. Ломакин,
графика — Л. Ломакин,
фото — автора

(Окончание следует)

Первая Всесоюзная радиовыставка

Окончание. Начало см. на с. 5

установки типа станций "Роста", а также другая специальная радиоаппаратура.

Особый интерес представляет последняя зала, в которой сосредоточены последние достижения треста в области строительства радиопередатчиков. Следует отметить несомненные успехи треста в области строительства мощных катодных ламп: в настоящее время успешно строятся 20-киловаттные лампы.

Обращает внимание грандиозная установка 20-киловаттной телеграфно-телефонной радиостанции, предназначенной для установки в Тифлисе, — это грандиозное сооружение, занимающее (углом) почти половину зала. Приятный и компактный вид имеет 4-киловаттная телеграфная станция, изготовленная по заказу персидского правительства. Имеются ламповые передатчики меньших мощностей, телефонно-телеграфные в 2 и 1 киловатт.

Любопытны для любителя, в смысле возможности познакомиться в натуре, выставленные трестом передатчики иных типов: 10 кВ дуговой, машинные (проф. Вологодина, 3-х кВ, старый) и старая искровая станция, с разрядником Вина.

Другие экспонаты

Сравнительно небольшое число экспонатов представил Электромеханический завод Военно-технического управления РККА. Он выставил несколько детекторных приемников и некоторые части. Радиоотдел Гос. Экспер. Электротехнического Института (ГЭЭИ) представил несколько приборов и модель выделенной приемной радиостанции НКПиТ (в Люберцах) системы инж. В. И. Баженова.

На выставке имеются и частные фирмы — "Радиотехника" Молчадской и "Все для Радио" Шаурова, выставившие различные части и несколько типов детекторных и ламповых приемников.

Общие впечатления

Осмотр окончен. Придя в себя от шума и пестроты впечатлений, пробуем их суммировать, подвести общие итоги.

Конечно, одного посещения мало, чтобы взять от выставки все, что она дает. Если побывать несколько раз, приглядеться поближе к наиболее интересующим вещам, можно найти много поучительного. Сначала все как-то кажется, что, собственно, любителю, находящемуся мало-мальски в курсе рынка, выставка не дает ничего нового, особенно

ресны любителю, на самом деле, помимо уже указанного воспитательного значения, имеют для него сугубый интерес: ведь уже разработаны типы передатчиков, которые скоро заговорят в провинции и дадут толчок к развитию любительства в большем, всесоюзном масштабе...

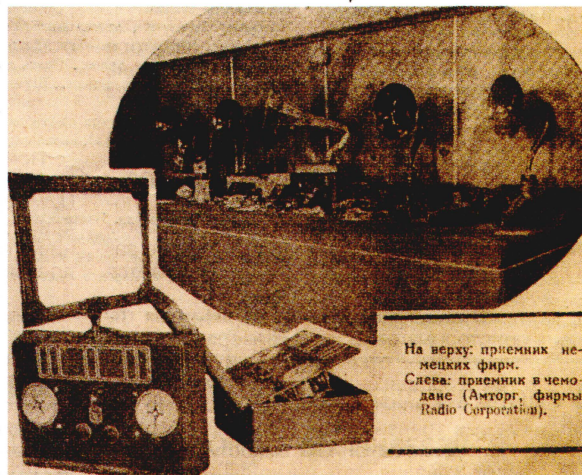
Вот такое впечатление произвела выставка на современников.

Почетные дипломы выставки были присуждены Электротехническому тресту завода слабых токов, Нижегородской радиолaborатории, американскому акционерному обществу "Амторг", голландской фирме "Филлипс". Были также вручены аттестаты, похвальные грамоты и поощрительные премии радиолюбителям-конструкторам Ф. Лбову, А. Покрасову, Н. Божко, радиокружкам заводов "Пролетарская кузница" и "Серп и молот".

Выставка завершила свою работу 19 ноября 1925 г., сыграв важную роль в развитии отечественной радиотехники. Как показали результаты выставки, несмотря на годы войны, экономической и информационной блокады, в области радиотехники наша страна не только не отстала от мирового уровня, но, по отдельным направлениям, вырвалась вперед.

За 80 лет в нашей стране прошло много радиовыставок, неизменно пользовавшихся успехом у специа-

листов и радиолюбителей. На регулярной основе радиовыставки возобновились с 1975 г. под наименованием "Связь", а с 1995 г. — "Связь—Экспокомм". Их тематика соответствует современному уровню техники связи: системы связи, средства телекоммуникаций, компьютеры и оргтехника, бытовая электроника. Современный рынок средств связи растет необычайно быстрыми темпами, что подтверждается и числом, и представительностью участников выставок "Связь—Экспокомм" и других аналогичной тематики. Однако основные принципы их организации и проведения были апробированы во время Московской выставки 1925 г., положившей начало смотрам достижений отечественной отрасли связи и вошедшей в историю как первая Всесоюзная радиовыставка.



Наверху: приемник немецких фирм.
Слева: приемник в чемодане (Амторг, фирмы Radio Corporation).

интересного. Есть, правда, передатчики, но до них еще, как будто, наш любитель не дорос, они пока сами по себе еще не в плоскости его интересов. Приемная аппаратура, довольно-таки немногочисленных типов, известна любителю, который бывал до выставки в магазинах.

Но уходя, вспоминаешь, что наше массовое любительство еще не имеет и года отроду; наша промышленность едва только расправляет свои крылья. Ведь понятно, что только сказка скоро сказывается, а большое дело организации массового производства делается не так скоро, в особенности при невозможности вложить в дело большие средства. Вспомнив все это, начинаешь по достоинству оценивать скромные, на первый взгляд, результаты кропотливой и долгой работы. Те передатчики, которые, как будто, не инте-

Применение драйверных микросхем для управления мощными полевыми транзисторами

М. СТРЫГИН, г. Краснодар

Автор рассказывает об особенностях использования микросхем, управляющих мощными полевыми транзисторами в преобразователях сетевого напряжения, о принципах расчета и выбора элементов таких преобразователей, обеспечивающих их надежность в работе.

Поводом для написания этой статьи послужило опубликованное в [1] описание "электронного балласта" для люминесцентной лампы и приведенное в [2] объяснение возможных причин отказов примененных там полевых транзисторов, не раскрывающее, по моему мнению, физики происходящих процессов. Хочу предложить читателям обзор основных приемов обеспечения надежности подобных устройств, правильного выбора элементной базы для них, обратить внимание на другие аспекты разработки узлов управления мощными полевыми транзисторами.

Сегодня такие узлы строят, как правило, на драйверных микросхемах фирмы International Rectifier, в том числе на предназначенных специально для электронных балластов люминесцентных ламп микросхемах IR2151, IR2152, IR2153, IR2155. Так как драйверы изготовлены по технологии КМОП, их выходные каскады содержат паразитные биполярные транзисторы, образующие тиристорную структуру. Открывание паразитного тиристора приводит к эффекту, известному как защелкивание. В лучшем случае оно приводит к паузам в управлении силовыми ключами, в худшем — к полному отказу микросхемы в результате теплового повреждения ее внутренних проводников.

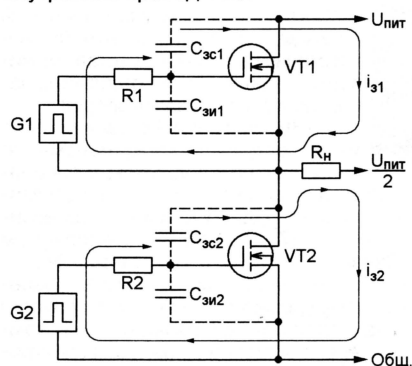


Рис. 1

При нормальной работе защелкивание исключено, оно происходит, когда к выходу драйвера в результате переходных процессов приложено внешнее напряжение, выходящее за пределы $-0,3 \dots U_n + 0,3$ В, где U_n — напряжение питания выходных цепей драйвера. Применительно к микросхемам фирмы International Rectifier это явление описано в [3].

К счастью, паразитные транзисторы имеют очень плохие усилительные и частотные свойства. Лавинообразные процессы в тиристорных структурах драйверов могут быть вызваны только импульсами открывающего тока амплитудой не менее 0,5 А и длительностью более 1 мкс.

Рассмотрим процесс образования затекающего в драйвер тока в полумостовом каскаде на полевых транзисторах VT1 и VT2, упрощенная эквивалентная схема которого изображена на рис. 1. Управляющий транзисторами драйвер условно представлен двумя генераторами импульсов G1 и G2.

Пока транзистор VT2 закрыт, а VT1 открыт, паразитный конденсатор $C_{зс2}$ заряжен до напряжения питания $U_{пит}$. Закрываясь по окончании управляющего импульса, транзистор VT1 отключает верхнюю по схеме обкладку конденсатора $C_{зс2}$ от источника напряжения $U_{пит}$, но она остается соединенной с источником $U_{пит}/2$ через сопротивление нагрузки R_n .

Сброс накопленной в конденсаторе $C_{зс2}$ энергии происходит по цепи нагрузки — источник питания — генератор G2 — резистор R2. Путь тока разрядки $i_{з2}$ показан на схеме. Аналогичным образом паразитный конденсатор $C_{зс1}$ после закрывания транзистора VT2 разряжается током $i_{з1}$ через генератор G1.

В обоих случаях для паразитных тиристорных структур драйвера затекающий ток — открывающий и может вызвать защелкивание. Чтобы предотвратить это явление, следует выбирать полевые транзисторы VT1 и VT2 с минимальным значением емкости затвор — сток и увеличивать номиналы ограничительных резисторов (R1 и R2 на рис. 1).

Последнее, однако, ведет к увеличению времени переключения полевого транзистора. Поэтому сопротивление резистора в цепи затвора не должно превышать определенного предельного значения, иначе на затворе уже закрытого транзистора в момент открывания ранее закрытого может возникнуть положительный выброс напряжения, способный не вовремя открыть первый транзистор. В результате, несмотря на наличие защитной паузы между сигналами управления, через транзисторы потечет сквозной ток. Более подробную информацию можно почерпнуть в [4], где приведены графики процессов переключения и их математическое описание.

Было выполнено компьютерное моделирование узла, собранного по рассмот-

ренной схеме на полевых транзисторах IRF840 с ограничительными резисторами по 200 Ом при сопротивлении нагрузки 100 Ом. Оно показало, что при этих условиях транзисторы работают со значительным сквозным током, который исчезает, если номиналы резисторов R1 и R2 уменьшить до 20 Ом. Повторение виртуального эксперимента с транзисторами IRF720 или IRF820 дало наглядное подтверждение сказанному выше. Во всех случаях были использованы SPICE-модели полевых транзисторов, найденные на интернет-сайте <www.irf.com>.

Вопреки сложившимся представлениям наиболее точно динамические свойства полевого транзистора характеризуют не значения его паразитных емкостей, а полный заряд затвора Q_3 . Эта важная величина связывает импульсный ток затвора с временем переключения транзистора, давая возможность правильно рассчитать узел управления. К сожалению, не все производители приводят ее значение в технической документации, однако International Rectifier к их числу не относится.

Например, у полевого транзистора IRF840 при токе стока $I_c = 8$ А, напряжении сток — исток $U_{си} = 400$ В и напряжении затвор — исток $U_{зи} = 10$ В полный заряд затвора $Q_3 = 63$ нКл. При неизменном напряжении затвор — исток заряд затвора уменьшается с увеличением тока стока и с уменьшением напряжения сток — исток [5].

Предположим, необходимо достичь времени включения транзистора $t_{вкл} = 120$ нс. Для этого драйвер должен отдавать ток

$$I_3 = \frac{Q_3}{t_{вкл}} = \frac{63 \cdot 10^{-9}}{120 \cdot 10^{-9}} = 0,525 \text{ А.}$$

При амплитуде импульсов управляющего напряжения на затворе $U_3 = 15$ В сумма выходного сопротивления драйвера и сопротивления ограничительного резистора не должна превышать

$$R_{\max} = \frac{U_3}{I_3} = \frac{15}{0,525} \approx 29 \text{ Ом.}$$

Выходное сопротивление драйверных микросхем в их справочных данных обычно отсутствует. Измеренные автором значения сопротивления открытых выходных транзисторов микросхемы IR2151 оказались равными 77 Ом ("верхний") и 25 Ом ("нижний"), что вполне согласуется со справочными значениями выходного тока $I_o = 125$ мА и $I_o = 250$ мА.

Возвращаясь к условию $R_{\max} = 29$ Ом, приходится констатировать, что с драйвером IR2151 заданное быстродействие полевого транзистора IRF840 получить невозможно. Если в цепи затвора установлен резистор $R = 20$ Ом, время включения будет равно

$$t_{вкл} = \frac{Q_3}{I_3} = \frac{Q_3(R_{0+} + R)}{U_3} = \frac{63 \cdot 10^{-9} \cdot (75 + 20)}{15} = 400 \text{ нс,}$$

что ненамного меньше продолжительности защитной паузы $t_{от}$ в выходных сигналах драйвера. Расчет времени выключения транзистора при $R_0 = 25$ Ом

дает $t_{\text{выкл}} \approx 190$ нс. Полученные значения относятся к режиму $I_c = 8$ А, $U_{\text{си}} = 400$ В, $U_{\text{зи}} = 10$ В.

Если для предотвращения защелкивания драйвера требуется устанавливать в цепи затвора полевого транзистора резистор значительного сопротивления, в результате чего время выключения становится недопустимо большим, в [3] рекомендовано зашунтировать резистор диодом, как показано на рис. 2. Для затекающего тока диод включен в непроводящем направлении. Время выключения остается таким же, как и без диода, а время выключения уменьшается за счет шунтирования резистора диодом.

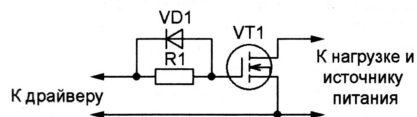


Рис. 2

Существуют и другие способы предотвратить защелкивание. Например, в [3] рекомендовано установить между выходом транзисторного полумоста и одним из полюсов источника его питания демпфирующую цепь (снаббер) из последовательно включенных резистора и конденсатора. Никаких соображений по выбору номиналов демпфирующих элементов в [3] не приведено, однако на схеме собранного на транзисторах IRF720 электронного балласта для питания током частотой 45 кГц двух ламп, аналогичных ЛД-40, указаны $R = 10$ Ом, $C = 0,001$ мкФ, а ограничительные резисторы в цепях затворов отсутствуют.

Согласно [6], резистор демпфирующей цепи следует выбирать номиналом в 5...10 раз больше сопротивления сток-исток полевого транзистора в открытом состоянии. Емкость конденсатора этой цепи

$$C \approx \frac{t_{\text{DT}}}{30R},$$

исходя из того, что продолжительность переходного процесса, равная $3RC$, должна быть в 10 раз меньше длительности защитной паузы t_{DT} .

Демпфирование задерживает моменты открывания и закрывания полевого транзистора относительно перепадов управляющего напряжения на его затворе и уменьшает скорость изменения напряжения между стоком и затвором. В итоге пиковые значения импульсов затекающего тока меньше, а их длительность больше. Почти не изменяя времени включения, демпфирующая цепь заметно увеличивает время выключения полевых транзисторов и ограничивает спектр создаваемых преобразователем радиопомех.

Еще одной причиной защелкивания драйвера может быть неудачная конфигурация проводников на печатной плате. В приведенном на рис. 3, а фрагменте печатной платы описанного в [1] устройства участок печатного проводника, выделенный штриховкой, входит одновременно в цепь управления и в выходную цепь полевого транзистора VT1. В моменты открывания и закрывания транзистора резко изменяется ток, текущий по этому участку проводника. На его паразитной индуктивности

(она тем больше, чем длиннее и уже проводник) возникают положительные и отрицательные импульсы напряжения, способные вызвать его защелкивание.

Правильная конфигурация рассматриваемого проводника, сводящая к минимуму длину общего для выходных и входных цепей участка, показана на рис. 3, б. Графический материал, иллюстрирующий и объясняющий принципы разделения цепей, приведен в [5, 6].

Далее рассмотрим особенности цепей питания микросхем-драйверов полевых транзисторов. В преобразователях сетевого напряжения для них обычно не делают отдельный низковольтный источник питания, а подают выпрямленное сетевое напряжение на соответствующие выводы микросхемы через гасящий резистор. На упрощенной схеме, изображенной на рис. 4, это резистор R1. Его номинал выбирают таким, чтобы

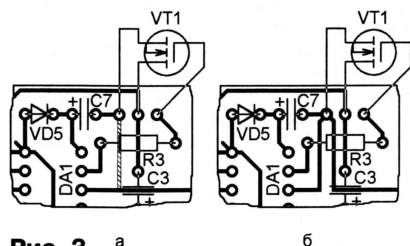


Рис. 3

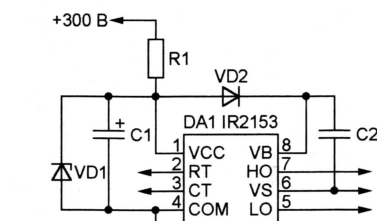


Рис. 4

при максимальном потребляемом драйвером токе и минимальном напряжении в сети стабилизатор VD1 не выходил из режима стабилизации. Мощность гасящего резистора выбирают из условия

$$P \geq 2 \frac{U_{\text{н}}^2}{R1}.$$

В некоторых микросхемах-драйверах предусмотрен встроенный стабилизатор, и во внешнем нет необходимости. Например, в микросхеме IR2153 его напряжение стабилизации — 15,6 В. Подавать на нее большее напряжение без ограничивающего ток резистора недопустимо. Не следует и намного уменьшать напряжение питания драйвера по сравнению с номинальным. Это приведет к уменьшению амплитуды импульсов на его выходах, которая для большинства мощных полевых транзисторов не должна быть менее 7 В.

Элементы VD2 и C2 образуют плавающий (бустерный) источник питания формирователя импульсов управления полевым транзистором VT1. Применение такой схемы стало возможным благодаря крайне малому расходу энергии, требующемуся для этой цели.

Согласно [7], диод плавающего источника должен быть импульсным с обратным напряжением $U_{\text{обр. макс}}$, превыша-

ющим значение выпрямленного напряжения сети $U_{\text{выпр}}$, с временем восстановления обратного сопротивления $t_{\text{восст}}$ не более 100 нс и с прямым током $I_{\text{max}} \geq Q_C f$, где Q_C — заряд, переносимый за один период выходного сигнала драйвера. В [8, 9] для его вычисления предложена формула

$$Q_C = 2Q_3 + \frac{I_n}{f} + Q_{\text{сдв}} + \frac{I_{\text{UT}}}{f},$$

где Q_3 — общий заряд затвора управляемого полевого транзистора; $Q_{\text{сдв}}$ — заряд, расходуемый на сдвиг уровня (5 нКл у 500...600-вольтовых и 20 нКл у 1200-вольтовых драйверов); I_n — ток, потребляемый выходным каскадом драйвера в статическом режиме; I_{UT} — ток утечки конденсатора. Во многих случаях здесь хорошо подходит диод SF28 (600 В, 2 А, 35 нс).

Конденсатор C2 должен иметь минимальный ток утечки и малое сопротивление для высокочастотных составляющих тока, образующихся в процессе переключения. Даже очень хороший алюминиевый оксидный конденсатор здесь не годится. Можно использовать оксидный танталовый конденсатор, а еще лучше пленочный с органическим диэлектриком, например, К73-17. Минимальную емкость этого конденсатора находят исходя из приведенного в [8, 9] выражения:

$$C \geq \frac{2Q_C}{U_n - U_d - U_{\text{откр}}},$$

где U_n — напряжение питания выходного каскада драйвера; U_d — прямое падение напряжения на диоде VD2; $U_{\text{откр}}$ — падение напряжения на открытом полевым транзисторе VT2.

На практике берут конденсатор емкостью в 10...15 раз больше расчетной. Например, при $Q_3 = 20$ нКл (транзистор IRF720), $I_n = 70$ мкА (микросхема IR2155), $I_{\text{UT}} = 5$ мкА, $Q_{\text{сдв}} = 5$ нКл, $U_n = 15$ В, $U_d = 1$ В; $U_{\text{откр}} = 3$ В получим условие $C \geq 8500$ пФ. Увеличив минимальное значение в 15 раз, получим 0,127 мкФ. В [7] рекомендована емкость этого конденсатора 0,1 мкФ.

ЛИТЕРАТУРА

1. Таразов А. Высоочастотный блок питания люминесцентной лампы. — Радио, 2003, № 5, с. 42.
2. Чулков В. Усовершенствование высокоочастотного блока питания люминесцентной лампы. — Радио, 2004, № 4, с. 42.
3. Maximizing the Latch Immunity of the IR2151 & IR2152 in Ballast Applications. — <<http://www.irf.com/technical-info/designntp/dt94-9.pdf>>.
4. Дьяконов В. (ред.) Схемотехника устройств на мощных полевых транзисторах. — М.: Радио и связь, 1994.
5. Use Gate Charge to Design the Gate Drive Circuit for Power MOSFETs and IGBTs. Application Note AN-944A. — <<http://www.irf.com/technical-info/appnotes/an-944.pdf>>.
6. Семенов Б. Силовая электроника для любителей и профессионалов. — М.: СОЛОН-Р, 2001.
7. Wood P., Limjoco G. Simple Electronic Ballast Using IR2155 MOS Gate Driver. — <<http://www.irf.com/technical-info/designntp/dt94-3.pdf>>.
8. Adams J. Bootstrap Component Selection For Control IC's — <<http://www.irf.com/technical-info/designntp/dt98-2.pdf>>.
9. Адамс Дж. Выбор бустерных компонентов для управляющих ИС (русский перевод предыдущей статьи). — <<http://www.gaw.ru/html/cgi/txt/publ/ir/dt98-2.htm>>.

Редактор — А. Долгий, графика — А. Долгий

Ю. ВИНОГРАДОВ, г. Москва

Автор усовершенствовал изготовленный им ранее прибор, служивший для пеленгации мощных радиостанций диапазона 27 МГц, владельцы которых неэтично ведут себя в эфире. Новый аппарат сможет "засечь" на расстоянии в несколько километров и мало-мощный радиомаяк, установленный, например, в автомобиле.

На радиомаяк может вывести и обычная портативная Си-Би радиостанция, если ее снабдить магнитной антенной, например, как предложено в [1]. Но глубокая АРУ обычных связных приемников и недостаточно хорошая их общая экранировка настолько снижают остроту пеленга, что сделают радиополиск на малых дистанциях невозможным. Лучшие результаты можно получить со специально изготовленным приемником-пеленгатором с ручной регулировкой усиления.

Схема такого радиоприемника приведена на **рис. 1**. Сделав его, в отличие от прототипа [2], супергетеродинным, удалось значительно повысить чувствительность и избирательность.

Важнее уверенность, что настройка не состоится в процессе поиска и короткий сигнал маяка будет обязательно принят.

Нагрузка преобразователя — полосовой пьезоэлектрический фильтр ZQ2 с центральной частотой 465 кГц, выход которого соединен с входом УПЧ DA1. Благодаря соединению вывода 6 с общим проводом, а выводов 12 и 13 с цепью питания, система АРУ микросхемы K157XA2 выключена. Нужный коэффициент усиления устанавливают подстроечным резистором R9.

Выходной сигнал амплитудного детектора микросхемы DA1 поступает на усилитель мощности — микросхему DA3, нагруженную 50-омной динамической головкой BA1 или головными телефона-

ками показаны места пайки к ней предварительно отогнутых выводов элементов. На расстоянии 1...1,5 мм вокруг отверстий, предназначенных для "незаземленных" выводов, фольга удалена.

Все три вывода подстроечного резистора R9 вставлены в предназначенные для них отверстия, однако два из них, по схеме соединяемые с общим проводом, припаяны к фольге со стороны установки, а третий — к контактной площадке с обратной стороны. В отверстия, отмеченные точками внутри, вставлены проволочные перемычки, припаянные к фольге с обеих сторон платы. Для удобства замены кварцевого резонатора в предназначенные для его выводов отверстия вставлены и припаяны к соответствующим контактным площадкам подходящие гнезда от разъема.

Конструкция магнитной антенны WA1 в точности повторяет описанную в [2]. Ее магнитопровод — ферритовый стержень М30ВН-22 диаметром 8 и длиной 100 мм. Строго от середины стержня в одном направлении (например, по часовой стрелке), но по оси в разные стороны, намотаны обмотки L1 и L2 по 5 витков провода МГШВ-0,15 каждая. Обмотки соединены параллельно согласно и образуют с кон-

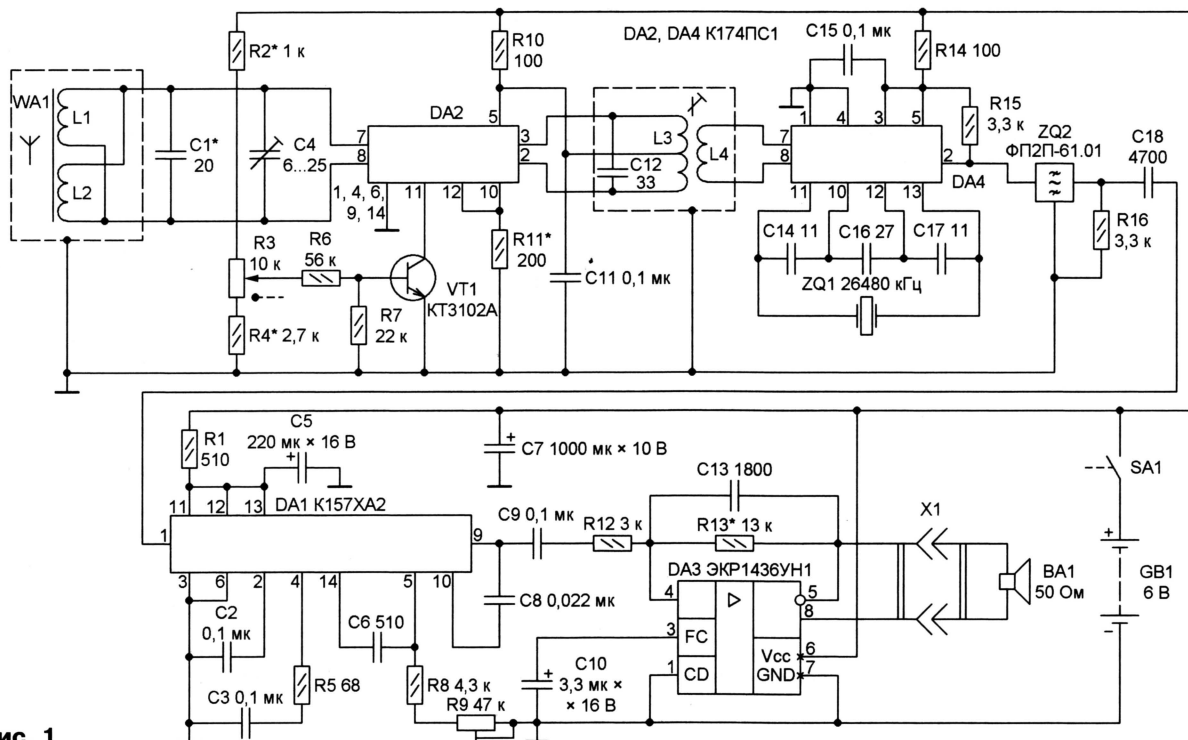


Рис. 1

УВЧ приемника выполнен на микросхеме DA2. Его коэффициент усиления зависит от тока коллектора транзистора VT1, который регулируют переменным резистором R3.

Преобразователем частоты служит микросхема DA4. Гетеродин в ней работает на частоте кварцевого резонатора ZQ1, значение которой выбрано на 465 кГц ниже частоты пеленгуемой радиостанции или радиомаяка. Перестроить приемник на другую частоту можно только заменой кварца. На первый взгляд это неудобно. Но значительно

ми такого же сопротивления. Коэффициент усиления микросхемы DA3 можно изменить подборкой резистора R13.

Батарея GB1 — любая гальваническая или аккумуляторная напряжением 6 В. Приемник сохраняет работоспособность при снижении ее напряжения до 4,5 В. Потребляемый ток — 10...12 мА.

Детали пеленгатора смонтированы на печатной плате из двусторонне фольгированного стеклотекстолита толщиной 1,5...2 мм (**рис. 2**). Фольга со стороны установки деталей служит общим проводом. Штриховыми прямоугольни-

денсаторами C1 и C4 колебательный контур, настроенный на частоту принимаемого сигнала. Такая несколько усложненная, но симметричная конструкция обеспечивает минимальную чувствительность к электрической компоненте электромагнитного поля, искажающей диаграмму направленности магнитной антенны.

Антенна укреплена на плате приемника параллельно ее плоскости на двух опорах высотой 5 мм из диэлектрического материала. Опоры приклеены к плате, а к ним — ферритовый стержень. Дополнительной защитой от электрического

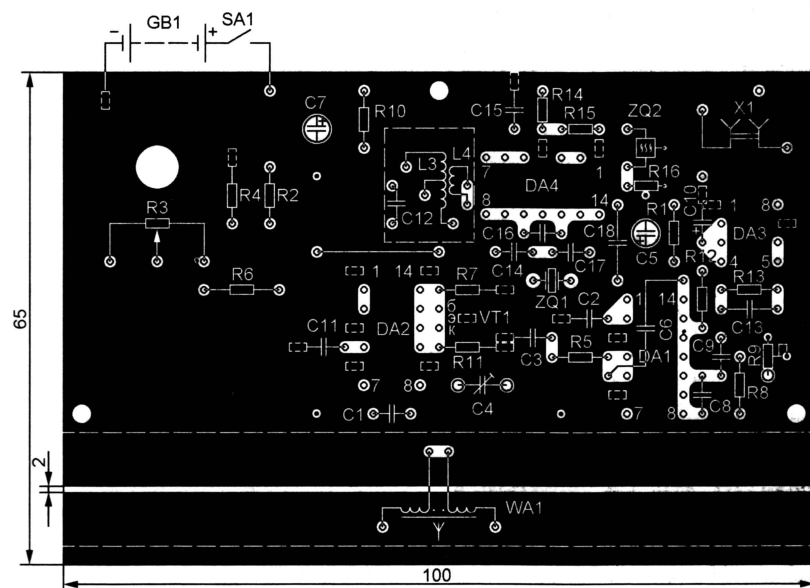
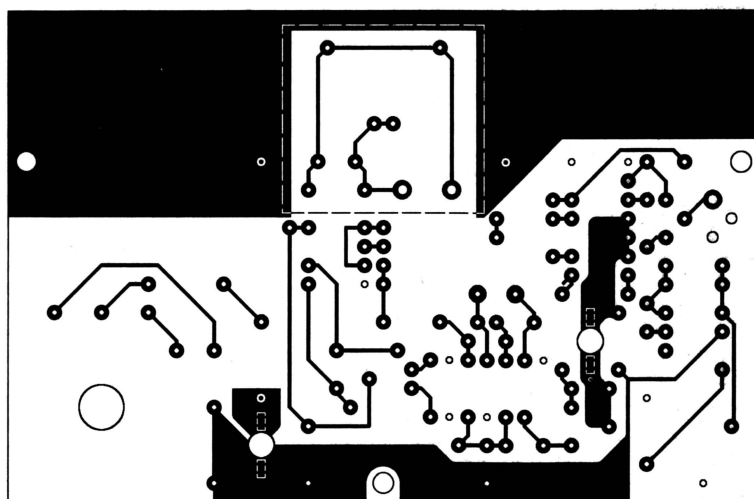


Рис. 2

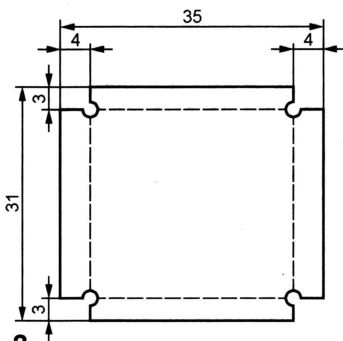


Рис. 3

поля служит экран из листовой меди или латуни толщиной 0,5...0,8 мм. Его заготовка согнута в виде перевернутой буквы U на оправке диаметром 20 мм. Торцы экрана прилегают к плате в местах, обозначенных на рис. 2 штриховыми линиями. В нескольких местах они припаяны к фольге. Во избежание образования вихревых токов в фольге под ней сделана щель шириной 2 мм.

Еще один латунный экран, установленный со стороны печатных проводников,

защищает от нежелательных наводок входные цепи приемника. Его контур показан штриховой линией в верхней части рис. 2, а развертка изображена на рис. 3.

Катушка L3 по конструкции также аналогична использованной в [2]. Она имеет диэлектрический каркас диаметром 5 мм с подстроечником из карбонильного железа и содержит 16 витков (с отводом от середины) провода ПЭВ-2 0,33. Поверх нее проводом ПЭВ-2 0,3 намотаны четыре витка катушки L4. Каркас с обмотками установлен параллельно плате и накрыт металлическим экраном, чертеж развертки которого приведен на рис. 4.

Все постоянные резисторы приемника — МЛТ-0,125. Переменный резистор R3, спаренный с выключателем SA1, — СП3-4М; подстроечный резистор R9 — СП3-38а; конденсаторы C1, C12, C14, C16, C17 — КД-1; C2, C9, C11, C13, C15 — К10-176; подстроечный C4 — КТ4-23; C5, C7 — любые оксидные подходящих размеров; C10 — К53-30; C18 — керамический КМ-5а. Гнездо X1 — стандартное под аудиощтекер диаметром 3,5 мм.

При налаживании пеленгатора подборкой резисторов R2 и R4 устанавлива-

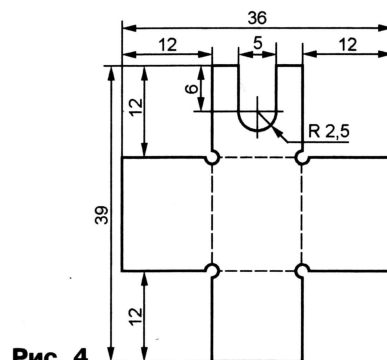


Рис. 4

ют пределы регулировки коэффициента усиления УВЧ. Его максимальное значение зависит от сопротивления резистора R11, номинал которого увеличивают до 300...500 Ом в случае самовозбуждения УВЧ. Устранить самовозбуждение можно и шунтированием одного из контуров — антенного или нагрузочного — резистором сопротивлением 20...100 кОм.

Источником сигнала для регулировки приемника автору послужил описанный в [3] маломощный передатчик, нагруженный на эквивалент антенны — резистор сопротивлением 50 Ом. Принимая его сигналы, удалось, не выходя из квартиры, установить в наилучшие положения все подстроечные элементы приемника. Более мощный источник сигнала придется отнести от приемника на значительное расстояние или тщательно заэкранировать.

Пеленгатор способен принять сигналы радиомаяка мощностью 0,3 Вт на расстоянии 5...6 км, а мощностью 10 мВт в благоприятных условиях — на расстоянии 1...1,5 км. Направление на маяк определяют на слух: громкость сигнала минимальна, если продольная ось магнитной антенны "смотрит" на источник сигнала. Неопределенность пеленга (неизвестно, в каком из двух возможных направлений находится маяк) на практике легко разрешить, сделав несколько засечек из разных, по возможности удаленных одно от другого, мест.

Конечно, в радиопеленгации есть свои сложности. Очевидные проблемы возникают из-за отражения радиоволн, особенно в условиях города. Разобраться в создаваемой многочисленными неоднократно отраженными сигналами "пятнистой" интерференционной картине не всегда удается даже с помощью вычислительной техники. Есть и другие особенности распространения радиоволн, уводящие приборный пеленг от истинного. В какой-то мере с этим сталкиваются "охотники на лис", опыт которых может быть полезен. Но описанный пеленгатор позволит приобрести и свой собственный.

ЛИТЕРАТУРА

1. **Виноградов Ю.** Радиолюбительские конструкции в системах контроля и защиты. Пеленгационная головка к Си-Би радиостанции. — М.: Солон-Р, 2001, с. 53—58.
2. **Виноградов Ю.** Пеленгатор для ближнего поиска. — Радио, 2002, № 2, с. 64, 65.
3. **Виноградов Ю.** Ионизирующая радиация. — М., Солон-Р, 2002, с. 207—210.

Редактор — А. Долгий, графика — А. Долгий

Термостат для улья

В. КУСТИКОВ, с. Ражево Тюменской обл.

Для зимовки пчелиных семей необходимо поддерживать в ульях положительную температуру. Это делают с помощью электронагревателей, снабженных различного рода автоматическими регуляторами. Автор предлагает свой, оптимальный по его мнению, вариант такого прибора, поддерживающий заданную температуру без неизбежных в других случаях периодических колебаний ее значения. Изготовленное им устройство успешно проработало уже три зимы.

Типичная структура большинства предлагаемых электронных термостатов: мост с терморезистором—усилитель сигнала рассогласования—электромеханическое реле в качестве порогового элемента—нагреватель. Температура, поддерживаемая подобными приборами, не равна установленному значению, а постоянно колеблется вокруг него с размахом в несколько градусов. Причины этого принципиально неустранимы — гистерезис порогового элемента, тепловая инерция нагревателя и термостабилизируемой среды.

Для пчелиных семей важна не только

абсолютная температура зимовки, но и степень ее постоянства. Именно резкие и постоянные колебания температуры наиболее пагубны. Поэтому для термостатирования ульев лучше всего подходят так называемые изодромные регуляторы, в которых мощность нагревателя изменяется не ступенчатым, а непрерывным образом. Они могут поддерживать заданный температурный режим с очень малыми остаточными колебаниями или совсем без них.

Схема электронного блока термостата для улья приведена на рис. 1. Образцовое напряжение 2,5 В, стабилизированное микросхемой DA1, поступает на неинвертирующие входы ОУ DA2.1 и DA2.2. В цепь отрицательной обратной связи ОУ DA2.1 включен терморезистор RK1 — приемник термометра сопротивления П-1 (99,1±0,15 Ом при 0 °С, 129,8±0,44 Ом при 100 °С). Резистор R5 ограничен выходной ток ОУ.

Так как отрицательная обратная связь поддерживает равенство значений напряжения на входах ОУ DA2.1, напряжение разбаланса измерительного моста, одним из плеч которого служит терморезистор, приложено к входам усилителя на ОУ DA2.2. Выходное напряжение этого усилителя в зависимости от отклонения температуры от задан-

ного значения изменяется в пределах 0,8...11 В. Конденсатор C1 предотвращает самовозбуждение. На интегральном таймере DA3 собран генератор прямоугольных импульсов с периодом повторения 4,7 с, заданным цепью R9C2. Резистор R10 ограничивает ток разрядки конденсатора C2 через внутренние цепи микросхемы. Импульсы с выхода DA3 запускают одновибратор на таймере DA4. Длительность импульса одновибратора равна продолжительности зарядки конденсатора C5 до напряжения, поданного на вывод 5 таймера с выхода ОУ DA2.2.

жительном напряжении на выходе DA4 должен быть включен, а при нулевом — выключен. С помощью светодиода HL1 удобно контролировать работу термостата.

Для установки нужной температуры стабилизации (обычно в улье нужно поддерживать +12 °С) следует плотно прижать друг к другу чувствительные элементы датчика температуры (терморезистора RK1) и образцового термометра и закрепить их в этом положении, например, обмотав липкой лентой. Сборку помещают в воду заданной температуры и переменным резистором R2 устанавливают длительность импульсов, управляющих нагревателем, равной половине периода их повторения. При небольшом, приблизительно на 0,5 °С, охлаждении воды длительность импульса должна достигать почти 100 % периода, а при таком же нагреве — уменьшаться почти до нуля. Относительную длительность импульсов можно определять с достаточной точностью по характеру всплеск светодиода.

Вместо приемника термометра сопротивления П-1 (из системы контроля температуры масла авиадвигателя) можно применить и другие терморезис-

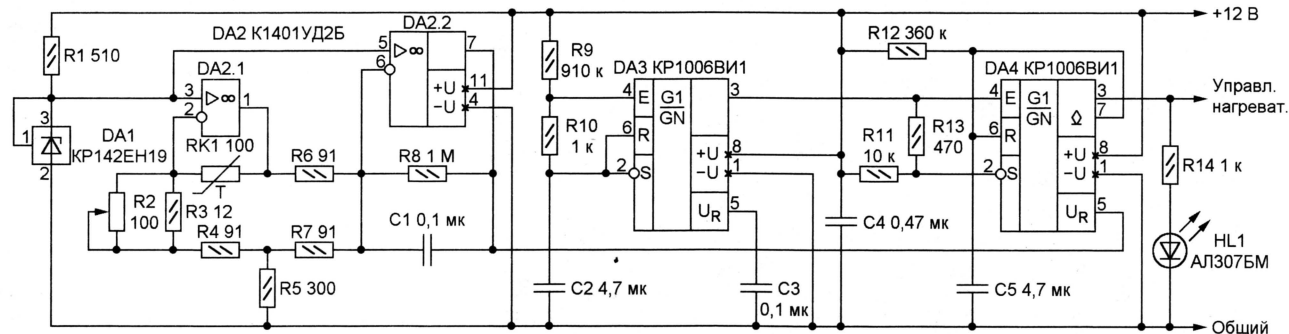


Рис. 1

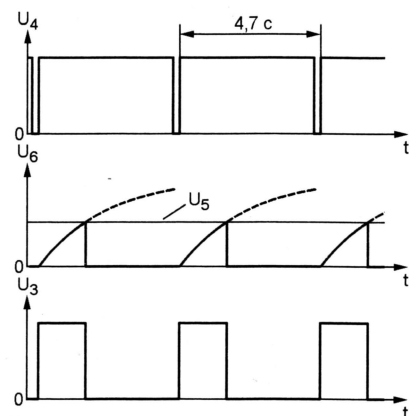


Рис. 2

Характер происходящих процессов иллюстрируют временные диаграммы на рис. 2, где индексы обозначений напряжения соответствуют номерам выводов таймера DA4.

Таким образом, длительность импульса одновибратора (минимальная — 5 % периода повторения, максимальная — 97 %) пропорциональна отклонению температуры от заданной. В тех же пределах изменяется средняя мощность нагревателя, который при поло-

торы с положительным ТКС. Номиналы резисторов R2—R7, образующих измерительный мост, необходимо изменить пропорционально сопротивлению терморезистора при рабочей температуре.

Конденсаторы C2 и C5 должны быть термостабильными, например, керамическими в корпусах серого, голубого или синего цвета. Емкость упомянутых конденсаторов должна быть одинаковой. Об этом следует помнить, если потребуется изменить частоту повторения импульсов.

Чтобы устранить помехи, возникающие при включении управляющего нагревателем симистора в произвольные моменты времени, можно дополнить описанное устройство узлом, "привязывающим" управляющие импульсы к моментам перехода напряжения в сети через нулевое значение. Его схема показана на рис. 3. Переменное напряжение на излучающие диоды оптрона U1 подают со вторичной обмотки трансформатора питания. Точное значение этого напряжения несущественно, но сопротивление резистора R1 следует выбирать таким, чтобы ток в цепи излучающих диодов находился в пределах, указанных на схеме. От напряжения зависит и мощность этого резистора. Изменяя номинал резистора R2, можно

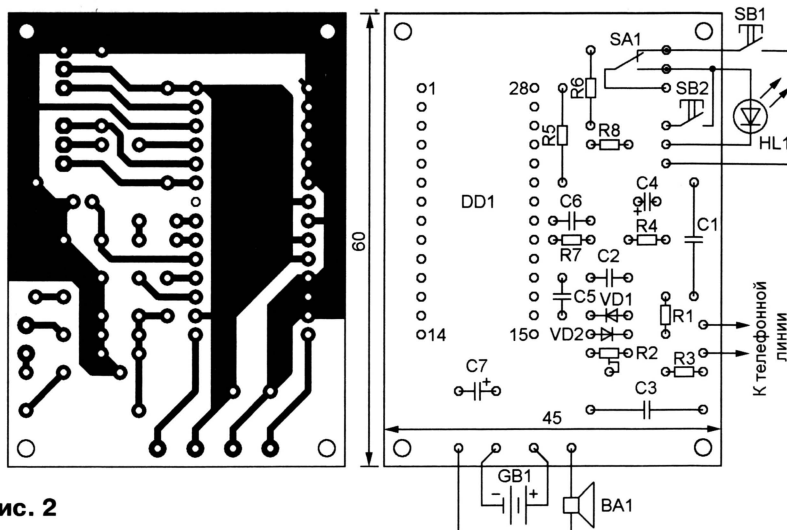


Рис. 2

Охранный система с оповещением по сотовому каналу

С. КУДРЯШОВ, г. Саратов

Повсеместное развитие инфраструктуры телефонной связи, а также снижение стоимости услуг операторов мобильной связи и цен на мобильные телефоны делают привлекательным использование сотовой связи в качестве канала оповещения о срабатывании охранной системы. В ряде случаев, например, для загородной дачи, далеко расположенного гаража или оставленного в удаленном месте автомобиля такой канал оповещения оказывается единственно возможным. Зона оповещения такой системы совпадает с зоной охвата мобильной связью выбранного оператора, и с учетом роуминга может быть очень большой. А использование в качестве приемника тревожной информации второго мобильного телефона делает такую систему надежной и удобной в эксплуатации.

Самый простой и очевидный способ передачи сигнала тревоги через мобильный телефон — замыкать контактные пары его клавиш с помощью электромагнитных реле, имитируя нажатие на клавиши. Однако такое решение не позволяет создать простую и надежную конструкцию с развитыми функциональными возможностями. Лучшие результаты дает «нажатие» большего числа клавиш с помощью электронных замыкателей или, еще лучше, непосредственно портов микроконтроллера.

Такую возможность предоставляют мобильные телефоны так называемой М-серии (от М3188 до М3888) фирмы Motorola. Дело в том, что аппараты этой серии имеют необычную конструкцию контактуры — каждой клавише соответствуют не два, как обычно, а три контакта (рис. 1). Один из них соединен с общим проводом, а на два других через резисторы сопротивлением 4,7 кОм подано напряжение высокого логического уровня (3 В). Резисторы, собранные в две матрицы по 4 штуки, видны на рисунке справа от контактов.

На рис. 2 показана разводка клавиатуры (соединенный с общим проводом третий контакт каждой клавиши не показан). Выводы резисторов, помеченные на рис. 1 и 2 буквами А—Г, соединены с входами процессора мобильного телефона (позиционные обозначения указанных резисторов здесь и далее для упрощения опущены). При нажатии на любую клавишу ее проводящее покрытие замыкает все три контакта и на двух из семи выводов резисторов А—Г высокий уровень сменяется низким, формируя своеобразный, уникальный для каждой клавиши, инверсный код «два из семи». Процессор интерпретирует его как нажатие на соответствующую клавишу.

Таким образом, с помощью управляющего контроллера, подключенного к точкам А—Г мобильного телефона, можно не только имитировать нажатие на любую клавишу и, следовательно, управлять телефоном, но и фиксировать нажатие на клавиши пользователем. Оба этих свойства использованы в предлагаемой Охранной Системе Автономной (ОСА). Она обеспечивает ряд сервисных функций:

серии К73, остальные — керамические К10-17. Подстроечный резистор R2 — СПЗ-19, постоянные резисторы — МЛТ, С2-33 или Р1-4. Кнопки — любые малогабаритные с самовозвратом, переключатель также любой на два положения. Динамическая головка — мощностью 0,1...1 Вт и сопротивлением 16...50 Ом.

Большинство деталей «магнитофона» размещено на печатной плате из односторонне фольгированного стеклотекстолита, эскиз которой показан на рис. 2. Смонтированную плату помещают в корпус подходящего размера, на его стенках устанавливают кнопки и светодиод. Устройство располагают рядом с телефонным аппаратом и соединяют с линией отрезком двухпроводного телефонного кабеля. Настройка сводится к установке чувствительности подстроечным резистором R2.

Редактор — А. Долгий, графика — А. Долгий

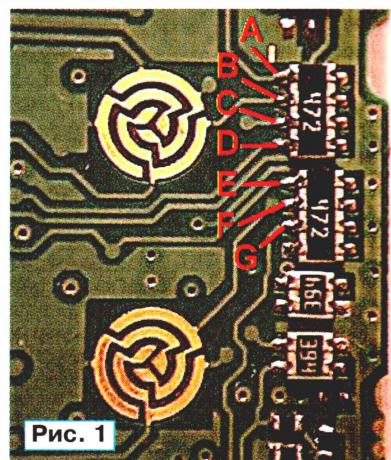


Рис. 1

— отключаемую задержку времени при установке в режим охраны и снятия с охраны;

— оповещение при пропадании внешнего питания, при этом аккумуляторная батарея телефона исполняет роль резервного источника питания;

— высылку информационного сообщения SMS раз в сутки для подтверждения нормальной работы системы и отсутствия срабатываний при охране удаленных и редко посещаемых объектов;

— при подключении параллельно сторожевому автомобильному сигнализатору возможность отсеивать короткие сигналы sireны при установке в режим охраны и выходе из него с помощью брелока.

Тревожное оповещение осуществляется через сеть сотовой связи стандарта GSM путем рассылки сообщений SMS и дозвона на заданные телефонные номера (до трех номеров рассылки SMS и до трех номеров дозвона). Все основные узлы системы ОСА размещены внутри мобильного телефона, что повышает ее надежность и исключает необходимость установки на корпусе аппарата дополнительных разъемов. При этом телефонный аппарат с установленным блоком ОСА не теряет своих прежних функциональных возможностей.



КОНКУРС "РАДИО"—80"


```

:020000040000FA
:100000000280D280D280D280D00030E8301DE00CA
:100010005E0E83000F0E5F0E090083015020532027
:1000200081018316F239000003099000030950075
:100030003F30960083120730990000309000A901EC
:10004000A8016430AD006430AE001430B100FF3060
:10005000A0F0A0208B15AD30A000AC30A100281857
:1000600003825921321C4528A91F4528A9187D2164
:100070002919CB21452885103F2846224528592180
:100080000321C4528A9181322452864005820050869
:1000900008106300A1082F28A0082D2884222828E6
:1000A0003F30850080000308B0083160F30810070
:1000B000083163F30850083102800A005F28A20840
:1000C000622808006328642865286400A020862285F
:1000D0000800A30063305D206400000A30B7128BA
:1000E000080063305D20742872867286400A30B0F
:1000F00071280800A4006330692063305D20640028
:100100000000A408842808006330692063305D2060
:1001100089288A288B286400A40884280800A5005D
:10012000A508031908000A307A20A5089328080087
:10013000831600309B001C14A0803136400080087
:100140009820A600A70003398800A30CA70C270821
:1001500003398900A70CA70C270807398A00640087
:1001600008003A08A700A70D0A70D1C30A7053908FD
:10017000A70A70D0A70D7C30A7053808A7042708FA
:10018000A600982064002606031DC278080026083C
:1001900083169A000030980083128B1383161C1564
:1001A00083128C136400831653309D00A309D0085
:1001B00008148312640081C1F8A28C139820260666
:1001C000031DC27883161C11031364000800A9012E
:1001D0000530870082308600820158200508B300E0
:1001E000831133080319291437303190D293317A8
:1001F0008317083085008401B30C31C8A40A50837
:10020000F28B30C34080330C3190B298608C2868
:100210008708EA208293214330864000800AA013C
:100220000A801AC01E720321C1729A0A00289643051
:100230008000582005080810081812290130692056
:1002400080081C29A0A2C082F0203181229080035
:10025000E720321C38296430800058200508081001
:1002600008182829013069208083029A80A280864

```

потребуется паяльник с жалом, заточенным на конус, как у шила. Соединение между платами следует выполнять проводом МГТФ сечением 0,07 мм².

Перед установкой в телефон собранной платы следует доработать гнездо разъема телефона для подключения гарнитуры "Hands Free" (X2 на рис. 3). Общий вид доработанного разъема с уже припаянными проводниками показан на рис. 7. Контакты здесь, помеченные буквами Н, J, K, L2, соответствуют одноименным контактам на рис. 3. Для доработки разъема надо аккуратно выпаять, удалить контакт I, аккуратно поддев его остро заточенным шилом, т. е. разорвать цепь I—L (см. рис. 3). Далее перерезают проводник, соединяющий контакты J и K, проводник, отходя-

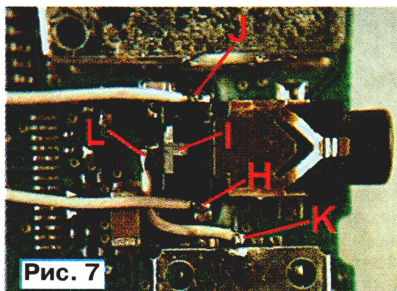


Рис. 7

щий от контакта Н. Теперь остается соединить проводниками контакты К и L и установить разъем на прежнее место. Такая доработка препятствует отключению микрофона мобильного телефона при установке штыря разъема в гнездо и позволяет прослушать акустическую обстановку в охраняемом помещении при тревожном оповещении.

Контакт Н гнезда X2 соединяют резистором R3 с гнездом X1 "Зарядка". Если

```

:100270002F0203182829310828020318A9172A086E
:10028000E53C0319A9142A08D33C031929152A08A7
:10029000063C0319A9152A08D33C031929162A08A2
:1002A000F23C0319A9162A08D33C03192917640034
:1002B0000800E720321C5E290F2132146400080078
:1002C000AA00850183162A08850083128501AD1FC7
:1002D0006D29AD132D087A206F292D08692083160A
:1002E0003F3085008312AE1F7929AE132E087A2085
:1002F0007B292E08692064000800F08BC001E30EE
:10030000AF0003308B008383084009C2105307A20D8
:10031000393084009C2103308805890503307A2086
:1003200007308B003A3084009C2107308A05B12069
:100330003C08AF006400800D3306212008031986
:10034000A6298D008D30319AD29A929E330602109
:10035000AD29F2306021B080A9290F21AA0803198C
:10036000C729A9189E329021B8F29C7293B0800029A
:10037000031C8D29E3306021AD29800AD29800826
:10038000031DC529F2306021AD298003AD29E53078
:10039000602164000800821A481A0830A000AC3023
:1003A000A100B3306021F23060213808031DDF291D
:1003B0003308031DDF29281002307A200F2A261E53
:1003C0000F2A78308F008F0803190F2A6430692054
:1003D00002307A208519F02931CF329BF1CF3292C
:1003E000F2306021032AD1FF929AD132D087A20C0
:1003F000FB292D086920AE1F012AAE132E087A2092
:10040000032A2E08692059212919CB29A91C0D2A54
:100410001322281C112AD33060218F08E629E53086
:100420006021640008002F088E001E30AF00E530D8
:100430006021B3306021E3306021D63060210F216C
:100440003E08AF00A919252A2A2810A8109F22A1
:1004500064000800E5306021640008000530BF003A
:100460008F080319442A1530C005921A91C382A92
:100470001322281C442A640058200508081063002E
:10048000C008352ABF08332A64000800A61E532A6E
:100490003230C200C2080319532A0A30692081D70
:1004A000822AC2084D2A261E6C2A3C30C200C2088A
:1004B00003196C2AD33060216430692002307A201D
:1004C000E33060215921A91C6A2A1322281C822AA0
:1004D000D3306021C20B5C2AA8149F22281C822AD8
:1004E00038080319772AC6000030C400A922281C46

```

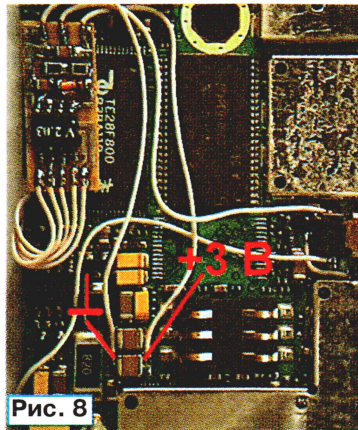


Рис. 8

функция оповещения при пропадании внешнего питания по каким-то причинам не нужна, то перерезать проводник от контакта Н и соединять этот контакт через резистор R3 с гнездом X51 "Зарядка" не нужно. В этом случае не требуется и переходник (см. рис. 4).

Контакт J гнезда X2 соединяют с входом узла на плате. Плату приклеивают с правой стороны платы телефона двусторонним скотчем и припаивают ее выходные контакты к соответствующим контактам А—Е платы телефона. Общий вид на монтаж со стороны процессора мобильного телефона показан на рис. 8, а со стороны клавиатуры — на рис. 9. Резистор R3 следует поместить в отрезок пластиковой трубки подходящего диаметра.

Детали переходника (см. рис. 4) монтируют непосредственно на выводах штыря X1 и размещают внутри его корпуса. Микросхему DA1 стабилизатора (см. рис. 5) необходимо снабдить небольшим теплоотводом. Стабилизатор

```

:1004F000822A9F2239080319822AC6001830C400B1
:10050000A9222E2264000800281C9D2A8189D2AD2
:100510009F220130C6003030C400A9223808CC0028
:100520000319982AF230602105307A20CC08922AE8
:100530000130C600330C400A922640008002D082F
:10054000C3008C30AD00E53060214308AD0064008D
:10055000080046080319F22AC700C9014408C5006B
:10056000C90A64005921A91C882A1322281CF22A9E
:1005700003308A0045080023C800C50AC8080319C
:10058000F02AC81DD2A481BE02AC81FC811C8135D
:10059000C808031DCE2A05307A20B12A6430CA006B
:1005A0005921A91CD62A1322281CF22A0A3069208A
:1005B000CA08D02AC808CE2AB12A48086021B12A1A
:1005C0004908033CA00CA080319B12AC8114813D4
:1005D0004808CB00C50AC80BE2ACA08E82A812A85
:0805E000C70BAE2A64000800FD
:100600008207B334D634D63408344A34F23408342A
:10061000F2340834D634D6340834F234F234D634D2
:10062000D63408344A34F2340834F2340834D63438
:100630000E34E53408340034D334F234D634D634AE
:100640000834F2340834F2340834F23408344A34CA
:10065000F2340834F2340834D6342834E53408341B
:100660000034D334D634D63408340034D634D634B7
:100670000834F234F234D634D6340834F234083440
:10068000F2340834F2340834F2340834F2340834E2
:10069000F2340834D634D634E34E53408340034D5301E
:0606A00060216400080067
:0207F0E00803415
:08400000200000002000000B4
:02400E0083FE5
:024200001500A7
:104210004F00530041002D004D0033005800200096
:1042200076003200E0030003300200020002000F5
:10423000320036002E003100310020003000300F5
:104240004B007500640072007900610073006080023
:104250006F007600200053002E0041002E00200049
:10426000530061007200610074006F00760020004E
:00000001FFF

```

тор я смонтировал в небольшой дюралюминиевой прямоугольной коробке.

Собранное без ошибок устройство налаживания не требует. Общий вид телефона с ОСА показан на рис. 10.

Теперь подробнее о режимах работы ОСА. Из них можно выделить два основных — "Телефон" и "Охрана", и три вспомогательных — "Установка параметров", "Постановка на охрану" и "Завершить". В режиме "Телефон" ОСА отключена и телефон можно использовать как обычно.

В режиме "Охрана" ОСА включена и при срабатывании датчика производит оповещение немедленно или с задержкой в 30 с сначала рассылкой SMS, а затем дозвон. Число номеров телефонов оповещения можно установить в режиме "Установка параметров" (см. ни-

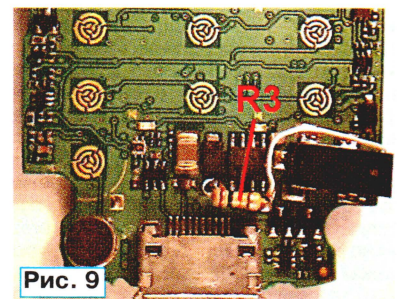


Рис. 9

же). После одноразового оповещения ОСА не будет контролировать состояние датчика в течение 5 мин. Если по прошествии этого времени произойдет повторное срабатывание датчика, цикл оповещения повторится. И так до тех пор, пока устройство не будет снято с охраны.

Дозвон на каждый номер — одноразовый, в течение 30 с, без контроля состояния телефонной линии. Поэтому для надежности дозвона рекомендуется

выбирать такой номер, где телефон оборудован определителем номера и подерживает функцию "Ждущий вызов" (т. е. получающий сигнал во время разговора о поступившем новом звонке).

Режим "Установка параметров" позволяет пользователю установить и контролировать число номеров телефонов рассылки SMS, число номеров телефонов дозвона и параметры работы ОСА. В этом режиме система три раза переходит в "быстрое меню" (переход в "быстрое меню" происходит при нажатии на кнопку "↑") и подсвечивает каждый раз в течение 3 с пункт меню с соответствующим номером (пункт меню с номером 9 соответствует нулю). Клавишами "<" и ">" можно выбрать пункт меню с другим номером.

Первый раз подсвечивается пункт меню, номер которого равен числу телефонов рассылки SMS. Второй раз подсвечивается пункт меню, номер которого равен числу телефонов дозвона. Третий — пункт, номер которого отражает параметры системы и равен сумме следующих членов: +1 — задержка при постановке на охрану (60 с) и снятии (30 с); +2 — нечувствительность к кратковременным (менее 0,5 с) срабатываниям датчика; +4 — рассылка примерно раз в сутки информационного SMS, если не было срабатывания ОСА. Например, выбор пункта меню с номером 2 означает,



Рис. 10

что ОСА будет входить в режим охраны и выходить без задержки и не будет реагировать на кратковременные срабатывания датчика (удобно при работе на автомобиле). Выбор пункта меню с номером 5 ($1 + 4 = 5$) означает, что ОСА будет входить в режим охраны и выходить с задержкой, будет реагировать на кратковременные срабатывания датчика и рассылать раз в сутки информационное SMS (удобно при охране удаленного объекта, например, дачи).

Режим "Постановка на охрану" служит для перехода из режима "Телефон" в режим "Охрана". При включенной задержке происходит листание в течение 60 с пунктов "быстрого меню". При замкнутом охранным датчике период листания пунктов "быстрого меню" равен 2 с, при разомкнутом — 0,5 с. Это об-

стоятельство позволяет оценить состояние датчика в момент постановки ОСА на охрану. Если и число номеров телефонов рассылки SMS и дозвона установлено равным нулю, то перехода в режим "Охрана" не произойдет и ОСА вернется в режим "Телефон".

Режим "Завершить" служит для перехода из всех режимов в режим "Телефон". В этом режиме подсвечивается пункт меню "Батарея. Завершить?" (возможно также появление сообщений "Идет зарядка батареи" или "Недоступно"). При нажатии на кнопку "OK" произойдет переход из текущего режима в режим "Телефон". Если в течение 3 с кнопка "OK" не была нажата, система вернется в текущий режим.

Выбор необходимого режима выполняют клавишами "C" или "↑" мобильного телефона. Если он находится в режиме "Телефон", то для перехода в режим "Установка параметров" следует нажать на кнопку "C" и удерживать ее не менее 3 с, а для перехода в режим "Постановка на охрану" следует нажать и удерживать не менее 3 с кнопку "↑".

Чтобы вернуться из режимов "Охрана" и "Постановка на охрану" в режим "Телефон", следует нажать на 1 с на кнопку "C". ОСА перейдет в режим "Завершить". Для подтверждения следует нажать на кнопку "OK".

Если в режиме "Постановка на охрану" при включенной задержке нажать на кнопку "↑", то ОСА вернется к началу режима "Постановка на охрану", т. е. заново начнет отсчитываться интервал в 60 с.

Перед эксплуатацией необходимо подготовить мобильный телефон к работе и установить параметры ОСА. Прежде всего заряжают батарею аккумуляторов телефона. Далее заносят номер службы коротких сообщений (SMS) в пункт меню "Центр обработки SMS". Номер SMS можно узнать у оператора сотовой связи. В первые семь ячеек Телефонной книги заносят номера телефонов, по которым будут отправляться SMS и выполняться дозвон. Номера телефонов в первых трех ячейках используют для рассылки SMS. В ячейки № 4, 5 и 6 помещают телефонные номера дозвона. Выбор единого телефонного номера для рассылки SMS и дозвона позволяет после получения тревожного сигнала прослушать охраняемую зону с помощью встроенного микрофона. Номер телефона в ячейке № 7 используется для рассылки информационного SMS. Вне зависимости от реально используемого для оповещения числа телефонных номеров для правильной работы ОСА необходимо заполнить первые семь ячеек Телефонной книги.

Подготовьте исходящие SMS. Первое сообщение будет отправлено по номеру телефона из ячейки № 1; второе сообщение — по номеру из ячейки № 2; третье — по номеру из ячейки № 3. Подготовьте информационное SMS. Если включен соответствующий режим, то это сообщение при отсутствии тревожного оповещения будет отправляться примерно раз в сутки по телефонному номеру из ячейки № 7. Поскольку контроллер ОСА тактируется внутренним RC-генератором, не отличающимся температурной стабильностью, периодичность рассыл-

ки информационного SMS может несколько отличаться от суточной. Порядковый номер этого сообщения в памяти телефона должен на единицу превышать число SMS, выбранных для тревожного оповещения. Используя режим "Установка параметров", установите необходимое число телефонов рассылки SMS и число телефонов дозвона.

Выключите звонок и звуковое сопровождение нажатия на клавиши.

Для правильной работы ОСА необходимо, чтобы некоторые пункты "быстрого меню" (переход в "быстрое меню" происходит при нажатии на кнопку "↑") были расположены в следующем порядке: первый пункт — "исходящие SMS", второй пункт — "порядковый номер?" ("найти по номеру ячейки"), девятый пункт — "индикатор батареи". Проверьте и подкорректируйте в случае необходимости пункты "быстрого меню".

Подключите внешний источник питания и охранный датчик к охранный системе и подайте питание. Следует отметить, что автомобильные зарядные устройства для мобильных телефонов, подключаемые к бортовой сети через "прикуриватель", имеют недостаточно мощный выход. Дело в том, что при отрицательной температуре батарея мобильного телефона теряет значительную часть своей емкости, а ее внутреннее сопротивление увеличивается настолько, что батарея может не обеспечить пикового потребляемого тока при звонке или отсылке SMS. В этих условиях узел питания должен принять нагрузку на себя, иначе мобильный телефон может отключиться.

Охранная цепь может состоять из нескольких последовательно соединенных замкнутых пар контактов. Возможно также подключение охранных датчиков любых других типов, формирующих при срабатывании плюсовой сигнал напряжением 3...12 В. При установке в автомобиль ОСА можно подключить параллельно сирене уже установленного автомобильного охранного сигнализатора. В этом случае удобно установить ее параметры таким образом, чтобы она не реагировала на короткие сигналы, издаваемые сиреной при установке на охрану и снятии с охраны с помощью брелока.

Закрепите телефон в укромном месте и убедитесь, что уровень принимаемого сигнала достаточен. При слабом сигнале используйте внешнюю антенну.

Эффективность ОСА зависит от скрытности размещения системы и ее использования. Уделите этому вопросу особое внимание. Для увеличения надежности системы держите в секрете номер мобильного телефона ОСА. Периодически удаляйте входящие SMS как с телефона ОСА, так и с телефонов, на которые она производит рассылку SMS.

Описанный в статье принцип управления мобильными телефонами серии М фирмы Motorola может быть использован и в других конструкциях с применением сотовой связи.

Примечание редакции. Программу для микроконтроллера вы найдете на сайте редакции по адресу <ftp://ftp.radio.ru/pub/2005/06/OSA.zip>.

Редактор — Л. Ломакин, графика — Л. Ломакин, фото — автора

Тринисторный пускатель с реверсом

В. НАРЫЖНЫЙ, г. Батайск Ростовской обл.

Предлагаемое устройство предназначено для управления электродвигателями и другими электрическими нагрузками практически любой мощности и любого (активного, емкостного, индуктивного) характера. Оно заменяет привычный электромагнитный пускатель.

Тринисторные пускатели имеют ряд преимуществ перед электромагнитными. Они бесшумны, не подвержены износу, так как не имеют движущихся частей, в них отсутствует искрящая и обгорающая контактная система. В силу сказанного, эти пускатели надежны, долговечны и удобны в эксплуатации. Хотя они немного дороже электромагнитных пускателей, преимущества с лихвой перекрывают этот недостаток.

При реверсе электродвигателя с помощью предлагаемого пускателя исключена возможность "перехлеста" фаз. Обеспечена задержка включения, достаточная для остановки вращения в прежнем направлении. Это снижает

динамические нагрузки на детали приводимого в действие механизма.

Основной пускателя служит узел управления мощными тринисторами, коммутлирующими нагрузку, схема которого приведена на **рис. 1**. Он состоит из реле времени на элементах DD1.1 и DD1.3, управляемого мультивибратора на элементах DD1.2 и DD1.4, усилителя импульсов на транзисторе VT3 и узла блокировки на транзисторах VT1 и VT2.

На вывод 1 узла подаются напряжение питания +12 В, вывод 5 — общий. Пока вывод 3 соединен с выводом 5, конденсатор C2 разряжен и на выходе элемента DD1.3 установлен низкий логический уровень. В результате работа мультивиб-

братора запрещена и на выходах узла (выводах 6—13) нет никаких сигналов.

При подаче на вывод 3 напряжения высокого уровня диод VD2 будет закрыт и начнется зарядка конденсатора C2 током, текущим через резисторы R4 и R5. Через некоторое время напряжение на конденсаторе достигнет уровня переключения элемента DD1.1, и этот элемент, а с ним и элемент DD1.3 изменят состояние. При указанных на схеме номиналах деталей продолжительность выдержки можно изменять подстроечным резистором R4 приблизительно в пределах 0,2...6 с. Если необходимо, выдержку можно сделать еще больше, увеличив емкость конденсатора C2.

Установленный на входе 9 элемента DD1.2 высокий уровень разрешает работу мультивибратора. Его импульсы, усиленные транзистором VT3, поступают на первичную обмотку трансформатора T1, а с его вторичных обмоток II—V — на управляющие электроды не показанных на схеме тринисторов, коммутлирующих нагрузку. Цепи VD4C5—VD7C8 формируют импульсы с крутыми фронтами и пологими спадами.

Обмотки трансформатора T1 намотаны проводом ПЭВ-2 0,27 на кольцевом магнитопроводе типоразмера К38×24×7 из феррита 2000НН. Первичная обмотка содержит 30, а все вторичные — по 70 витков. Каждая обмотка изолирована двумя слоями лакоткани.

Еще два выхода узла управления — вывод 2 и вывод 4 (с открытым коллектором) — предназначены для связи между собой и взаимной блокировки нескольких узлов управления. Состояние этих выходов зависит от уровня напряжения на выходе элемента DD1.3, т. е. от того, разрешена или нет генерация импульсов, открывающих тринисторы.

Полная схема реверсивного пускателя приведена на **рис. 2**. С помощью кнопки SB1—SB3 управляют триггером на тринисторах VS1 и VS2. Пока оба они закрыты, на входах 3 узлов A1 и A2, собранных по описанной выше схеме, установлены низкие логические уровни. Узлы не генерируют импульсы, тринисторы VS3—VS10 закрыты и два из трех выводов обмотки статора элект-

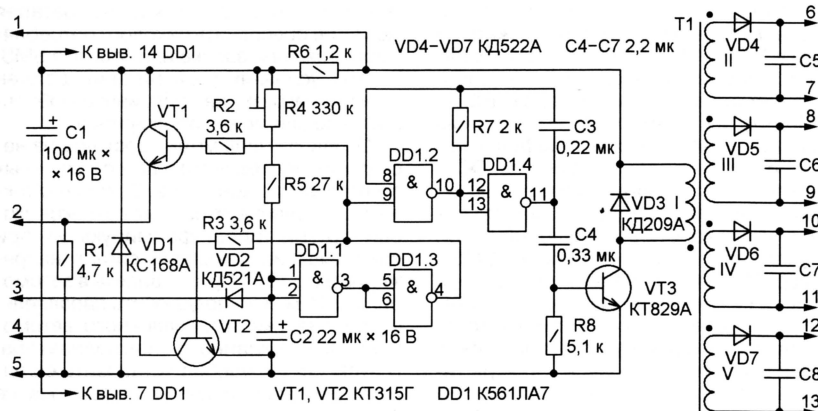


Рис. 1

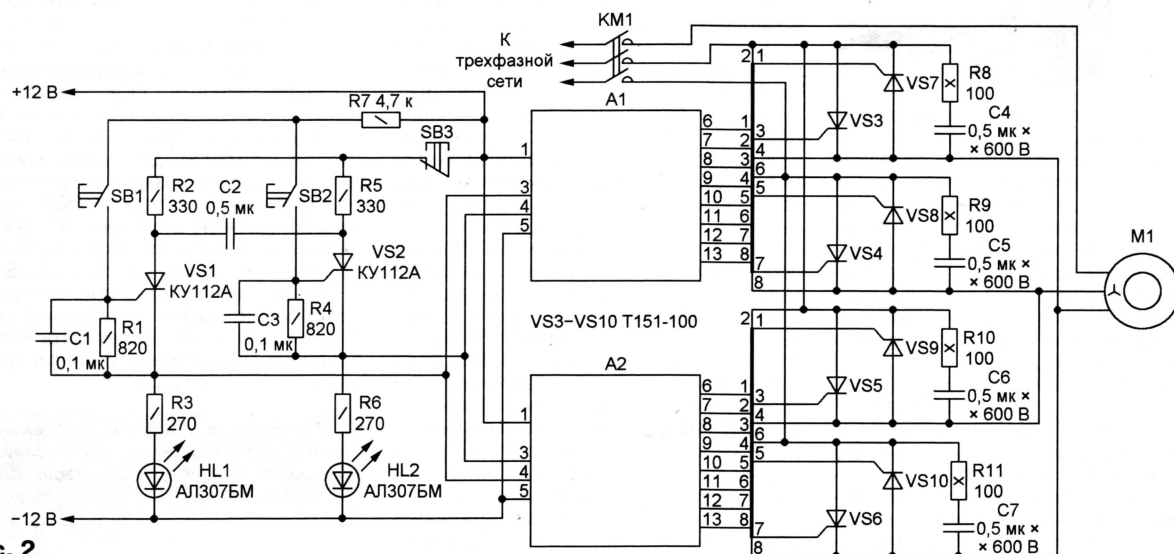


Рис. 2

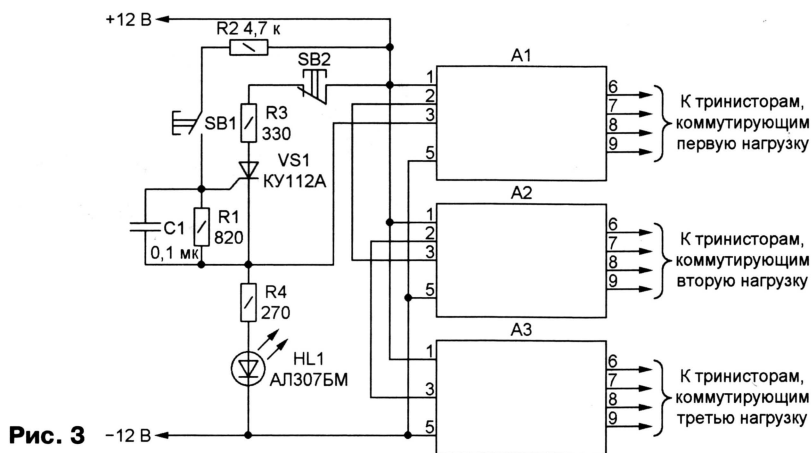


Рис. 3

родвигателя М1 отключены от сети. Вал двигателя не вращается. Светодиоды HL1 и HL2 выключены.

Нажатием на кнопку SB1 открываются транзистор VS1. В результате будет включен светодиод HL1, сигнализирующий о вращении двигателя в условно прямом направлении, а на вывод 3 узла A1 подан высокий логический уровень. Спустя установленное время выдержки узел A1 начнет генерировать импульсы, открывающие транзисторы VS3, VS4, VS7, VS8. К сети будут подключены все выводы двигателя М1, он начнет работать.

При нажатии на кнопку SA2 будет открыт транзистор VS2, а VS1 — закрыт (благодаря связи через конденсатор C2). Светодиод HL1 будет выключен, а HL2 — включен. Узел A1 прекратит генерировать импульсы, и транзисторы VS3, VS4, VS7, VS8 закроются, отключив двигатель М1 от сети.

По истечении установленной выдержки заработает узел A2, открыв транзисторы VS5, VS6, VS9 и VS10. Выводы обмоток двигателя М1 вновь будут подключены к трехфазной сети, но уже в другой последовательности. Поэтому вал двигателя начнет вращаться в противоположном направлении.

Так как вывод 4 узла A1 соединен с выводом 3 узла A2 и наоборот, открывающийся в одном из них транзистор VT2 (см. рис. 1) надежно защищает второй узел управления от случайной подачи на него сигнала, разрешающего открывание второй группы мощных транзисторов, пока открыта первая. Нажатием на кнопку SA3 разрывают цепь питания транзисторов VS1 и VS2, что приводит к закрытию обоих и остановке электродвигателя.

Допустимая мощность двигателя М1 зависит от типа транзисторов VS3—

VS10. Автор испытывал изготовленный пускатель с двигателями мощностью 7,5 и 125 кВт, применив в последнем случае транзисторы Т143-630. Разумеется, при небольшой нагрузке пускатель будет успешно работать и с транзисторами значительно меньшей мощности.

Если расстояние между узлами управления и мощными транзисторами велико, конденсаторы C5—C8 (см. рис. 1) рекомендуется установить непосредственно у выводов транзисторов, а длинные провода цепей управления попарно свить. При безошибочном монтаже наладка пускателя сводится к установке требуемых выдержек подстроечными резисторами R4 узлов A1 и A2.

Если реверсировать двигатель не требуется, из пускателя можно исключить узел A2 и управляемые с его помощью транзисторы. Не нужны в этом случае и транзистор VS2, светодиод HL2, конденсаторы C2 и C3, резисторы R4—R6, а также кнопка SB2.

На базе рассмотренного узла управления (см. рис. 1) можно собрать устройство, включающее несколько нагрузок поочередно через заданные интервалы времени. Это бывает необходимо, например, в тех случаях, когда при одновременном включении суммарный пусковой ток оказывается недопустимо большим.

Схема пускателя, рассчитанного на три нагрузки, показана на рис. 3. Сигнал включения узла A1, управляющего мощными транзисторами, коммутирующими первую нагрузку, формирует узел на транзисторе VS1. Для узла A2 разрешающим служит сигнал с вывода 2 узла A1, а для A3 — с такого же вывода узла A2.

Редактор — А. Долгий, графика — А. Долгий

О питании светильников с лампами на 12 В

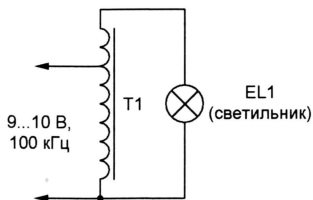
В. ЗАХАРОВ, г. Днепропетровск, Украина

Для питания от сети 220 В, 50 Гц светильников с галогенными лампами на 12 В вместо имеющих большие габариты, вес и стоимость обычных понижающих трансформаторов широкое применение находят малогабаритные высокочастотные преобразователи, питающие лампы напряжением 12 В частотой приблизительно 100 кГц.

Ток в проводах, подводящих питание к низковольтным лампам, может достигать 10 А и более. При недостаточном сечении или большой длине проводов падение напряжения на них может достигнуть 2...4 В. Для ламп, работающих при напряжении 220 В, это осталось бы незамеченным, а яркость 12-вольтовых значительно уменьшается. Можно, конечно, увеличить сечение проводов, но если они замурованы в бетон или находятся в недоступном месте, сделать это очень трудно.

Попав в подобную ситуацию при питании светильника мощностью 150 Вт от преобразователя Halotronic

НТВ 105/230-240 фирмы OSRAM, я добился его нормальной яркости, изготовив повышающий автотрансформатор и разместив его непосредственно



у светильника, подключив по схеме, показанной на рисунке. Магнитопровод трансформатора — Ш10х10 из феррита 2000НМ, собранный без зазора. Обмотка — 10 витков жгута из 30 проводов ПЭВ 0,12. Внешний диаметр жгута — приблизительно 2 мм. Отвод сделан от второго витка.

Редактор — А. Долгий, графика — А. Долгий

Цифровой тахометр с квазианалоговой шкалой

В. ТРОШКОВ, г. Новосибирск

Описанный ниже автомобильный тахометр сочетает высокую точность показаний, присущую цифровым измерителям, с удобством считывания значений частоты вращения коленчатого вала двигателя по аналоговой шкале, наиболее оптимальной для бортового прибора.

Тахометр предназначен для установки в автомобиле с четырехцилиндровым бензиновым двигателем и бесконтактной системой зажигания с датчиком Холла. Можно использовать прибор и для совместной работы с контактной системой зажигания, если изменить его входную цепь.

Тахометр отображает показания в двух видах — цифровом с разрешающей способностью 30 мин^{-1} (точнее $29,8 \text{ мин}^{-1}$) и в виде линейки вертикаль-

ных штрихов, причем ее длина изменяется пропорционально измеряемому значению. Число элементов в линейке — 32, что вполне достаточно для оценки значения параметра.

Схема устройства представлена на рис. 1. Основой прибора служит микроконтроллер DD1. В качестве дисплея использован русифицированный жидкокристаллический модуль HG1 с подсветкой. Если не удалось приобрести русифицированный индикатор, придет-



Рис. 3

ся перейти на английские эквиваленты слов, изображаемых на табло.

Напряжения питания стабилизировано микросхемным стабилизатором DA1. Узел VT1R5R6 — стабилизатор тока светодиодов подсветки дисплея, предотвращающий изменение яркости при изменении напряжения в бортовой сети автомобиля. Делитель напряжения R3R4 служит для установки желаемой контрастности изображения дисплея.

Импульсы зажигания от датчика Холла через диод VD3 поступают на вход RB0 микроконтроллера DD1, вызывая прерывание, по которому происходит считывание значения таймера TMR1, затем он обнуляется и начинает новый отсчет времени между импульсами. Чтобы преобразовать длительность t интервала между импульсами зажигания в частоту вращения, необходимо выполнить операцию деления по формуле $N=K/t$, где N — частота вращения коленчатого вала двигателя в мин^{-1} ; K — константа, зависящая от частоты счетных импульсов таймера TMR1 и числа цилиндров двигателя.

Однако даже при абсолютно стабильной частоте вращения коленчатого вала измеренная длительность интервала между импульсами датчика Холла не будет одинаковой. Это обусловлено точностью изготовления прорезей на цилиндре прерывателя, а также дискретностью времени реакции на импульсы. Чтобы повысить точность измерений и уменьшить мерцание показаний тахометра, вызванное этими причинами, предусмотрено усреднение расчетов за каждые четыре импульса зажигания, т. е. за два полных оборота коленчатого вала.

После окончательного расчета частоты вращения вала показания выводятся на дисплей в первой строке. Чтобы исключить переполнение таймера TMR1 при частоте вращения менее 450 мин^{-1} расчет и отображение запрещаются. Затем происходит расчет длины линейки, изображающей измеренное значение в квазианалоговом виде. "Нуль" шкалы линейки установлен на частоте вращения вала 750 мин^{-1} , а конец шкалы соответствует частоте 5720 мин^{-1} .

Следует заметить, что разрешающая способность прибора не остается постоянной, изменяясь в небольших пределах, в зависимости от времени определения момента прерывания относительно реального момента импульса зажигания. Для того чтобы исключить постоянное мелькание последней цифры на табло, программно установлено ее равенство нулю, что соответствует незначительной дополнительной погрешности измерения.

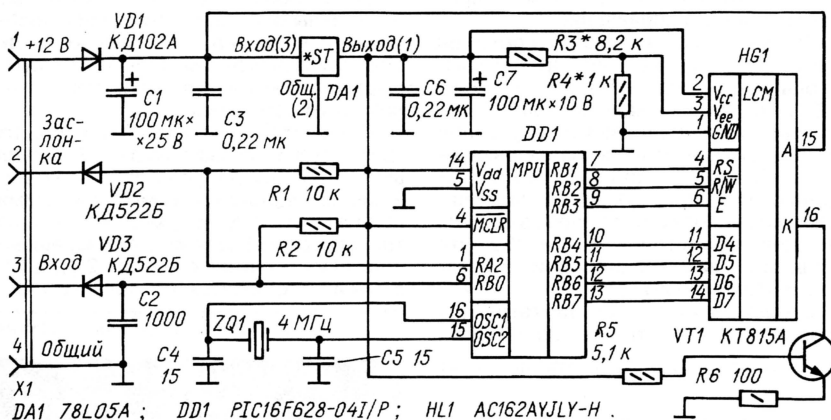


Рис. 1

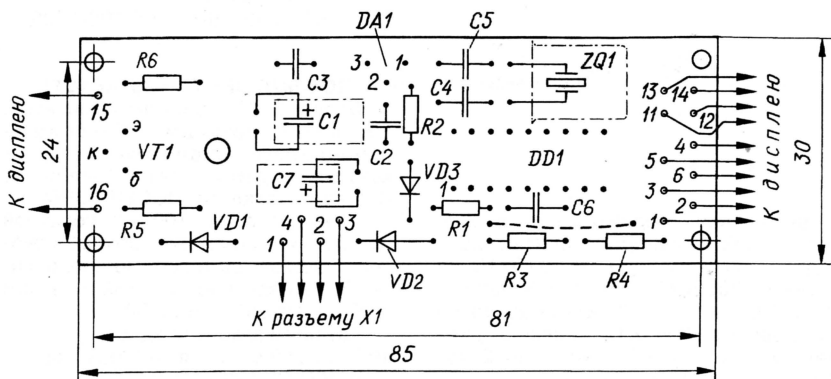
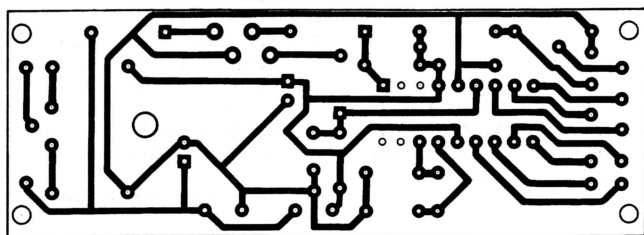


Рис. 2

АКСЕНОВ В. Экономичное устройство защиты аппаратуры от колебаний напряжения сети. — Радио, 2003, № 7, с. 25, 26.

Печатная плата.

Чертеж возможного варианта печатной платы устройства изображен на рис. 1. На ней размещены все детали, кроме трансформатора Т1, выключателя SA1, кнопки SB1, реле K2 и светодиодов HL1, HL2 (впрочем, их можно установить и на плате, место для них предусмотрено). Плата рассчитана на применение постоянных резисторов МЛТ, подстроечных СП5-14, конденсаторов К50-35 (C2, C3, C5, C8; C5 — емкостью 1000 мкФ), K10-17 (остальные), стабилитрона KC168A (VD9) в миниаторном стеклянном корпусе, реле РЭС55А (K1) и РЭС60 (K3). Диоды VD6, VD7, VD10—VD12, резисторы R5, R6, R8—R10, R12—R14 монтируют перпендикулярно плате. Стабилитрон VD5, резистор R4 и проволочную перемычку, соединяющую печатные проводники на противоположной стороне платы, вплавляют до установки на место тиристора VS1. Транзистор VT4 закрепляют на теплоотводе, представляющем собой пластину размерами 25×25 мм из листового алюминиевого сплава Д16-Т толщиной 6 мм. На плате ее закрепляют двумя винтами M2 с подложенными под

их головки изоляционными шайбами из гетинакса или стеклотекстолита.

ГОРШЕНИН С. Маломощный импульсный блок питания. — Радио, 2004, № 8, с. 29.

Печатная плата.

Чертеж возможного варианта печатной платы блока изображен на рис. 2. Плата рассчитана на применение резисторов МЛТ, конденсаторов K15-5 емкостью 2200 пФ с номинальным напряжением 1,6 кВ (C1, C2), KM-6 (C6, C7), K10-17 (C8, C10) и оксидных конденсаторов серии ТК фирмы Jamicon (остальные). Все резисторы, кроме R1, R2, R10, стабилитроны и диоды, кроме VD7, VD8, установлены перпендикулярно плате. Транзисторы VT1, VT2 снабжены Г-образными теплоотводами, согнутыми из полосок размерами 14×30 мм из листового алюминиевого сплава Амц-П толщиной 1,5...2 мм. На плате они закреплены винтами с гайками M2.

Обмотки дросселя L1 намотаны проводом ПЭВ-2 0,25 на двухсекционном каркасе (каждая — в своей секции до заполнения), содержат одинаковое число витков и помещены в ферритовый (1500НМ, 2000НМ) магнитопровод Б14. На плате дроссель L1 и трансформатор Т1 закреплены винтами с гайками M2.

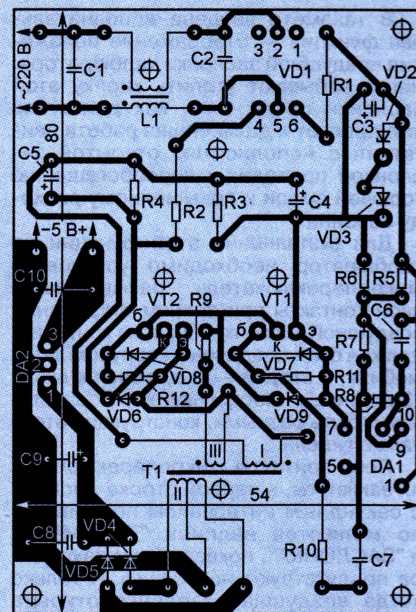


Рис. 2

СЕВАСТЬЯНОВ П. Телефонная связь между двумя абонентами. — Радио, 2004, № 2, с. 53.

Замена реле.

Реле РЭС9 (паспорт РС4.524.205) заменимы приборами этого типа исполнения РС4.529.029-17, а также РЭС22 (исполнений РФ4.523.023-02, РФ4.523.023-03, РФ4.523.023-04, РФ4.523.023-06) и РЭС32 (РФ4.500.335-04, РФ4.500.335-05).

ОБРАТИТЕ ВНИМАНИЕ

МАРТЫНОВ С. Экономичный радиоприемник. — Радио, 2003, № 12, с. 19—22 (редактор — Е. Карнаухов).

Катушка L8 снабжена подстроечником из феррита. Как и L5, L6, — это готовая катушка от фильтра ПЧ транзисторного радиоприемника с емкостью контурного конденсатора 510 пФ ("Юпитер", "Нейва", "Планета" и т. п.). Позиционное обозначение резистора, включенного последовательно с диодом VD3, — R51, его сопротивление — 20 кОм, а резистора, соединяющего выводы базы транзистора VT26 и коллектора VT27 с общим проводом, — R55, его сопротивление — 150 кОм. Номинальное сопротивление резистора R47 — 680 кОм.

В тексте на с. 21 (1-я колонка, последний абзац, 1-я строка) вместо слов "В качестве VT13—VT15..." следует читать: "В качестве VT13, VT15..."

РЮМИК С. Декодеры команд джойстиков от игровых видеоприставок. — Радио, 2004, № 6, с. 32—34 (редактор — А. Долгий).

На принципиальной схеме декодера для джойстика "Dendy" (см. рис. 1 в статье) левый (по рисунку) вывод конденсатора C2 должен быть соединен с проводом питания +5 В.

Редактор — В. Фролов, графика — В. Фролов

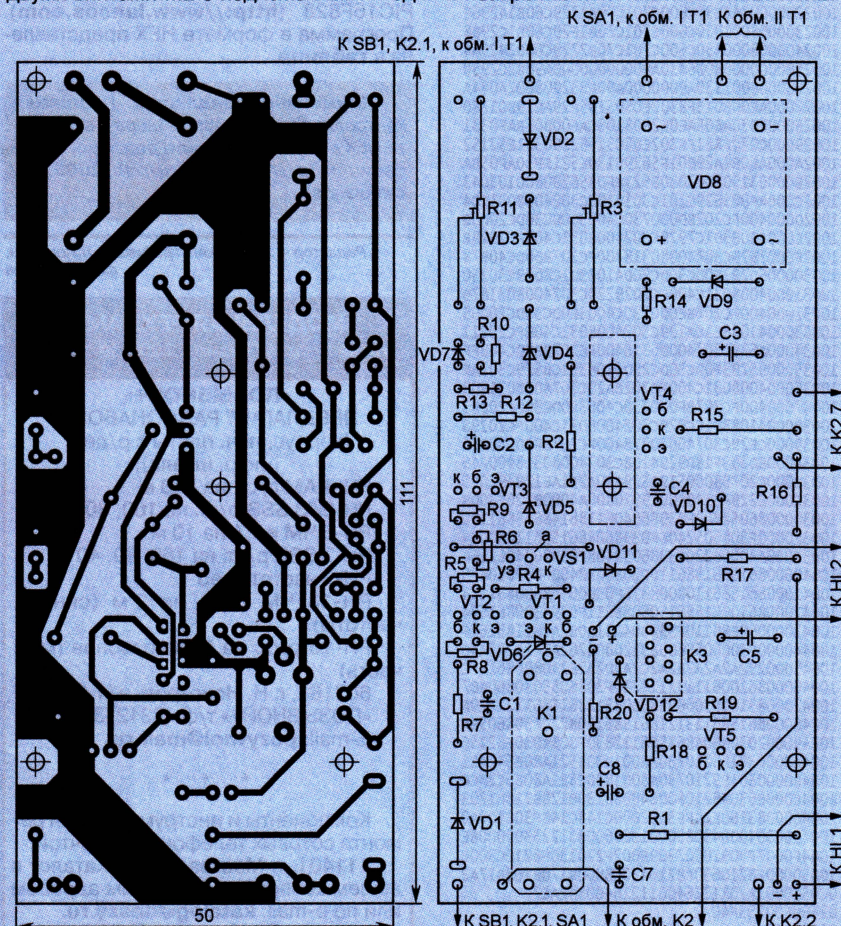


Рис. 1

Диодные оптопары

В этой статье рассмотрены и новые оптопары, и приборы старой разработки (конец 80-х — 90-е годы), параметры которых улучшены в результате использования более прогрессивной технологии. Учтены также изменения в обозначении и составе серий приборов, произошедшие в течение прошедших лет.

Основные характеристики оптопар сведены в табл. 1, а предельно допустимые значения — в табл. 2.

Оптопары АОД130А, АОД134АС, АОД167А и АОД176А выпускают в пластмассовом микросхемном корпусе со штампованными плоскими лужеными выводами. Оптопары АОД120А-1 и АОД120Б-1 — бескорпусные, они предназначены для использования в составе гибридных микросхем.

Масса приборов не превышает 2 г. Приборы АОД101Б—АОД101Г, АОД107А, АОД107Б, АОД120А-1, АОД120Б-1, АОД129А, АОД129Б,

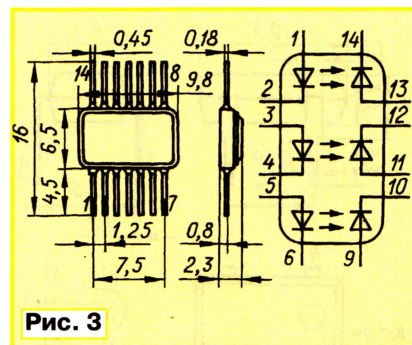


Рис. 3

Таблица 1

Оптопары	Входное напряжение*, В, не более	Кэфф. передачи по току*, %, не менее	Выходной обратный ток утечки, мкА, не более/при обратном выходном напряжении, В	Время нарастания (спада) выходного импульса, нс, не более	Сопротивление изоляции, Ом	Корпус (номер рис.), цоколевка
АОД101Б	1,5	1,5	8/100	500	10 ⁹	1
АОД101В	1,5	1,2	2/15	500	10 ⁹	
АОД101Г	1,6	1	10/15	500	5·10 ⁹	
АОД107А	1,5	5	5/15	500	10 ¹⁰	2
АОД107Б	1,5	3	5/15	300	10 ¹⁰	
АОД109А	1,5	1,2	2/40	100	10 ⁹	3
АОД109Б	1,5	1,5	2/12	500	10 ⁹	
АОД120А-1	1,7	1	2/6	50	10 ⁹	4
АОД120Б-1	1,7	0,5	2/6	70	10 ⁹	
АОД129А	1,5	1	2/8	30	10 ¹⁰	2
АОД129Б	1,5	0,5	2/8	30	10 ¹⁰	
АОД130А	1,5	1	4/30	100	10 ¹¹	5
АОД133А	1,5	0,6	2/10	100	10 ⁹	2
АОД133Б	1,5	0,5	2/10	100	10 ⁹	
АОД134АС	1,7	1	2/30	100	10 ¹⁰	6,а
АОД149А	2	I _{вх} =5 мкА**	0,25/10	100	10 ⁹	7
АОД167А	1,7	1	2/20	150	10 ¹⁰	6,б
АОД176А	1,4	0,8	0,1/15	80	10 ¹⁰	6,в

* При входном токе 10 мА.

** Нормирован выходной ток.

Пропускная емкость оптопар АОД130А — 0,5 пФ, АОД133А — 0,05 пФ,

АОД133Б — 0,1 пФ; у АОД149А и АОД176А — не нормирована;

у остальных — 2 пФ.

Таблица 2

Оптопары	Максимальный входной ток, мА	Максимальный входной импульсный ток*, мА	Максимальное входное обратное напряжение, В	Максимальное выходное обратное напряжение, В	Максимальное напряжение изоляции, В	Рабочий интервал температуры окружающей среды, °С
АОД101Б	20	100	3,5	100	1000	—60...+70
АОД101В	20	100	3,5	15	1000	—60...+70
АОД101Г	20	100	3,5	40	1000	—60...+70
АОД107А, АОД107Б	20	—	2	15	1000	—40...+85
АОД109А	12	100	3,5	40	100**	—60...+70
АОД109Б	12	100	3,5	12,6	100**	—60...+70
АОД120А-1, АОД120Б-1	20	100	3,5	10	200	—60...+85
АОД129А, АОД129Б	20	100	3,5	10	500	—60...+80
АОД130А	20	100	3,5	30	1500	—45...+70
АОД133А	20	100	3,5	20	500	—60...+70
АОД133Б	20	100	3,5	20	1000	—60...+70
АОД134АС	20	100	3,5	30	500**	—45...+70
АОД149А	20	100	3,5	20	1200	—10...+70
АОД167А	20	—	3,5	20	3000**	—60...+70
АОД176А	40	150	2	15	3750	—45...+85

* При длительности импульсов для АОД130А 10 мкс;

для АОД149А 500 мкс; для АОД167А не нормирована;

для остальных — 100 мкс.

** Для каждой оптопары.

Чертежи корпусов перечисленных приборов представлены на рис. 1—7. Корпус оптопар серий АОД101, АОД107, АОД109, АОД129, АОД133 и оптопары АОД149А — металло-стеклянный, с проволочными лужеными вы-

водами. АОД130А, АОД133А, АОД133Б содержат одиночную оптопару, АОД134АС и АОД167А — две независимые, а АОД109А, АОД109Б — три независимые оптопары. У оптронов серии АОД109 выводы 7 и 8 свободные.

Прибор АОД149А выполнен с открытым оптическим каналом, для чего на торце корпуса имеется прозрачное для ИК лучей окно. Отраженный луч, возвращаясь в оптрон, падает на два фотодиода, включенных дифференциально.

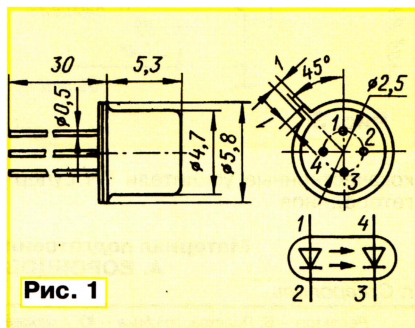


Рис. 1

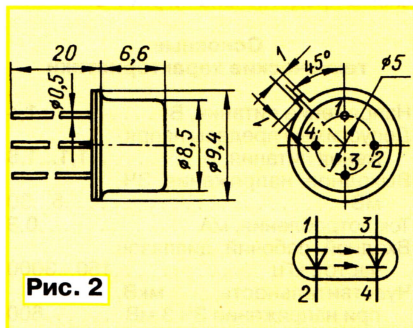


Рис. 2

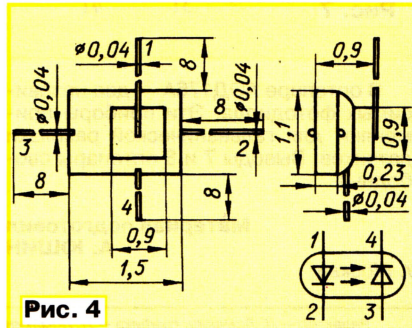


Рис. 4

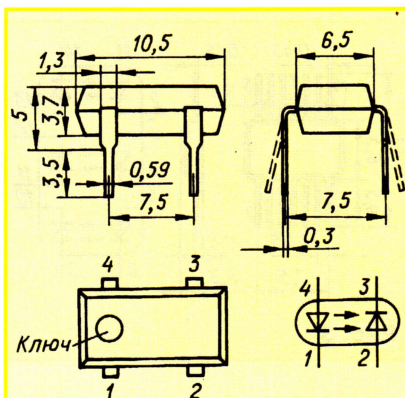


Рис. 5

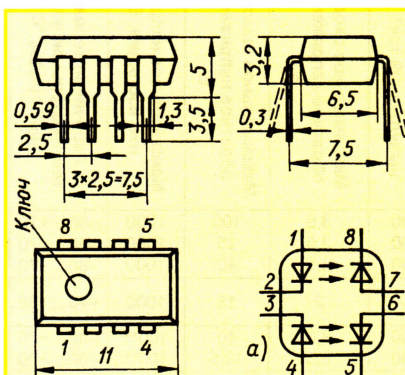


Рис. 6

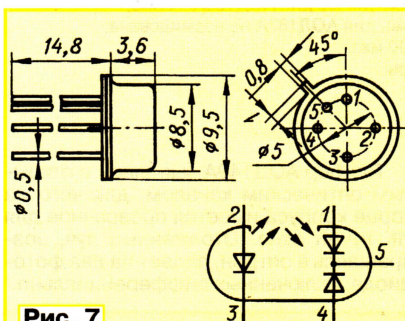


Рис. 7

В оптопаре АОД176А — два независимых фотодиода. Эти приборы применяются для гальванической развязки датчиков. Выводы 7 и 8 оптопары свободные.

Материал подготовил
А. ЮШИН

г. Москва

Редактор — Л. Ломакин, графика — Л. Ломакин

Однокристалльный АМ радиотракт МК484

Микросхема МК484 производства Rapid Electronics Ltd., Великобритания, представляет собой радиотракт для усиления и детектирования амплитудно-модулированных (АМ) сигналов и предназначена для использования в простых радиоприемниках с низковольтным питанием и иных беспроводных системах. Прибор оформлен в стандартном пластмассовом корпусе ТО-92 (КТ-26, рис. 1); выводы — жесткие, штампованные, луженые.

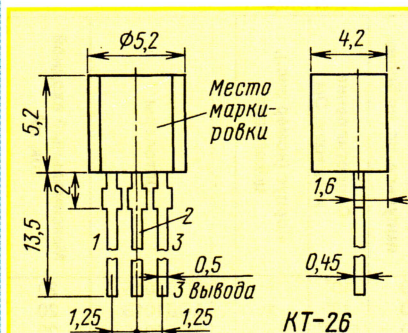


Рис. 1

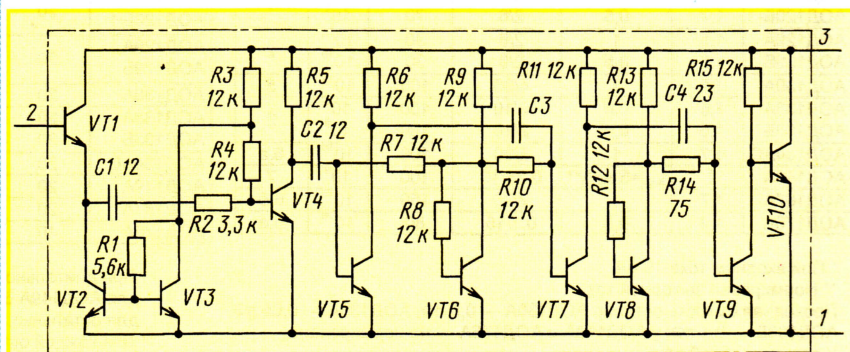


Рис. 2

Функциональная схема радиотракта показана на рис. 2. Цоколевка: выв. 1 — общий; выв. 2 — вход РЧ сигнала; выв. 3 — выход демодулированного ЗЧ сигнала. Типовая схема включения микросхемы представлена на рис. 3.

Основные технические характеристики

Напряжение питания, В 1,4
 Допустимые пределы напряжения питания, В 1,1...1,8
 Выходное напряжение ЗЧ, мВ 5...30
 Ток потребления, мА 0,3
 Входной рабочий диапазон частот, кГц 150...3000
 Чувствительность, мкВ, при напряжении ЗЧ 3 мВ 600

Входное сопротивление, МОм 4
 Коэффициент гармоник, % 4
 Диапазон регулировки АРУ, дБ 30
 Коэффициент усиления, дБ 70
 Рабочий интервал температуры окружающей среды, °С -30...+80

Параметры измерены при напряжении питания 1,4 В, сопротивлении резистора R2 1,5 кОм, входной частоте 1000 кГц, коэффициенте модуляции 40 % сигналом 1 кГц, входном напряжении 1 мВ. Допустимые пределы изменения сопротивления резистора R2 (установка порога АРУ) — 100 Ом...1,5 кОм.

Микросхема МК484 содержит в себе усилитель РЧ, детектор и систему автоматической регулировки усиления, требует минимума внешних элементов для построения высококачественного приемника АМ сигналов. Высокая стабильность работы при отсутствии каких-либо подстроечных элементов и минимальное энергопотребление позволяют использовать прибор в аппаратуре с батарейным питанием. На базе микросхемы возможно создавать как простейшие ДВ/СВ приемники прямого усиления, так и высо-

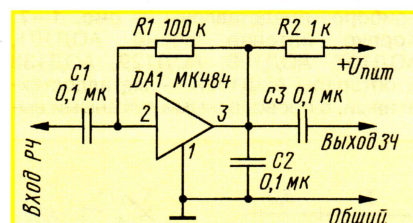


Рис. 3

кокачественные усилители ПЧ супергетеродинов.

Материал подготовил
А. ВОРОНЦОВ

г. Ставрополь

Редактор — В. Поляков, графика — Ю. Андреев

Пробник для проверки цифровых устройств

В. ГУРЕВИЧ, г. Ростов-на-Дону

В радиолюбительской практике часто бывает необходимо проверить состояние сигнала в различных участках устройства. В большинстве случаев это делают с помощью осциллографа. Но такой прибор не всегда имеется под рукой, да и приобрести его под силу не каждому начинающему радиолюбителю. Определенную помощь при отсутствии осциллографа могут оказать различные пробники. Например, такой, о котором рассказывается в предлагаемой статье.

Пробник предназначен для контроля формы сигналов в устройствах, выполненных на цифровых микросхемах. Он позволяет определять постоянный сигнал низкого или высокого уровня и переменный сигнал прямоугольной формы (плавно нарастающий либо спадающий). Пробник работает в диапазоне частот от 0 до 50 кГц.

Определение плавного нарастания или спада сигнала происходит с помощью двух пороговых устройств, которые срабатывают при разных напряжениях входного сигнала. Последовательность срабатывания этих устройств (первое, затем второе или второе, затем первое) и определяет — нарастает входной сигнал или спадает. Запоминание последовательно-

сти срабатывания (для осуществления соответствующей индикации) происходит с помощью двух RS-триггеров (рис. 1).

Первое пороговое устройство выполнено на транзисторах VT1 и VT2. Порог его переключения — 1,5 В. Транзистор VT1 служит для повышения входного сопротивления устройства. Конденсатор C1 необходим для обострения фронта импульсов, поступающих на транзистор VT1, на высоких частотах.

Второе устройство выполнено на элементе DD2.1. Порог его переключения — $0,5 U_{пит}$.

Первый триггер выполнен на элементах DD1.2 и DD1.3, второй — на элементах DD2.2 и DD2.3. Индикация формы сигнала осуществляется с помощью четырех светодиодов или, как в авторском варианте, четырех элементов семисегментного светодиодного индикатора.

Для пояснения работы устройства на рис. 2 представлены временные диаграммы, показывающие состояние сигнала в соответствующих контрольных точках пробника.

Подаяим на вход пробника сигнал треугольной, а затем прямоугольной формы (диаграмма А). Дальнейшее преобразование входного сигнала внутри устройства показано на диаграммах В—Г. Работа индикаторов в соответствии с входным сигналом показана над диаграммой А.

В начальный момент времени на входе устройства низкий уровень. Транзистор VT1 закрыт, а VT2 открыт, следовательно, на входе элемента DD1.1 высокий уровень и, соответственно, на его выходе — низкий (точка С). Этот уровень включает светодиод HL2, устанавливает на выходе элемента DD1.4 (точка Е) высокий уровень, запрещающий работу светодиода HL1 (индицирующего фронт сигнала), "устанавливает" первый триггер (выполненный на элементах DD1.2 и DD1.3), т. е. на его выходе появляется высокий уровень (точка D), "сбрасывает" второй триггер (эле-

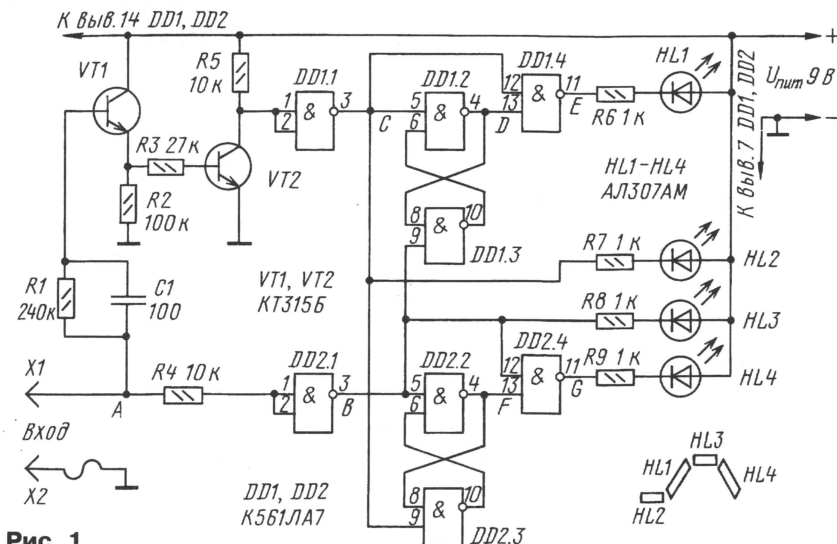


Рис. 1

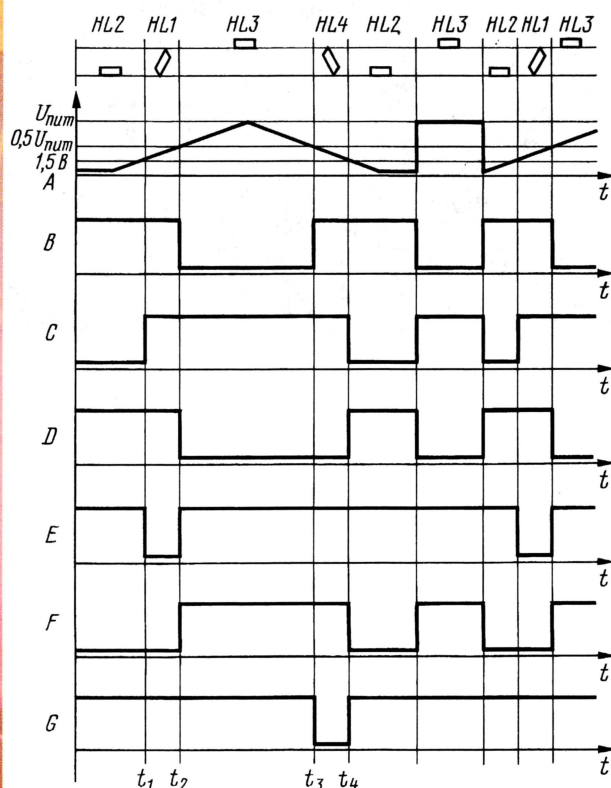


Рис. 2

менты DD2.2 и DD2.3), в результате чего на его выходе появляется низкий уровень (точка F), который, в свою очередь, устанавливает на выходе элемента DD2.4 (точка G) высокий уровень, запрещающий работу светодиода HL4 (индицирующего спад сигнала).

Низкий уровень входного сигнала устанавливает на выходе элемента DD2.1 (точка B) высокий уровень, который запрещает работу светодиода HL3 (индицирующего высокий уровень входного сигнала). В итоге из четырех светодиодов светит только HL2, индицируя низкий уровень входного сигнала.

По мере роста напряжения входного сигнала, когда оно достигнет 1,5 В (момент времени t_2), сработает первое пороговое устройство, т. е. транзистор VT2 откроется и на входе элемента DD1.1 будет низкий уровень, а на его выходе — высокий (точка C). Он запретит работу светодиода HL2, установит на выходе элемента DD1.4 низкий уровень (так как на оба его входа будет подан высокий уровень), который включит светодиод HL1 (индицирующий фронт сигнала), не изменит состояния светодиодов HL3 и HL4 (они выключены).

Таким образом, в пробнике произойдет переключение индикации (с HL2 на HL1) и он будет показывать, что сигнал имеет плавный фронт.

Дальнейший рост напряжения входного сигнала до $0,5 U_{пит}$ (момент времени t_2) приведет к срабатыванию второго порогового устройства, когда элемент DD2.1 переключится и на его выходе (точка B)

появится низкий уровень. Он включит светодиод HL3 (индицирующий высокий уровень сигнала), "сбросит" первый триггер — на его выходе появится низкий уровень (точка D), в результате чего на выходе элемента DD1.4 установится высокий уровень, который запретит работу светодиода HL1, "установит" второй триггер, но в то же время установит высокий уровень на выходе элемента DD2.4, который запретит работу светодиода HL4, не изменит состояния светодиода HL2 (он выключен). В итоге пробник будет показывать, что на его входе сигнал высокого уровня.

Последующий рост напряжения входного сигнала не вызовет никаких изменений в индикации, поскольку в данной конструкции

высоким считается уровень входного сигнала выше $0,5 U_{пит}$.

Теперь рассмотрим процессы, происходящие при уменьшении напряжения входного сигнала.

При снижении напряжения входного сигнала до $0,5 U_{пит}$ (момент времени t_3) элемент DD2.1 переключится обратно. На его выходе появится высокий уровень, который запретит работу светодиода HL3, установит на выходе элемента DD2.4 (точка G) низкий уровень (ведь на оба его входа будет подан высокий уровень), который включит светодиод HL4 (индицирующий спад сигнала), не изменит состояния светодиодов HL1 и HL2 (они выключены). Пробник будет показывать, что входной сигнал имеет плавный спад.

Дальнейшее снижение напряжения входного сигнала до 1,5 В (момент времени t_4) приведет к тому, что транзистор VT2 закроется, на выходе элемента DD1.1 появится низкий уровень. Он включает светодиод HL2, "сбрасывает" второй триггер — на его выходе появится низкий уровень (точка F), который, в свою очередь, устанавливает на выходе элемента DD2.4 (точка G) высокий уровень, запрещающий работу светодиода HL4, "устанавливает" первый триггер, устанавливает на выходе элемента DD1.4 высокий уровень, запрещающий работу светодиода HL1, не изменяет состояния светодиода HL3 (он выключен).

Таким образом, все элементы возвращаются в первоначальное состояние, и пробник показывает, что на его входе сигнал низкого уровня.

Поочередное включение светодиодов хорошо заметно, если на вход пробника подавать треугольное напряжение с частотой нескольких герц. При повышении частоты индикация сливается в единый рисунок.

При отсутствии генератора можно воспользоваться переменным резистором, подключив его между источником питания и общим проводом, а сигнал подавать с движка резистора на вход пробника. Изменяя движком напряжение от нуля до $U_{пит}$ и обратно, получим плавно нарастающий, а затем спадающий сигнал, т. е. увидим поочередное включение светодиодов.

Если подавать на вход пробника сигнал прямоугольной формы, светодиоды HL1 и HL4 (фронт и спад) включаются на весьма короткое время, что на глаз практически не заметно. Иначе говоря, пробник индицирует только низкий и высокий уровни, что и соответствует сигналу прямоугольной формы. При частоте входного сигнала в несколько герц светодиоды перемигиваются.

Если амплитуда входного сигнала не превышает $0,5 U_{пит}$ пробника, светодиоды высокого уровня и спада включаться не будут. Эту особенность необходимо учитывать при проверке устройств и, в зависимости от напряжения питания проверяемой конструкции, варьировать напряжение питания пробника.

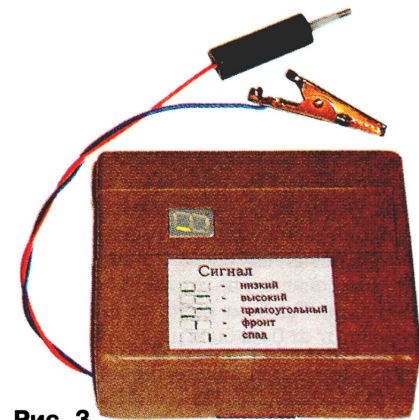


Рис. 3

В авторском варианте пробник питается от батареи "Крона" напряжением 9 В, а для проверки пятивольтовых конструкций напряжение понижается стабилизатором до 5 В.

Кроме указанных на схеме, допустимо использовать следующие детали: транзисторы VT1 и VT2 — серий КТ3102, КТ312, КТ342, светодиоды — любые, которые будут светить при токе 2...3 мА, либо сегментный индикатор АЛС321Б или аналогичный.

Правильно собранная конструкция в налаживании не нуждается. Желательно только проверить работу конструкции, как описано выше, контролируя вольтметром напряжение входного сигнала.

Редактор — Б. Иванов, графика — Ю. Андреев, фото — автора

Радиоловительские расчеты на компьютере

Е. ГАЙНО, Е. МОСКАТОВ, г. Таганрог Ростовской обл.

Создать собственную компьютерную программу, быстро и безошибочно выполняющую нужные расчеты по известным формулам, совсем не трудно. На простом примере предлагаемая статья расскажет, как это сделать с помощью современной системы проектирования приложений Windows. Внешний вид окна разработанной программы и приемы работы с ней будут вполне профессиональными и привычными для пользователей. Избавившись от монотонных ручных вычислений, можно гораздо больше времени посвятить решению истинно творческих задач.

Сегодня один из самых распространенных языков программирования высокого уровня — C++. Именно на нем основана система Borland C++ Builder 6.0, предназначенная для визуального программирования приложений Windows. Напомним, визуальное программирование, впервые реализованное в системе Visual Basic, освобождает программиста от кропотливой разработки внешнего вида появляющихся на экране элементов управления работой программы, окон ввода и вывода текстовой и графической информации и многими другой рутинной работы. Взамен этого он просто размещает на экране готовые компоненты из обширного набора, лишь приспособивая их свойства к своим потребностям. Собственно программирование нередко сводится к написанию небольших по объему функциональных процедур, выполняющих нужные для решения поставленной задачи действия.

Чтобы начать работу с системой Borland C++ Builder 6.0, ее нужно установить (инсталлировать) на компьютер. Обычно программа установки называется Setup.exe и находится в корневой папке дистрибутива.

Первой на экран будет выведена заставка. Прочитав ее, щелкните левой кнопкой мыши по экранной кнопке **Continue**. Дальнейшие операции будут происходить под управлением программы "Мастер установки". Вас попросят ввести серийный номер пакета и код авторизации. Нужные данные находятся на этикетке дистрибутивного диска или на картонной коробке, в которую комплект дисков был упакован при продаже. Их можно получить и по электронной почте, зарегистрировавшись на официальном интернет-сайте фирмы Borland.

После ввода требуемых данных станет активной экранная кнопка **Next**, на которую и нужно нажать. Далее читаем текст лицензионного соглашения и принимаем его условия. Откроется окно, информирующее о достоинствах устанавливаемой системы программирования. Еще раз нажимаем на кнопку

Next. "Мастер" предложит выбрать один из четырех вариантов установки: "Typical" (будет установлен по умолчанию), "Compact" (будут установлены только самые необходимые компоненты системы), "Custom" (пользователь получит возможность выбрать, что устанавливать, а что нет) и "Full" (будет установлен полный комплект). Последний вариант стоит выбирать только при большом свободном объеме памяти на жестком диске.

В очередном окне "Мастер" спросит, устанавливать ли приложения из пакета VisiBroker for C++ Builder, элементы которых будут работать на нескольких компьютерах. Спросит и о том, предполагается ли работа с системой управления базами данных InterBase. Для создания радиоловительских программ эти средства вряд ли пригодятся и от них можно отказаться, убрав соответствующие флажки с экрана.

Снова нажав на кнопку **Next**, увидим еще одно лицензионное соглашение, накладывающее ограничения на создаваемые программы. С этим тоже придется согласиться, нажав на экранную кнопку **Agree**. В следующем окне будет выведен список папок, в которые "Мастер" предлагает устанавливать элементы системы Borland C++ Builder. При необходимости список можно корректировать, но лучше согласиться с ним, нажав на кнопку **Next**.

Далее будут предложены названия папки и раздела в главном меню, в которые будут помещены значки элементов системы. Откорректировав их или согласившись с предлагаемыми, еще раз нажимите на кнопку **Next**. В следующем окне установите все флажки и нажимите на кнопку **Next** в последний раз, после чего начнется собственно установка.

В зависимости от производительности процессора, объема оперативной памяти и скорости жесткого диска установка занимает 10...20 мин. Если "Мастер" попросит вставить в привод CD-ROM второй дистрибутивный диск, это нужно сделать. Когда на экране появится сообщение об окончании установки, нажимите на кнопку **Finish** и со-

гласитесь с предложением немедленно перезагрузить операционную систему.

По окончании перезагрузки система программирования Borland C++ Builder 6.0 готова к работе. При первом запуске она предложит зарегистрировать в фирме Borland установленный экземпляр ее продукта. Далее (а при последующих запусках — сразу) на экран будет выведена интегрированная среда разработки программ (IDE), состоящая из панели управления в верхней части экрана, панели инспектора объектов (Object Inspector) слева. В центре экрана появятся окна редактора текста разрабатываемой программы и ее визуальной формы. Последняя представляет собой заготовку будущего окна программы, на которой можно размещать имеющиеся в системе готовые компоненты — надписи, кнопки, окна ввода данных и многое другое.

В окне редактора текста тоже имеется заготовка будущей программы. Ее даже можно запустить, нажав на панели управления кнопку **Run**. В результате на экран будет выведено пустое окно, которое можно лишь закрыть, нажав на кнопку **Close** в его верхнем правом углу.

Форму предстоит наполнить содержанием, разместив на ней нужные компоненты и дополнив заготовку программы строками с расчетными формулами и другой необходимой информацией. В процессе разработки придется неоднократно переходить из окна формы в окно редактора текста и обратно. Это удобно делать с помощью клавиши **F12**. Если с экрана был убран Object Inspector, его возвращают обратно нажатием на кнопку **F11**. Изучить все правила и особенности разработки программ в системе Borland C++ Builder можно по книге [1].

В качестве примера создадим программу расчета однозвенного сглаживающего LC-фильтра выпрямителя. Его схема изображена на рис. 1, а нужные

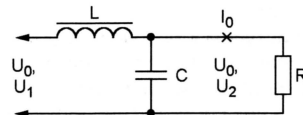


Рис. 1

расчетные формулы легко найти в учебниках, справочниках и другой радиотехнической литературе [2—4]. Этот несложный расчет вполне можно выполнить на обычном калькуляторе. Однако проверенная программа, хранящаяся в компьютерной памяти, позволит в любое время и неоднократно повторить его с различными исходными данными. Не придется много раз набирать одни и те же значения и опасаться получить совершенно неверный результат, случайно нажав не на ту клавишу. Набравшись опыта визуального программиро-

вания, можно автоматизировать и значительно более сложные расчеты.

Итак, согласно [4], сглаживающий RC-фильтр рассчитывают так. Задавшись значениями F — частоты выпрямляемого напряжения, Гц (обычно 50 Гц); m — числа фаз выпрямления (1 — однополупериодный выпрямитель, 2 — двухполупериодный, в том числе мостовой, 3 — трехфазный; 6 — трехфазный мостовой); U_1 и U_2 — размах пульсаций соответственно на входе и на выходе фильтра, вычисляют круговую частоту первой гармоники пульсаций

$$\omega = 2\pi F \cdot m$$

и коэффициент фильтрации

$$Q = \frac{U_1}{U_2}$$

Задавшись значением емкости конденсатора фильтра C , вычисляют индуктивность дросселя L по формуле

$$L = \frac{Q + 1}{\omega^2 C}$$

Далее задаются выпрямленным напряжением U_0 , током нагрузки I_0 и вычисляют

$$R = \frac{U_0}{I_0} \quad \text{— сопротивление нагрузки}$$

фильтра, а затем проверяют условие

$$L > \frac{2R}{(Q^2 - 1)\omega}$$

Если оно выполнено, индуктивность достаточно велика и полное входное сопротивление фильтра на основной частоте пульсаций и ее гармониках имеет индуктивный характер. В противном случае расчет необходимо повторить, уменьшив емкость конденсатора фильтра.

$$F_f = \frac{1}{2\pi\sqrt{LC}}$$

В заключение находят резонансную частоту фильтра

Она должна быть ниже основной частоты пульсаций и частоты колебаний тока нагрузки.

Приступим к разработке программы. Для хранения всех файлов проекта (их будет довольно много, причем большинство из них система генерирует автоматически) создайте на одном из дисков папку. Назовите ее, например, LC_filter.

Запустите Borland C++ Builder и, прежде всего, сохраните появившуюся на экране заготовку будущего проекта. Для этого выберите в меню **File** пункт **Save All** (сохранить все). Можно согласиться с предлагаемой по умолчанию папкой Projects, созданной системой при инсталляции, но лучше выбрать только что созданную LC_Filter. Файл с текстом программы (расширение *.cpp) можно назвать Unit_LC_filter.cpp, а файл проекта (расширение *.bpr), содержащий всю информацию о приложении, — Calculation_LC_filter.bpr. Главное,

чтобы имена файлов были написаны латинскими буквами без пробелов, иначе система зафиксирует ошибку. Исполняемый файл созданной программы будет автоматически назван так же, как файл проекта — Calculation_LC_filter.exe.



Рис. 2

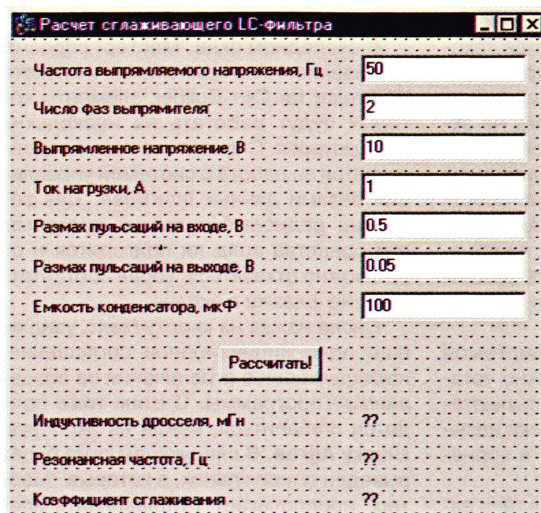


Рис. 3

Сохраняйте проект как можно чаще, это уменьшит вероятность, что сделанное пропадет в результате случайного сбоя. Обязательно сохраняйте проект перед каждой компиляцией и перед завершением работы с выходом из системы программирования. Если имена ранее сохраненных файлов не изменялись, переспрашивать их при очередном сохранении система не будет.

А теперь перейдите в окно формы будущей программы, нажав на клавишу **F12**. Пока форма пуста. На вкладке **Standard** панели управления найдите обозначенный значком  компонент **Label**. Он служит для вывода на экран различного рода надписей, как статических, не изменяемых в процессе работы программы, так и динамических, например, численных значений результатов вычислений.

Двойной щелчок левой кнопкой мыши по значку — и на форме появился нужный компонент. Он выделен — взят в пунктирную рамку, что позволяет "перетянуть" его мышью в нужное место формы или изменить размеры. Послед-

него делать не будем, система автоматически изменяет размеры компонента **Label** в зависимости от фактической длины содержащейся в нем надписи.

Сделайте щелчок в свободном месте формы. Выделение компонента исчезнет. Добавьте на форму еще двенадцать компонентов **Label**, семь полей ввода информации с клавиатуры — компонентов **Edit** (значок ) и одну экранную кнопку — компонент **Button** (значок ). В результате форма должна приобрести вид, показанный на рис. 2, компонент Button1 здесь выделен.

Компоненты Label1—Label7 предполагается использовать для отображения названий исходных для расчета величин, а компоненты Edit1—Edit7 — для ввода их значений. Названия величин — результатов расчета будут отображать компоненты Label8—Label10, а значения — компоненты Label11—Label13.

Пока надписи на экране совпадают с автоматически присвоенными системой именами соответствующих программных модулей. Эти надписи "хранятся" в свойствах **Text** компонентов **Edit** и в свойствах **Caption** компонентов **Label** и **Button**.

Измените эти свойства. Для этого выделите нужный компонент, щелкнув по нему мышью, перейдите на заклад-

ку **Properties** окна **Object Inspector** и найдите в предлагаемом списке строку с названием свойства и его значением. Заменить старое значение новым, набрав его на клавиатуре и нажав на клавишу **Enter**. Например, введя в поле значения свойства **Caption** компонента Label1 фразу "Частота выпрямляемого напряжения, Гц" (без кавычек), немедленно увидим ее в соответствующем месте формы.

Проделайте это поочередно со всеми компонентами и с самой формой. **Object Inspector** знает ее под именем Form1. Значение свойства **Caption** формы — текст ее заголовка. В результате должно получиться изображение, показанное на рис. 3.

(Окончание следует)

Редактор — А. Долгий, графика — А. Долгий, скриншоты — авторов

Простые радиоприемники на микросхеме МК484

А. ВОРОНЦОВ, г. Ставрополь

При постройке первого радиоприемника обычно выбирают схему прямого усиления. Однако начинающему радиолюбителю бывает трудно найти конструкцию для повторения. Хочется собрать простой приемник, но в то же время имеющий высокие качественные параметры. Совместить эти требования довольно сложно, но оказывается, вполне возможно, если выполнить свой первый радиоприемник на основе специализированной микросхемы МК484.

Микросхема МК484 и ее аналоги широко распространены за рубежом. Они представляют собой высокочастотный тракт приемника прямого усиления, содержащий усилитель радиочастоты (УРЧ), детектор и систему автоматической регулировки усиления (АРУ). УРЧ имеет большой коэффициент усиления и высокое входное сопротивление, что позволяет подключать его вход ко всему входному контуру (без отводов или катушки связи). Микросхема выглядит как маломощный транзистор, требует минимума навесных деталей и при этом имеет всего три вывода! Информацию о ней и ее аналогах, а также о некоторых упомянутых ниже микросхемах можно почерпнуть из [1].

Миниатюрный переносный приемник

Схема приемника (рис. 1) отличается от рекомендуемой производителем только включением катушки магнитной

и конденсатор СЗ обеспечивают работу системы АРУ.

Питается приемник от одного элемента G1 напряжением 1,25...1,5 В, потребляемый ток настолько мал (около 0,3 мА), что можно применить "пуговичные" элементы от электронных часов, уменьшив, таким образом, габариты приемника до минимальных, определяемых только размерами магнитной антенны и КПЕ. В приемнике отсутствует выключатель, элемент питания отключается при извлечении вилки телефонов из гнездового разъема XS1. Для нормальной работы микросхемы сопротивление телефонов должно быть в пределах 32...500 Ом, причем для увеличения сопротивления капсулы телефонов желательно соединить последовательно. Это достигнуто соответствующей распайкой гнездового разъема XS1 — при использовании стереотелефонов "общий" вывод не подключен. Если сопротивление телефонов составляет 1600 Ом (ТОН-2 или подобные), то полезно исключить резистор R2.

Исключительная простота конструкции и наличие всего одной намоточной детали — катушки L1 — позволяет применить навесной монтаж, компоновка деталей при котором может быть сколь угодно плотной.

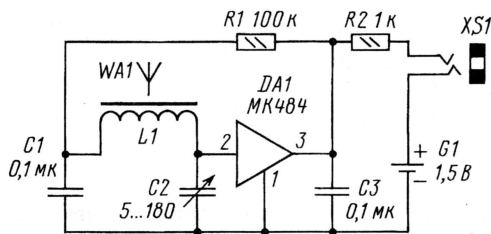


Рис. 1

антенны L1 и конденсатора переменной емкости (КПЕ) C2. Выбранная схема позволяет соединить с общим проводом роторные пластины КПЕ C2 и использовать КПЕ любой конструкции и с любым типом диэлектрика. Кроме того, устранено шунтирующее действие на контур резистора R1. Входной контур приемника образован катушкой магнитной антенны L1 и конденсаторами C1 и C2, причем первый, ввиду его большой емкости, практически не влияет на частоту настройки контура, но дополнительно фильтрует сигнал АРУ. Принятый сигнал поступает на вход микросхемы DA1 (вывод 2). Резистор R2

Магнитная антенна представляет собой стержень диаметром 8 и длиной 50 мм из феррита марки Ф2000НН. На надетой на стержень картонной или пластиковой гильзе в один слой намотана катушка L1, содержащая 90 витков провода ПЭЛ или ПЭЛШО диаметром 0,1 мм. КПЕ может быть типа КП-180 (из комплекта приемников "Юность КП-101" или "КП-105") или КПК-2 емкостью 25...150 пФ. С этими деталями приемник будет работать в диапазоне средних волн (СВ). Для приема в диапазоне длинных волн (ДВ) число витков катушки надо примерно утроить.

Переносный или стационарный радиоприемник

Этот аппарат содержит две микросхемы с минимумом дополнительных элементов и работает при напряжении питания от 3 до 12 В, обеспечивая громкоговорящий прием. Его можно выполнить как портативную (карманную) конструкцию, к примеру, в корпусе от выпущенных ранее радиолюбительских наборов "Юность", так и настольную. Рассмотрим схему подробнее (рис. 2).

Левая ее часть не отличается от рассмотренной выше. Питающее напряжение микросхемы DA1 (МК484) стабилизировано диодами VD1—VD3. Протектированный низкочастотный сигнал через разделительный конденсатор C4 и регулятор громкости R3 поступает на микросхему УМЗЧ DA2 (TDA2822M), включенную по мостовой схеме для достижения максимальной выходной мощности при минимуме потребляемой энергии, при этом нужно всего два внешних конденсатора — C6 и C7.

Громкоговорителем может служить любая динамическая головка мощностью от 0,1 Вт и сопротивлением от 6 Ом и выше. Поскольку из-за своей простоты данный приемник обеспечивает достаточно высокое качество сигнала, то для стационарной конструкции в большом корпусе можно использовать головки 1ГД-9, 2ГД-40 и подобные. Для переносной конструкции тип динамика не критичен, однако, применив головку сопротивлением 25...50 Ом и, возможно, несколько потеряв в громко-

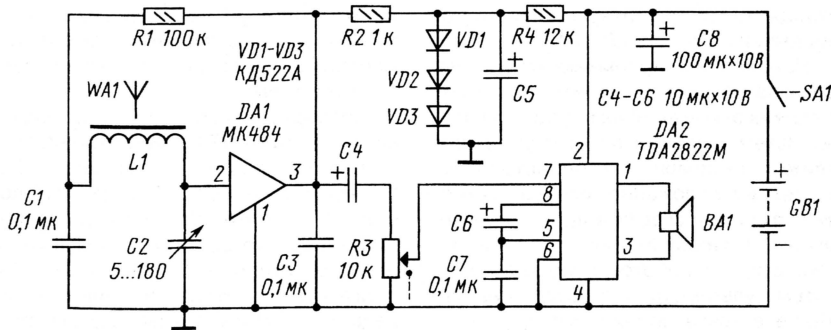


Рис. 2

сти приема, удастся значительно уменьшить потребляемый приемником ток.

Блок КПЕ в стационарной конструкции можно применить стандартный, с воздушным диэлектриком, от старых ламповых радиоприемников, емкостью $2 \times 12 \dots 495$ пФ. В малогабаритном варианте лучше применить блок КПЕ китайского производства СВМ-233Р (так называемый "трехвыводной"). Он имеет различные емкости для антенной и гетеродинной частей. Для увеличения перекрываемого частотного диапазона секции КПЕ можно соединить парал-

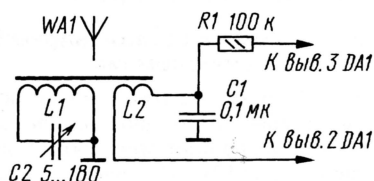


Рис. 3

лельно. Если дальнейшей модернизации схемы не предусматривают, то подойдет и обычный КПЕ КП-180.

Антенная катушка L1 имеет те же данные, что и в предыдущей конструкции, однако при использовании КПЕ

пытаться принять местные радиостанции, вращая ротор КПЕ С2.

Нормально работающий приемник позволяет принимать в вечернее время много местных и дальних радиостанций. Тем не менее, при желании, в дальнейшем можно провести несложную модернизацию, повысив качественные показатели. Несмотря на высокое входное сопротивление микросхемы МК484 (около 3 МОм), избирательность (селективность) изготовленного приемника недостаточно высока, хотя она и значительно выше, чем у всех известных приемников прямого усиления с одним настраиваемым контуром.

Повысить избирательность удастся за счет некоторого понижения чувствительности, подключив контур магнитной антенны L1C2 к микросхеме через катушку связи L2 (рис. 3), содержащую от 5 до 30 витков. Их число подбирается для обеспечения приемлемой чувствительности при достаточной избирательности.

Супергетеродинный приемник

Дальнейшей возможной модернизацией приемника будет сборка преобразовательного каскада и превращение

ром L5C13, далее он поступает через катушку связи L6, фильтр ПЧ ZQ1 и катушку связи L8 на второй контур ПЧ L7C15. Остальная часть схемы не отличается от вышеописанной. Напряжение питания поступает на микросхему DA1 от стабилизатора, собранного на диодах VD1—VD3.

Данные входного контура L1C2.1 и катушки связи L2 такие же, как в вышеописанной конструкции. Контур ПЧ можно применить готовые, от промышленных радиоприемников, либо найти в продаже. Автор рекомендует остановиться на частоте ПЧ 455 кГц, ибо контуры ПЧ, кварцевый фильтр и гетеродинные катушки всегда есть в продаже в специализированных магазинах или их можно выпаять из нерабочей импортной техники. Кроме того, если использовать импортный КПЕ, то гетеродинные контуры (в основном с меткой красного цвета) к нему идеально подходят. В этом случае вместо конденсатора C11 устанавливают перемычку. Однако вполне возможно применить контуры гетеродина, ПЧ и фильтр ZQ1 на частоту 465 кГц, взяв их данные из описаний подобных схем.

Настройку преобразовательного каскада ведут по следующей методике.

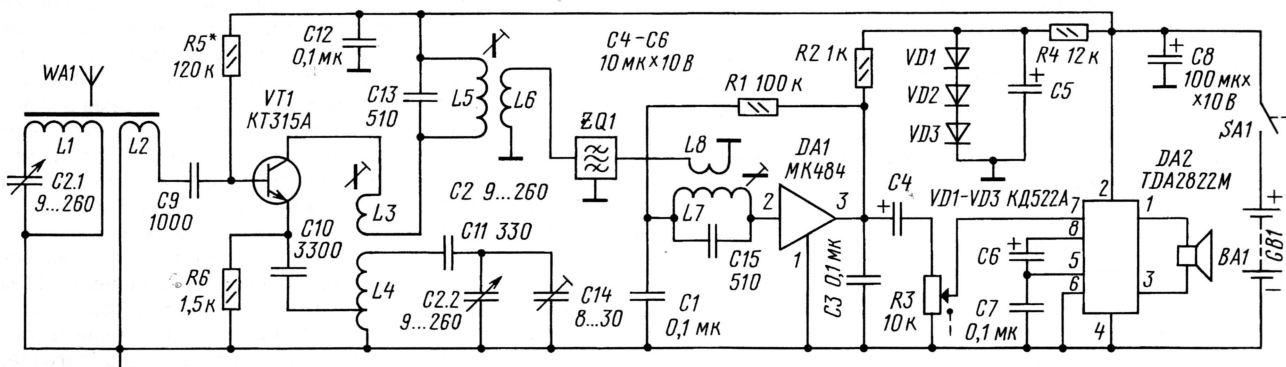


Рис. 4

с большей емкостью число витков следует несколько уменьшить. Возможно также использование любых имеющихся в наличии у радиолюбителя готовых ферритовых магнитных антенн или антенных катушек. Автор использовал стандартную магнитную антенну от приемника "Юность КП-101".

Налаживание приемника не сложно. Сначала следует проверить отсутствие коротких замыканий на монтажной плате. Затем, подав питание и установив движок переменного резистора R3 в среднее положение, следует дотронуться пинцетом до вывода 7 микросхемы DA2. По наличию фона переменного тока судят о работоспособности УЗЧ. Затем мультиметром проверяют напряжение в точке соединения элементов R2, VD1 и R4 — оно должно быть в пределах 1,3...1,6 В. После этого можно по-

его, таким образом, в супергетеродин, имеющий не только минимально возможные размеры, но и обеспечивающий высокое качество работы. Возможно применение любых известных схем, имеющихся в библиотеке радиолюбителя (к примеру, [2, 3]). Один из вариантов схемы представлен на рис. 4 (нумерация вновь введенных деталей продолжается начатую).

Преобразовательный каскад собран на транзисторе VT1. Смещение на базу транзистора подано через резистор R5. Принятый сигнал с катушки связи L2 поступает на базу транзистора. Гетеродинный контур состоит из катушки L4 и конденсаторов C2.2, C11 и C14. Катушка L3, включенная в коллекторную цепь транзистора, создает положительную обратную связь. Сигнал промежуточной частоты (ПЧ) выделяется конту-

После проверки монтажа подают напряжение питания и резистором R5 устанавливают ток коллектора в пределах 0,2...0,5 мА. При отсутствии генерации (проверяется частотомером или осциллографом, а в случае их отсутствия — по небольшому изменению тока коллектора при касании пинцетом выводов транзистора VT1) следует поменять местами выводы катушки обратной связи L3. Дело в том, что при неправильном включении выводов катушки L3 обратная связь из положительной превращается в отрицательную и генерации, естественно, не будет.

Следующий шаг — установка границ диапазона и сопряжение входного и гетеродинных контуров, методика подробно описана в радиолюбительской литературе (к примеру, [3]). После этого подстраивают контуры ПЧ L5C13

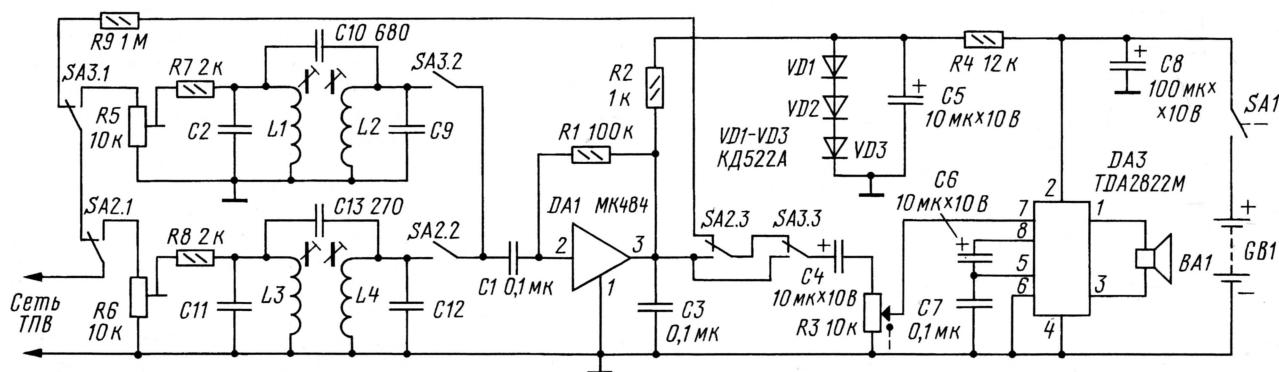


Рис. 5

и L7C15 по максимальной громкости принимаемых радиостанций.

Правильно собранная и налаженная конструкция обеспечивает чувствительность и избирательность на уровне промышленных стандартов на радиовещательные приемники.

Приемник ТПВ

На основе второго варианта устройства (см. рис. 2) удастся собрать и приемник трехпрограммного проводного вещания, причем его качественные показатели оказываются несколько выше параметров промышленных образцов по следующим причинам.

Схема приемника ТПВ (рис. 5) отличается от приведенной выше (см. рис. 2) коммутируемыми двухконтурными полосовыми фильтрами, настроенными на частоты второй (L1C2C10L2C9) и третьей (L3C11C13L4C12) программ проводного вещания (78 и 120 кГц соответственно). Резисторы R5 и R6 позво-

ляют установить одинаковый уровень поступающих на приемник сигналов. Сигнал первой программы (низкочастотный) подается напрямую на регулятор громкости R3 приемника при отжатых кнопках переключателей SA2 и SA3. При приеме второй или третьей программы модулированный радиочастотный сигнал поступает на микросхему DA1, которая усиливает и детектирует его.

Катушки индуктивности входных фильтров можно взять от любого промышленного приемника ТПВ или намотать их самостоятельно, используя данные из [4]. Питание приемника можно осуществлять как от батарей, так и внешнего сетевого источника (адаптера) с выходным напряжением 3...12 В.

Замена микросхем

К сожалению, известны только зарубежные аналоги микросхемы MK484.

Это — Z484, SY484, TA7642, UTC7642, D7642 или уже снятая с производства Z414. Вместо микросхемы TDA2822M можно использовать TDA2822, LM386 (они больших габаритов и с иным расположением выводов) или собрать усилитель ЗЧ по любой известной схеме на транзисторах.

ЛИТЕРАТУРА

1. <<http://www.qsl.net/rw6hrm/pdf/>>.
2. **Васильев В.** Супергетеродин начинающего. — Радио, 1966, № 6, с. 45—50.
3. **Румянцев М.** 50 схем карманных радиоприемников. — М.: ДОСААФ, 1966, с. 129—205.
4. **Малышев Ю.** Простой трехпрограммный громкоговоритель: Сб.: "В помощь радиолюбителю", вып. 56, с. 47—49. — М.: ДОСААФ, 1977.

Редактор — В. Поляков, графика — Ю. Андреев

ДОРАБОТКА ДВУПОЛЯРНОГО БЛОКА ПИТАНИЯ

А. БУТОВ, с. Курба Ярославской обл.

Если двуполярный блок питания дополнить звуковым индикатором, описываемым в статье, появится возможность следить за наличием или отсутствием напряжения на выходе его стабилизаторов.

Предлагаемое сравнительно не сложное устройство представляет собой усовершенствованный вариант звукового сигнализатора замыкания [1] и предназначено для установки в двуполярный стабилизированный блок питания. Оно включает двухтональный звуковой сигнал как при замыкании или значительной перегрузке выхода одного из каналов, так и при замыкании выходов стабилизаторов между собой.

Устройство, выполненное по приведенной на рис. 1 схеме, может быть ус-

тановлено, например, в двуполярный блок питания на трансформаторах ТВК-110ЛМ [2]. Сигнализатор питается напряжением плюсовой полярности, которое снимается с одного из оксидных конденсаторов фильтра, подключенного к выходу выпрямителя блока питания. Микросхема DD1 и каскады на транзисторах VT1, VT2 питаются стабилизированным напряжением около 8 В, которое формируется параметрическим стабилизатором на резисторе R1 и стабилитроне VD1.

Пока на обоих выходах блока питания нет замыкания, транзисторы VT1, VT2 открыты. Генераторы, собранные на элементах DD1.1, DD1.2 и DD1.3, DD1.4, находятся в заторможенном состоянии, звука в телефонном капсюле BF1 нет.

Предположим, что произошло замыкание на выходе стабилизатора плюсового напряжения. Транзистор VT1 закрывается, и на входные выводы 1 элемента DD1.1 и 6 DD1.3 через резистор R6 и диод VD2 поступает высокий уровень. Генератор на элементах DD1.1, DD1.2 вырабатывает сигналы с частотой 5...8 Гц. Запускается и генератор тонального сигнала на элементах DD1.3, DD1.4. Его частота изменяется в такт с частотой первого генератора.

Двухтональный сигнал с выхода элемента DD1.4 поступает через резистор R15 на базу транзистора VT3 усилителя мощности. Его нагрузкой служит телефонный капсюль BF1. Диод VD4 защищает транзистор от выборо-

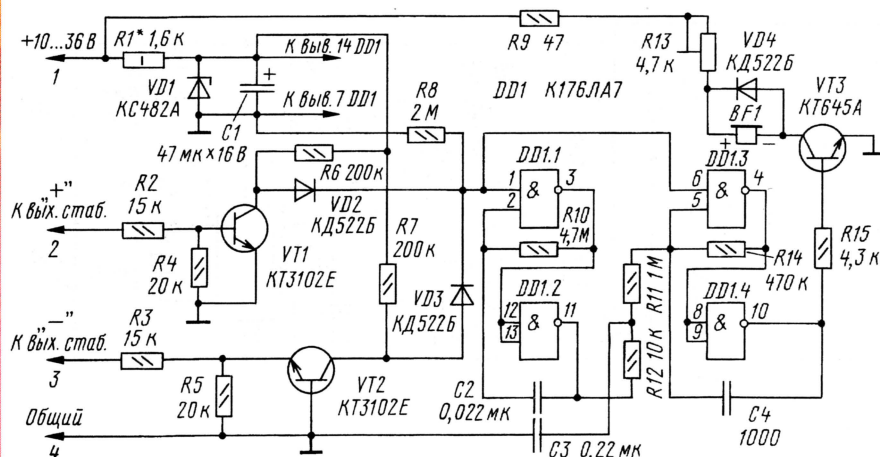


Рис. 1

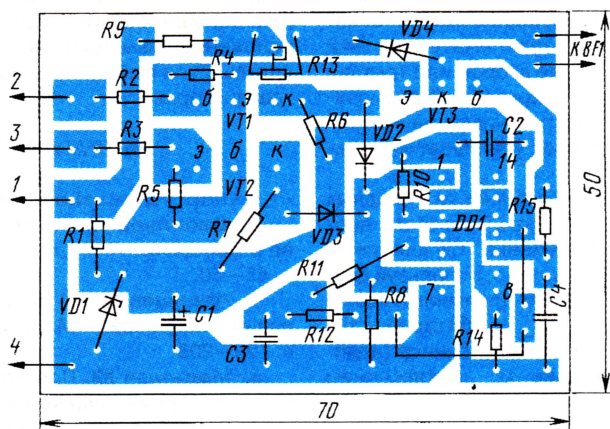


Рис. 2

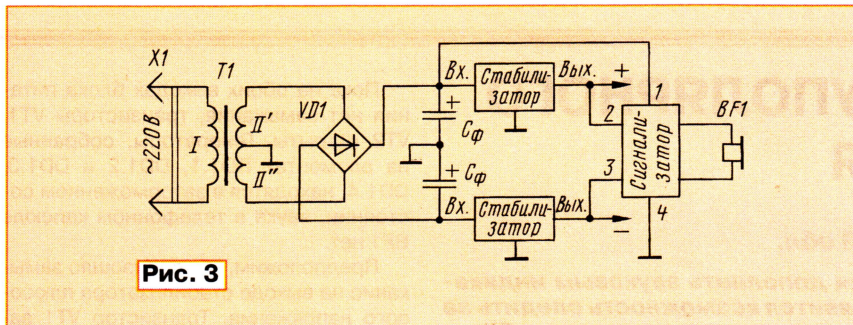


Рис. 3

сов напряжения самоиндукции катушки капсюля. Резисторы R9 и R13 определяют громкость звука, а конденсатор C3 устраняет неприятные щелчки при переключении частоты второго генератора.

А что будет при замыкании выхода канала минусовой полярности? Тогда закроется транзистор VT2, через резистор R7 и диод VD3 на указанные выше входы элементов DD1.1, DD1.3 поступит высокий уровень. Начнут работать генераторы, и из капсюля будет раздаваться двухтональный звуковой сигнал.

В радиолубительской практике не исключена ситуация, когда выходы стабилизаторов будут замкнуты не на общий провод, а между собой, например, из-за невнимательности при подключении или в случае пробоя выходных каскадов усилителя мощности ЗЧ. Тогда закроется либо один, либо оба входных транзистора, в результате чего появится звуковой сигнал.

В устройстве могут быть использованы постоянные резисторы МЛТ, С1-4, С2-23, подстроечный R13 — РП1-63М, СПЗ-38а или другой подходящий. Оксидный конденсатор C1 —

K53-19, K50-35, K50-16, остальные конденсаторы могут быть керамические или пленочные, например, серий K10-17, K10-7, KM-5, K73-9, K73-17. Диоды КД522Б допустимо заменить любыми из серий КД102, КД103, КД521, КД522, 1N4148. Стабилитрон — маломощный на напряжение стабилизации 6...9 В, скажем, КС168А, КС182А, КС191Ж, Д814А, 1N5998В. Транзисторы VT1, VT2 заменимы любыми из серий КТ3102, КТ342, SS9014, 2SC815, а VT3 — КТ503В—КТ503Е или любым из серий КТ602, КТ608, КТ630, КТ940, 2SC2331, 2SC2383. Вместо микросхемы К176ЛА7 допустимо установить К561ЛА7, КР1561ЛА7, 564ЛА7, CD4011. Телефонный капсюль применен ТК-47, но подойдет ТЭМК-3, ДЭМ-4м, ТА-4 или динамическая головка 0,1ГД-17, 0,25ГДШ-2 либо другая со звуковой катушкой сопротивлением 40—50 Ом.

Устройство монтируют на печатной плате (рис. 2) из односторонне фольгированного стеклотекстолита. Большинство резисторов устанавливают вертикально. Для облегчения монтажа отверстия в плате можно не сверлить, а подпаявать детали со стороны проводников.

При подключении сигнализатора к блоку питания пользуйтесь схемой, приведенной на рис. 3.

Налаживание сигнализатора начинают с подбора резистора R1 такого сопротивления, чтобы через стабилитрон протекал ток 2...4 мА при работе блока питания в режиме холостого хода. Если напряжение питания превышает 20 В, резистор R9 берут сопротивлением 300 Ом. Громкость звука сигнализатора устанавливают подстроечным резистором R13, а тональность (если это необходимо) — подбором резистора R14.

Эксплуатируя сигнализатор, следует помнить об одной особенности, о которой не было сказано в [1, 3]. Когда блок питания отключают от сети, возможно включение звуковой сигнализации, поскольку напряжение на выходе стабилизатора убывает быстрее, чем на конденсаторах фильтра СФ. Если такое нежелательно, в цепь питания можно включить стабилитрон, например, КС139А, катодом к конденсатору фильтра, а анодом — к резисторам R1, R9. Возможно, придется вновь подобрать резистор R1.

ЛИТЕРАТУРА

1. Бувов А. Звуковой сигнализатор короткого замыкания. — Радио, 2001, № 10, с. 54.
2. Нечаев И. Блок питания на ТВК-110ЛМ. — Радио, 1991, № 12, с. 74, 75.
3. Потачин И. Сигнализатор перегрузки стабилизатора. — Радио, 2002, № 8, с. 59, 60.

Редактор — Б. Иванов, графика — Ю. Андреев

РАДИО

Ответственный редактор Степанов Б. Г.
(RU3AX)
тел. 207-68-89
E-mail: mail@radio.ru

При содействии Союза радиолюбителей России

о связи

СМЕНА ЛИДЕРОВ

ЖУРНАЛ В ЖУРНАЛЕ

В этом году соревнования "Старый Новый год" вновь порадовали редакцию журнала высокой активностью их участников и хорошими спортивными результатами. В прошлом году введение отдельного телеграфного зачета заметно увеличило число участников — почти на 20 процентов. И это понятно — смешанный зачет не давал никаких шансов пробиться в лидеры "чистым телеграфистам", которых и в нашей стране, и за ее пределами еще довольно много. Была надежда, что выделение в отдельную подгруппу "телефонистов" также несколько увеличит число участников. Но этого не случилось — оно осталось на уровне прошлого года. Просто подгруппа MIXED разделилась на две примерно равные части.

Впрочем, число участников на самом деле, может быть, и несколько возросло. Мы ведь ведем учет по полученным отчетам, а в соревнованиях этого года необычно много (несколько десятков) известных радиостанций их не прислало. Есть среди них даже лидеры предыдущих соревнований. Попытка "выдавить" отчеты через Интернет особого успеха, к сожалению, не имела.

В подгруппе MIXED лидер в этом году сменился. Неоднократный победитель Александр Гиманов (RZ3AZ) на этот раз занял лишь третье место. А на первое вышел известный украинский контестмен Владимир Латышенко (UY5ZZ). Медленно, но уверенно он шел к этой победе — 2-е место в прошлом году, 7-е — в позапрошлом и т. д. Также постепенно подбирался ко второму результату и Игорь Соколов (UA9CDC) — 5-е место в прошлом году, 13-е — в позапрошлом... Возможно, что подняться на несколько ступеней вверх в итоговой таблице Игорю помогло и то, что на этот раз он работал не из домашнего "шэка", а на выезде — из 6-го радиолюбительского района.

Сменился лидер и в подгруппе CW. Прошлогодний победитель — Игорь Корольков (UA4FER) из Пензы, как и RZ3AZ, переместился на третье место. На второе место вышел Владимир Штин (EW8EW) из Гомеля. Он не принимал участие в этой подгруппе в соревнованиях прошлого года, поэтому дать какую-то оценку этому успешно-

му выступлению нельзя. А вот победитель в этой подгруппе крымчанин Владимир Ранюк (UU6JJ) успешно выступил уже в прошлом году и занял тогда 5-е место. Так что его успех вполне закономерен.

В подгруппе SSB победил постоянный участник соревнований на призы журнала "Радио" Георгий Чухлебов

ции им в соответствующих возрастных подгруппах не просматривается и, может быть, для обострения спортивной борьбы пришло время подумать о "правиле двух лет", которое применяется в некоторых соревнованиях. Имеется в виду вариант, когда спортсмен, занявший два года подряд первое место, и в третьих соревнованиях снова пока-



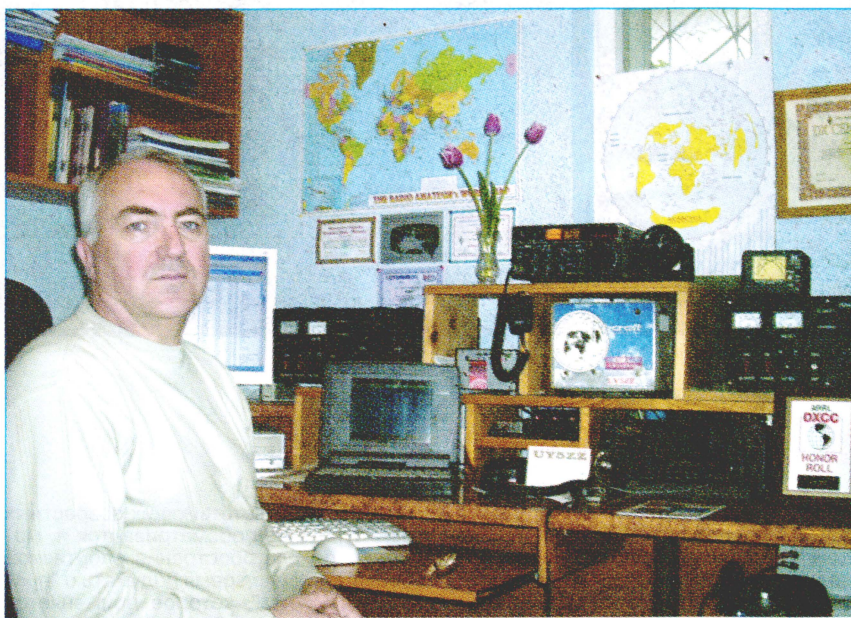
Команда RK3AWL (слева направо): Руслан Бабаян (UA3ASZ), Дмитрий Гусев (RX3DCX) и Евгений Кулешов (RK3AD).

(UA6ADC) из поселка Пригородный Краснодарского края. Поскольку эта подгруппа введена с этого года, то комментировать "движение по спортивной лестнице" здесь пока рано.

В подгруппах "стаж плюс возраст более 100 лет" и "стаж 50 и более лет", как и ожидалось, лидеры не сменились. Ими вновь стали москвич Константин Хачатуров (RU3AA) и курянин Владимир Поваляев (UA3WW). Реальной конкурен-

цирует лучший результат, то в итоговой таблице он, естественно, попадает на первую строчку, но получает только диплом, а медаль вручается тому, кто выйдет на второе место.

Смена лидеров произошла и у команд коллективных радиостанций. На первом месте теперь коллектив RK3AWL из Зеленограда. Высокий класс работы этой радиостанции, ее отличное техническое "вооружение" хо-



Владимир Латышенко (UY5ZZ).

рошо известны, поэтому не удивительно, что с первой серьезной попытки участия он вышел на первое место, заметно потеснив прошлогодних лидеров — команду радиостанции RK9WWH. В составе команды RK3AWL работали Дмитрий Гуськов (RX3DCX), Евгений Кулешов (RK3AD) и Руслан Бабаян (UA3ASZ).

У наблюдателей победитель традиционный — москвич Владимир Игнатов (R3A-847).

Эти соревнования — девятые по счету. Самыми удачными по спортивным результатам были, по-видимому, соревнования 2003 г. Тогда здорово повезло с прохождением и даже при несколько меньшем числе участников, лидерам удалось показать рекордные результаты по числу связей. RZ3AZ установил за четыре часа соревнований 532 связи (что соответствует 133 QSO в час), а команда RW4LYL — 725 QSO (181 QSO в час). Пока эти рекорды держатся.

В итоговых таблицах по подгруппам указаны место, позывной, количество зачетных связей и итоговый результат.

Общий зачет															
св															
1	UU6JJ	326	25743	58	RK9AX	83	6503	40	RN4ABD	99	7284	5	UT1FA	407	31284
2	EW8EW	310	24110	59	RA9JG	71	5540	41	RW9FD	97	6924	6	RW9TA	375	28630
3	UA4FER	308	24094	60	UA9OP	67	5340	42	RZ9UGN	87	6512	7	UA9AM	374	28437
4	RA6AX	306	24039	61	UA1CBM	67	5233	43	RA1QCT	79	6398	8	EW8MW	331	25129
5	LY4AA	283	22434	62	UA3DEE	61	5039	44	RU4AO	86	6104	9	RN4WA	315	23609
6	UA4CCG	285	22339	63	UN7EX	57	4453	45	UY2UA	80	6103	10	RK3BA	299	23058
7	RA6DB	286	22326	64	UR3IQO	59	4320	46	UA3DCH	80	5929	11	EW8DX	299	22932
8	RU6YY	276	21238	65	RA9XF	56	4272	47	RA3WP	80	5926	12	RK3DK	293	22419
9	UA4CC	269	20588	66	RW0AJ	48	3764	48	RA3DPP	76	5736	13	UT4EK	284	22047
10	UA3TU	250	20116	67	EW1NA	44	3408	49	RX9JD	74	5676	14	EW7KR	277	21401
11	RA9ST	254	19132	68	UA1TBR	41	3284	50	RA4CEO	81	5612	15	UA4AQL	286	21355
12	RU4CO	245	19024	69	RW4HM	42	3281	51	RA0AM	73	5560	16	RA6GW	278	21192
13	RU6FA	244	18577	70	DL1LAW	40	3156	52	UA0SE	74	5445	17	RZ3DY	262	20301
14	EU1AI	234	18291	71	UT1YW	36	2655	53	UA9UDX	73	5192	18	RV3FI	243	19761
15	RX3OM	233	17931	72	RV3DBK	30	2542	54	RW9CPZ	69	5150	19	RA3AF	259	19527
16	UA4RC	244	17423	73	UA9QCP/3	24	1952	55	RW4HBG	72	5002	20	RX9SN	255	19045
17	RA3UT	220	17283	74	UA3VFI	14	1052	56	RX6LP	63	4833	21	RW3AI	241	18680
18	RA9WW	212	16623	75	LZ2DB	12	913	57	ER3BW	64	4820	22	RN6AT	248	18473
19	RA4FJV	208	16557	76	EW2EG	2	160	58	RA9WKV	60	4784	23	RA9DZ	218	16536
20	RD4WA	198	15542					59	RA9FBI	56	4731	24	UA9CMQ	217	16187
21	UA3RBO	196	15013	SSB				60	UA9UVB	66	4695	25	UN6P	212	16116
22	RK4HD	187	14772	1	UA6ADC	387	29594	61	RX0AK	65	4634	26	RN3TT	213	16060
23	UA4AL	191	14691	2	RU3ZG	326	23647	62	RW9TN	64	4563	27	RW3WX	206	15630
24	RV3QX	188	14628	3	UR5MNZ	303	23192	63	RA3QJY	62	4472	28	RX3DAC	193	14950
25	RW3ZJ	176	13738	4	RA6CT	281	21530	64	RA3DAH	60	4435	29	UA9AX	200	14674
26	UT3MC	170	13068	5	RA3OU	253	19200	65	RV9CQ	60	4394	30	UA4AGO	186	14512
27	RV3EDZ	167	13013	6	ER3CT	255	19185	66	RZ3AAA	59	4370	31	UV1G	186	14344
28	UA3MM	168	12987	7	SP9LJD	250	18930	67	RA9UAD	59	4267	32	RN1NP	179	13878
29	UA3EDQ	169	12949	8	UR5MOX	236	17675	68	UA9XMM	53	3855	33	RU0AW	179	13854
30	RX9FB	165	12737	9	RV4HC	215	16319	69	RK3ABI	49	3824	34	UA3JRD	182	13843
31	RA4FDD	161	12540	10	UT7QC	212	15270	70	RX6LSZ	45	3202	35	UA4AN	175	13621
32	UA3QCB	159	12390	11	UR7HF	217	15232	71	RU0AC	44	3193	36	UA3ABW	176	13620
33	DL6KVA	157	12346	12	RK3ZF	207	15013	72	RV9LC	42	3157	37	UA6NZ	175	13582
34	LY2LF	149	11754	13	RA3QG	204	14856	73	UA0FGZ	44	3123	38	RX9AM	180	13389
35	UA4ACP	148	11525	14	RA3TYL	204	14856	74	RA0AL	41	3091	39	RV1AT	176	13308
36	RN4SS	148	11403	15	RU6YJ	186	14493	75	RA9FEL	38	3040	40	UA3VLO	165	12859
37	YL3DX	147	11126	16	UR7EM	185	13866	76	UA3SBW	42	2954	41	RV0UM	169	12505
38	RA0AA	131	10230	17	RW3QW	185	13861	77	RA6HCN	41	2925	42	RL3DZ	163	12477
39	RA1QN	132	10153	18	RU0AW	179	13854	78	UA0SC	42	2781	43	RV9AZ	172	12421
40	US8MX	117	9835	19	RA3RHA	171	12883	79	RV3DCC	36	2496	44	RW4HP	158	12193
41	RV9JE	120	9687	20	RW6HKF	161	12515	80	UA0SQJ	34	2422	45	RV3DZ	160	12182
42	RA3MU	124	9610	21	UR4QJH	162	12321	81	UA0SXX	29	2093	46	UA9AOL	155	11473
43	UA9FGJ	124	9506	22	RW3DG	162	12061	82	UA9LAU	26	2027	47	UA4LU	156	11352
44	UA9OA	117	9438	23	UA4FEL	156	11842	83	RA0SDW	28	2011	48	RW0AB	149	11340
45	RU3WR	117	9135	24	RN3QKE	144	10664	84	RN0CT	23	1742	49	RA3TT	148	11215
46	RU9CZ	109	8743	25	RU9AC	138	10585	85	RZ0AK	24	1662	50	UN7FW	142	11158
47	UA3ARN	108	8571	26	RK9DV	126	9234	86	RV6BO	22	1514	51	RK9CR	132	10292
48	RU4SM	111	8498	27	RV3AZ	118	8771	87	RA0CC	19	1329	52	RA3TSS	123	9468
49	RA9FLW	110	8354	28	RV9JD	114	8722	88	UA0FHT	13	901	53	RU3XY	125	9434
50	RA6MS	107	8350	29	RA4SBC	116	8550	89	RW9UEV	10	762	54	UA9JLL	123	8996
51	RW9SZ	102	8239	30	RZ9OW	106	8387	90	UA3AAP	8	676	55	RV3FD	111	8859
52	US5EEK	106	8078	31	UA3LQX	112	8357	91	RZ9UL	8	598	56	UA0VAY	120	8828
53	UA6AK	103	8077	32	RX6APY	104	8234	92	UA0WY	8	589	57	RZ6HDX	114	8753
54	RU9WZ	97	7703	33	RW3DL	111	8189	93	RV9CX	4	256	58	RZ3VA	110	8280
55	EW1KT	94	7259	34	RX9JP	115	8135	Mixed				59	RV9CVA	108	8175
56	RZ9OJ	93	7155	35	RA6HQY	101	8083	1	UY5ZZ	499	38874	60	RW0CF	110	8104
57	UA3TAO	88	6736	36	UA3LHL	108	8017	2	UA9CDC/6	457	35255	61	RA3XI	106	8013
				37	RK3ATI	106	7867	3	RZ3AZ	431	32700	62	RA3ID	105	7977
				38	RZ3AIA	103	7718	4	RA3CW	403	31312	63	UA6AKD	109	7965
				39	UA9SMU	103	7300					64	RN1CX	102	7927
												65	UA3ALS	91	7855

66	RX9AV	97	7176	7	UA3WX	47	3834	27	UA3GM	80	6449	10	RK3UWT	209	15887
67	RV3MI	92	7050	8	UA3LBE	37	2790	28	RX9FR	84	6094	11	UR4MWU	208	15816
68	RN3ZR	94	6874	9	UA4AD	34	2579	29	UA0DW	79	6034	12	RK0AXX	160	12238
69	RV9UF	84	6307	10	RV3MR	7	517	30	UA0UV	82	6003	13	RZ9UWZ	135	10204
70	RW0UZ	85	6143					31	RX4SB	73	5352	14	RK9KWB	132	9941
71	RV9WA	82	6137	Индивидуальные радиостанции (возраст + стаж — 100 и более лет)				32	RW4HH	66	5228	15	RZ9WXX	120	9324
72	UA9AFA	74	6040					33	UA4AR	71	5115	16	RK9SXD	115	8848
73	RU0SU	78	5717					34	RU9WM	62	4784	17	RK3AWK	102	7707
74	UA9KJ	66	5327	1	RU3AA	454	35653	35	RW3TJ	62	4737	18	RK9CZO	100	7490
75	RA4NCC	73	5220	2	RN6FA	348	27075	36	UA9BR	60	4588	19	RK9XXS	95	7028
76	RD3AP	71	5148	3	UR7QM	327	20292	37	UN7BBD	58	4368	20	RZ9OWN	79	6190
77	RA9DP	63	4817	4	EU6AA	219	16342	38	RX9FG	51	4033	21	RZ9UZV	79	5982
78	RA1TV	63	4646	5	RW6AH	200	15297	39	UA0BW	50	3782	22	RK3DZZ	82	5974
79	UA0SDX	53	4104	6	RA3TE	187	14040	40	UA3WI	46	3566	23	RW9UWJ	75	5665
80	EW7LO	47	3502	7	UA4RZ	177	13718	41	RV3BD	46	3247	24	RZ9AWK	63	4928
81	RZ4AG	44	3446	8	UY5TE	167	12899	42	UA9WS	36	2821	25	RK3MXH	59	4308
82	UA9JLY	48	3367	9	UA3WT	170	12288	43	UA0WI	33	2606	26	RK9QWN	57	4114
83	UA3AKI	40	3319	10	RX3AP	147	11949	44	RX9LY	25	2221	27	RK9YWW	54	4115
84	UA9WOL	46	3098	11	UA3QG	153	11783	45	UA0SY	30	2165	28	RK9MXG	52	3903
85	RA0CDF	35	2817	12	UA3AO	151	11557	46	RX3MM	17	1359	29	RZ1AWF	41	2777
86	UA3RW	35	2530	13	UN2BB	137	10919	47	EW8OK	11	827	30	RV6AWH	33	2532
87	US6EX	35	2322	14	RU9W	135	10423	48	UN7EP	4	352	31	UA9UWM	29	2204
88	UA0LDK	26	1844	15	UA9DD	131	10373					32	RZ9UZP	25	1915
89	RA0BA	5	367	16	RK1NA	125	9415	Коллективные радиостанции				33	RK0QWT	26	1787
				17	RW4AD	114	8701					34	RK9XXX	18	1498
Индивидуальные радиостанции (стаж — 50 и более лет)				18	UA6LCJ	113	8592	1	RK3AWL	644	50112	35	US0Q	13	1087
				19	UA0OE	109	8155	2	RZ9WWH	496	37753	SWL			
				20	U5RK	107	7886	3	RZ3ZZZ	361	27121				
				21	UA9CL	110	7855	4	RK9CWVW	340	26201				
1	UA3WW	259	20356	22	UA1HS	99	7841	5	RZ4PXJ	326	26106	1	R3A-847	443	34851
2	UT5JAB	196	15334	23	UA9CBB	102	7706	6	UR4LWU	318	23707	2	RZ3AZA/SWL	91	7192
3	UR5MA	126	9797	24	RA9AU	93	7432	7	RK3MWD	262	20433	3	UA9-165-946	42	6753
4	UA3BO	96	7223	25	UA3YAM	97	7282	8	RK4FWX	262	19655	4	R1Q-026	23	3066
5	RU3MW	89	6841	26	UA3TN	92	6805	9	UP9L	216	16384				

Cabrillo: формат отчетов за соревнования

Михаил ХОХЛОВ (UA9CIR), г. Екатеринбург

В положениях о большинстве соревнований по радиосвязи на коротких волнах есть информация о том, что отчет об участии в них нужно или, по крайней мере, желательно прислать в формате Cabrillo. Эта статья дает полное описание этого формата. Хотя отчет в нем генерируют многие компьютерные констест-программы, знание особенностей Cabrillo поможет констестменам избежать ошибок при формировании отчета.

Особенностью заочных соревнований является то, что итоги соревнований становятся известными гораздо позже окончания соревнований. Эта задержка (иногда до года) снижает интерес со стороны участников, затрудняет анализ выступления спортсменами. Как же можно ускорить судейство? Ответ прозрачен — использовать для подведения итогов компьютер.

При компьютерном судействе большая (иногда основная) часть времени уходит на приведение отчетов в единый формат, удобный для судейства, а также исправление очевидных ошибок, допущенных участниками при составлении отчетов. Такие ошибки встречаются как на обобщающем листе (не указан или неправильно указан позывной, название соревнований, категория участия и т. д.), так и в самом отчете (пропущены контрольные номера, не указан вид работы и т. д.).

Исходя из этого, здравый смысл рисует такую идеальную картину: отчеты выполняются в компьютерном виде в едином для всех формате и высылаются в адрес судейской коллегии по электронной почте.

Почтовый сервер, принимающий отчеты, проверяет формат каждого отчета, и в случае, если в отчете не хватает каких-то данных, требуемых для судейства, отправляет участнику письмо, где перечислены ошибки и указаны способы их исправления. Участник, выполнив

рекомендации почтового робота, повторяет высылку отчета. Это повторяется до тех пор, пока робот не пришлет подтверждение — отчет принят к судейству.

Эта идея воплотилась в стандарте Cabrillo, разработку которого начал Trey Garlough (N5KO) по заданию ARRL в 1999 г. С ноября 2000 г. формат Cabrillo является единственным разрешенным форматом электронных отчетов в соревнованиях, организуемых ARRL.

Основные особенности формата Cabrillo следующие.

1. Не нужен отдельный файл с обобщающими данными, эта информация теперь размещается в заголовке Cabrillo-файла.
2. Данные о связях имеют жестко заданную структуру, т. е. все поля, кроме полей контрольного номера, имеют формат и расположение, единые для всех контекстов. Поля контрольного номера также жестко фиксированные, но для каждого контекста.
3. В отчете нет полей "Множитель" и "Очки за связь", программа компьютерного судейства сама получает эти данные в процессе судейства. По этой же причине от участника не требуется ни списка повторных связей, ни списка множителей.
4. Файл Cabrillo не содержит контрольных и других непечатаемых символов, поэтому легко может быть открыт в любом текстовом редакторе, ес-

ли оператору понадобится внести какие-нибудь изменения (например, скорректировать адрес).

Описание формата Cabrillo версии 2

Официальный источник информации
о нем: [http://www.kkn.net/~trey/
cabrillo/](http://www.kkn.net/~trey/cabrillo/)

Отчет в формате Cabrillo представляет собой текстовый файл, который содержит данные об участнике и о связях. Каждая строка начинается с ключевого слова, оканчивающегося двоеточием. Набор ключевых слов и их возможные значения являются частью стандарта Cabrillo.

START-OF-LOG: номер версии.

Эта строка должна быть первой строкой отчета. Текущий номер версии — 2.0

END-OF-LOG:

Эта строка должна быть последней строкой отчета. Отсутствие этой строки может, например, означать, что были проблемы при передаче файла отчета.

ARRL-SECTION: название.

Обязательная строка для IARU и ARRL-контестов.

CALLSIGN: ПОЗЫВНОЙ.

Позывной сигнал, использовавшийся в контексте.

CATEGORY: *operator-category
band-category power-category mode-
category.*

Категория участия состоит из нескольких параметров, разделенных пробелами.

operator-category — операторы,
возможные значения:

SINGLE-OP
SINGLE-OP-ASSISTED
MULTI-ONE
MULTI-TWO
MULTI-MULTI
SCHOOL-CLUB
SWL
CHECKLOG

band-category — диапазоны, возможные значения:

(Окончание см. на с. 72)

Космическая погода для радиолюбителей

Александр ЗАЙЦЕВ (RW3DZ), г. Троицк Московской обл.

Многие, если не все, жизненно важные процессы на Земле неразрывно связаны с солнечной активностью, определяющей, в частности, и состояние ионосферы. А от этого зависят и возможности дальней радиолубовительской связи. О роли Солнца и Космоса в вопросах распространения радиоволн и рассказывает предлагаемая статья.

За последние 50 лет космическая физика в своем развитии достигла громадных успехов — с помощью спутников и точных наземных приборов мы знаем о Космосе столько, что готовы пуститься даже в межпланетные путешествия. При этом сформировано четкое понятие, что всем своим бытием на Земле мы обязаны Солнцу, поэтому его изучение остается одним из самых приоритетных направлений космических исследований. Наши знания о Космосе сегодня стали практической потребностью — каждый день мы слышим по радио и телевидению прогноз "космической погоды", многие из нас смотрят спутниковое

число этих пятен колеблется и достигает максимума примерно каждые 11 лет, тоже известный факт. Менее известен факт, что число пятен связано с интенсивностью магнитного поля Солнца и сами пятна есть лишь проявление многих других космических процессов на Солнце, которые и определяют погоду на Земле. Об этом сегодня мы судим по прямым наблюдениям в Космосе и на Земле. Вся мировая система прогноза космической погоды держится на уникальной группировке спутников и большой наземной сети обсерваторий. Самыми популярными и наиболее востребованными являются данные спутника



Рис. 2

рий позволяет достаточно точно воссоздать картину процессов в околоземном космическом пространстве. Огромный поток данных обрабатывается также тщательно, как в метеорологии, и на основе этих данных судят о состоянии Космоса сейчас и дается прогноз на ближайшее время.

Как воспользоваться всеми этими сведениями радиолубовителям? В первую очередь нужно все-таки хоть немного обновить свои знания. Для этого можно посмотреть сайты по физике Космоса, например, сайт проф. Л. Лазутина [3] или сайт для школьников в ИЗМИРАН [4]. Здесь вы найдете последние данные по солнечно-земной физике и далее сами сможете ориентироваться в безбрежном море сведений о Солнце и его влиянии на Землю. Но все-таки, что мы имеем сегодня в плане космической погоды?

На рис. 1 в виде графика приведены данные о числе солнечных пятен по месяцам с 1996 г. по январь 2005 г. При этом в качестве фона взято изображение Солнца в рентгеновских лучах по данным спутника SOHO. Видно, что 23-й цикл солнечной активности подошел к концу. Из графика ясно, что мы вплотную приближаемся к минимуму 23-го цикла солнечной активности. Максимум этого цикла был достигнут в апреле 2000 г., затем последовал спад числа пятен и вторичный максимум был пройден в ноябре 2001 г. По радиоизлучению на волне 10,7 см солнечная активность достигла максимума в феврале 2002 г. Это демонстрирует насколько переменчива космическая погода.

Текущее состояние Солнца в Интернете отображено на многих сайтах. На мой взгляд, радиолубовителям подойдет сайт по космической погоде [5], на котором приведены обобщенные данные и даны ссылки на другие сайты, если вам понадобится выяснить какие-то детали. Все содержание сайта выложено на английском, но для большинства радиолубовителей этот язык хорошо знаком.

Тем, кого интересует состояние ионосферы, можно порекомендовать общеевропейский сайт, посвященный космической погоде SWENET (Space Weather European Network), см. [6]. На рис. 2 показана его эмблема. Фактически SWENET представляет открытый портал, через который распространяются все сведения, относящиеся ко всем европейским проектам по космической погоде. Сейчас на портале уже представлена информация по влиянию космической погоды на ионосферу (12 проектов), наземные системы (12 проектов) и на спутники (5 проек-

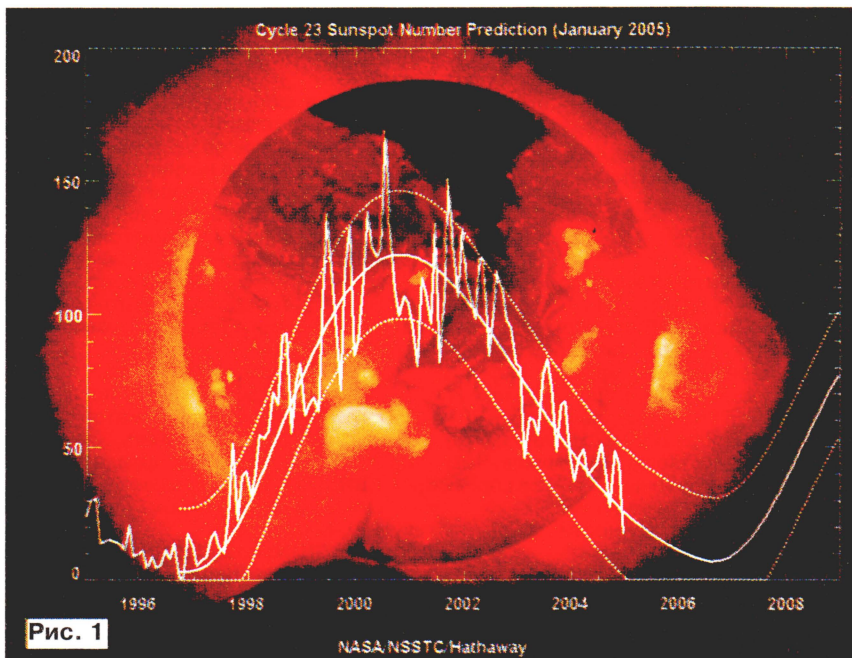


Рис. 1

NASA NSSTC Hathaway

телевидение, система глобальной спутниковой навигации доступна всем. Эти услуги нужны не только узкому кругу специалистов, но и все большему числу самых обычных граждан, среди которых заметно выделяются радиолубовители, давно освоившие околоземное космическое пространство для дальней радиосвязи. А условия распространения радиоволн определяется состоянием ионосферы, свойства которой целиком зависят от поведения Солнца. Итак, что мы, как радиолубовители, знаем и хотим знать о космической погоде?

Понятно, что все начинается с Солнца. О том, что на Солнце есть пятна, знает каждый радиолубовитель. О том, что

SOHO [1], который ведет непрерывный мониторинг состояния Солнца и его короны с помощью большого числа спектральных приборов, и спутника ACE [2], который фиксирует параметры солнечного ветра на подходе к магнитосфере Земли. Кроме этих двух основных, имеется целая флотилия других спутников, которые следят за состоянием околоземного Космоса. Это и спутники на геостационарной орбите, и спутники на полярных орбитах, дающие детальные данные о полях и частицах (радиационные пояса!) в околоземном пространстве, ведут съемку полярных сияний и зондируют ионосферу сверху, что в комбинации с данными наземных обсервато-

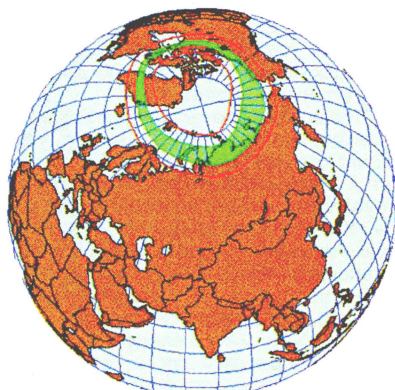


Рис. 3

тов). Понятно, что для радиолюбителей самым интересным можно считать проект DIAS (Digital Upper Atmosphere Server), в котором принимают участие девять ведущих европейских институтов [7]. В режиме реального времени на сайт выводятся карты ионосферных параметров и данные отдельных ионозондов. Эти сведения позволяют достовер-

но оценить текущее состояние ионосферы и ее возможные изменения.

Для радиолюбителей России привлекательна информация по радиоавроре. Это понятие объединяет два явления — наличие полярных сияний и способность авральной ионизации на высотах 100...120 км рассеивать радиосигналы. Как правило, "сильная аврора" появляется в периоды интенсивных магнитных бурь. Все мы помним недавнюю бурю 7—8 ноября 2004 г., когда полярные сияния были видны над Москвой. Для оценки текущего наличия авроры полезно слушать шведский радиомаяк на 144 МГц и посещать сайт Центра прогнозов авроры в Геофизическом институте на Аляске. На рис. 3 показано положение зоны полярных сияний для Севера России в 15 часов мирового времени 17 сентября 2004 г. Эти данные обновляются каждый час на сайте Геофизического Института на Аляске [8]. С другой стороны, очень полезными могут оказаться данные ИЗМИРАН о состоянии магнитного поля в реальном времени [9]. При индексе $K = 5...6$ можно уже ожидать появления радиоавроры, а при индексе $K = 7$ и бо-

лее можно уверенно сказать, что аврора уже имеется над европейской частью России. В качестве примера на рис. 4 приведены магнитограммы трех компонент вектора земного магнитного поля около Москвы за ноябрь 2004 г. На графиках ясно видна магнитная буря 7—11 ноября, сопровождавшаяся столь сильной радиоавророй, что скандинавские станции были слышны в диапазоне 2 метра на приемник с простенькой штыревой антенной!

Сайт ИЗМИРАН [9] полезен радиолюбителям не только своей страничкой с вариациями магнитного поля в реальном времени (рис. 5), но и многими другими полезными сведениями: о российском спутнике для исследований Солнца "КОРОНАС", о радиоизлучении Солнца, можно также посмотреть последний номер "Электронного бюллетеня новостей по солнечно-земной физике" и т. д.

Ввиду того что состояние магнитного поля наиболее четко отслеживает воздействие солнечного ветра на околоземное пространство, радиолюбители Европы организовали свою оперативную сеть магнитометров SAM. На сайте проекта [10] приведены данные о вариациях магнитного поля по всей территории Европы, на основании чего отслеживается каждый случай появления радиоавроры.

Из приведенных сведений видно, что наши знания о Солнце и космической среде сегодня достигли уровня практического использования. Если сегодня круговая орбита МКС проходит на высоте всего лишь около 380 км над Землей, то в ближайшие годы будет освоено космическое пространство на расстояниях вплоть до Луны. К 2020 г. на Луне будут развернуты вахтовые посещаемые базы и далее начнется полное освоение лунной поверхности. И при всей этой работе крайне важно иметь информацию по космической погоде. И как на Земле ни один самолет не летает без прогноза метеоусловий по трассе полета, так и ни один космолет не стартует без прогноза космической погоды. А радиолюбители все шире будут осваивать космическую связь и учитывать сведения о космической погоде.

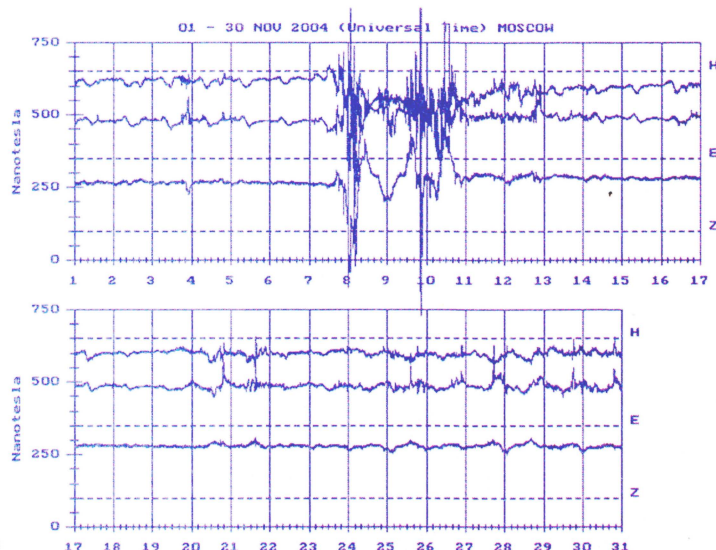


Рис. 4

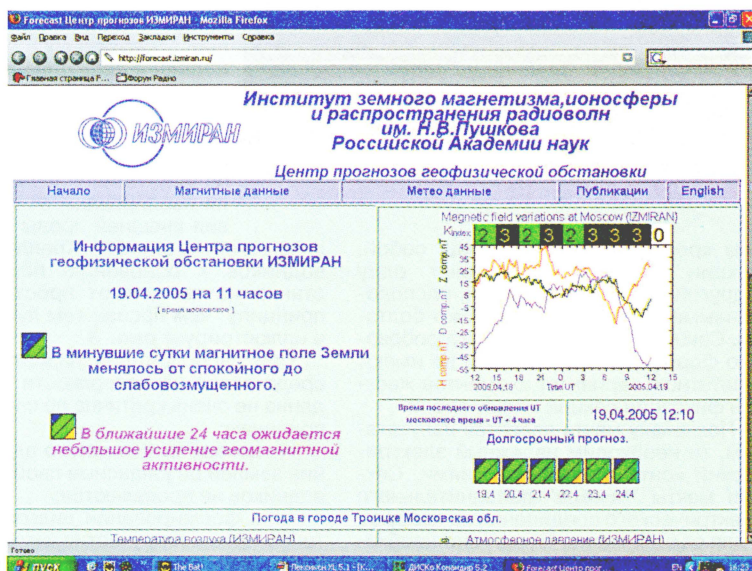


Рис. 5

Ссылки на WEB-ресурсы

1. Данные спутника SOHO — <http://sohowww.estec.esa.nl>.
2. Данные спутника ACE — <http://www.srl.caltech.edu/ACE>.
3. Сайт проф. Л. Лазутина "Солнечно-земная физика" — www.kosmofizika.ru.
4. Сайт для школьников в ИЗМИРАН — <http://top.izmiran.rssi.ru/~children>.
5. Сайт по космической погоде (на англ. языке) — www.spaceweather.com.
6. Общеввропейский сайт по проекту SWENET — www.esa-spaceweather.net/swenet.
7. Сайт европейских ионосферных данных (DIAS) — www.iono.noa.gr/dias.
8. Геофизический Институт на Аляске — <http://www.gi.alaska.edu/cgi-bin/predict.cgi>.
9. Центр геофизических прогнозов ИЗМИРАН — <http://forecast.izmiran.ru>.
10. Оперативная радиолюбительская сеть магнитометров SAM — <http://www.sam-europe.de>.

Редактор — В. Поляков, иллюстрации — автора

Мачта—антенна диапазона 160 метров

Юрий КУРИНЫЙ (UA9AM), г. Челябинск

В этой статье приведены практические рекомендации по использованию устанавливаемых на земле антенных мачт типов "Унжа" и "Чинара" в качестве вертикальных антенн диапазона 160 метров. Показано, что эта задача решается довольно просто и не требует ни специальных знаний, ни компьютерных расчетов. Автор — один из ведущих российских коротковолновиков, неоднократный победитель многих соревнований, в том числе соревнований на призы журнала "Радио" на диапазоне 160 метров.

Фотография мачты, которая используется в качестве антенны диапазона 160 метров на контест-позиции UA9AM (в международных соревнованиях — RG9A), приведена на **рис. 1**. На самом деле на этой мачте размещены три однодиапазонные антенны: трехэлементный волновой канал диапазона 40 метров, двухэлементная Delta Loop с вертикальной поляризацией диапазона 80 метров (с переключаемой диаграммой направленности, ее траверса расположена на высоте 25 м) и, наконец, вертикальная антенна диапазона 160 метров с шунтовым питанием и емкостной нагрузкой. Электрическая схема последней из названных антенн показана на **рис. 2**. Высота мачты от поверхности земли до траверсы равна 35 м, а точки подключения отвода шунтового питания — 22,5 м.

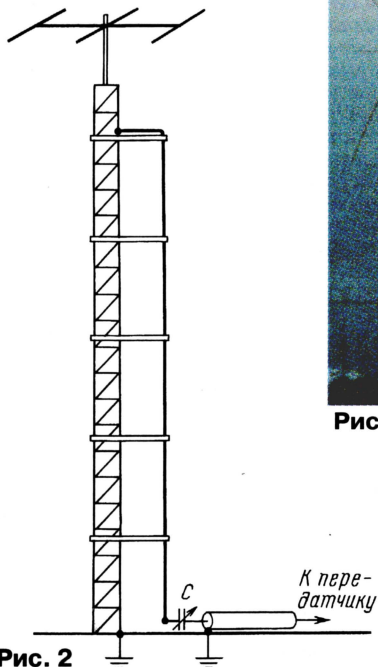


Рис. 2

Отметим, что, заменив однодиапазонный волновой канал на четырехдиапазонную антенну типа RQ-54 (RQ-64, RQ-74 или даже RQ-84 фирмы Quad), можно создать высокоэффективную

всехдиапазонную антенну всего на одной мачте.

Для антенны диапазона 160 метров материал, из которого изготовлена мачта, значения не имеет. Наиболее распространенные мачты типов "Унжа" и "Чинара", изготовленные из стали, прекрасно подходят для этой цели. Они имеют идентичное сечение секций 300×300 мм и отличаются только спосо-

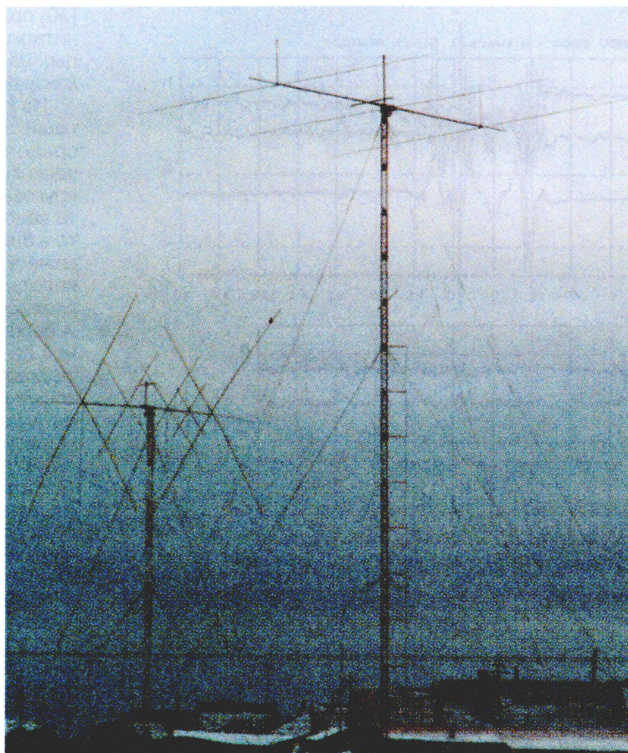


Рис. 1

бом крепления секций между собой. Секции "Чинары" соединяют одну с другой четырьмя втулками, расположенными по углам, и фиксируют болтами. Секции "Унжи" имеют конусообразную форму узлов стыковки и не имеют (в штатном варианте) элементов жесткой фиксации секций между собой.

Поскольку мачта является излучателем, то необходим надежный электрический контакт между секциями. Секции мачты "Чинара" дополнительного электрического соединения не требуют, а для секций мачты "Унжа" оно необходимо. Наиболее простой вариант — ис-

пользовать для этого покупные автомобильные шлейфы "аккумулятор—кузов". Их сечение достаточно для межсекционных соединений.

Все до единого кабели, которые идут к антеннам, расположенным на мачте (коаксиальные, управления редуктором и т. п.), должны быть проложены только внутри мачты. При использовании мачты "Унжа" в конусообразном узле стыковки на каретке подъемного станка выпиливается треугольный паз, достаточный для того, чтобы пропустить через него все (обычно два) кабели.

При сборе мачты следует быть аккуратным, поскольку, когда каретка поднята почти до самого верха, кабели могут заминаться валом "стояночных тормозов". Технология прокладки кабелей несложна. Их раскладывают на земле, а секции пронесаются — нанизываются к подъемному станку мачты так, чтобы кабели оказались внутри.

Для работы мачты в качестве вертикального излучателя растяжки не должны быть цельнометаллическими. Идеальный вариант — стальной трос, разделенный на несколько секций керамическими "орешковыми" изоляторами достаточного размера.

Теперь об узле шунтового питания. Диаметр проводника гамма-согласования в определенной степени влияет на полосу пропускания антенны. Он не обязательно должен быть цельнометаллическим. Удобно, например, использовать оплетку наиболее распространенных кабелей типа РК50-9-11 или РК75-9-11. На самом деле вдоль мачты прокладывается целиком кабель, а подключается только его оплетка.

Кабель крепят на опорных стойках. Они должны быть диэлектрическими и поддерживать проводник на расстоянии 1...1,5 м от мачты. Удобнее всего использовать черенки для лопат, имеющие именно такой размер и крепящиеся к мачте парой стальных червячных хомутов. Стойки желательно перед монтажом проолифить.

Для радиалов подходят практически любые проводники. Диаметр их не критичен, но желательно, чтобы они были изолированы от воздействия внешней среды (для уве-

личения срока службы). Крепление проводников к основанию подъемного станка мачты делают простое — по принципу "чем проще, тем лучше". Это и иллюстрирует **рис. 3**.

При расположении радиалов непосредственно на поверхности земли их длина не очень критична по следующим причинам:

- вследствие сильного шунтирования землей резонансные свойства проводников не проявляются;

- в формировании диаграммы антенны принимает участие земля на расстоянии в десятки λ (единицы километ-

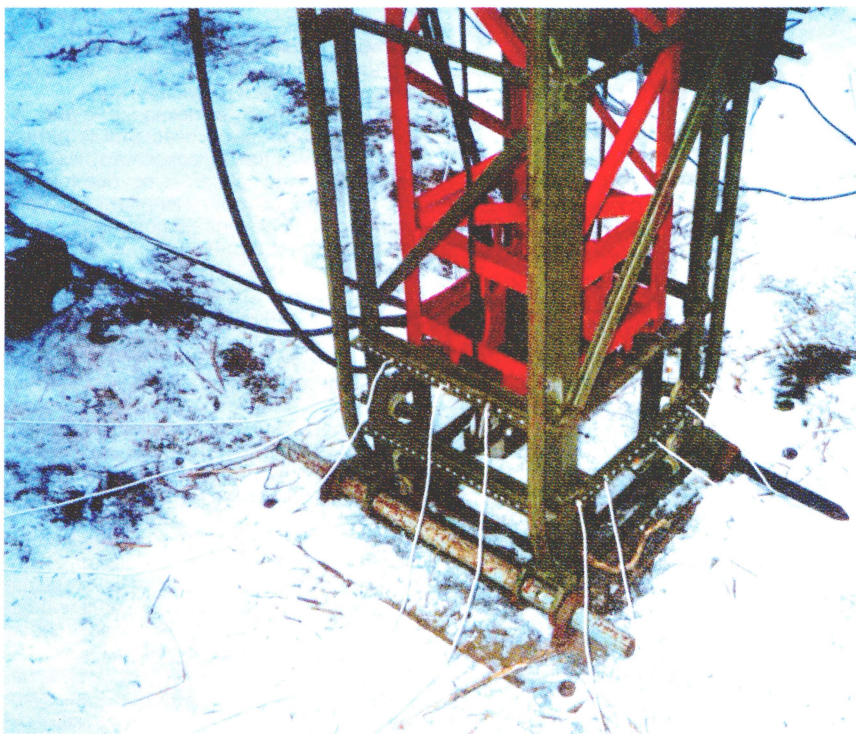


Рис. 3

ров), что для системы радиалов все равно недостижимо.

В то же время количество радиальных проводников и, в определенной степени, их длина влияют на КПД антенны. На основе многочисленных расчетов принято считать, что оптимальным

механизацией. В итоге было принято решение располагать радиальные проводники непосредственно на поверхности земли. На время обработки земли радиальные проводники сматывают к основанию мачты, по окончании — разматывают.

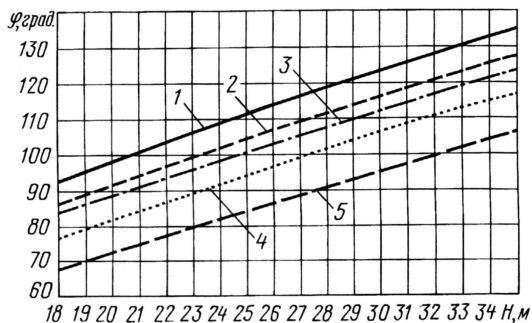


Рис. 4

с точки зрения соотношения КПД — затраты радиальных проводников должны быть в пределах 60—120. У меня на момент подготовки статьи система радиалов состоит из 21 проводника, пять из которых имеют длину около $\lambda/4$, а остальные — произвольную ("до забора").

Закапывать радиальные проводники обычно рекомендуется на глубину не более 10...15 см, что является не более чем способом маскировки при их расположении в общедоступных местах. Если земля используется и по прямому назначению — выращиванию овощей и фруктов, то такая глубина совершенно недостаточна даже при обработке земли лопатой, не говоря уже о средствах малой, и не очень малой

Геометрические размеры гамма-согласования можно определить по номограммам, приведенным в книге Джона Деволдера (John Devolder. ON4UN's Low Band DXing. — Published by The ARRL). На рис. 4 для частоты 1,825 кГц показана зависимость электрической длины антенны (в градусах) от высоты мачты диаметром 300 мм. Кривая 1 соответствует емкостной нагрузке в виде трехэлементной полноразмерной антенны диапазона 40 метров, кривая 2 — в виде пятиэлементной антенны диапазона 20 метров с траверсой 15 м, кривая 3 — в виде четырехэлементной антенны диапазона 20 метров с траверсой 12 м, кривая 4 — в виде шестиэлементной трехдиапазонной антенны,

кривая 5 — в виде трехэлементной антенны диапазона 20 метров с траверсой 6 м.

В моем случае, при высоте мачты 35 м и емкостной нагрузке в виде трехэлементного волнового канала диапазона 40 метров, электрическая длина антенны будет 135°.

По номограмме, представленной на рис. 5, определяем высоту подключения отвода шунтового питания и емкость последовательно включаемого в гамма-согласующее устройство конденсатора. Он необходим для компенсации реактивной составляющей входного сопротивления антенны. По кривой 6 определяют емкость конденсатора, а по кривой 1 — высоту подключения отвода шунтового питания при расстоянии проводника от центра мачты 0,5 м. По кривым 5 и 2 — эти же параметры при расстоянии 1 м. По кривым 4 и 3 — эти же параметры при расстоянии 1,5 м.

В случае электрической длины 135° и длины опорных стоек для поддержания шунтового проводника 1,3 м получаем 22,5 м и 160 пФ. Вы не поверите, но реальная емкость конденсатора, на частоте 1,825 МГц, получилась равной 158 пФ!

Из-за заметной электрической длины 35-метровой мачты с емкостной нагрузкой в виде трехэлементного волнового канала диапазона 40 метров антенна узкополосная. Ее полоса пропускания по КСВ 1,5 — около 35 кГц. При этом активная составляющая входного сопротивления близка к 50 Ом в довольно широкой полосе частот — ориентировочно от 1,75 до 2,0 МГц, а изменяется только его реактивная составляющая. По этой причине для из-

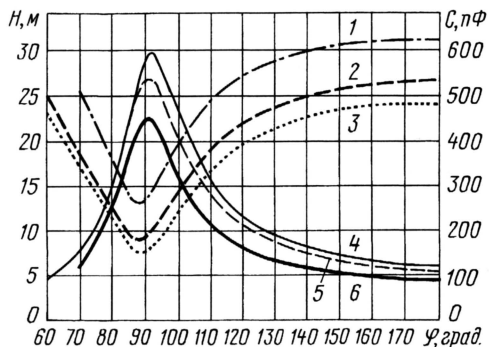


Рис. 5

менения участка работы необходимо и достаточно изменять только емкость конденсатора в гамма-согласовании, например, с помощью вакуумных реле типа В1В и т. п.

Следует особо отметить, что конденсатор должен быть весьма высоковольтным и выдерживать достаточную реактивную мощность. Идеальный вариант — вакуумные конденсаторы.

В сравнении с используемой ранее антенной INV V с высотой подвеса верхнего угла на уровне 20 м, антенна заметно проигрывает на ближних (до 1000 км) расстояниях и существенно выигрывает на дальних.

Редактор — С. Некрасов, графика — Ю. Андреев, фото — автора

Автомобильный автоматический КСВ-метр

Игорь НЕЧАЕВ (UA3WIA), г. Курск

Подвижная связь в Си-Би диапазоне в настоящее время распространена достаточно широко. Этому способствует доступность радиостанций этого диапазона и простота их регистрации. Но эксплуатация радиостанций в автомобиле требует большего внимания, чем в стационарных условиях. В случае выхода из строя антенны или фидера может нарушиться не только связь, но и выйти из строя сама радиостанция. В статье предложен удобный автоматический прибор со светодиодной индикацией, предупреждающий оператора о внештатных ситуациях. Разумеется, прибор можно использовать и в стационарных станциях.

Антенно-фидерный тракт в автомобиле подвергается большим механическим нагрузкам (удары, вибрации и т. п.). Поэтому не редки случаи выхода из строя аппаратуры при неисправностях в антенне или кабеле, соединяющем ее с радиостанцией. Как правило, это происходит из-за большого значения КСВ и, следовательно, перегрузок по току или напряжению и последующего пробоя выходного транзистора передатчика.

По этим причинам постоянный контроль состояния антенно-фидерного тракта оказывается отнюдь не лишним. Самым простым решением этой задачи может быть применение индикатора КСВ. Но большинство из описанных в литературе конструкций используют стрелочный индикатор (как правило, микроамперметр). Такой вариант для автомобиля мало пригоден, прежде всего, из-за

низкой механической прочности стрелочных индикаторов. Более того, использование большого по размерам индикатора затруднительно, поскольку свободного места на приборной панели немного, а применение малогабаритного индикатора нежелательно из-за трудности считывания показаний. Кроме того, для упрощения пользования индикатором он должен быть автоматическим, чтобы оператор (а тем более, водитель) не отвлекался на его градуировку.

Поэтому для автомобиля самым подходящим будет автоматический КСВ-метр со светодиодным индикатором, описание которого приводится ниже. Принцип работы измерителя основан на том,

ние КСВ: $U_0/U_n = (КСВ - 1)/(КСВ + 1)$. В табл. 1 приведены значения КСВ и соответствующие им отношения напряжений отраженной и падающей волн.

Схема устройства показана на рис. 1, оно содержит высокочастотный датчик и узел индикации. Высокочастотный датчик КСВ-метра собран на основе токового трансформатора. Напряжение, пропорциональное падающей волне, выпрямляется диодом VD3, а отраженной — диодом VD4. Подробное описание и анализ работы датчика приведены в статье Э. Гуткина "Измеряем КСВ: теория и практика" ("Радио", 2003, № 5, с. 66—68; № 6, с. 61—63). На диодах VD1, VD2 собран выпрямитель, а на транзисторе VT1 — ключ высокочастотного VOX. Напряжение питания через фильтр C14C15L1C16 поступает на регулируемый стабилизатор напряжения, выполненный на микросхеме DA1. В исходном состоянии ток через резистор R10 открывает транзистор VT1 и напряжение на выходе микросхемы DA1 (вывод 2) составляет всего 1,2...1,3 В. Этого напряжения недостаточно для нормальной работы индикаторной части, и светодиоды HL1 и индикаторной шкалы не светят.

Когда на устройство подан высокочастотный сигнал от передатчика, на выходе выпрямителя VD1, VD2 возникает отрицательное напряжение. Оно поступает на базу транзистора VT1 и закрывает его, поэтому на выходе микросхемы DA1 появляется напряжение 10 В, которое

Таблица 1

КСВ	1	1,25	1,5	1,75	2	2,5	3	4	5
U_0/U_n	0	0,11	0,2	0,27	0,33	0,43	0,5	0,6	0,67

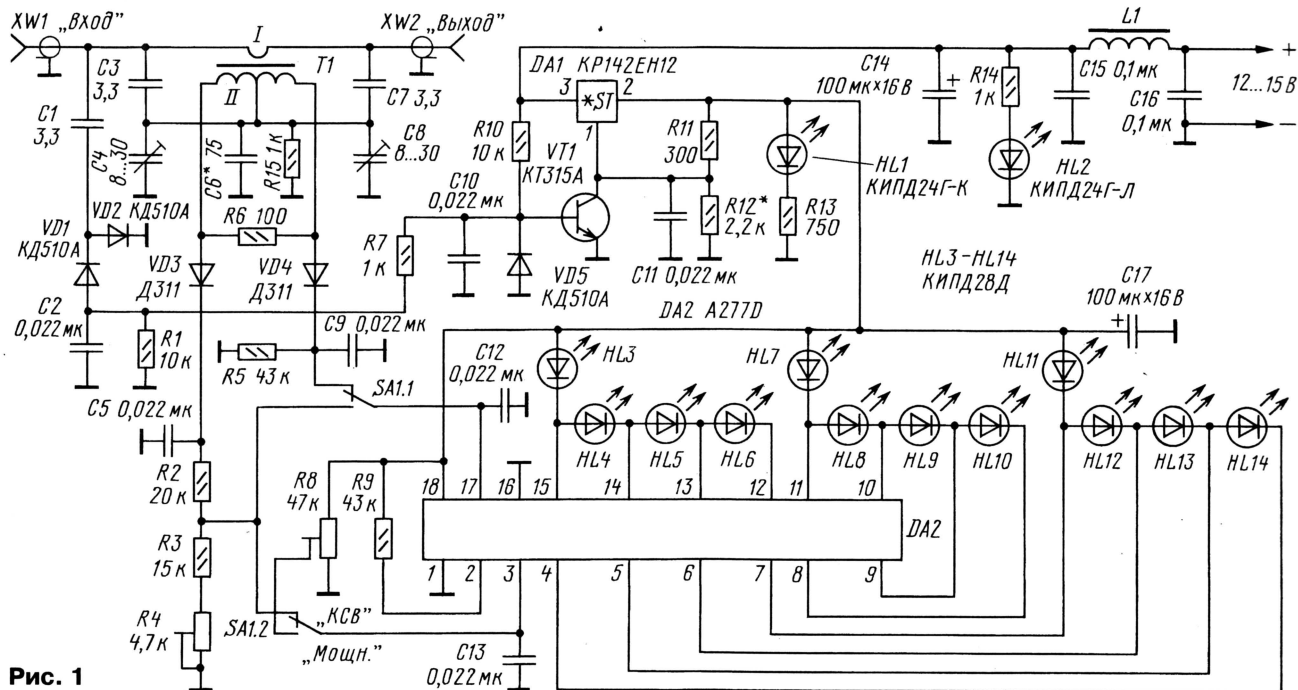


Рис. 1

Разработано
в лаборатории
журнала "РАДИО"

что КСВ — это относительная величина, зависящая от соотношения напряжений (или мощностей) падающей (U_n) и отраженной (U_0) волн: $КСВ = (U_n + U_0)/(U_n - U_0)$. Таким образом, определенному отношению напряжений падающей и отраженной волн соответствует определенное значение

и служит питающим для индикаторной части. Светодиод HL1 начинает светить, сигнализируя о включении режима "TX". Диод VD5 защищает эмиттерный переход транзистора от повышенного напряжения отрицательной полярности при большой мощности передатчика.

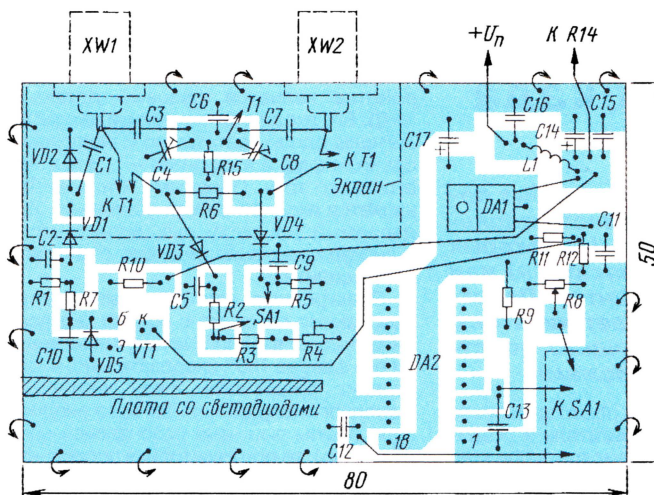


Рис. 2

Собственно индикаторная часть собрана на специализированной микросхеме DA2 (A277D, отечественный аналог K1003ПП1), а в качестве индикатора использована линейная шкала из светодиодов HL3—HL14 (всего 12 штук). Чтобы автоматизировать показание КСВ-метра (исключить необходимость калибровки), надо, чтобы он индизировал отношение напряжений отраженной и падающей волн, что и сделано в данной конструкции.

с движка резистора R8, которое устанавливают при налаживании прибора.

Высокочастотный датчик и индикаторная часть объединены в одну конструкцию. Большинство деталей установлены на печатной плате из двусторонне фольгированного стеклотолста толщиной 1...1,5 мм, эскиз которой показан на рис. 2. Вторая сторона платы оставлена металлизированной и по краю ее поверхности общего провода соединены

Таблица 2

N	1	2	3	4	5	6	7	8	9	10	11	12
U_0/U_n	0,042	0,083	0,124	0,166	0,208	0,249	0,291	0,332	0,374	0,416	0,457	0,499
КСВ	1,09	1,18	1,28	1,39	1,52	1,66	1,82	1,99	2,19	2,42	2,68	2,99

Здесь использованы особенности микросхемы A277D. Она имеет вход, на который подается минимальное напряжение индикации (вывод 16, в нашем случае этот вход соединен с общим проводом), вход, на который подается максимальное напряжение индикации (вывод 3), а также вход индизированного напряжения (вывод 17). При изменении индизированного напряжения от нуля до значения, установленного на выводе 3, будут последовательно загораться все 12 светодиодов HL3—HL14.

В данном случае на вывод 3 поступает напряжение, равное половине напряжения падающей волны, а на вход индизированного напряжения — напряжение отраженной волны. Следовательно, все светодиоды загорятся, если $U_0 = U_n/2$, т. е. при КСВ = 3 (см. табл. 1). Поскольку при изменении мощности передатчика напряжение падающей и отраженной волн изменяются пропорционально друг другу, то показание индикатора в идеальном случае не будут зависеть от уровня мощности, другими словами, индикатору не потребуется калибровка и он будет работать в автоматическом режиме.

Диоды загораются поочередно при повышении напряжения отраженной волны, поэтому каждый из них индизирует определенное значение отношения напряжений отраженной и падающей волн, а значит, и КСВ: $U_0/U_n = 0,0416N$, где N — количество светящихся диодов. Расчетные соотношения между количеством светящихся диодов и КСВ приведены в табл. 2. Как видно, шкала получается достаточно подробной, а для повышения удобства наблюдения 5-й, 8-й, 10-й

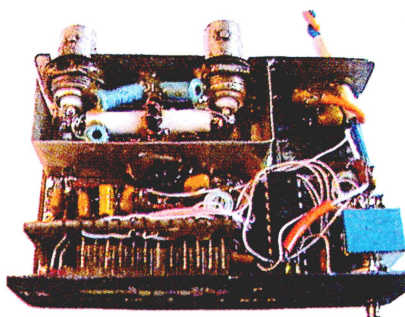


Рис. 3

между собой, как показано на рисунке стрелками. Светодиоды шкалы закреплены на отдельной плате из изоляционного материала, стоящей вертикально. Выводы светодиодов соединяют с выводами 4—15 микросхемы DA1 монтажными проводниками. Смонтированную основную плату помещают в металлический корпус и закрывают крышкой. Часть деталей высокочастотного датчика устанавливают методом навесного монтажа, а весь датчик дополнительно отгораживают экраном. ВЧ гнездовые разъемы XW1 и XW2 размещают на задней стенке, а переключатель SA1 — на передней, как это видно на фотографии рис. 3. Внешний вид готового прибора показан на рис. 4.

В устройстве можно применить следующие детали: транзистор VT1 — КТ3102, КТ315 с любыми буквенными индексами, диоды VD1, VD2 — КД521Б, КД522Б, VD5 — любой маломощный кремниевый, импульсный или выпрями-

и 12-й светодиоды желательно взять с отличающимся от остальных цветом свечения.

Устройство позволяет оценить и выходную мощность передатчика, для этого переключатель SA1 переводят в нижнее по схеме положение, при этом на вход индизированного напряжения поступит напряжение падающей волны, а на вход максимального напряжения индикации — постоянное напряжение

Светодиоды HL1, HL2 можно применить любые малогабаритные (диаметром 3 мм) с рабочим током несколько миллиампер и разным цветом свечения, светодиоды HL3 — HL14 использованы прямоугольные, размерами 2x5 мм, 5-й, 8-й, 10-й и 12-й по счету — красного свечения КИПД28Д-К, остальные — КИПД28Д-Л. Постоянные резисторы подойдут МЛТ, С2-33, подстроечные СП3-19, полярные конденсаторы желательно применить танталовые, но подойдут и К50 или аналогичные импортные, подстроечные конденсаторы КТ4-25, конденсаторы C1, C3, C7 — КТ-2 на напряжение не менее 100 В, остальные — К10-17. Дроссель L1 — КИГ, ВЧ гнездовые разъемы XW1, XW2 могут быть любого типа, но от их габаритов будут зависеть размеры устройства. Переключатель подойдет любой низкочастотный на два направления и два положения, для включения питания можно установить еще один выключатель.

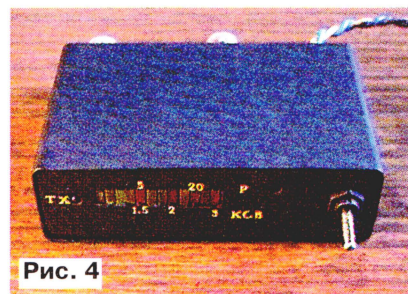


Рис. 4

Для налаживания устройства необходим Си-Би трансверс с регулируемой выходной мощностью 3...10 Вт, нагрузочные резисторы с сопротивлениями, обеспечивающими различные КСВ, и ВЧ вольтметр. Налаживание ведут в следующей последовательности. Сначала проверяют работу системы "VOX", подключив вход устройства к выходу трансивера, а выход — к согласованной нагрузке. При подаче на вход устройства сигнала мощностью от 2 Вт и более на выходе микросхемы DA1 должно появиться напряжение около 10 В. При необходимости подбирают конденсатор C1. С увеличением его емкости чувствительность возрастает.

Затем настраивают высокочастотный датчик по методике, описанной в вышеупомянутой статье. В режиме передачи, подключив нагрузку с КСВ = 2, резистором R4 добиваются свечения пятого по счету (HL7) светодиода в шкале. Далее, подключая нагрузки с известным КСВ от 1 до 3 и изменяя мощность передатчика, проверяют калибровку шкалы. При желании можно изменить масштабы шкал КСВ-метра и индикатора выходной мощности.

Подключив согласованную нагрузку и подав мощность 5 Вт в положении переключателя SA1 "Мощность", резистором R8 добиваются свечения также пятого светодиода в шкале. При такой калибровке свечение десятого светодиода (HL12) индизирует выходную мощность 20 Вт. После настройки некоторые детали следует зафиксировать эпоксидным клеем, это повысит механическую прочность устройства.

Редактор — В. Поляков, графика — Ю. Андреев, фото — автора

Автоматическая настройка П-контура выходного каскада

Юрий ДАЙЛИДОВ (EW2AAA), г. Слуцк, Беларусь

Для настройки выходных ламповых каскадов самодельных передатчиков и УМ, а также для их согласования с антенной используют перестраиваемые резонансные цепи (П-контуры), в которых изменяется величина емкости (переменного конденсатора) или индуктивности (вариометра) входящих в него элементов. Подстройку обычно выполняют вручную. Автор предлагает читателю схемотехническое решение устройства, выполняющего подстройку и поддержание настройки в автоматическом режиме.

Предлагаемая система позволяет автоматизировать настройку лампового выходного каскада радиопередатчика или усилителя мощности РЧ, согласуемого с антенной с помощью П-контура. Устройство автоматически изменяет емкость конденсатора, установленного в анодную цепь оконечного каскада, и поддерживает постоянную настройку анодного контура в резонанс на частоте излучаемой несущей в режимах CW, SSB, FM. Оно просто в повторении

и предполагает электромеханическое управление: электродвигатель и редуктор необходимо предусмотреть при конструировании нового усилителя или встроить в уже используемый усилитель как модернизацию.

Система слежения и управления настройкой построена на основе фазовой автоподстройки частоты (ФАПЧ), широко используемой в синтезаторах частоты с косвенным синтезом, в которых частота ведомого генератора поддерживается

по гармоникам высокостабильного опорного кварцевого генератора.

Основным узлом предлагаемого устройства является фазовый детектор (ФД). Его входными сигналами являются сигналы одной частоты, но с некоторым сдвигом фаз, а выходным — сигнал постоянного тока. Опорным сигналом ФД является входной сигнал усилителя, подаваемый на сетку выходной лампы, а сигнал сравнения снимают с анодной цепи усилителя.

Электронные усилительные лампы, включенные по схеме с общим катодом, инвертируют входной сигнал, т.е. изменяют его фазу на 180° , следовательно, необходимо сравнивать фазу сеточного и анодного напряжений. Так как в анодной цепи лампы включена резонансная цепь (П-контур), то при расстройке последнего сдвиг фаз входного и выходного напряжений будет иметь значение, отличное от 180° , а на выходе ФД будет присутствовать некоторое постоянное напряжение. Напряжение сигнала рассогласования (ошибки) с выхода фазового детектора через усилители постоянного тока подают на исполнительный элемент — электродвигатель, который через редуктор вращает ротор конденсатора переменной емкости П-контура, компенсируя расстройку. В момент резонанса, когда фазы сигналов на сетке и на аноде будут иметь сдвиг относительно друг друга на 180° , напряжение на выходе ФД будет практически равно нулю и двигатель остановится.

Принципиальная схема фазового детектора показана на рис. 1. Он построен на диодах 1VD3—1VD6 и трансформаторах 1Т1, 1Т2. Это классическая схема кольцевого балансного смесителя на диодах. Правый (по схеме) вход смесителя, подключаемый через резистор 1R2 к аноду лампы, по аналогии можно считать входом РЧ сигнала, а левый вход смесителя, подключаемый к сетке лампы через цепь 1R1, 1C1, — гетеродина. Сигнал на выходе ФД, в зависимости от того, какая фаза опережает другую, имеет положительную или отрицательную полярность. Именно это свойство использовано для реверса электродвигателя.

Предварительные УПТ сигнала рассогласования собраны на операционных усилителях 1DA1.1 и 1DA1.2. К их входам включена демпфирующая цепь на диодах 1VD1, 1VD2 и конденсаторе 1C5, стабилизирующая гистерезис подстройки. Ее применение позволило избавиться от такого неприятного явления, как "рыскание", т.е. при подходе к точке резонанса система "проскакивала" ее, происходил реверс, и так без конца. Внесение этой цепи сделало работу всей системы более точной, в том числе она "исключает" ошибки из-за люфтов в механической части устройства.

Как видно из схемы, УПТ на микросхеме 1DA1.1 инвертирует входной сигнал. Это сделано для того, чтобы выходные сигналы предварительных усилителей всегда были положительной полярности, что позволило обойтись однополярным питанием выходного усилителя и электродвигателя. Для предотвращения перегрузки ВЧ наводками входы обоих каналов усилителя зашунтированы конденсаторами 1C6, 1C7.

На выходе каждого канала предусилителей включены индикаторы поляр-

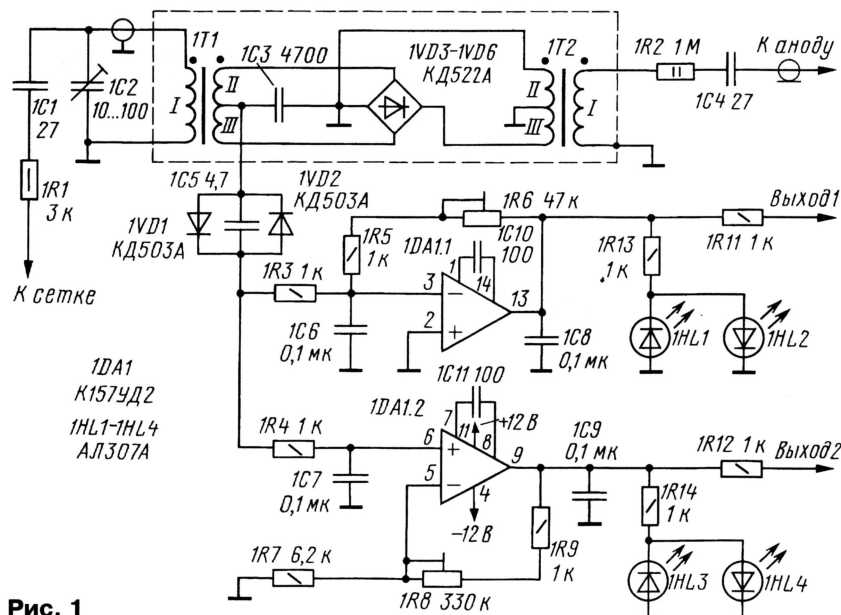


Рис. 1

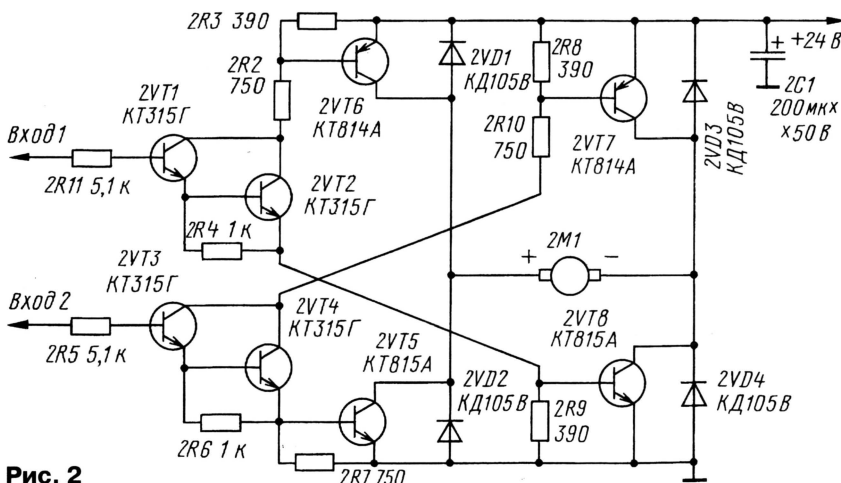


Рис. 2

ности: пары светодиодов 1НЛ1, 1НЛ2 и 1НЛ3, 1НЛ4, показывающие, какое плечо работает в режиме настройки, а какое "заперто". Когда все светодиоды погашены, это говорит о точной настройке.

С предварительных усилителей сигналы подстройки подаются на двухканальный выходной усилитель, который осуществляет включение, реверс и остановку двигателя (рис. 2). При отсутствии на входах усилителя сигналов ошибки все транзисторы заперты и двигатель остановлен. При поступлении положительного сигнала на вход 1 открываются транзисторы 2ВТ1, 2ВТ2, 2ВТ6 и 2ВТ8. Остальные транзисторы заперты, следовательно, на левый (по

его к боковой стойке шасси усилителя. Соединение ФД с анодом лампы выполняют непосредственно только цепью 1R2, 1C4. Детали 1R1, 1C1, 1C2 располагают в "подвале" шасси и подключают к ФД с помощью отрезка ВЧ кабеля максимально короткой длины.

Предварительный усилитель (1ДА1) и инвертор двуполярного питания 12 В собраны на отдельной плате (рисунок не приводится), которая также помещена в экранирующий корпус.

Выходные усилители каналов управления (см. рис. 2) собирают в отдельном экранированном отсеке и располагают над конденсаторами П-контура.

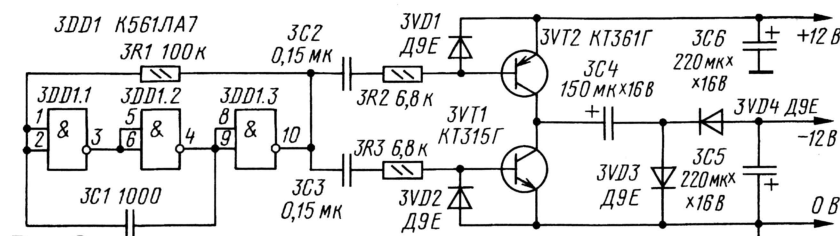


Рис. 3

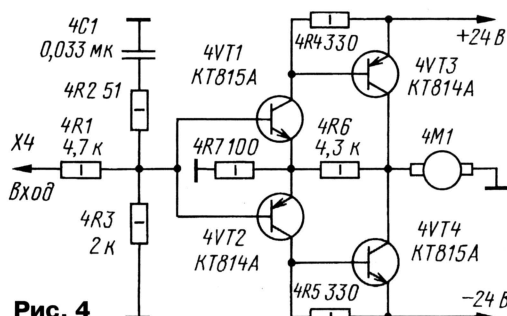


Рис. 4

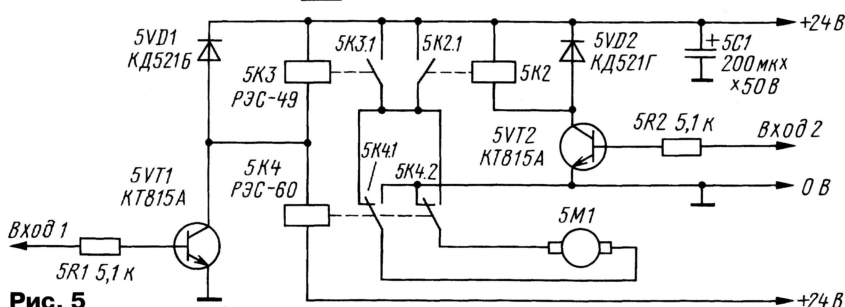


Рис. 5

схеме) вывод двигателя подается +24 В, а на правый — 0 В. При поступлении положительного сигнала на вход 2 открываются транзисторы 2ВТ3, 2ВТ4, 2ВТ5 и 2ВТ7, полярность напряжения на выводах двигателя меняется на противоположную. Поддача положительных сигналов сразу на два входа во время работы системы принципиально невозможна. Диоды 2ВД1—2ВД4 применены для защиты транзисторов 2ВТ5—2ВТ8 от пробоя.

Если устройство будет встроено в уже готовый усилитель, в котором нет источника напряжения — 12 В, для питания микросхемы 1ДА1 необходимо собрать инвертор двуполярного питания (рис. 3).

Блок ФД собирают на печатной плате (из-за простоты схемы и различных вариантов установок в усилитель рисунок платы не приводится) и помещают в экранирующий корпус. Располагать блок следует недалеко от выходной лампы и крепить

его к боковой стойке шасси усилителя. Соединение ФД с анодом лампы выполняют непосредственно только цепью 1R2, 1C4. Детали 1R1, 1C1, 1C2 располагают в "подвале" шасси и подключают к ФД с помощью отрезка ВЧ кабеля максимально короткой длины.

Компоновку устройства выполняют с учетом применения его в мощном усилителе, в противном случае будет трудно избавиться от наводок.

При качественной сборке, исправных деталях и отсутствии ошибок в монтаже устройство в налаживании практически не нуждается. Следует указать лишь несколько основных моментов проверки. Так как работа устройства основана на

сдвиге фаз, следует перепроверить правильность включения обмоток трансформаторов и выводов питания двигателя. При номинальной выходной мощности усилителя следует подобрать резистивно-емкостные делители напряжения на входе ФД: 1R1, 1C1, 1C2 и 1R2, 1C4. В правильно подобранном режиме выходное напряжение смесителя будет приблизительно 0,5 В положительной или отрицательной полярности (при расстройке анодного конденсатора П-контура, но при нахождении частоты резонанса в полосе захвата ФАПЧ). Эту операцию выполняют при подключенном к выходу усилителя эквиваленте нагрузки и поданной "несущей" (например, в режиме FM).

Далее следует подстроить антенный конденсатор П-контура. Настроивая анодный конденсатор, контролируют осциллографом напряжение на выходе ФД (точка соединения 1ВД1, 1ВД2, 1C3 и 1C5) и в то же время следят за уровнем выходной мощности усилителя и анодным током лампы. Допустим, напряжение сигнала ошибки от +0,5 В плавно переходит через "0" (в этот момент мощность усилителя максимальна, ток лампы минимален) и опять повышается, но уже до -0,5 В. Влияние антенного конденсатора на описанную операцию должно быть небольшим. Если же влияние велико, значит, произошел "непредвиденный" сдвиг фаз. Это может проявиться при переключении диапазонов с большим разном частот. Для подстройки и усреднения фазового сдвига в самом ФД служат конденсатор 1C2 и резистор 1R1.

Собранную и отлаженную систему можно проверить и следующим образом: в режиме передачи попытаться вручную немного повернуть ручку управления анодного конденсатора — система должна немедленно отреагировать и вернуть конденсатор в исходное положение.

Во время работы настройка анодного конденсатора происходит в два этапа: при переключении диапазонов система грубой настройки выводит его примерно на середину полосы захвата ФАПЧ. Это происходит без включения передатчика и излучения несущей, далее включают режим TX, причем не обязательно максимальной мощности, и примерно за 0,5...1 с произойдет точная настройка.

При изготовлении нового усилителя необходимо предусмотреть в нем двуполярный источник питания 24 В, установив который выходной усилитель устройства можно собрать по схеме, приведенной на рис. 4, а в предусилителе оставить только один (любой) канал, например ДА1.2. Это сильно упростит схему.

И, наконец, самая простая схема выходных каскадов — использование двух транзисторных ключей и трех малогабаритных реле (РЭС-60, РЭС-49) — приведена рис. 5. При большой выходной мощности усилителя реле могут начать "петь" в такт речи в режиме SSB, так как невозможно точно сбалансировать фазовый детектор в широком диапазоне частот, а предварительный усилитель является неплохим УЗЧ. Избавиться от неприятного эффекта можно уменьшением сопротивления резисторов 1R5 и 1R11, а также тщательной экранировкой устройства.

Редактор — А. Мирущенко, графика — Ю. Андреев

Cabrillo: формат отчетов за соревнования

Окончание. Начало см. на с. 63

ALL
160M
80M
40M
20M
15M
10M

power-category — мощность, возможные значения:

HIGH
LOW
QRP

mode-category — вид работы, обязательен для категорий "один оператор — один вид работы" в контекстах со смешанным видом работы (например, IARU или ARRL 10m), возможные значения:

CW
SSB
MIXED

CATEGORY-ASSISTED: помощь.

Необязательная строка, возможные значения:

ASSISTED
NON-ASSISTED

CATEGORY-DXPEDITION: экспедиция.

Строка, обязательная только для RSGB-IOTA, возможные значения:

DXPEDITION
NON-DXPEDITION

CATEGORY-OVERLAY: подкатегория.

Строка определена не для всех контекстов, возможные значения (в зависимости от контекста):

ROOKIE, BAND-LIMITED, TB-WIRES, OVER-50, HQ

CATEGORY-TIME: время.

Определено только для RSGB-IOTA, возможные значения:

12-HOURS
24-HOURS

CLAIMED-SCORE: заявленный результат.

Заявленный результат в виде целого числа очков.

CLUB: название.

Название радиоклуба, в чей зачет пойдет результат участника.

CONTEST: название.

Разрешенные значения:

AP-SPRINT
ARRL-10
ARRL-160
ARRL-DX-CW
ARRL-DX-SSB
ARRL-SS-CW
ARRL-SS-SSB
ARRL-UHF-AUG
ARRL-VHF-JAN
ARRL-VHF-JUN
ARRL-VHF-SEP
ARRL-RTTY
BARTG-RTTY
CQ-160-CW
CQ-160-SSB

CQ-WPX-CW
CQ-WPX-RTTY
CQ-WPX-SSB
CQ-VHF
CQ-WW-CW
CQ-WW-RTTY
CQ-WW-SSB
DARC-WAEDC-CW
DARC-WAEDC-RTTY
DARC-WAEDC-SSB
IARU-HF
JIDX-CW
JIDX-SSB
NAQP-CW
NAQP-RTTY
NAQP-SSB
NA-SPRINT-CW
NA-SPRINT-SSB
NEQP
OCEANIA-DX-CW
OCEANIA-DX-SSB
RSGB-IOTA
SAC-CW
SAC-SSB
STEW-PERRY
TARA-RTTY

CREATED-BY: текст.

Название и номер версии программы, сформировавшей этот файл отчета.

IOTA-ISLAND-NAME: название.

Название острова (не номер IOTA), с которого велась работа. Обязательная только для контекста RSGB-IOTA.

NAME: текст.

ADDRESS: текст.

Имя и адрес участника. Строк **ADDRESS** может быть несколько.

OPERATORS: позывной1 позывной2 ...

Позывные операторов, один или несколько, разделенных пробелами.

Для указания позывного станции, с которой велась работа, применяется префикс @.

Пример. Операторы с личными позывными UA8AA и UA8AB работали в соревнованиях со станции RK8XYZ.

OPERATORS: UA8AA UA8AB @RK8XYZ.

Строк **OPERATORS** может быть несколько.

OFFTIME: начало окончания.

Время отдыха (перерывов в работе). Строка обязательна для тех категорий и тех контекстов, где регламентируются перерывы в работе.

Формат строки показан на рис. 1.

```
OFFTIME: 2002-03-22 0300 2002-03-22 0743
00000000011111111122222222223333333334
1234567890123456789012345678901234567890
```

Рис. 1

SOAPBOX: текст.

Необязательная строка, содержит комментарии участника, пожелания и т. д. Таких строк может быть несколько.

QSO: данные о связи.

Данные о связи, состоящие из нескольких полей, разделенных пробелами. Каждое поле имеет заранее определенное местоположение и формат.

Примеры показаны на рис. 2.

Из этих примеров видно, что длина строки может превышать 80 символов. Диапазон, вид работы, дата, время и свой позывной имеют формат, единый для всех контекстов. Остальная информация имеет также фиксированный формат, но зависящий от контекста.

QTC: данные о QTC.

Данные о QTC (в WAE).

Пример их расположения приведен на рис. 3.

Развитие стандарта, версия 3

После ввода в действие стандарта Cabrillo для контекстов ARRL и CQ другие организаторы начали применять этот формат для своих соревнований. При этом обнаружилось, что формат Cabrillo не учитывает особенностей всех существующих соревнований.

Например, указание региона участника. Во многих контекстах итоги подводятся по областям, регионам и т. д. Для указания региональной принадлежности участника в формате Cabrillo предусмотрена строка **ARRL-SECTION**. Это название не всех европейцев устраивало, поэтому стали появляться варианты формата Cabrillo, где эту функцию выполняла другая команда (**IOTA-ISLAND-NAME**, **REF-SECTION**, **RDA-SECTION**).

Такой разницей подрывает саму идею единого формата, поэтому возникла необходимость такого изменения стандарта, которое покрывало бы все возможные особенности международных и национальных контекстов.

Как сделать стандарт формата отчетов стабильным и одновременно универсальным? Чтобы совместить эти противоречивые требования, для следующей 3-й версии формата Cabrillo предложен следующий принцип: стандарт регламентирует только ключевые слова, а их возможные значения задаются для каждого конкретного контекста его организаторами.

В частности, строку **CATEGORY** предлагается разбить на несколько по подкатегориям. Ниже приведены примеры новых ключевых слов с возможными значениями:

CATEGORY-ASSISTED: ASSISTED
NON-ASSISTED.

CATEGORY-BAND: ALL LIMITED
160M 80M 40M 20M 15M 10M 6M 2M.

CATEGORY-LOCATION: секция/остров/район/штат/провинция/и т. д.

CATEGORY-MODE: SSB CW MIXED.

CATEGORY-OPERATOR: SINGLE-OP
MULTI-OP CHECKLOG HQ SCHOOL-CLUB.

CATEGORY-POWER: HIGH LOW QRP.

CATEGORY-STATION: FIXED MOBILE
DRIVER-MOBILE PORTABLE DXPEDITION.

CATEGORY-TIME: 6-HOURS 12-HOURS
24-HOURS.

CATEGORY-TRANSMITTER: ONE
TWO MULTI SWL.

```
QSO: 21042 CW 1997-11-01 2102 N5KO 3 B 74 STX K9ZO 2 A 69 IL
QSO: 50 PH 1997-09-13 1804 NJ2L FN12fr KB2DMK FN12
QSO: 3799 PH 1999-03-06 0711 HC8N 59 700 W1AW 59 CT 0
QSO: 14042 CW 1999-09-05 0000 N5TJ 1 JEFF TX N6TR 1 TREE OR
QSO: 3799 PH 2002-07-28 0359 HC8N 59 0901 SA-004 G3XTT 59 0031 EU-005 0
QSO: 3580 RY 2001-03-17 0204 MI9AB 599 0001 0203 DF4OR 599 0003 0203
000000000111111111222222222233333333344444444445555555556666666666777777777888888888899
1234567890123456789012345678901234567890123456789012345678901234567890123456789012345678901
```

Рис. 2

Рис. 3

CATEGORY-OVERLAY: ROOKIE
BAND-LIMITED TB-WIRES OVER-50.

Проблемы внедрения

В России сложилась парадоксальная ситуация: в большинстве российских конкурсов формат Cabrillo является желательным или обязательным, вместе с тем в спецификацию стандарта ни один конкурс не входит. В результате все конкурс-программы российских авторов генерируют отчеты, которые не соответствуют стандарту.

Несколько примеров.

Организаторы кубков и чемпионатов РФ требуют так называемый "формат CABRILLO, адаптированный для российских национальных соревнований".

В нем для описания состава участников вводятся ключевые слова **OP1 OP2 OP3**. Таких ключевых слов нет в спецификации формата Cabrillo, но там есть ключевое слово **OPERATORS**, выполняющее ту же самую функцию, причем число строк **OPERATORS** стандартом не ограничивается. Кроме того, вводятся ключевые слова **SECTION, TIME ENTRY, CLAIMED QSO TOTAL, CATEGORY1, CATEGORY2, QTH**, не описанные стандартом.

Другие организаторы поступают еще проще. В положении о CQ-M читаем, что отчеты "должны быть в виде файла в формате Cabrillo, который может создаваться большинством конкурс-программ". Но дело в том, что ав-

торы этих конкурс-программ формируют отчет, опираясь на стандарт Cabrillo, в котором CQ-M не прописан. Эта неразбериха ни в коем случае не может ускорить сроки судейства.

Больше того, нет даже общей договоренности между программистами и организаторами соревнований о едином формате электронного отчета, поэтому отчеты, генерируемые разными программами и называемые программистами "в формате Cabrillo", отличаются даже друг от друга.

Такое положение ничем не отличается от разноречия "докабрилловых эры", дискредитирует саму идею единого формата и требует скорейшего исправления.

Краткая история коммутации: парадигма каналов

Александр ГОЛЫШКО, гл. эксперт "Комстар — Объединенные Телесистемы", г. Москва

Ну а теперь вернемся к историческим аспектам развития технологий коммутации.

Первыми родились более экономичные сети с **оперативной коммутацией**, когда при каждом сеансе связи устанавливается новое соединение с частичным использованием одних и тех же линий связи. Число необходимых каналов связи при этом существенно уменьшалось и было пропорционально числу пользователей (но, главное, уже не было ему равно), что, несомненно, было во благо оператору. Именно такие сети и стали называться "истинно" коммутируемыми сетями (СКК), главным "действующим лицом" которых является так называемый коммутационный узел (КУ). Появилось и определение коммутации, которое можно найти в "Большом словаре иностранных слов в русском языке" (М.: — ЮНЕСКО 2001): "коммутация — это совокупность операций, связанных с переключением проводников, переменной направления тока, превращением переменного тока в постоянный, выполняемых с помощью специальных устройств".

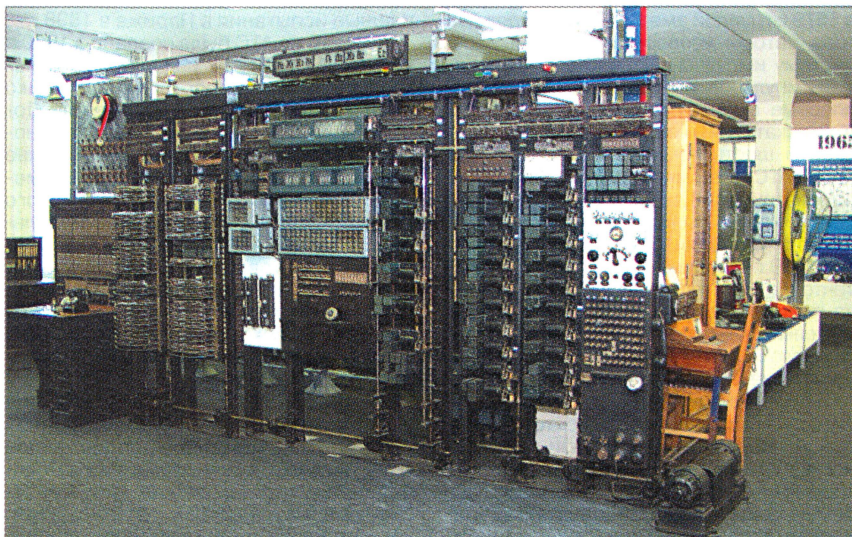
Говоря техническим языком, с давних пор и по настоящее время все коммутаторы, вне зависимости от назначения, выполняли и выполняют одну и ту же функцию, которая на современном техническом языке выражается так: автоматическое переключение трафика с входного на выходной интерфейс. Главным же остаются известные нам способы их соединения друг с другом: "каждый с каждым"; "дерево"; "радиально-узловой". На основе этих сетевых построений каждый оператор волен решать вопросы быстродействия, надежности и экономии пучков каналов в за-

висимости от текущей обстановки и применяемого способа коммутации.

Исторически сложилось так, что все существующие системы коммутации, на базе которых и выполняются КУ, обла-

другого, а уж потом осуществляется непосредственно передача информации.

Идея прямого контакта пользователей присуща и телефонным, и телеграфным сетям. Первыми телефонными коммутаторами стали усовершенствованные телеграфные коммутаторы, приспособленные для передачи речи. Например, штепсельный коммутатор, известный всем по фразе "Барышня, Смольный!", на самом деле появился даже раньше самого телефона. Однако уже на рубеже XIX—XX веков была разработана целая серия телефонных ком-



Декадно-шаговая АТС. 30-е годы XX века (фото Кирилла Ястребкова, из архива ОАО МГТС).

дают как общими, так и уникальными свойствами. Общие связаны общими принципами построения таких систем, с организацией как непосредственного соединения, так и соединения с накоплением информации. Но самыми первыми появились системы, осуществляющие коммутацию каналов и являющиеся воплощением упомянутого выше принципа установления непосредственного соединения, когда через цепь КУ организуется прямой путь от одного пользователя до

мутаторов ручного обслуживания. Московская городская телефонная сеть, открытая 1 июля 1882 г., была оснащена "коммутаторными досками" Гилеланда емкостью по 50 номеров. Хотя для первых 26 московских абонентов этого было более чем достаточно, вскоре начался бум, и уже в конце 90-х годов XIX века компания "Бэла" проводит реконструкцию первой российской телефонной сети, устанавливая 15 шнуровых коммутаторов системы МБ.

Продолжение.

Начало см. в "Радио", 2005, № 4

В 1904 г. в Милютинском переулке г. Москвы по проекту компании "Л. М. Эрикссон" была построена сама современная на тот момент телефонная станция на 60 тыс. номеров, которая была выполнена по принципу распределительной системы и включала в свой состав два вида коммутаторов: распределительные и соединительные. Вызов абонента поступал на распределительный коммутатор, где "сигнальная" телефонистка, не спрашивая его ни о чем, с помощью опросного шнура передавала его свободной "соединительной" телефонистке. Последняя же, в свою очередь, получала у абонента необходимую информацию и организовывала соединение. Это было начало. А потом дошла очередь и до автоматических коммутаторов, проекты которых появились еще в 70-х годах XIX века. И если бы не они, то, вероятно, современные пользователи Интернета были бы вынуждены кричать в телефонную трубку: "Барышня, 56 килобит, пожалуйста!".

Первый патент на простейшую автоматическую телефонную станцию (АТС — комплекс технических средств, предназначенных для коммутации каналов связи телефонной сети) был получен в 1879 г. группой американцев. Через два года авторы усовершенствовали свою систему импульсным реле для трансляции импульсов. В 1887 г. К. А. Мосцицкий впервые выдвинул идею релейной АТС (без искателей) и разработал схему станции на шесть номеров. Пока это была квази-АТС (т. е., мягко говоря, не совсем автоматическая), ибо коммутация соединений, хотя и выполнялась без телефонисток, управлялась-таки абонентами. А в 1889 г. американец Струуджер запатентовал искатель с двумя движениями контактных щеток — подъемным и вращательным — прообраз шагового телефонного искателя. Шаговый искатель — электромеханическое устройство, предназначенное для автоматического анализа серии импульсов, соответствующих одной набранной цифре (при импульсном наборе номера). Он состоит из электромагнита и храпового механизма, перемещающего вращающийся контакт по десяти фиксированным положениям, и являлся основой декадно-шаговых АТС, с которыми связана целая эпоха в истории аналоговой телефонной связи. Первая автоматическая система на его основе была запущена в коммерческое использование в Ла-Порте (штат Индиана, США) в 1892 г.

В 1895 г. появилась основа для проектирования АТС — разработанный Фрейденбергом так называемый "предыскатель" (вкуче с самим принципом свободного искания). В 1896 г. Фрейденберг построил линейный искатель на тысячу линий с общим многократным полем для группы искателей, а за-



Релейная АТС. Середина 50-х годов XX века (фото Кирилла Ястребкова, из архива ОАО МГТС).

тем ввел групповые искатели. Макет так называемой машинной АТС прошел успешные испытания в Париже в 1898 г.

Первая же АТС была создана в 1900 г. в США. В СССР АТС с машинным искателем начали распространяться только с 1929 г. с открытием в Ростове-на-Дону первой станции емкостью 6000 номеров и в октябре 1930 г. — в Москве (Замоскворецкая АТС на 8000 номеров). Это была продукция российского предприятия "Л. М. Эрикссон". В дальнейшем парк отечественных АТС приростал все более и более совершенным, в том числе и отечественным, оборудованием, включая первую (и единственную!) советскую электронную АТС "Кварц" и российскую АТСЦ-90. Но вернемся немного назад.

В 1954 г. в г. Осло была введена в эксплуатацию механоэлектронная АТС на 2000 номеров, предложенная бельгийскими инженерами на базе координатного соединителя типа Кроссбар, разработанного в 1913 г. американцем Дж. Рейнольдсом и усовершенствованного в 1919 г. шведом Г. Бетундлером. Собственно, координатная АТС — это электромеханическая АТС на основе так называемого многократного координатного соединителя (МКС), имеющего оригинальную конструкцию на основе набора электромагнитов, пружин и контактных пластин. В результате координатные АТС отличались от декадно-шаговых АТС большей компактностью и надежностью, более высоким качеством звука, меньшим уровнем создаваемых помех и меньшей стоимостью. Первая АТС координатной системы была построена в Бруклине

(Нью-Йорк, США) в 1937 г., а первая в СССР — в 1967—68 гг. в Москве. В настоящее время до 50 % номерной емкости российских городских и основная часть сельских сетей обслуживается координатными АТС (АТСК, АТСКУ, АТСК-100/2000, АТСК-50/200, ПСК-1000).

В 1954 г. в Англии был испытан макет АТС, полностью построенной на электронных приборах, что стало настоящим технологическим прорывом.

До середины XX века СКК ограничивались передачей аналоговой телефонии, которая улучшалась, совершенствовалась и оказалась почти на самой вершине достижимого качества, когда выяснилось, что это не совсем та вершина. Ведь системы коммутации являются для пользователя хотя и невидимыми, но вместе с тем и самыми важными с точки зрения предоставления услуг связи. А бизнес-то делается именно на услугах, а с ними у аналоговых систем — проблемы. Поэтому основной вехой в развитии различных видов обслуживания считается 1965 г., когда система коммутации с управлением по записанной программе впервые была введена в эксплуатацию на телефонной

сети США. Это позволило предоставить пользователю многие ранее неизвестные услуги связи (и развивать их далее), а оператору — средства, позволяющие значительно упростить организацию эксплуатации систем коммутации и административные функции.

Управление процессами коммутации с помощью компьютера привело к появлению термина **"электронная" коммутация**. Однако коммутационные схемы, используемые в этих электронных системах коммутации первого поколения, были реализованы на электромеханических коммутационных приборах (квазиэлектронные системы коммутации). Первые же полностью электронные коммутационные схемы были использованы в 1971 г. во Франции, когда была введена в эксплуатацию **цифровая система коммутации** (ЦСК), называемая сегодня единым территориально распределенным аппаратно-программным комплексом. Он состоит из основного опорного оборудования, которое выполняет функции коммутации, управления централизованной технической эксплуатации и обслуживания системы, а также из выносных коммутационных (ВКМ) и абонентских модулей (ВАМ). Все компоненты ЦСК объединены внутрисистемными соединительными линиями. Удивительно, но для управления тем первым воистину революционным устройством не использовалось управление с помощью ПО.

С 1978 г. телефонные компании США начали внедрение цифровых систем коммутации на уровне оконечных станций, главным образом, путем замены более старого декадно-шагового оборудования. Наступала эра цифровой

Отчетно-выборная конференция СРР



22—23 апреля 2005 г. в Домодедовском районе Московской области прошла Всероссийская

отчетно-выборная конференция Союза радиолюбителей России — самая представительная в истории организации. На конференцию было избрано 128 делегатов от 65 региональных (в субъектах Российской Федерации) отделений СРР, прибыло 107 делегатов из 57 региональных отделений. Правомочность 106 делегатов подтверждена документально.

Конференцией принят новый Устав Союза. Президентом СРР сроком на 4 года избран Томас Роман Робертович (RZ3AA). Итоги голосования по его кандидатуре: "за" — 103, "против" — 3, воздержавшихся — "нет".

Также сроком на 4 года избраны президентом, председатель и члены Ревизионной комиссии, ответственный секретарь СРР.

Состав Президиума СРР: Евгений Луценко (RW1QD), Сергей Попов (RX3RZ), Николай Гончаров (RA3TT), Александр Черных (RN6BY), Юрий Куриный (UA9AM), Михаил Клоков (RZ9UA/9), Виктор Мудренко (UA0LDX), Игорь Буклан (RA3AUU), Михаил Егоров (RK3DP), Андрей Ческов (UA3AB), Александр Куликов (RN1CA), Игорь Григорьев

(RV3DA), Анатолий Медов (UA3ECA), Виктор Пронин (UA4HNB).

Председатель Ревизионной комиссии СРР — Борис Климов (RX3QD), члены комиссии — Алий Куйсоков (UA6YW), Николай Сахар (RU3DG).

Ответственным секретарем СРР избран Юрий Малюк (RA4AR).

Перед делегатами конференции выступил председатель ЦС РОСТО ДОСААФ А. С. Стародубец. В присутствии делегатов и гостей конференции председатель ЦС РОСТО ДОСААФ А. С. Стародубец и президент СРР Р. Р. Томас подписали Договор о сотрудничестве между ЦС РОСТО ДОСААФ и Союзом радиолюбителей России.

В работе конференции приняли участие первый заместитель председателя ЦС РОСТО ДОСААФ В. Н. Наместников, заместитель директора Главного радиочастотного центра Л. В. Михалевский, Глава Администрации Домодедовского района Московской области Л. П. Ковалевский (RZ3DU), и. о. заместителя начальника Управления спорта ЦС РОСТО ДОСААФ В. Л. Редьков, первый заместитель Главного редактора журнала "Радио" Б. Г. Степанов (RU3AX), первый Президент СРР В. Г. Агабеков (UA6HZ/N2WW) и другие гости.

телефонии, передающей голос в виде потока битов информации, и сразу же появились предпосылки интегрированного обслуживания. Так, например, узкополосная сеть с интеграцией служб (N-ISDN) предоставляла пользователю сразу три цифровых соединения как для передачи голоса, так и данных.

Параллельно развивалась и другая технологическая база для передачи информации — сети передачи данных. Ведь в последней трети XX века передача данных стала ассоциироваться не с телеграфией, а с компьютерными сетями, которые развиваются чрезвычайно быстро. Сегодня производительность компьютеров увеличивается небывалыми темпами. Все мы знаем, во что превратились ныне компьютерные сети. Современным связистам приходится использовать набор из четырех основных групп оборудования, включающих коммутаторы, маршрутизаторы, концентраторы и мультиплексоры. Дабы понимать, зачем нужна каждая из них, попробуем кратко охарактеризовать выполняемые ими функции.

Маршрутизация — это процедура поиска пути между двумя пунктами сети на основе адресной информации, включающей в свой состав базы данных адресов/номеров, таблицы трасс маршрутов и алгоритмы поиска адресов/номеров.

Коммутация — это процесс установления связи между сходящимися в узле линиями при распределении в сети информационных потоков в соответствии со схемой маршрутизации/номерации. Этот процесс заключается в установлении соединения, поддержании его во время передачи информации и последующем рассоединении.

Концентрация — объединение нескольких информационных потоков с целью получения более мощного информационного потока для более эффективного использования линии/канала связи.

Мультиплексирование обеспечивает передачу нескольких информационных потоков по одной линии путем закрепления за каждым из них фиксированной части ресурса пропускной способности этой линии. В отличие от функции концентрации, это фиксированное распределение остается неизменным даже в случае отсутствия передаваемой информации.

Следует признать, что сегодня возникают определенные сложности с понятием сетей передачи данных, поскольку ранее последние создавались с учетом определенной специализации. К примеру, исключительно для телеграфа или взаимодействия компьютеров, в том числе и на базе других сетей. В частности, с помощью аналоговой телефонной сети уже сравнительно давно функционируют и факсимильная связь, и доступ в Интернет — "dial-up". Цифровизация же постепенно, но неуклонно и даже весьма дерзко стирает эти границы, в результате чего современные сети передачи данных способны предоставлять абсолютно любые услуги связи. Разумеется, это не всем нравится, и, как заметил Жан Кокто, "такт в дерзости — это умение почувствовать, до какого предела можно зайти слишком далеко".

Редактор — А. Мирошченко

Итоги зимнего дня активности молодежных радиостанций

В этом году получили отчеты от 41 молодежной радиостанции и пяти радионаблюдателей. Всего в "Дне активности" приняло участие (по присланным отчетам) 140 молодых радиолюбителей. Получено также 10 отчетов от взрослых радиолюбителей. Но судя по заявлениям в отчетах радиосвязям, судейской коллегией не получены еще как минимум 9 отчетов активно участвовавших радиостанций.

По полученным отчетам была предпринята попытка проанализировать возрастную состав молодых радиолюбителей, принявших участие в дне активности. Вот так выглядит статистика возрастов:

Возраст	B Log's	B QSO
11	5 %	5 %
12	8 %	9 %
13	9 %	15 %
14	17 %	18 %
15	23 %	13 %
16	21 %	11 %
17	8 %	20 %
18	9 %	9 %

В левой колонке указан возраст участников, в средней — процентный состав возраста от полного числа участников, а в правой — процентный состав радиосвязей, приходящихся на ребят указанного возраста.

Сильнейшим в подгруппе радиостанций с одним оператором (молодежь) стал постоянный участник соревнований на призы журнала "Радио" Александр Стерликов (RX9SN). Вот какой комментарий он дал по итогам соревнований:

"Долго ждал этот День активности, в надежде показать классный результат. Надежды оправдались!!! И все из-за того, что я работал только на 100 Вт (усилитель сломался еще в декабре). Мне пришлось больше работать

на поиск, а это дало много молодежных корреспондентов. В этот раз у меня свой рекорд — 57 молодежных радиостанций (в Зимнем дне активности 2003 г. у меня было 55 молодежных позывных).

Молодежи было очень много. Во время теста у меня было такое ощущение, что я провел радиосвязи со всеми молодыми участниками, но после теста мне позвонили из Орска (RK9SXD) с претензиями, что я их не услышал на диапазоне 40 метров.

Я очень рад, что День активности удался, что было много молодежи!"

Первое место в подгруппе радиостанций с несколькими операторами (молодежь) занял коллектив радиостанций школы № 11 города Костаная (Казахстан) UN8LWZ. Отличный результат был показан благодаря слаженной работе большой команды операторов в возрасте от 13 до 18 лет: Дмитрия Сладкова, Маргариты Ростовцевой, Марии Мищенко, Юлии Павлюк, Екатерины Рябкиной, Евгения Киркилевского, Исхата Жусупова, Григория Маркина, Антона Померанцева, Максима Кремовского и Ризвана Магомедова. И это ничего, что коллектив выступил в столь большом составе — они провели День активности, поделив его на всех желающих.

Лучшим среди молодых наблюдателей стал Дмитрий Савельев из подмосковной Кубинки (RZ3AGT/SWL).

У в индивидуальном зачете у взрослых победу одержал Сергей Марченко (UA9XMM) из Республики Коми, а среди взрослых радионаблюдателей стабильно высокий результат показал москвич Владимир Игнатов (R3A-847, ex. UA3-170-847).

В приведенных ниже итоговых таблицах приведены место, позывной участника и показанный им результат.

Радиостанции с одним оператором (молодежь)			Радиостанции с несколькими операторами (молодежь)		
1	RX9SN	408	1	UN8LWZ	538
2	UT7GX	321	2	RX3RXX	531
3	RV6AWN	140	3	RK6YB	388
4	UA9LAU	88	4	RK3ZWF	345
5	UK9XXX	35	5	UT0LWR	305
6	RK6AWI	26			
7	RK9KWB	298	6	RZ9SWP	302
8	RW3WWW	280	7	RZ9UWZ	266
9	RK9SXD	253	8	RK3AWK	264
10	RK2FGX	252	9	RK9SXD	253
11	RK1QWX	229	10	RK2FGX	252
12	RZ9AWA	217	11	RK1QWX	229
13	RK1NWG	203	12	RZ9AWA	217
14	RK4ZYD	202	13	RK1NWG	203
15	RV6AWW	188	14	RK4ZYD	202
16	RK9MWW	188	15	RV6AWW	188
17	RZ9UZV	188	16	RK9MWW	188
18	RK3XWL	167	17	RZ9UZV	188
19	RK4FWX	163	18	RK3XWL	167
20	RZ9OWN	157	19	RK4FWX	163
21			20	RZ9OWN	157
22			21		
23			22		

Радиостанции с одним оператором (взрослые)			Наблюдатели (взрослые)		
1	UA9XMM	175	1	R3A-847	185
2	RW3QW	150	2	RZ3AGT/SWL	225
3	RU4AO	145	3	R9X-040	107
4	RV9CVA	130			
5	RN3QKE	125			
6	RA3GFL	70			
7	RZ6HDX	60			
8					
9					
10					
11					
12					
13					
14					
15					
16					
17					
18					
19					
20					
21					
22					
23					
24					
25					
26					
27					
28					
29					
30					
31					
32					
33					
34					
35					
36					
37					
38					
39					
40					
41					
42					
43					
44					
45					
46					
47					
48					
49					
50					
51					
52					
53					
54					
55					
56					
57					
58					
59					
60					
61					
62					
63					
64					
65					
66					
67					
68					
69					
70					
71					
72					
73					
74					
75					
76					
77					
78					
79					
80					
81					
82					
83					
84					
85					
86					
87					
88					
89					
90					
91					
92					
93					
94					
95					
96					
97					
98					
99					
100					
101					
102					
103					
104					
105					
106					
107					
108					
109					
110					
111					
112					
113					
114					
115					
116					
117					
118					
119					
120					
121					
122					
123					
124					
125					
126					
127					
128					
129					
130					
131					
132					
133					
134					
135					
136					
137					
138					
139					
140					